

LABORATOIRE

Réseau de Mesure du Bruit des Avions

Compte rendu mensuel Aéroport Paris – Charles de Gaulle

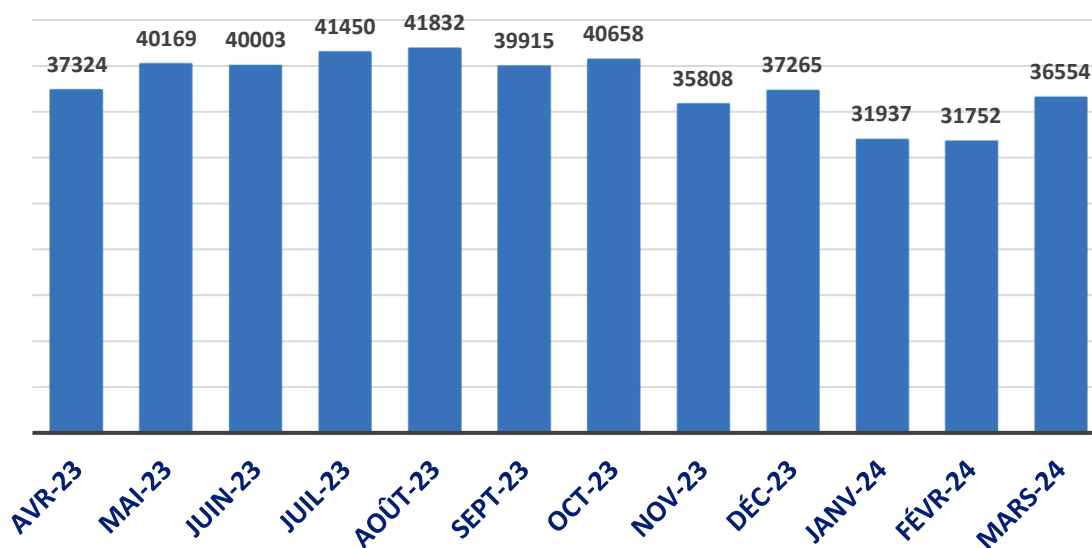
Mars 2024



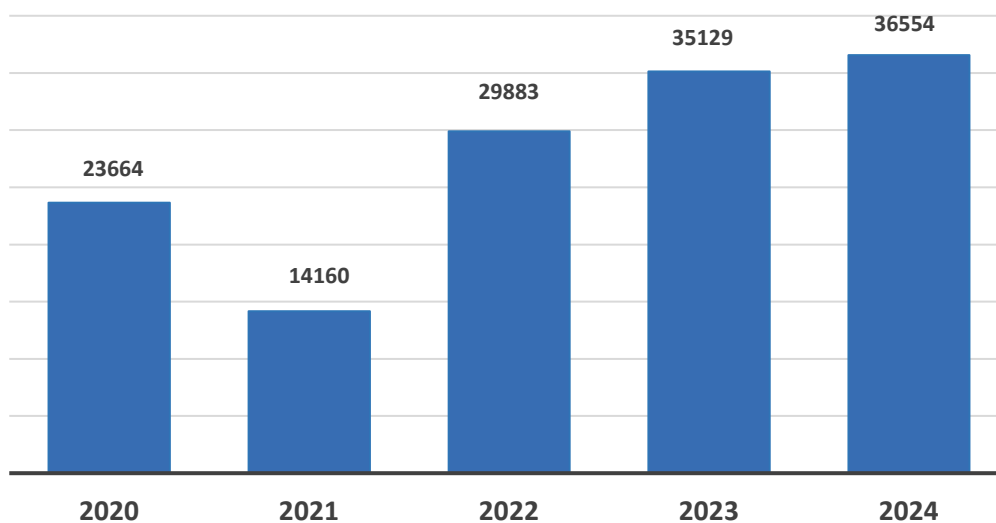
GRUPE ADP

MOUVEMENTS

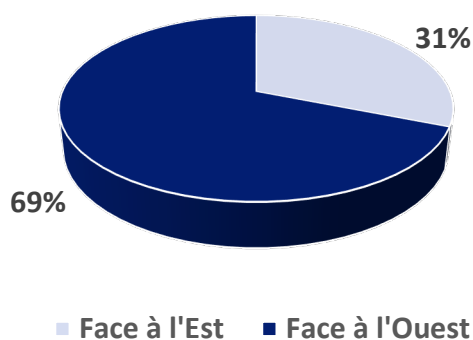
Nombre de mouvements par mois pour les 12 derniers mois



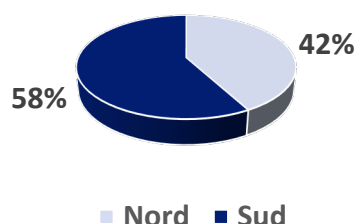
Nombre de mouvements en mars pour les 5 dernières années



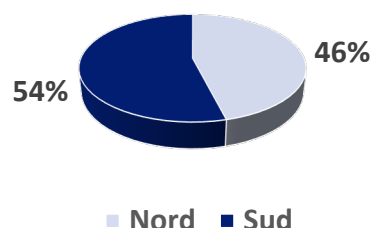
REPARTITION DES CONFIGURATIONS



Répartition des mouvements sur les deux doublets

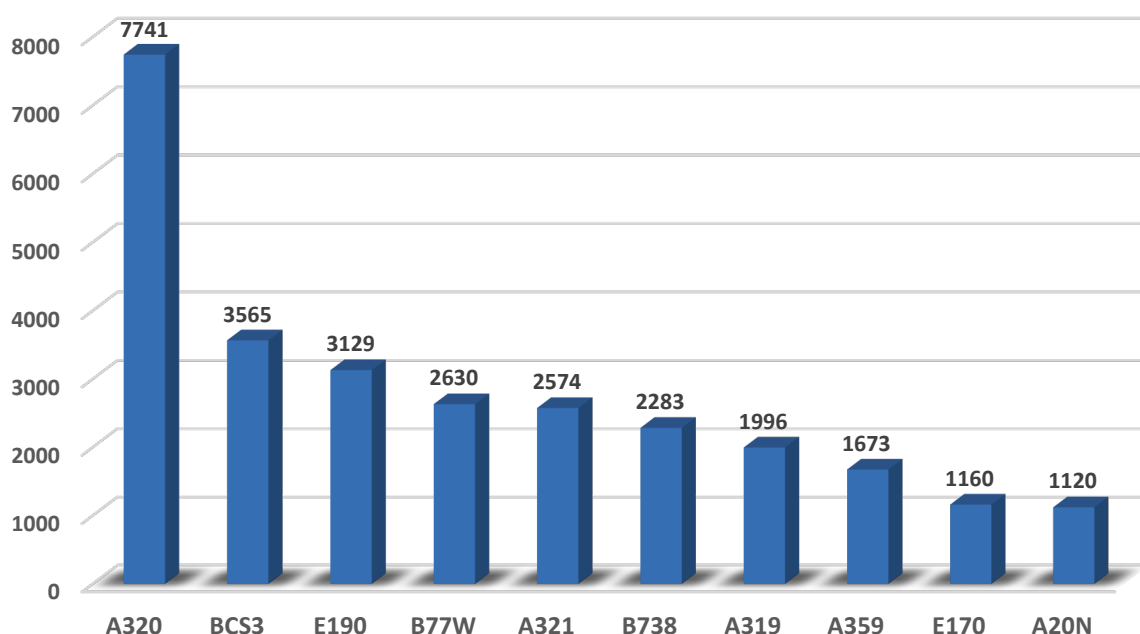


Répartition des départs en face à l'Ouest sur les deux doublets



MOUVEMENTS PAR TYPES AVIONS

Nombre de mouvements par type avion (10 types avion les plus représentés)



COMMENTAIRES

Le nombre de mouvements quotidiens moyen a été de 1179 alors qu'il était de 1133 au mois de mars 2023.

Le taux de fonctionnement des stations a été supérieur à 95%.

En raison d'un environnement sonore trop perturbé à Saint-Pathus, la quantité de données validées est trop faible pour pouvoir afficher des valeurs représentatives de ce site. Les pages concernant cette station de mesure ont donc été supprimées de ce rapport.

Aéroport Paris-Charles de Gaulle

Stations de mesure du bruit des avions

Doublet Nord, à l'Ouest :

Louvres : 11 Rue du 11 novembre

Ecouen : Site de Veolia

Montlignon : Chemin de la Justice

Villiers-le-Bel : Chemin départemental n°10 de Sarcelles à Plailly

Goussainville W1 : 1 Rue Montmousseau

Goussainville : Parc communal du vieux village - 6/7 place Hyacinthe Drujon

Goussainville W3 : Chemin de la vierge

Doublet Nord, à l'Est :

Le Mesnil-Amelot : Pépinière CARNET - Chemin rural n°5 de la Chapelle de Guivry

Villeneuve sous Dammartin E3 : Chemin rural n°1 dit du Tremblay à Villeneuve

Villeneuve sous Dammartin E1 : Chemin rural n°8 dit de Villeneuve à Thieux

Juilly-Saint-Mard : Chemin rural dit de Godriel

Saint-Souplets : Allée du château fort

Saint-Pathus : Rue Simone de Beauvoir

Doublet Sud, à l'Ouest :

Deuil-la-Barre : Sentier Encheval

Eaubonne : 5 avenue de l'Alliance

Sarcelles : Rue Raphaël

Gonesse : Chemin n°5 dit de l'Eglantier

Gonesse Mairie : 7 rue Furmanek

Gonesse W2 : Parc de la patte d'oie

Gonesse W4 : Chemin rural n°22 dit de Tremblay à Gonesse

Doublet Sud à l'Est :

Compans E4 : 19 rue de l'église

Thieux E2 : Lieu-dit le petit moulin - Chemin rural des nourrices

Nantouillet : Chemin rural des Vignes

Vinantes : Chemin rural n°1 de Vinantes à Meaux

Monthyon : Rue Gambetta



Tableau Mensuel - Mars 2024

Indicateurs mensuels pour Paris - CDG

| Stations | Décollages | | | Atterrissages | | | Tous Mouvements | | | Lday en dBA | Levening en dBA | Lnight en dBA | LDEN en dBA | Taux d'activité avant invalidations | Taux d'activité après invalidations |
|------------------------------|---------------------------|------------------------|-------|---------------------------|------------------------|-------|---------------------------|------------------------|-------|-------------|-----------------|---------------|-------------|-------------------------------------|-------------------------------------|
| | LAeq Bruit Ambiant en dBA | LAeq Évènements en dBA | Écart | LAeq Bruit Ambiant en dBA | LAeq Évènements en dBA | Écart | LAeq Bruit Ambiant en dBA | LAeq Évènements en dBA | Écart | | | | | | |
| Compans E4 | 62,4 | 62,1 | 0,3 | 65,1 | 64,8 | 0,3 | 64,31 | 64,11 | 0,2 | 65,3 | 64,6 | 60,01 | 68,4 | 99,9% | 97,5% |
| Deuil-la-Barre | 53 | 52,1 | 0,9 | 54,4 | 53,9 | 0,5 | 53,56 | 52,87 | 0,7 | 53,7 | 53,5 | 48,23 | 57,5 | 99,9% | 80,8% |
| Eaubonne | 53,8 | 52 | 1,8 | 55,2 | 54,2 | 1 | 54,13 | 52,69 | 1,4 | 53,7 | 53 | 47,3 | 56,2 | 99,9% | 85,4% |
| Ecouen | 59 | 58 | 1 | 56,5 | 55 | 1,5 | 58,43 | 57,32 | 1,1 | 58,4 | 58 | 53,28 | 61,5 | 99,9% | 97,1% |
| Gonesse | 58,5 | 57,8 | 0,7 | 58,8 | 58,3 | 0,5 | 58,57 | 57,92 | 0,7 | 58,7 | 58,5 | 53,5 | 62,0 | 99,9% | 90,5% |
| Gonesse Mairie | 59,5 | 58,9 | 0,6 | 61 | 60,6 | 0,4 | 59,98 | 59,42 | 0,6 | 60,3 | 59,8 | 54,54 | 63,3 | 99,8% | 80,1% |
| Gonesse W2 | 60,3 | 60,1 | 0,2 | 58,4 | 57,8 | 0,6 | 59,69 | 59,38 | 0,3 | 60,5 | 60,2 | 55,03 | 63,5 | 99,9% | 97,4% |
| Gonesse W4 | 61,3 | 60,8 | 0,5 | 63,2 | 62,8 | 0,4 | 62,14 | 61,7 | 0,4 | 63 | 62,3 | 57,05 | 65,8 | 99,9% | 82,4% |
| Goussainville | 60,8 | 60,6 | 0,2 | 53,3 | 51,9 | 1,4 | 59,56 | 59,27 | 0,3 | 60,5 | 59,7 | 55,11 | 63,8 | 99,9% | 91,3% |
| Goussainville W1 | 61,3 | 60,9 | 0,4 | 60,5 | 59,8 | 0,7 | 60,99 | 60,52 | 0,5 | 61,6 | 61,1 | 56,55 | 65,0 | 99,9% | 95,1% |
| Goussainville W3 | 63,1 | 62,5 | 0,6 | 64 | 63,4 | 0,6 | 63,45 | 62,86 | 0,6 | 63,6 | 62,8 | 58,51 | 67,3 | 99,9% | 85,1% |
| Juilly-Saint-Mard | 57,2 | 56,3 | 0,9 | 57,1 | 56,4 | 0,7 | 57,15 | 56,39 | 0,7 | 57,4 | 56 | 53,46 | 61,0 | 99,9% | 94,8% |
| Le Mesnil-Amelot | 62,8 | 62,5 | 0,3 | 56,1 | 54,2 | 1,9 | 60,14 | 59,5 | 0,6 | 61,2 | 58,3 | 55,15 | 64,4 | 99,9% | 84,7% |
| Louvres | 54 | 48,3 | 5,7 | 53,4 | 47,2 | 6,2 | 53,66 | 47,54 | 6,2 | 48,9 | 46 | 45,09 | 52,7 | 99,9% | 93,7% |
| Monthyon | 53,7 | 52,8 | 0,9 | 56,2 | 55,8 | 0,4 | 55,56 | 55,09 | 0,5 | 56,1 | 55,9 | 50,28 | 59,0 | 99,9% | 94,7% |
| Montlignon | 48,6 | 46,9 | 1,7 | 53 | 52,5 | 0,5 | 50,52 | 49,54 | 1 | 51,1 | 49,5 | 44,48 | 53,2 | 99,9% | 89,6% |
| Nantouillet | 59,4 | 59,2 | 0,2 | 60,8 | 60,7 | 0,1 | 60,41 | 60,29 | 0,1 | 61,6 | 60,7 | 56,01 | 64,3 | 99,9% | 97,8% |
| Saint-Pathus | - | - | - | - | - | - | - | - | - | - | - | - | - | 99,9% | 13,3% |
| Saint-Soupplets | 51,1 | 49,7 | 1,4 | 53,3 | 52,7 | 0,6 | 52,71 | 51,94 | 0,8 | 53,2 | 51,9 | 48,56 | 56,3 | 99,9% | 89,3% |
| Sarcelles | 55,9 | 55,6 | 0,3 | 56,2 | 56 | 0,2 | 56,02 | 55,72 | 0,3 | 56,9 | 56,7 | 51,18 | 59,7 | 99,9% | 96,8% |
| Thieux E2 | 61,8 | 61,6 | 0,2 | 58,5 | 58 | 0,5 | 59,88 | 59,53 | 0,4 | 60,9 | 60 | 54,69 | 63,5 | 99,9% | 94,1% |
| Villeneuve-sous-Dammartin E1 | 59,3 | 58,9 | 0,4 | 58,3 | 57,9 | 0,4 | 58,67 | 58,31 | 0,4 | 59,3 | 57,9 | 55,44 | 62,9 | 99,9% | 95,1% |
| Villeneuve-sous-Dammartin E3 | 61 | 60,7 | 0,3 | 61,9 | 61,6 | 0,3 | 61,67 | 61,36 | 0,3 | 62,4 | 61 | 58,54 | 66,1 | 99,9% | 96,1% |
| Villiers-le-Bel | 59,4 | 57,9 | 1,5 | 60,8 | 59,5 | 1,3 | 59,87 | 58,42 | 1,5 | 59,3 | 57,9 | 52,81 | 61,5 | 99,9% | 69,1% |
| Vinantes | 57,3 | 57 | 0,3 | 58 | 57,8 | 0,2 | 57,84 | 57,63 | 0,2 | 58,9 | 58,2 | 53,3 | 61,6 | 99,9% | 97,3% |

Activité - Mars 2024

Tableau des invalidations pour journées incomplètes pour Paris - CDG

| Station | Date | Taux d'activité | Calcul LAeq Bruit Ambiant (>70%) | Calcul LAeq Bruit Évènements(>70%) | Calcul LDEN (>90%) |
|-------------------|------------|-----------------|----------------------------------|------------------------------------|--------------------|
| Deuil-la-Barre | 2024-03-01 | 87,4% | ✓ | ✓ | ⊗ |
| Goussainville W3 | 2024-03-01 | 83,3% | ✓ | ✓ | ⊗ |
| Le Mesnil-Amelot | 2024-03-01 | 87,4% | ✓ | ✓ | ⊗ |
| Goussainville W3 | 2024-03-02 | 87,4% | ✓ | ✓ | ⊗ |
| Le Mesnil-Amelot | 2024-03-02 | 87,4% | ✓ | ✓ | ⊗ |
| Saint-Pathus | 2024-03-02 | 79,1% | ✓ | ✓ | ⊗ |
| Villiers-le-Bel | 2024-03-02 | 79,1% | ✓ | ✓ | ⊗ |
| Goussainville W3 | 2024-03-03 | 79,1% | ✓ | ✓ | ⊗ |
| Le Mesnil-Amelot | 2024-03-03 | 87,4% | ✓ | ✓ | ⊗ |
| Saint-Pathus | 2024-03-03 | 4,2% | ⊗ | ⊗ | ⊗ |
| Deuil-la-Barre | 2024-03-04 | 66,6% | ⊗ | ⊗ | ⊗ |
| Goussainville W1 | 2024-03-04 | 87,4% | ✓ | ✓ | ⊗ |
| Goussainville W3 | 2024-03-04 | 79,1% | ✓ | ✓ | ⊗ |
| Montlignon | 2024-03-04 | 87,4% | ✓ | ✓ | ⊗ |
| Villiers-le-Bel | 2024-03-04 | 75,0% | ✓ | ✓ | ⊗ |
| Deuil-la-Barre | 2024-03-05 | 83,3% | ✓ | ✓ | ⊗ |
| Eaubonne | 2024-03-05 | 79,1% | ✓ | ✓ | ⊗ |
| Goussainville W3 | 2024-03-05 | 83,3% | ✓ | ✓ | ⊗ |
| Villiers-le-Bel | 2024-03-05 | 87,4% | ✓ | ✓ | ⊗ |
| Deuil-la-Barre | 2024-03-06 | 79,1% | ✓ | ✓ | ⊗ |
| Gonesse Mairie | 2024-03-06 | 83,3% | ✓ | ✓ | ⊗ |
| Goussainville W3 | 2024-03-06 | 87,4% | ✓ | ✓ | ⊗ |
| Louvres | 2024-03-06 | 87,4% | ✓ | ✓ | ⊗ |
| Montlignon | 2024-03-06 | 87,4% | ✓ | ✓ | ⊗ |
| Saint-Pathus | 2024-03-06 | 20,8% | ⊗ | ⊗ | ⊗ |
| Villiers-le-Bel | 2024-03-06 | 87,4% | ✓ | ✓ | ⊗ |
| Compans E4 | 2024-03-07 | 83,3% | ✓ | ✓ | ⊗ |
| Eaubonne | 2024-03-07 | 79,1% | ✓ | ✓ | ⊗ |
| Gonesse | 2024-03-07 | 87,4% | ✓ | ✓ | ⊗ |
| Gonesse Mairie | 2024-03-07 | 87,4% | ✓ | ✓ | ⊗ |
| Juilly-Saint-Mard | 2024-03-07 | 83,2% | ✓ | ✓ | ⊗ |
| Montlignon | 2024-03-07 | 87,5% | ✓ | ✓ | ⊗ |
| Saint-Pathus | 2024-03-07 | 29,2% | ⊗ | ⊗ | ⊗ |
| Villiers-le-Bel | 2024-03-07 | 79,1% | ✓ | ✓ | ⊗ |
| Gonesse Mairie | 2024-03-08 | 83,3% | ✓ | ✓ | ⊗ |
| Saint-Pathus | 2024-03-08 | 41,6% | ⊗ | ⊗ | ⊗ |
| Saint-Souplets | 2024-03-08 | 74,9% | ✓ | ✓ | ⊗ |
| Villiers-le-Bel | 2024-03-08 | 70,8% | ✓ | ✓ | ⊗ |
| Gonesse | 2024-03-09 | 87,4% | ✓ | ✓ | ⊗ |
| Goussainville W3 | 2024-03-09 | 79,1% | ✓ | ✓ | ⊗ |
| Saint-Pathus | 2024-03-09 | 16,6% | ⊗ | ⊗ | ⊗ |
| Villiers-le-Bel | 2024-03-09 | 70,8% | ✓ | ✓ | ⊗ |
| Deuil-la-Barre | 2024-03-10 | 74,9% | ✓ | ✓ | ⊗ |
| Gonesse | 2024-03-10 | 87,4% | ✓ | ✓ | ⊗ |
| Gonesse Mairie | 2024-03-10 | 87,4% | ✓ | ✓ | ⊗ |
| Saint-Pathus | 2024-03-10 | 16,7% | ⊗ | ⊗ | ⊗ |
| Villiers-le-Bel | 2024-03-10 | 58,3% | ⊗ | ⊗ | ⊗ |
| Eaubonne | 2024-03-11 | 87,4% | ✓ | ✓ | ⊗ |
| Goussainville W3 | 2024-03-11 | 79,1% | ✓ | ✓ | ⊗ |
| Le Mesnil-Amelot | 2024-03-11 | 70,8% | ✓ | ✓ | ⊗ |
| Saint-Pathus | 2024-03-11 | 12,5% | ⊗ | ⊗ | ⊗ |
| Villiers-le-Bel | 2024-03-11 | 29,1% | ⊗ | ⊗ | ⊗ |
| Deuil-la-Barre | 2024-03-12 | 79,1% | ✓ | ✓ | ⊗ |
| Gonesse | 2024-03-12 | 83,3% | ✓ | ✓ | ⊗ |
| Gonesse Mairie | 2024-03-12 | 83,3% | ✓ | ✓ | ⊗ |
| Gonesse W4 | 2024-03-12 | 83,3% | ✓ | ✓ | ⊗ |
| Montlignon | 2024-03-12 | 79,1% | ✓ | ✓ | ⊗ |
| Villiers-le-Bel | 2024-03-12 | 41,6% | ⊗ | ⊗ | ⊗ |

| Station | Date | Taux d'activité | Calcul LAeq Bruit Ambiant (>70%) | Calcul LAeq Bruit Évènements(>70%) | Calcul LDEN (>90%) |
|------------------------------|------------|-----------------|-------------------------------------|---------------------------------------|-----------------------|
| Deuil-la-Barre | 2024-03-13 | 70,8% | ✓ | ✓ | ⊗ |
| Eaubonne | 2024-03-13 | 87,4% | ✓ | ✓ | ⊗ |
| Gonesse Mairie | 2024-03-13 | 74,9% | ✓ | ✓ | ⊗ |
| Goussainville W3 | 2024-03-13 | 87,4% | ✓ | ✓ | ⊗ |
| Le Mesnil-Amelot | 2024-03-13 | 87,4% | ✓ | ✓ | ⊗ |
| Saint-Pathus | 2024-03-13 | 8,3% | ⊗ | ⊗ | ⊗ |
| Saint-Soupplets | 2024-03-13 | 87,4% | ✓ | ✓ | ⊗ |
| Villiers-le-Bel | 2024-03-13 | 33,3% | ⊗ | ⊗ | ⊗ |
| Deuil-la-Barre | 2024-03-14 | 74,9% | ✓ | ✓ | ⊗ |
| Eaubonne | 2024-03-14 | 79,1% | ✓ | ✓ | ⊗ |
| Gonesse Mairie | 2024-03-14 | 74,9% | ✓ | ✓ | ⊗ |
| Gonesse W4 | 2024-03-14 | 74,9% | ✓ | ✓ | ⊗ |
| Goussainville W1 | 2024-03-14 | 70,8% | ✓ | ✓ | ⊗ |
| Goussainville W3 | 2024-03-14 | 79,1% | ✓ | ✓ | ⊗ |
| Le Mesnil-Amelot | 2024-03-14 | 83,3% | ✓ | ✓ | ⊗ |
| Montlignon | 2024-03-14 | 87,4% | ✓ | ✓ | ⊗ |
| Saint-Pathus | 2024-03-14 | 25,0% | ⊗ | ⊗ | ⊗ |
| Saint-Soupplets | 2024-03-14 | 79,1% | ✓ | ✓ | ⊗ |
| Sarcelles | 2024-03-14 | 87,4% | ✓ | ✓ | ⊗ |
| Thieux E2 | 2024-03-14 | 83,3% | ✓ | ✓ | ⊗ |
| Villiers-le-Bel | 2024-03-14 | 62,4% | ⊗ | ⊗ | ⊗ |
| Deuil-la-Barre | 2024-03-15 | 66,6% | ⊗ | ⊗ | ⊗ |
| Eaubonne | 2024-03-15 | 87,4% | ✓ | ✓ | ⊗ |
| Gonesse Mairie | 2024-03-15 | 70,8% | ✓ | ✓ | ⊗ |
| Gonesse W4 | 2024-03-15 | 4,2% | ⊗ | ⊗ | ⊗ |
| Goussainville | 2024-03-15 | 83,3% | ✓ | ✓ | ⊗ |
| Goussainville W1 | 2024-03-15 | 87,4% | ✓ | ✓ | ⊗ |
| Goussainville W3 | 2024-03-15 | 74,9% | ✓ | ✓ | ⊗ |
| Juilly-Saint-Mard | 2024-03-15 | 87,5% | ✓ | ✓ | ⊗ |
| Le Mesnil-Amelot | 2024-03-15 | 74,9% | ✓ | ✓ | ⊗ |
| Louvres | 2024-03-15 | 83,3% | ✓ | ✓ | ⊗ |
| Montlignon | 2024-03-15 | 62,5% | ⊗ | ⊗ | ⊗ |
| Saint-Pathus | 2024-03-15 | 4,2% | ⊗ | ⊗ | ⊗ |
| Saint-Soupplets | 2024-03-15 | 87,4% | ✓ | ✓ | ⊗ |
| Sarcelles | 2024-03-15 | 87,4% | ✓ | ✓ | ⊗ |
| Thieux E2 | 2024-03-15 | 83,3% | ✓ | ✓ | ⊗ |
| Villeneuve-sous-Dammartin E1 | 2024-03-15 | 87,4% | ✓ | ✓ | ⊗ |
| Villiers-le-Bel | 2024-03-15 | 79,1% | ✓ | ✓ | ⊗ |
| Vinantes | 2024-03-15 | 87,4% | ✓ | ✓ | ⊗ |
| Deuil-la-Barre | 2024-03-16 | 66,6% | ⊗ | ⊗ | ⊗ |
| Eaubonne | 2024-03-16 | 87,4% | ✓ | ✓ | ⊗ |
| Gonesse | 2024-03-16 | 79,1% | ✓ | ✓ | ⊗ |
| Gonesse Mairie | 2024-03-16 | 74,9% | ✓ | ✓ | ⊗ |
| Gonesse W4 | 2024-03-16 | 29,1% | ⊗ | ⊗ | ⊗ |
| Goussainville W3 | 2024-03-16 | 83,3% | ✓ | ✓ | ⊗ |
| Juilly-Saint-Mard | 2024-03-16 | 79,1% | ✓ | ✓ | ⊗ |
| Le Mesnil-Amelot | 2024-03-16 | 58,3% | ⊗ | ⊗ | ⊗ |
| Monthyon | 2024-03-16 | 79,1% | ✓ | ✓ | ⊗ |
| Montlignon | 2024-03-16 | 74,9% | ✓ | ✓ | ⊗ |
| Saint-Soupplets | 2024-03-16 | 83,3% | ✓ | ✓ | ⊗ |
| Villeneuve-sous-Dammartin E3 | 2024-03-16 | 83,3% | ✓ | ✓ | ⊗ |
| Villiers-le-Bel | 2024-03-16 | 74,9% | ✓ | ✓ | ⊗ |
| Deuil-la-Barre | 2024-03-17 | 74,9% | ✓ | ✓ | ⊗ |
| Eaubonne | 2024-03-17 | 83,2% | ✓ | ✓ | ⊗ |
| Gonesse Mairie | 2024-03-17 | 87,4% | ✓ | ✓ | ⊗ |
| Gonesse W4 | 2024-03-17 | 74,9% | ✓ | ✓ | ⊗ |
| Goussainville W3 | 2024-03-17 | 83,3% | ✓ | ✓ | ⊗ |
| Montlignon | 2024-03-17 | 79,1% | ✓ | ✓ | ⊗ |
| Deuil-la-Barre | 2024-03-18 | 87,4% | ✓ | ✓ | ⊗ |
| Gonesse Mairie | 2024-03-18 | 70,8% | ✓ | ✓ | ⊗ |
| Goussainville W3 | 2024-03-18 | 74,9% | ✓ | ✓ | ⊗ |
| Le Mesnil-Amelot | 2024-03-18 | 70,8% | ✓ | ✓ | ⊗ |
| Deuil-la-Barre | 2024-03-19 | 87,4% | ✓ | ✓ | ⊗ |

| Station | Date | Taux d'activité | Calcul LAeq Bruit Ambiant (>70%) | Calcul LAeq Bruit Évènements(>70%) | Calcul LDEN (>90%) |
|------------------------------|------------|-----------------|-------------------------------------|---------------------------------------|-----------------------|
| Eaubonne | 2024-03-19 | 79,1% | ✓ | ✓ | ⊗ |
| Gonesse Mairie | 2024-03-19 | 43,8% | ⊗ | ⊗ | ⊗ |
| Goussainville | 2024-03-19 | 87,4% | ✓ | ✓ | ⊗ |
| Goussainville W1 | 2024-03-19 | 66,6% | ⊗ | ⊗ | ⊗ |
| Goussainville W3 | 2024-03-19 | 62,4% | ⊗ | ⊗ | ⊗ |
| Juilly-Saint-Mard | 2024-03-19 | 87,4% | ✓ | ✓ | ⊗ |
| Le Mesnil-Amelot | 2024-03-19 | 62,4% | ⊗ | ⊗ | ⊗ |
| Louvres | 2024-03-19 | 87,4% | ✓ | ✓ | ⊗ |
| Saint-Soupplets | 2024-03-19 | 66,6% | ⊗ | ⊗ | ⊗ |
| Sarcelles | 2024-03-19 | 87,4% | ✓ | ✓ | ⊗ |
| Thieux E2 | 2024-03-19 | 74,9% | ✓ | ✓ | ⊗ |
| Villeneuve-sous-Dammartin E3 | 2024-03-19 | 83,3% | ✓ | ✓ | ⊗ |
| Compans E4 | 2024-03-20 | 87,4% | ✓ | ✓ | ⊗ |
| Deuil-la-Barre | 2024-03-20 | 79,1% | ✓ | ✓ | ⊗ |
| Eaubonne | 2024-03-20 | 83,2% | ✓ | ✓ | ⊗ |
| Gonesse | 2024-03-20 | 83,2% | ✓ | ✓ | ⊗ |
| Gonesse Mairie | 2024-03-20 | 62,4% | ⊗ | ⊗ | ⊗ |
| Gonesse W4 | 2024-03-20 | 79,1% | ✓ | ✓ | ⊗ |
| Goussainville | 2024-03-20 | 75,0% | ✓ | ✓ | ⊗ |
| Goussainville W3 | 2024-03-20 | 83,3% | ✓ | ✓ | ⊗ |
| Le Mesnil-Amelot | 2024-03-20 | 83,3% | ✓ | ✓ | ⊗ |
| Louvres | 2024-03-20 | 74,9% | ✓ | ✓ | ⊗ |
| Monthyon | 2024-03-20 | 83,3% | ✓ | ✓ | ⊗ |
| Saint-Soupplets | 2024-03-20 | 79,1% | ✓ | ✓ | ⊗ |
| Sarcelles | 2024-03-20 | 87,4% | ✓ | ✓ | ⊗ |
| Thieux E2 | 2024-03-20 | 87,4% | ✓ | ✓ | ⊗ |
| Deuil-la-Barre | 2024-03-21 | 70,8% | ✓ | ✓ | ⊗ |
| Eaubonne | 2024-03-21 | 58,3% | ⊗ | ⊗ | ⊗ |
| Gonesse | 2024-03-21 | 79,1% | ✓ | ✓ | ⊗ |
| Gonesse Mairie | 2024-03-21 | 54,1% | ⊗ | ⊗ | ⊗ |
| Gonesse W2 | 2024-03-21 | 87,4% | ✓ | ✓ | ⊗ |
| Le Mesnil-Amelot | 2024-03-21 | 62,4% | ⊗ | ⊗ | ⊗ |
| Louvres | 2024-03-21 | 87,4% | ✓ | ✓ | ⊗ |
| Monthyon | 2024-03-21 | 74,9% | ✓ | ✓ | ⊗ |
| Deuil-la-Barre | 2024-03-22 | 62,4% | ⊗ | ⊗ | ⊗ |
| Eaubonne | 2024-03-22 | 70,8% | ✓ | ✓ | ⊗ |
| Ecouen | 2024-03-22 | 83,3% | ✓ | ✓ | ⊗ |
| Gonesse | 2024-03-22 | 79,1% | ✓ | ✓ | ⊗ |
| Gonesse Mairie | 2024-03-22 | 70,8% | ✓ | ✓ | ⊗ |
| Gonesse W4 | 2024-03-22 | 79,1% | ✓ | ✓ | ⊗ |
| Goussainville W3 | 2024-03-22 | 87,4% | ✓ | ✓ | ⊗ |
| Le Mesnil-Amelot | 2024-03-22 | 66,5% | ⊗ | ⊗ | ⊗ |
| Louvres | 2024-03-22 | 83,3% | ✓ | ✓ | ⊗ |
| Montlignon | 2024-03-22 | 70,8% | ✓ | ✓ | ⊗ |
| Saint-Soupplets | 2024-03-22 | 83,3% | ✓ | ✓ | ⊗ |
| Thieux E2 | 2024-03-22 | 87,4% | ✓ | ✓ | ⊗ |
| Villiers-le-Bel | 2024-03-22 | 45,8% | ⊗ | ⊗ | ⊗ |
| Deuil-la-Barre | 2024-03-23 | 87,4% | ✓ | ✓ | ⊗ |
| Eaubonne | 2024-03-23 | 62,4% | ⊗ | ⊗ | ⊗ |
| Gonesse | 2024-03-23 | 79,1% | ✓ | ✓ | ⊗ |
| Gonesse Mairie | 2024-03-23 | 70,8% | ✓ | ✓ | ⊗ |
| Le Mesnil-Amelot | 2024-03-23 | 66,6% | ⊗ | ⊗ | ⊗ |
| Saint-Soupplets | 2024-03-23 | 74,9% | ✓ | ✓ | ⊗ |
| Villiers-le-Bel | 2024-03-23 | 33,3% | ⊗ | ⊗ | ⊗ |
| Deuil-la-Barre | 2024-03-24 | 79,1% | ✓ | ✓ | ⊗ |
| Eaubonne | 2024-03-24 | 70,8% | ✓ | ✓ | ⊗ |
| Gonesse | 2024-03-24 | 83,3% | ✓ | ✓ | ⊗ |
| Gonesse Mairie | 2024-03-24 | 79,1% | ✓ | ✓ | ⊗ |
| Gonesse W4 | 2024-03-24 | 20,8% | ⊗ | ⊗ | ⊗ |
| Saint-Soupplets | 2024-03-24 | 87,4% | ✓ | ✓ | ⊗ |
| Villiers-le-Bel | 2024-03-24 | 50,0% | ⊗ | ⊗ | ⊗ |
| Eaubonne | 2024-03-25 | 87,4% | ✓ | ✓ | ⊗ |
| Gonesse | 2024-03-25 | 87,4% | ✓ | ✓ | ⊗ |

| Station | Date | Taux d'activité | Calcul LAeq Bruit Ambiant (>70%) | Calcul LAeq Bruit Évènements(>70%) | Calcul LDEN (>90%) |
|------------------------------|------------|-----------------|----------------------------------|------------------------------------|--------------------|
| Saint-Pathus | 2024-03-25 | 74,9% | ✓ | ✓ | ⊗ |
| Villiers-le-Bel | 2024-03-25 | 50,0% | ⊗ | ⊗ | ⊗ |
| Compans E4 | 2024-03-26 | 87,4% | ✓ | ✓ | ⊗ |
| Gonesse Mairie | 2024-03-26 | 83,3% | ✓ | ✓ | ⊗ |
| Goussainville | 2024-03-26 | 74,9% | ✓ | ✓ | ⊗ |
| Monthyon | 2024-03-26 | 87,4% | ✓ | ✓ | ⊗ |
| Saint-Pathus | 2024-03-26 | 16,7% | ⊗ | ⊗ | ⊗ |
| Saint-Soupplets | 2024-03-26 | 79,1% | ✓ | ✓ | ⊗ |
| Thieux E2 | 2024-03-26 | 87,4% | ✓ | ✓ | ⊗ |
| Villeneuve-sous-Dammartin E1 | 2024-03-26 | 87,4% | ✓ | ✓ | ⊗ |
| Villiers-le-Bel | 2024-03-26 | 87,4% | ✓ | ✓ | ⊗ |
| Deuil-la-Barre | 2024-03-27 | 70,8% | ✓ | ✓ | ⊗ |
| Gonesse Mairie | 2024-03-27 | 79,1% | ✓ | ✓ | ⊗ |
| Gonesse W2 | 2024-03-27 | 87,4% | ✓ | ✓ | ⊗ |
| Goussainville W3 | 2024-03-27 | 87,4% | ✓ | ✓ | ⊗ |
| Louvres | 2024-03-27 | 87,4% | ✓ | ✓ | ⊗ |
| Montlignon | 2024-03-27 | 87,4% | ✓ | ✓ | ⊗ |
| Saint-Pathus | 2024-03-27 | 4,2% | ⊗ | ⊗ | ⊗ |
| Villiers-le-Bel | 2024-03-27 | 62,5% | ⊗ | ⊗ | ⊗ |
| Deuil-la-Barre | 2024-03-28 | 70,8% | ✓ | ✓ | ⊗ |
| Eaubonne | 2024-03-28 | 70,8% | ✓ | ✓ | ⊗ |
| Gonesse Mairie | 2024-03-28 | 79,1% | ✓ | ✓ | ⊗ |
| Gonesse W4 | 2024-03-28 | 66,6% | ⊗ | ⊗ | ⊗ |
| Goussainville | 2024-03-28 | 87,4% | ✓ | ✓ | ⊗ |
| Goussainville W3 | 2024-03-28 | 79,1% | ✓ | ✓ | ⊗ |
| Jully-Saint-Mard | 2024-03-28 | 70,8% | ✓ | ✓ | ⊗ |
| Le Mesnil-Amelot | 2024-03-28 | 70,8% | ✓ | ✓ | ⊗ |
| Monthyon | 2024-03-28 | 83,3% | ✓ | ✓ | ⊗ |
| Saint-Soupplets | 2024-03-28 | 50,0% | ⊗ | ⊗ | ⊗ |
| Villeneuve-sous-Dammartin E1 | 2024-03-28 | 70,8% | ✓ | ✓ | ⊗ |
| Villeneuve-sous-Dammartin E3 | 2024-03-28 | 79,1% | ✓ | ✓ | ⊗ |
| Vinantes | 2024-03-28 | 49,9% | ⊗ | ⊗ | ⊗ |
| Deuil-la-Barre | 2024-03-29 | 79,1% | ✓ | ✓ | ⊗ |
| Eaubonne | 2024-03-29 | 79,1% | ✓ | ✓ | ⊗ |
| Gonesse W2 | 2024-03-29 | 87,4% | ✓ | ✓ | ⊗ |
| Goussainville | 2024-03-29 | 79,1% | ✓ | ✓ | ⊗ |
| Goussainville W3 | 2024-03-29 | 70,8% | ✓ | ✓ | ⊗ |
| Le Mesnil-Amelot | 2024-03-29 | 66,6% | ⊗ | ⊗ | ⊗ |
| Montlignon | 2024-03-29 | 66,6% | ⊗ | ⊗ | ⊗ |
| Saint-Pathus | 2024-03-29 | 25,0% | ⊗ | ⊗ | ⊗ |
| Villiers-le-Bel | 2024-03-29 | 70,8% | ✓ | ✓ | ⊗ |
| Deuil-la-Barre | 2024-03-30 | 70,8% | ✓ | ✓ | ⊗ |
| Eaubonne | 2024-03-30 | 74,9% | ✓ | ✓ | ⊗ |
| Gonesse | 2024-03-30 | 79,1% | ✓ | ✓ | ⊗ |
| Gonesse Mairie | 2024-03-30 | 66,6% | ⊗ | ⊗ | ⊗ |
| Goussainville | 2024-03-30 | 79,1% | ✓ | ✓ | ⊗ |
| Goussainville W3 | 2024-03-30 | 87,4% | ✓ | ✓ | ⊗ |
| Saint-Pathus | 2024-03-30 | 8,3% | ⊗ | ⊗ | ⊗ |
| Saint-Soupplets | 2024-03-30 | 87,4% | ✓ | ✓ | ⊗ |
| Villiers-le-Bel | 2024-03-30 | 70,8% | ✓ | ✓ | ⊗ |
| Compans E4 | 2024-03-31 | 87,4% | ✓ | ✓ | ⊗ |
| Deuil-la-Barre | 2024-03-31 | 79,1% | ✓ | ✓ | ⊗ |
| Eaubonne | 2024-03-31 | 83,2% | ✓ | ✓ | ⊗ |
| Ecouen | 2024-03-31 | 87,4% | ✓ | ✓ | ⊗ |
| Gonesse | 2024-03-31 | 83,3% | ✓ | ✓ | ⊗ |
| Gonesse Mairie | 2024-03-31 | 66,6% | ⊗ | ⊗ | ⊗ |
| Gonesse W4 | 2024-03-31 | 83,3% | ✓ | ✓ | ⊗ |
| Goussainville | 2024-03-31 | 62,4% | ⊗ | ⊗ | ⊗ |
| Goussainville W3 | 2024-03-31 | 83,3% | ✓ | ✓ | ⊗ |
| Le Mesnil-Amelot | 2024-03-31 | 87,4% | ✓ | ✓ | ⊗ |
| Louvres | 2024-03-31 | 70,8% | ✓ | ✓ | ⊗ |
| Monthyon | 2024-03-31 | 83,3% | ✓ | ✓ | ⊗ |
| Montlignon | 2024-03-31 | 83,3% | ✓ | ✓ | ⊗ |

| Station | Date | Taux d'activité | Calcul LAeq Bruit Ambiant (>70%) | Calcul LAeq Bruit Évènements(>70%) | Calcul LDEN (>90%) |
|------------------------------|------------|-----------------|----------------------------------|------------------------------------|--------------------|
| Saint-Pathus | 2024-03-31 | 25,0% | ⊖ | ⊖ | ⊖ |
| Saint-Souplets | 2024-03-31 | 79,1% | ✓ | ✓ | ⊖ |
| Thieux E2 | 2024-03-31 | 79,1% | ✓ | ✓ | ⊖ |
| Villeneuve-sous-Dammartin E1 | 2024-03-31 | 83,3% | ✓ | ✓ | ⊖ |
| Villeneuve-sous-Dammartin E3 | 2024-03-31 | 74,9% | ✓ | ✓ | ⊖ |
| Villiers-le-Bel | 2024-03-31 | 62,5% | ⊖ | ⊖ | ⊖ |

✓ Valeur calculée

⊖ Valeur non-calculée

Invalidations - Mars 2024

Liste des périodes invalidées (pour bruits parasites ou problèmes métrologiques) pour Paris - CDG

| Station | Date | Durée d'invalidation (en heures) |
|------------------------------|------------|----------------------------------|
| Deuil-la-Barre | 2024-03-01 | 3 |
| Gonesse | 2024-03-01 | 2 |
| Goussainville | 2024-03-01 | 1 |
| Goussainville W1 | 2024-03-01 | 2 |
| Goussainville W3 | 2024-03-01 | 4 |
| Le Mesnil-Amelot | 2024-03-01 | 3 |
| Saint-Pathus | 2024-03-01 | 24 |
| Thieux E2 | 2024-03-01 | 2 |
| Villiers-le-Bel | 2024-03-01 | 1 |
| Deuil-la-Barre | 2024-03-02 | 1 |
| Eaubonne | 2024-03-02 | 1 |
| Gonesse | 2024-03-02 | 2 |
| Gonesse Mairie | 2024-03-02 | 1 |
| Goussainville W3 | 2024-03-02 | 3 |
| Le Mesnil-Amelot | 2024-03-02 | 3 |
| Montlignon | 2024-03-02 | 1 |
| Saint-Pathus | 2024-03-02 | 5 |
| Saint-Soupplets | 2024-03-02 | 2 |
| Villiers-le-Bel | 2024-03-02 | 5 |
| Deuil-la-Barre | 2024-03-03 | 1 |
| Eaubonne | 2024-03-03 | 2 |
| Gonesse | 2024-03-03 | 2 |
| Gonesse Mairie | 2024-03-03 | 1 |
| Goussainville W3 | 2024-03-03 | 5 |
| Le Mesnil-Amelot | 2024-03-03 | 3 |
| Montlignon | 2024-03-03 | 2 |
| Nantouillet | 2024-03-03 | 1 |
| Saint-Pathus | 2024-03-03 | 23 |
| Saint-Soupplets | 2024-03-03 | 1 |
| Thieux E2 | 2024-03-03 | 1 |
| Villeneuve-sous-Dammartin E1 | 2024-03-03 | 2 |
| Villiers-le-Bel | 2024-03-03 | 1 |
| Deuil-la-Barre | 2024-03-04 | 8 |
| Gonesse | 2024-03-04 | 1 |
| Gonesse Mairie | 2024-03-04 | 2 |
| Goussainville | 2024-03-04 | 2 |
| Goussainville W1 | 2024-03-04 | 3 |

| Station | Date | Durée d'invalidation (en heures) |
|-------------------|------------|----------------------------------|
| Goussainville W3 | 2024-03-04 | 5 |
| Monthyon | 2024-03-04 | 1 |
| Montlignon | 2024-03-04 | 3 |
| Saint-Pathus | 2024-03-04 | 24 |
| Saint-Soupplets | 2024-03-04 | 2 |
| Sarcelles | 2024-03-04 | 1 |
| Villiers-le-Bel | 2024-03-04 | 6 |
| Deuil-la-Barre | 2024-03-05 | 4 |
| Eaubonne | 2024-03-05 | 5 |
| Gonesse | 2024-03-05 | 1 |
| Gonesse Mairie | 2024-03-05 | 2 |
| Goussainville | 2024-03-05 | 1 |
| Goussainville W3 | 2024-03-05 | 4 |
| Montlignon | 2024-03-05 | 2 |
| Saint-Pathus | 2024-03-05 | 24 |
| Villiers-le-Bel | 2024-03-05 | 3 |
| Deuil-la-Barre | 2024-03-06 | 5 |
| Eaubonne | 2024-03-06 | 1 |
| Gonesse | 2024-03-06 | 2 |
| Gonesse Mairie | 2024-03-06 | 4 |
| Gonesse W2 | 2024-03-06 | 1 |
| Gonesse W4 | 2024-03-06 | 1 |
| Goussainville | 2024-03-06 | 1 |
| Goussainville W3 | 2024-03-06 | 3 |
| Le Mesnil-Amelot | 2024-03-06 | 1 |
| Louvres | 2024-03-06 | 3 |
| Montlignon | 2024-03-06 | 3 |
| Saint-Pathus | 2024-03-06 | 19 |
| Sarcelles | 2024-03-06 | 2 |
| Villiers-le-Bel | 2024-03-06 | 3 |
| Compans E4 | 2024-03-07 | 4 |
| Deuil-la-Barre | 2024-03-07 | 2 |
| Eaubonne | 2024-03-07 | 5 |
| Gonesse | 2024-03-07 | 3 |
| Gonesse Mairie | 2024-03-07 | 3 |
| Gonesse W4 | 2024-03-07 | 1 |
| Goussainville | 2024-03-07 | 1 |
| Goussainville W3 | 2024-03-07 | 2 |
| Juilly-Saint-Mard | 2024-03-07 | 4 |
| Montlignon | 2024-03-07 | 3 |
| Nantouillet | 2024-03-07 | 1 |
| Saint-Pathus | 2024-03-07 | 17 |
| Saint-Soupplets | 2024-03-07 | 1 |
| Thieux E2 | 2024-03-07 | 1 |
| Villiers-le-Bel | 2024-03-07 | 5 |
| Deuil-la-Barre | 2024-03-08 | 2 |
| Ecouen | 2024-03-08 | 1 |

| Station | Date | Durée d'invalidation (en heures) |
|------------------------------|------------|----------------------------------|
| Gonesse | 2024-03-08 | 1 |
| Gonesse Mairie | 2024-03-08 | 4 |
| Goussainville | 2024-03-08 | 2 |
| Goussainville W1 | 2024-03-08 | 2 |
| Jully-Saint-Mard | 2024-03-08 | 1 |
| Le Mesnil-Amelot | 2024-03-08 | 2 |
| Nantouillet | 2024-03-08 | 1 |
| Saint-Pathus | 2024-03-08 | 14 |
| Saint-Souplets | 2024-03-08 | 6 |
| Villeneuve-sous-Dammartin E3 | 2024-03-08 | 1 |
| Villiers-le-Bel | 2024-03-08 | 7 |
| Compans E4 | 2024-03-09 | 1 |
| Deuil-la-Barre | 2024-03-09 | 2 |
| Gonesse | 2024-03-09 | 3 |
| Gonesse Mairie | 2024-03-09 | 2 |
| Goussainville | 2024-03-09 | 2 |
| Goussainville W3 | 2024-03-09 | 5 |
| Jully-Saint-Mard | 2024-03-09 | 1 |
| Saint-Pathus | 2024-03-09 | 20 |
| Sarcelles | 2024-03-09 | 1 |
| Thieux E2 | 2024-03-09 | 1 |
| Villiers-le-Bel | 2024-03-09 | 7 |
| Compans E4 | 2024-03-10 | 1 |
| Deuil-la-Barre | 2024-03-10 | 6 |
| Gonesse | 2024-03-10 | 3 |
| Gonesse Mairie | 2024-03-10 | 3 |
| Gonesse W4 | 2024-03-10 | 1 |
| Goussainville | 2024-03-10 | 1 |
| Goussainville W1 | 2024-03-10 | 1 |
| Goussainville W3 | 2024-03-10 | 2 |
| Jully-Saint-Mard | 2024-03-10 | 1 |
| Monthyon | 2024-03-10 | 2 |
| Saint-Pathus | 2024-03-10 | 20 |
| Villiers-le-Bel | 2024-03-10 | 10 |
| Deuil-la-Barre | 2024-03-11 | 1 |
| Eaubonne | 2024-03-11 | 3 |
| Gonesse Mairie | 2024-03-11 | 1 |
| Gonesse W4 | 2024-03-11 | 1 |
| Goussainville W3 | 2024-03-11 | 5 |
| Jully-Saint-Mard | 2024-03-11 | 1 |
| Le Mesnil-Amelot | 2024-03-11 | 7 |
| Louvres | 2024-03-11 | 1 |
| Saint-Pathus | 2024-03-11 | 21 |
| Villiers-le-Bel | 2024-03-11 | 17 |
| Deuil-la-Barre | 2024-03-12 | 5 |
| Eaubonne | 2024-03-12 | 2 |
| Gonesse | 2024-03-12 | 4 |

| Station | Date | Durée d'invalidation (en heures) |
|------------------------------|------------|----------------------------------|
| Gonesse Mairie | 2024-03-12 | 4 |
| Gonesse W4 | 2024-03-12 | 4 |
| Goussainville W1 | 2024-03-12 | 1 |
| Goussainville W3 | 2024-03-12 | 1 |
| Louvres | 2024-03-12 | 2 |
| Montlignon | 2024-03-12 | 5 |
| Saint-Pathus | 2024-03-12 | 24 |
| Sarcelles | 2024-03-12 | 2 |
| Villiers-le-Bel | 2024-03-12 | 14 |
| Deuil-la-Barre | 2024-03-13 | 7 |
| Eaubonne | 2024-03-13 | 3 |
| Ecouen | 2024-03-13 | 1 |
| Gonesse Mairie | 2024-03-13 | 6 |
| Gonesse W2 | 2024-03-13 | 2 |
| Gonesse W4 | 2024-03-13 | 1 |
| Goussainville W1 | 2024-03-13 | 2 |
| Goussainville W3 | 2024-03-13 | 3 |
| Le Mesnil-Amelot | 2024-03-13 | 3 |
| Louvres | 2024-03-13 | 2 |
| Montlignon | 2024-03-13 | 2 |
| Saint-Pathus | 2024-03-13 | 22 |
| Saint-Soupplets | 2024-03-13 | 3 |
| Sarcelles | 2024-03-13 | 1 |
| Thieux E2 | 2024-03-13 | 1 |
| Villiers-le-Bel | 2024-03-13 | 16 |
| Vinantes | 2024-03-13 | 1 |
| Deuil-la-Barre | 2024-03-14 | 6 |
| Eaubonne | 2024-03-14 | 5 |
| Ecouen | 2024-03-14 | 1 |
| Gonesse | 2024-03-14 | 2 |
| Gonesse Mairie | 2024-03-14 | 6 |
| Gonesse W4 | 2024-03-14 | 6 |
| Goussainville W1 | 2024-03-14 | 7 |
| Goussainville W3 | 2024-03-14 | 5 |
| Jully-Saint-Mard | 2024-03-14 | 2 |
| Le Mesnil-Amelot | 2024-03-14 | 4 |
| Louvres | 2024-03-14 | 2 |
| Monthyon | 2024-03-14 | 2 |
| Montlignon | 2024-03-14 | 3 |
| Nantouillet | 2024-03-14 | 1 |
| Saint-Pathus | 2024-03-14 | 18 |
| Saint-Soupplets | 2024-03-14 | 5 |
| Sarcelles | 2024-03-14 | 3 |
| Thieux E2 | 2024-03-14 | 4 |
| Villeneuve-sous-Dammartin E1 | 2024-03-14 | 2 |
| Villeneuve-sous-Dammartin E3 | 2024-03-14 | 1 |
| Villiers-le-Bel | 2024-03-14 | 9 |

| Station | Date | Durée d'invalidation (en heures) |
|------------------------------|------------|----------------------------------|
| Compans E4 | 2024-03-15 | 2 |
| Deuil-la-Barre | 2024-03-15 | 8 |
| Eaubonne | 2024-03-15 | 3 |
| Ecouen | 2024-03-15 | 2 |
| Gonesse | 2024-03-15 | 2 |
| Gonesse Mairie | 2024-03-15 | 7 |
| Gonesse W2 | 2024-03-15 | 1 |
| Gonesse W4 | 2024-03-15 | 23 |
| Goussainville | 2024-03-15 | 4 |
| Goussainville W1 | 2024-03-15 | 3 |
| Goussainville W3 | 2024-03-15 | 6 |
| Juilly-Saint-Mard | 2024-03-15 | 3 |
| Le Mesnil-Amelot | 2024-03-15 | 6 |
| Louvres | 2024-03-15 | 4 |
| Monthyon | 2024-03-15 | 2 |
| Montlignon | 2024-03-15 | 9 |
| Nantouillet | 2024-03-15 | 2 |
| Saint-Pathus | 2024-03-15 | 23 |
| Saint-Soupplets | 2024-03-15 | 3 |
| Sarcelles | 2024-03-15 | 3 |
| Thieux E2 | 2024-03-15 | 4 |
| Villeneuve-sous-Dammartin E1 | 2024-03-15 | 3 |
| Villeneuve-sous-Dammartin E3 | 2024-03-15 | 2 |
| Villiers-le-Bel | 2024-03-15 | 5 |
| Vinantes | 2024-03-15 | 3 |
| Deuil-la-Barre | 2024-03-16 | 8 |
| Eaubonne | 2024-03-16 | 3 |
| Gonesse | 2024-03-16 | 5 |
| Gonesse Mairie | 2024-03-16 | 6 |
| Gonesse W2 | 2024-03-16 | 1 |
| Gonesse W4 | 2024-03-16 | 17 |
| Goussainville W1 | 2024-03-16 | 2 |
| Goussainville W3 | 2024-03-16 | 4 |
| Juilly-Saint-Mard | 2024-03-16 | 5 |
| Le Mesnil-Amelot | 2024-03-16 | 10 |
| Monthyon | 2024-03-16 | 5 |
| Montlignon | 2024-03-16 | 6 |
| Saint-Pathus | 2024-03-16 | 24 |
| Saint-Soupplets | 2024-03-16 | 4 |
| Sarcelles | 2024-03-16 | 1 |
| Thieux E2 | 2024-03-16 | 1 |
| Villeneuve-sous-Dammartin E3 | 2024-03-16 | 4 |
| Villiers-le-Bel | 2024-03-16 | 6 |
| Vinantes | 2024-03-16 | 1 |
| Deuil-la-Barre | 2024-03-17 | 6 |
| Eaubonne | 2024-03-17 | 4 |
| Gonesse Mairie | 2024-03-17 | 3 |

| Station | Date | Durée d'invalidation (en heures) |
|------------------------------|------------|----------------------------------|
| Gonesse W4 | 2024-03-17 | 6 |
| Goussainville | 2024-03-17 | 1 |
| Goussainville W3 | 2024-03-17 | 4 |
| Le Mesnil-Amelot | 2024-03-17 | 2 |
| Montlignon | 2024-03-17 | 5 |
| Saint-Pathus | 2024-03-17 | 24 |
| Saint-Soupplets | 2024-03-17 | 1 |
| Thieux E2 | 2024-03-17 | 1 |
| Villeneuve-sous-Dammartin E1 | 2024-03-17 | 1 |
| Deuil-la-Barre | 2024-03-18 | 3 |
| Eaubonne | 2024-03-18 | 2 |
| Gonesse | 2024-03-18 | 1 |
| Gonesse Mairie | 2024-03-18 | 7 |
| Gonesse W4 | 2024-03-18 | 1 |
| Goussainville W3 | 2024-03-18 | 6 |
| Juilly-Saint-Mard | 2024-03-18 | 2 |
| Le Mesnil-Amelot | 2024-03-18 | 7 |
| Louvres | 2024-03-18 | 1 |
| Monthyon | 2024-03-18 | 2 |
| Montlignon | 2024-03-18 | 1 |
| Saint-Pathus | 2024-03-18 | 24 |
| Saint-Soupplets | 2024-03-18 | 1 |
| Sarcelles | 2024-03-18 | 1 |
| Thieux E2 | 2024-03-18 | 2 |
| Villeneuve-sous-Dammartin E1 | 2024-03-18 | 1 |
| Villeneuve-sous-Dammartin E3 | 2024-03-18 | 2 |
| Villiers-le-Bel | 2024-03-18 | 1 |
| Deuil-la-Barre | 2024-03-19 | 3 |
| Eaubonne | 2024-03-19 | 5 |
| Gonesse Mairie | 2024-03-19 | 13 |
| Goussainville | 2024-03-19 | 3 |
| Goussainville W1 | 2024-03-19 | 8 |
| Goussainville W3 | 2024-03-19 | 9 |
| Juilly-Saint-Mard | 2024-03-19 | 3 |
| Le Mesnil-Amelot | 2024-03-19 | 9 |
| Louvres | 2024-03-19 | 3 |
| Monthyon | 2024-03-19 | 2 |
| Montlignon | 2024-03-19 | 2 |
| Saint-Pathus | 2024-03-19 | 24 |
| Saint-Soupplets | 2024-03-19 | 8 |
| Sarcelles | 2024-03-19 | 3 |
| Thieux E2 | 2024-03-19 | 6 |
| Villeneuve-sous-Dammartin E1 | 2024-03-19 | 2 |
| Villeneuve-sous-Dammartin E3 | 2024-03-19 | 4 |
| Compans E4 | 2024-03-20 | 3 |
| Deuil-la-Barre | 2024-03-20 | 5 |
| Eaubonne | 2024-03-20 | 4 |

| Station | Date | Durée d'invalidation (en heures) |
|------------------------------|------------|----------------------------------|
| Ecouen | 2024-03-20 | 2 |
| Gonesse | 2024-03-20 | 4 |
| Gonesse Mairie | 2024-03-20 | 9 |
| Gonesse W4 | 2024-03-20 | 5 |
| Goussainville | 2024-03-20 | 6 |
| Goussainville W3 | 2024-03-20 | 4 |
| Jully-Saint-Mard | 2024-03-20 | 2 |
| Le Mesnil-Amelot | 2024-03-20 | 4 |
| Louvres | 2024-03-20 | 6 |
| Monthyon | 2024-03-20 | 4 |
| Montlignon | 2024-03-20 | 1 |
| Nantouillet | 2024-03-20 | 2 |
| Saint-Pathus | 2024-03-20 | 24 |
| Saint-Souplets | 2024-03-20 | 5 |
| Sarcelles | 2024-03-20 | 3 |
| Thieux E2 | 2024-03-20 | 3 |
| Villeneuve-sous-Dammartin E1 | 2024-03-20 | 2 |
| Villeneuve-sous-Dammartin E3 | 2024-03-20 | 2 |
| Villiers-le-Bel | 2024-03-20 | 1 |
| Vinantes | 2024-03-20 | 1 |
| Deuil-la-Barre | 2024-03-21 | 7 |
| Eaubonne | 2024-03-21 | 10 |
| Ecouen | 2024-03-21 | 2 |
| Gonesse | 2024-03-21 | 5 |
| Gonesse Mairie | 2024-03-21 | 11 |
| Gonesse W2 | 2024-03-21 | 3 |
| Gonesse W4 | 2024-03-21 | 2 |
| Goussainville | 2024-03-21 | 2 |
| Goussainville W3 | 2024-03-21 | 1 |
| Le Mesnil-Amelot | 2024-03-21 | 9 |
| Louvres | 2024-03-21 | 3 |
| Monthyon | 2024-03-21 | 6 |
| Montlignon | 2024-03-21 | 2 |
| Nantouillet | 2024-03-21 | 2 |
| Saint-Pathus | 2024-03-21 | 24 |
| Thieux E2 | 2024-03-21 | 1 |
| Villeneuve-sous-Dammartin E1 | 2024-03-21 | 2 |
| Villiers-le-Bel | 2024-03-21 | 1 |
| Deuil-la-Barre | 2024-03-22 | 9 |
| Eaubonne | 2024-03-22 | 7 |
| Ecouen | 2024-03-22 | 4 |
| Gonesse | 2024-03-22 | 5 |
| Gonesse Mairie | 2024-03-22 | 7 |
| Gonesse W2 | 2024-03-22 | 1 |
| Gonesse W4 | 2024-03-22 | 5 |
| Goussainville | 2024-03-22 | 2 |
| Goussainville W3 | 2024-03-22 | 3 |

| Station | Date | Durée d'invalidation (en heures) |
|------------------------------|------------|----------------------------------|
| Juilly-Saint-Mard | 2024-03-22 | 2 |
| Le Mesnil-Amelot | 2024-03-22 | 8 |
| Louvres | 2024-03-22 | 4 |
| Montlignon | 2024-03-22 | 7 |
| Nantouillet | 2024-03-22 | 2 |
| Saint-Pathus | 2024-03-22 | 24 |
| Saint-Soupplets | 2024-03-22 | 4 |
| Thieux E2 | 2024-03-22 | 3 |
| Villeneuve-sous-Dammartin E1 | 2024-03-22 | 1 |
| Villeneuve-sous-Dammartin E3 | 2024-03-22 | 1 |
| Villiers-le-Bel | 2024-03-22 | 13 |
| Deuil-la-Barre | 2024-03-23 | 3 |
| Eaubonne | 2024-03-23 | 9 |
| Ecouen | 2024-03-23 | 1 |
| Gonesse | 2024-03-23 | 5 |
| Gonesse Mairie | 2024-03-23 | 7 |
| Gonesse W2 | 2024-03-23 | 1 |
| Gonesse W4 | 2024-03-23 | 24 |
| Goussainville | 2024-03-23 | 2 |
| Goussainville W1 | 2024-03-23 | 2 |
| Goussainville W3 | 2024-03-23 | 2 |
| Juilly-Saint-Mard | 2024-03-23 | 1 |
| Le Mesnil-Amelot | 2024-03-23 | 8 |
| Louvres | 2024-03-23 | 1 |
| Monthyon | 2024-03-23 | 1 |
| Montlignon | 2024-03-23 | 2 |
| Saint-Pathus | 2024-03-23 | 24 |
| Saint-Soupplets | 2024-03-23 | 6 |
| Villeneuve-sous-Dammartin E1 | 2024-03-23 | 1 |
| Villeneuve-sous-Dammartin E3 | 2024-03-23 | 1 |
| Villiers-le-Bel | 2024-03-23 | 16 |
| Deuil-la-Barre | 2024-03-24 | 5 |
| Eaubonne | 2024-03-24 | 7 |
| Gonesse | 2024-03-24 | 4 |
| Gonesse Mairie | 2024-03-24 | 5 |
| Gonesse W4 | 2024-03-24 | 19 |
| Goussainville | 2024-03-24 | 2 |
| Goussainville W3 | 2024-03-24 | 2 |
| Juilly-Saint-Mard | 2024-03-24 | 2 |
| Le Mesnil-Amelot | 2024-03-24 | 1 |
| Louvres | 2024-03-24 | 2 |
| Montlignon | 2024-03-24 | 2 |
| Nantouillet | 2024-03-24 | 1 |
| Saint-Pathus | 2024-03-24 | 24 |
| Saint-Soupplets | 2024-03-24 | 3 |
| Villiers-le-Bel | 2024-03-24 | 12 |
| Deuil-la-Barre | 2024-03-25 | 2 |

| Station | Date | Durée d'invalidation (en heures) |
|------------------------------|------------|----------------------------------|
| Eaubonne | 2024-03-25 | 3 |
| Gonesse | 2024-03-25 | 3 |
| Gonesse Mairie | 2024-03-25 | 2 |
| Goussainville | 2024-03-25 | 2 |
| Goussainville W1 | 2024-03-25 | 1 |
| Louvres | 2024-03-25 | 2 |
| Nantouillet | 2024-03-25 | 1 |
| Saint-Pathus | 2024-03-25 | 6 |
| Thieux E2 | 2024-03-25 | 1 |
| Villeneuve-sous-Dammartin E1 | 2024-03-25 | 2 |
| Villiers-le-Bel | 2024-03-25 | 12 |
| Compans E4 | 2024-03-26 | 3 |
| Eaubonne | 2024-03-26 | 2 |
| Gonesse | 2024-03-26 | 1 |
| Gonesse Mairie | 2024-03-26 | 4 |
| Gonesse W4 | 2024-03-26 | 2 |
| Goussainville | 2024-03-26 | 6 |
| Goussainville W3 | 2024-03-26 | 1 |
| Le Mesnil-Amelot | 2024-03-26 | 2 |
| Monthyon | 2024-03-26 | 3 |
| Montlignon | 2024-03-26 | 1 |
| Saint-Pathus | 2024-03-26 | 20 |
| Saint-Soupplets | 2024-03-26 | 5 |
| Thieux E2 | 2024-03-26 | 3 |
| Villeneuve-sous-Dammartin E1 | 2024-03-26 | 3 |
| Villiers-le-Bel | 2024-03-26 | 3 |
| Compans E4 | 2024-03-27 | 1 |
| Deuil-la-Barre | 2024-03-27 | 7 |
| Eaubonne | 2024-03-27 | 1 |
| Ecouen | 2024-03-27 | 1 |
| Gonesse Mairie | 2024-03-27 | 5 |
| Gonesse W2 | 2024-03-27 | 3 |
| Goussainville | 2024-03-27 | 2 |
| Goussainville W1 | 2024-03-27 | 1 |
| Goussainville W3 | 2024-03-27 | 3 |
| Le Mesnil-Amelot | 2024-03-27 | 2 |
| Louvres | 2024-03-27 | 3 |
| Montlignon | 2024-03-27 | 3 |
| Saint-Pathus | 2024-03-27 | 23 |
| Sarcelles | 2024-03-27 | 1 |
| Thieux E2 | 2024-03-27 | 1 |
| Villeneuve-sous-Dammartin E1 | 2024-03-27 | 1 |
| Villiers-le-Bel | 2024-03-27 | 9 |
| Deuil-la-Barre | 2024-03-28 | 7 |
| Eaubonne | 2024-03-28 | 7 |
| Ecouen | 2024-03-28 | 1 |
| Gonesse | 2024-03-28 | 1 |

| Station | Date | Durée d'invalidation (en heures) |
|------------------------------|------------|----------------------------------|
| Gonesse Mairie | 2024-03-28 | 5 |
| Gonesse W2 | 2024-03-28 | 1 |
| Gonesse W4 | 2024-03-28 | 8 |
| Goussainville | 2024-03-28 | 3 |
| Goussainville W3 | 2024-03-28 | 5 |
| Jully-Saint-Mard | 2024-03-28 | 7 |
| Le Mesnil-Amelot | 2024-03-28 | 7 |
| Louvres | 2024-03-28 | 1 |
| Monthyon | 2024-03-28 | 4 |
| Nantouillet | 2024-03-28 | 1 |
| Saint-Pathus | 2024-03-28 | 24 |
| Saint-Soupplets | 2024-03-28 | 12 |
| Thieux E2 | 2024-03-28 | 1 |
| Villeneuve-sous-Dammartin E1 | 2024-03-28 | 7 |
| Villeneuve-sous-Dammartin E3 | 2024-03-28 | 5 |
| Villiers-le-Bel | 2024-03-28 | 24 |
| Vinantes | 2024-03-28 | 12 |
| Deuil-la-Barre | 2024-03-29 | 5 |
| Eaubonne | 2024-03-29 | 5 |
| Ecouen | 2024-03-29 | 2 |
| Gonesse Mairie | 2024-03-29 | 2 |
| Gonesse W2 | 2024-03-29 | 3 |
| Goussainville | 2024-03-29 | 5 |
| Goussainville W3 | 2024-03-29 | 7 |
| Le Mesnil-Amelot | 2024-03-29 | 8 |
| Montlignon | 2024-03-29 | 8 |
| Saint-Pathus | 2024-03-29 | 18 |
| Thieux E2 | 2024-03-29 | 2 |
| Villeneuve-sous-Dammartin E1 | 2024-03-29 | 2 |
| Villiers-le-Bel | 2024-03-29 | 7 |
| Compans E4 | 2024-03-30 | 1 |
| Deuil-la-Barre | 2024-03-30 | 7 |
| Eaubonne | 2024-03-30 | 6 |
| Ecouen | 2024-03-30 | 1 |
| Gonesse | 2024-03-30 | 5 |
| Gonesse Mairie | 2024-03-30 | 8 |
| Gonesse W2 | 2024-03-30 | 1 |
| Goussainville | 2024-03-30 | 5 |
| Goussainville W3 | 2024-03-30 | 3 |
| Le Mesnil-Amelot | 2024-03-30 | 2 |
| Monthyon | 2024-03-30 | 2 |
| Montlignon | 2024-03-30 | 1 |
| Saint-Pathus | 2024-03-30 | 22 |
| Saint-Soupplets | 2024-03-30 | 3 |
| Villeneuve-sous-Dammartin E1 | 2024-03-30 | 1 |
| Villiers-le-Bel | 2024-03-30 | 7 |
| Compans E4 | 2024-03-30 | 2 |

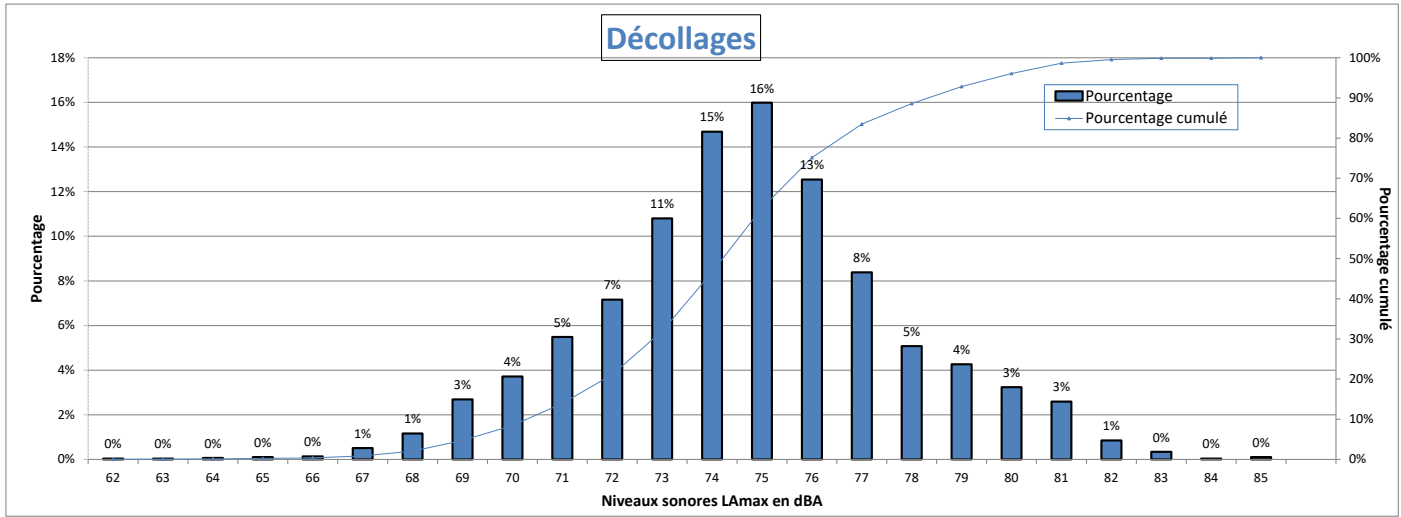
| Station | Date | Durée d'invalidation (en heures) |
|------------------------------|-------------|---|
| Deuil-la-Barre | 2024-03-31 | 4 |
| Eaubonne | 2024-03-31 | 3 |
| Ecouen | 2024-03-31 | 2 |
| Gonesse | 2024-03-31 | 3 |
| Gonesse Mairie | 2024-03-31 | 7 |
| Gonesse W2 | 2024-03-31 | 1 |
| Gonesse W4 | 2024-03-31 | 3 |
| Goussainville | 2024-03-31 | 8 |
| Goussainville W1 | 2024-03-31 | 1 |
| Goussainville W3 | 2024-03-31 | 3 |
| Jully-Saint-Mard | 2024-03-31 | 1 |
| Le Mesnil-Amelot | 2024-03-31 | 2 |
| Louvres | 2024-03-31 | 6 |
| Monthyon | 2024-03-31 | 3 |
| Montlignon | 2024-03-31 | 3 |
| Nantouillet | 2024-03-31 | 1 |
| Saint-Pathus | 2024-03-31 | 17 |
| Saint-Soupplets | 2024-03-31 | 4 |
| Sarcelles | 2024-03-31 | 1 |
| Thieux E2 | 2024-03-31 | 4 |
| Villeneuve-sous-Dammartin E1 | 2024-03-31 | 3 |
| Villeneuve-sous-Dammartin E3 | 2024-03-31 | 5 |
| Villiers-le-Bel | 2024-03-31 | 8 |
| Vinantes | 2024-03-31 | 1 |

Compans E4

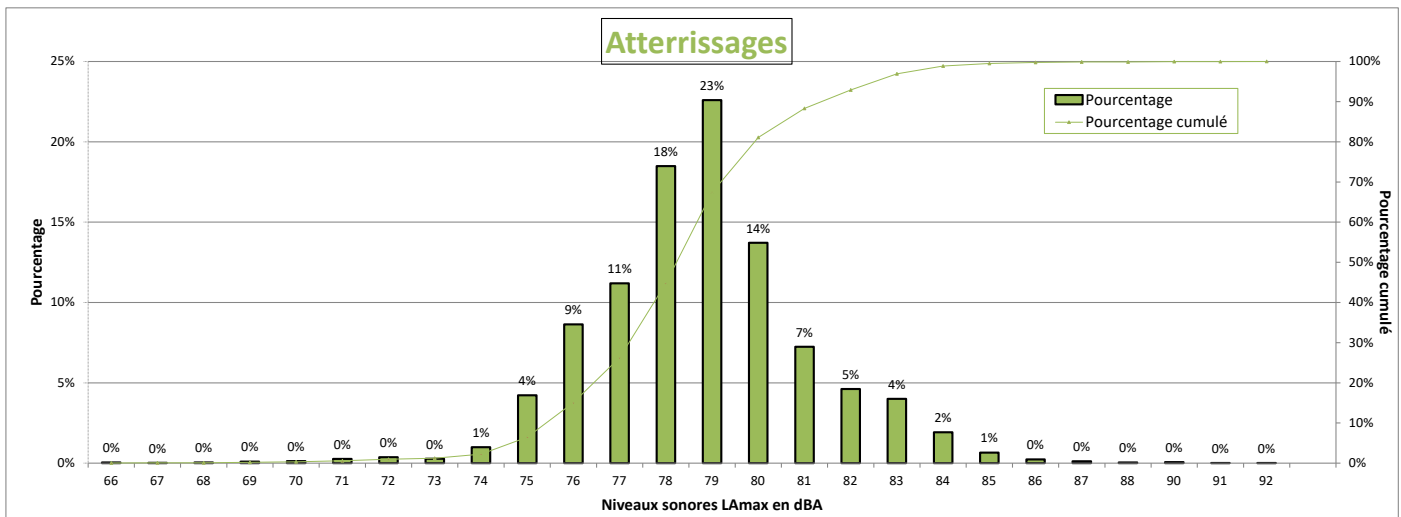


DISTRIBUTION STATISTIQUE - Compans E4 - Mars 2024

Distribution des niveaux sonores LMax corrélés aux survols de l'aéroport Paris - CDG



Nombre d'évènements mesurés : 2934
 Moyenne arithmétique : 74,7 dBA
 Moyenne énergétique : 75,8 dBA



Nombre d'évènements mesurés : 7648
 Moyenne arithmétique : 78,7 dBA
 Moyenne énergétique : 79,4 dBA

Répartition par type avion - Atterrissages - Mars 2024

Compans E4

| Présentation des principaux types avions et de leur répartition dans la flotte, corrélés aux survols de l'aéroport Paris-CDG | | | | | |
|--|-----------------|------|--------------------|-----------|-------------|
| Avion | Type avion OACI | WTC* | LAmox moyen en dBA | Nombre ** | Répartition |
| AIRBUS A320 | A320 | M | 78,6 | 1591 | 21% |
| EMBRAER 190/195 | E190 | M | 78,1 | 909 | 12% |
| BOMBARDIER BD-500 Cseries CS300 | BCS3 | M | 75,9 | 863 | 11% |
| AIRBUS A321 | A321 | M | 79,5 | 601 | 8% |
| BOEING 777-300 (ER) | B77W | H | 82,8 | 512 | 7% |
| AIRBUS A319 | A319 | M | 77,9 | 478 | 6% |
| AIRBUS A350-900 | A359 | H | 78,7 | 411 | 5% |
| BOEING 737-800 | B738 | M | 79,1 | 361 | 5% |
| EMBRAER 170/175 | E170 | M | 76,5 | 346 | 5% |
| BOEING 787-9 Dreamliner | B789 | H | 79,5 | 191 | 2% |
| BOEING 777-200 | B772 | H | 81 | 190 | 2% |
| AIRBUS A330-200 | A332 | H | 81 | 188 | 2% |
| AIRBUS A320neo | A20N | M | 76,9 | 149 | 2% |
| AIRBUS A321neo | A21N | M | 77,5 | 146 | 2% |
| AIRBUS A330-300 | A333 | H | 80,6 | 121 | 2% |
| BOEING 777-200 (LR) | B77L | H | 82,4 | 110 | 1% |
| BOEING 787-800 | B788 | H | 78,7 | 60 | 1% |
| A330-900neo | A339 | H | 80,1 | 54 | 1% |
| BOEING 737-400 | B734 | M | 81,3 | 52 | 1% |
| BOEING 757-200 | B752 | M | 78,2 | 52 | 1% |
| BOEING 767-300 | B763 | H | 80,6 | 51 | 1% |
| DE HAVILLAND DHC-8-400 | DH8D | M | 74,4 | 33 | 0% |
| BOEING 737-700 | B737 | M | 77,4 | 27 | 0% |
| BOEING 747-8 | B748 | H | 84,8 | 24 | 0% |
| BOEING 737-900 | B739 | M | 79,9 | 20 | 0% |

* Wake Turbulence Category (H = Heavy, M = Medium, L = Light)

** Nombre d'événements mesurés et corrélés aux survols

Répartition par type avion - Décollage - Mars 2024

Compans E4

| Présentation des principaux types avions et de leur répartition dans la flotte, corrélés aux survols de l'aéroport Paris-CDG | | | | | |
|--|-----------------|------|--------------------|-----------|-------------|
| Avion | Type avion OACI | WTC* | LAmox moyen en dBA | Nombre ** | Répartition |
| AIRBUS A320 | A320 | M | 74,1 | 624 | 21% |
| EMBRAER 190/195 | E190 | M | 74,5 | 360 | 12% |
| BOMBARDIER BD-500 Cseries CS300 | BCS3 | M | 70,4 | 303 | 10% |
| AIRBUS A321 | A321 | M | 76,1 | 255 | 9% |
| BOEING 777-300 (ER) | B77W | H | 78,6 | 212 | 7% |
| AIRBUS A350-900 | A359 | H | 74,2 | 151 | 5% |
| AIRBUS A319 | A319 | M | 73,6 | 147 | 5% |
| BOEING 737-800 | B738 | M | 76,1 | 140 | 5% |
| EMBRAER 170/175 | E170 | M | 73,2 | 140 | 5% |
| AIRBUS A330-200 | A332 | H | 80,1 | 98 | 3% |
| BOEING 777-200 | B772 | H | 78,1 | 64 | 2% |
| BOEING 787-9 Dreamliner | B789 | H | 75,5 | 61 | 2% |
| AIRBUS A321neo | A21N | M | 73,3 | 55 | 2% |
| AIRBUS A320neo | A20N | M | 71 | 54 | 2% |
| BOEING 777-200 (LR) | B77L | H | 77 | 46 | 2% |
| AIRBUS A330-300 | A333 | H | 79,8 | 41 | 1% |
| BOEING 767-300 | B763 | H | 73,4 | 26 | 1% |
| BOEING 787-800 | B788 | H | 74,3 | 25 | 1% |
| A330-900neo | A339 | H | 74,3 | 20 | 1% |
| BOEING 757-200 | B752 | M | 70,5 | 20 | 1% |

* Wake Turbulence Category (H = Heavy, M = Medium, L = Light)

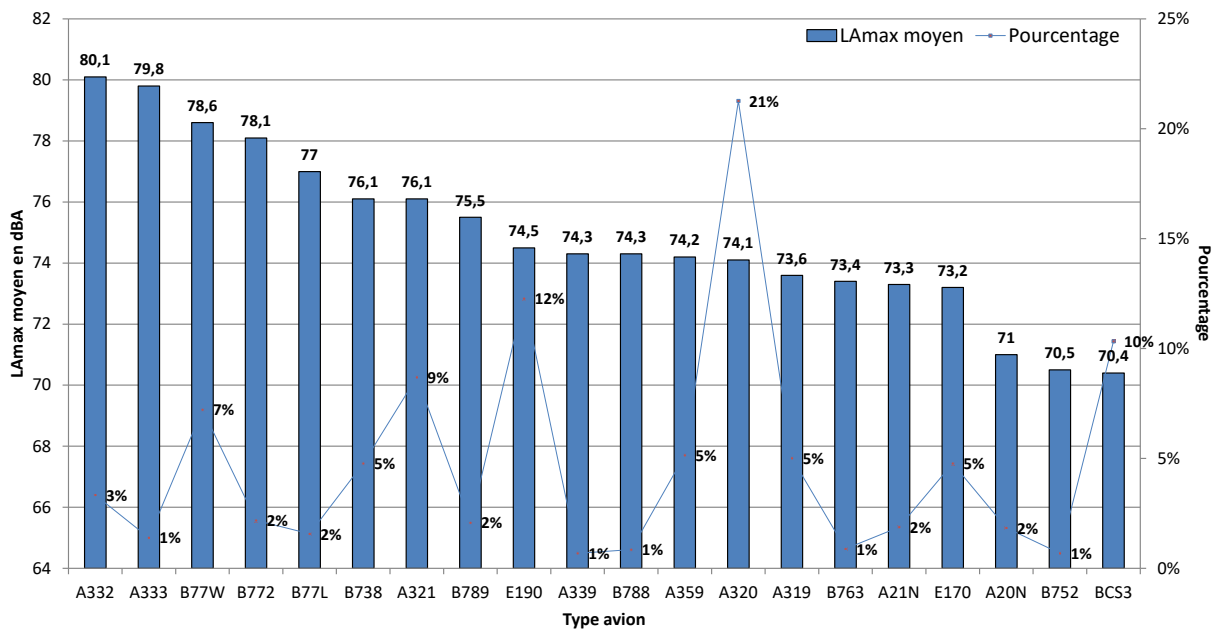
** Nombre d'événements mesurés et corrélés aux survols

Répartition par type avion - Mars 2024

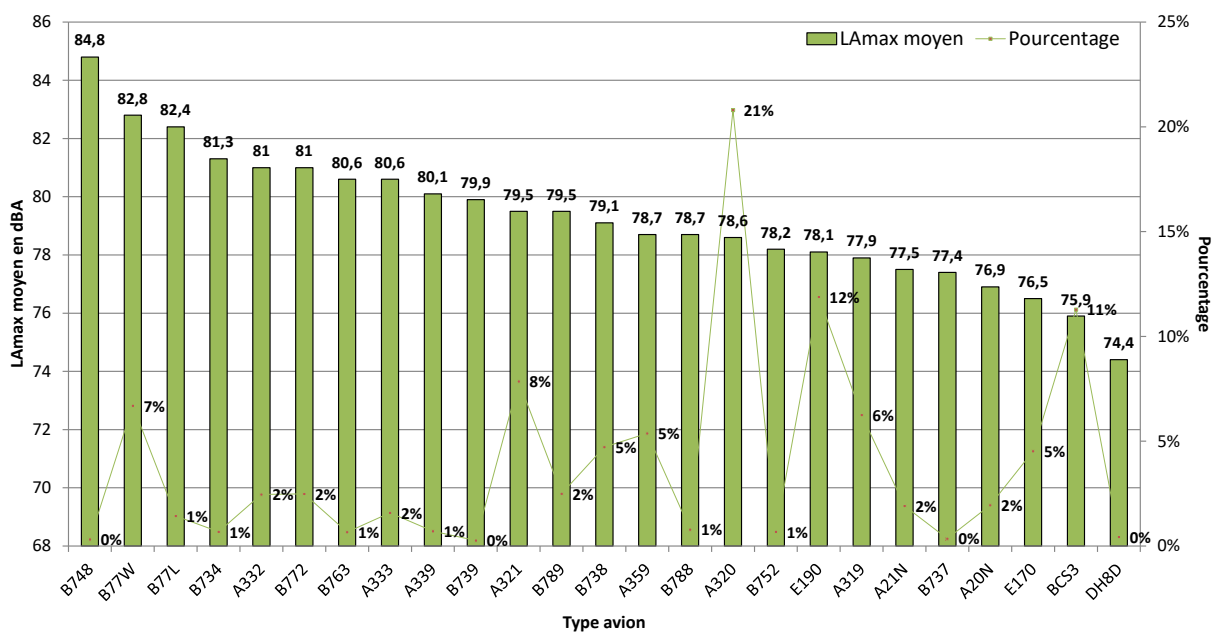
Compans E4

Niveaux sonores LAmax moyens par type avion corrélés aux survols de l'aéroport de CDG
(20 mouvements mesurés au minimum par catégorie)

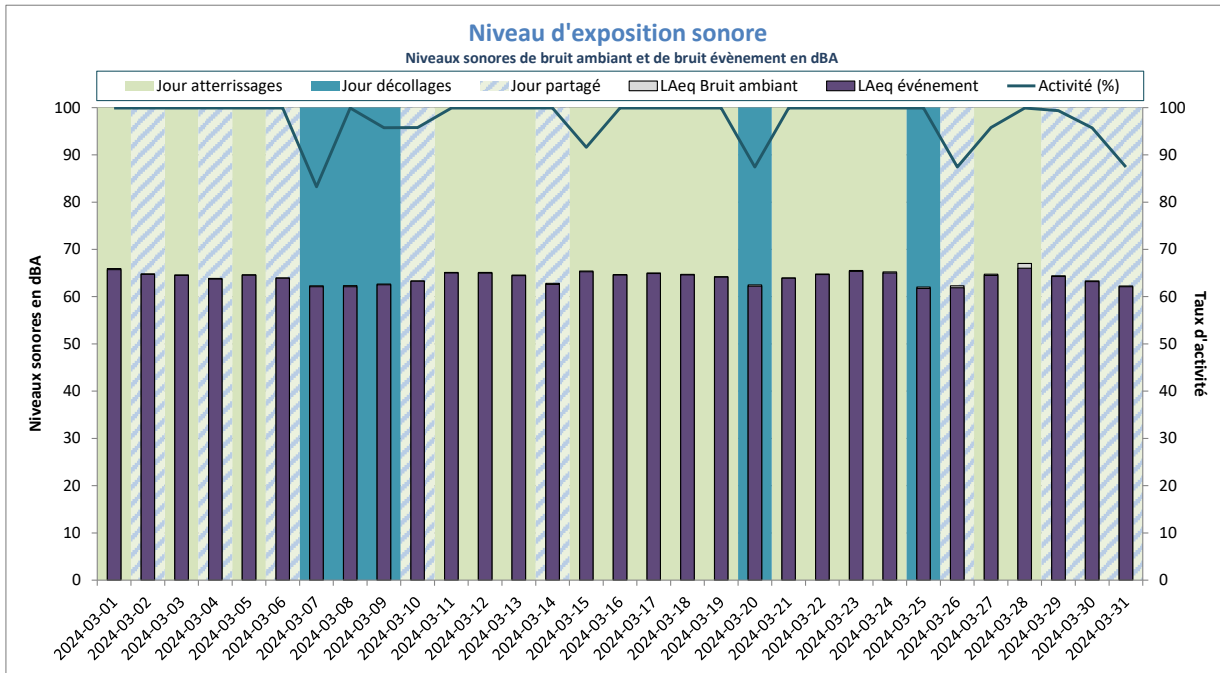
Décollages



Atterrissages

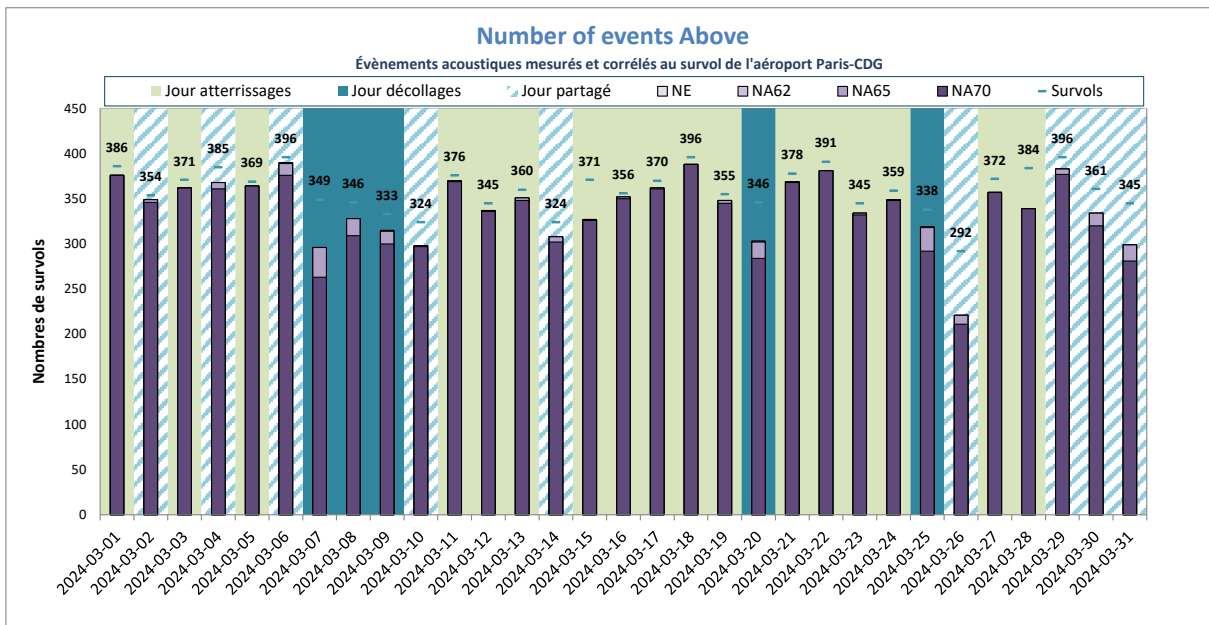


NIVEAU D'EXPOSITION SONORE et NUMBER ABOVE - Compans E4 - Mars 2024



LAeq Bruit Ambiant : 64dBA
LAeq Bruit événement : 64dBA

Activité (%) = taux de mesures valides



NE moyen : 341
NA62 moyen : 341
NA65 moyen : 341
NA70 moyen : 334
Nb survols : 360

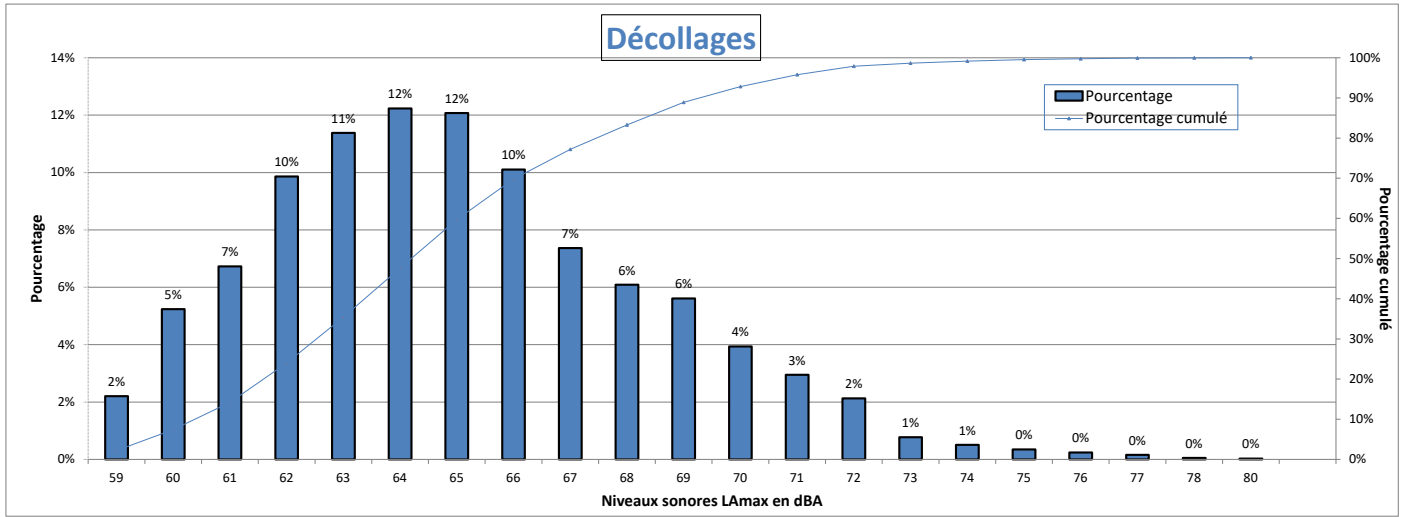
NE = Nombre d'événements mesurés et corrélés

Deuil-la-Barre

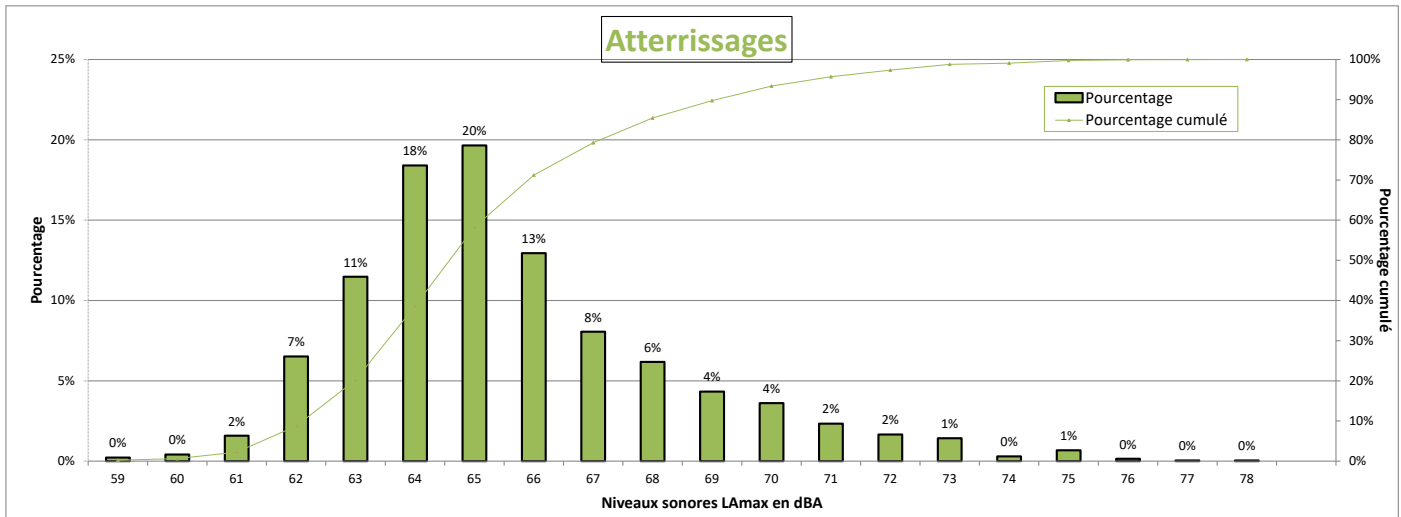


DISTRIBUTION STATISTIQUE - Deuil-la-Barre - Mars 2024

Distribution des niveaux sonores L_{max} corrélés aux survols de l'aéroport Paris - CDG



Nombre d'évènements mesurés : 3761
 Moyenne arithmétique : 65 dBA
 Moyenne énergétique : 66,5 dBA



Nombre d'évènements mesurés : 2657
 Moyenne arithmétique : 65,6 dBA
 Moyenne énergétique : 66,6 dBA

Répartition par type avion - Atterrissages - Mars 2024

Deuil-la-Barre

| Présentation des principaux types avions et de leur répartition dans la flotte, corrélés aux survols de l'aéroport Paris-CDG | | | | | |
|--|-----------------|------|--------------------|-----------|-------------|
| Avion | Type avion OACI | WTC* | LAmox moyen en dBA | Nombre ** | Répartition |
| AIRBUS A320 | A320 | M | 65,1 | 550 | 21% |
| EMBRAER 190/195 | E190 | M | 65 | 347 | 13% |
| BOMBARDIER BD-500 Cseries CS300 | BCS3 | M | 65,9 | 294 | 11% |
| AIRBUS A321 | A321 | M | 65,4 | 198 | 7% |
| BOEING 777-300 (ER) | B77W | H | 65,7 | 190 | 7% |
| AIRBUS A350-900 | A359 | H | 64,5 | 158 | 6% |
| AIRBUS A319 | A319 | M | 64,9 | 154 | 6% |
| EMBRAER 170/175 | E170 | M | 64,1 | 129 | 5% |
| BOEING 737-800 | B738 | M | 66,1 | 118 | 4% |
| AIRBUS A330-200 | A332 | H | 70,8 | 81 | 3% |
| BOEING 777-200 | B772 | H | 65,8 | 66 | 2% |
| BOEING 787-9 Dreamliner | B789 | H | 65,5 | 62 | 2% |
| AIRBUS A321neo | A21N | M | 65,6 | 54 | 2% |
| AIRBUS A330-300 | A333 | H | 68,7 | 39 | 1% |
| AIRBUS A320neo | A20N | M | 64,3 | 32 | 1% |
| BOEING 777-200 (LR) | B77L | H | 67 | 31 | 1% |
| BOEING 787-800 | B788 | H | 65,2 | 23 | 1% |
| A330-900neo | A339 | H | 69,3 | 20 | 1% |

* Wake Turbulence Category (H = Heavy, M = Medium, L = Light)

** Nombre d'événements mesurés et corrélés aux survols

Répartition par type avion - Décollage - Mars 2024

Deuil-la-Barre

| Présentation des principaux types avions et de leur répartition dans la flotte, corrélés aux survols de l'aéroport Paris-CDG | | | | | |
|--|-----------------|------|--------------------|-----------|-------------|
| Avion | Type avion OACI | WTC* | LAmox moyen en dBA | Nombre ** | Répartition |
| AIRBUS A320 | A320 | M | 63,5 | 832 | 22% |
| EMBRAER 190/195 | E190 | M | 63,4 | 490 | 13% |
| AIRBUS A321 | A321 | M | 66,5 | 414 | 11% |
| BOEING 777-300 (ER) | B77W | H | 68,9 | 320 | 9% |
| AIRBUS A350-900 | A359 | H | 64,8 | 262 | 7% |
| BOEING 737-800 | B738 | M | 64,6 | 195 | 5% |
| AIRBUS A319 | A319 | M | 62,8 | 174 | 5% |
| AIRBUS A330-200 | A332 | H | 70,4 | 167 | 4% |
| EMBRAER 170/175 | E170 | M | 61,4 | 166 | 4% |
| BOEING 777-200 | B772 | H | 68,4 | 137 | 4% |
| BOEING 787-9 Dreamliner | B789 | H | 65,2 | 119 | 3% |
| BOMBARDIER BD-500 Cseries CS300 | BCS3 | M | 60,9 | 100 | 3% |
| AIRBUS A330-300 | A333 | H | 69,7 | 63 | 2% |
| BOEING 777-200 (LR) | B77L | H | 66,8 | 55 | 1% |
| A330-900neo | A339 | H | 65,1 | 32 | 1% |
| AIRBUS A321neo | A21N | M | 62,5 | 31 | 1% |
| BOEING 787-800 | B788 | H | 63,6 | 26 | 1% |
| BOEING 737-400 | B734 | M | 65,8 | 22 | 1% |
| BOEING 767-300 | B763 | H | 63,7 | 22 | 1% |
| AIRBUS A320neo | A20N | M | 61,6 | 22 | 1% |

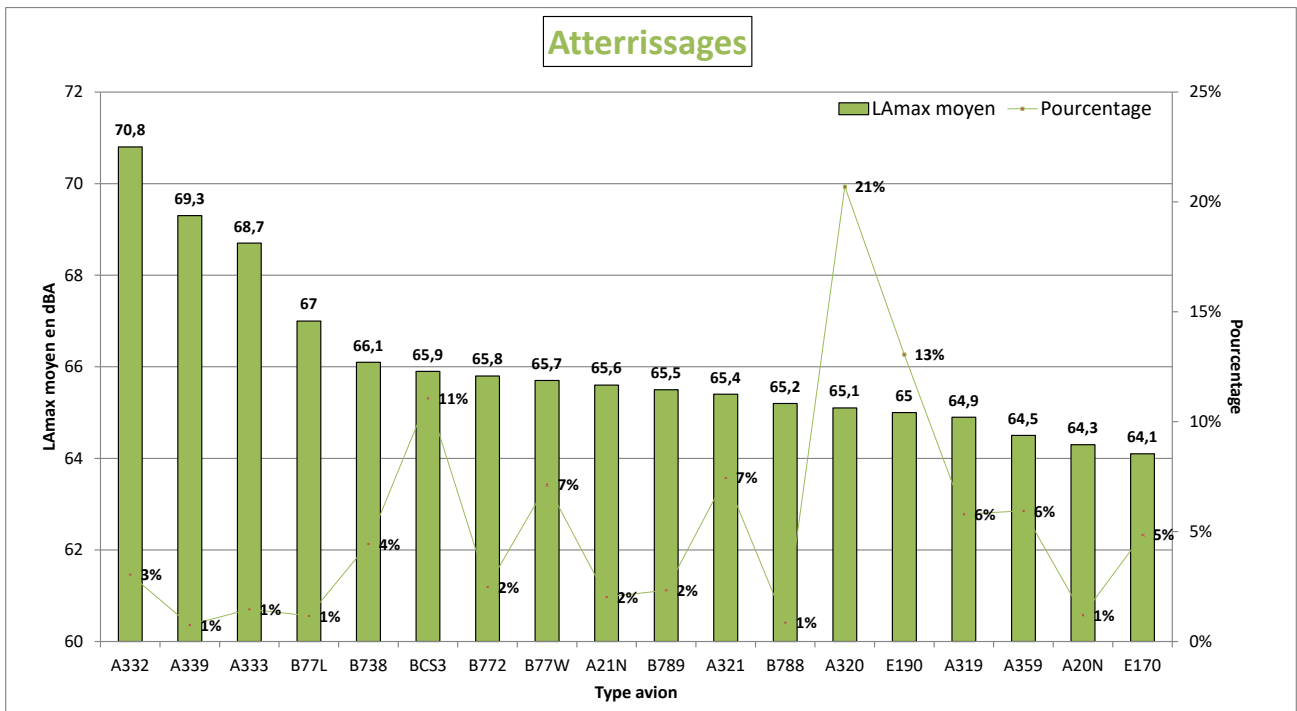
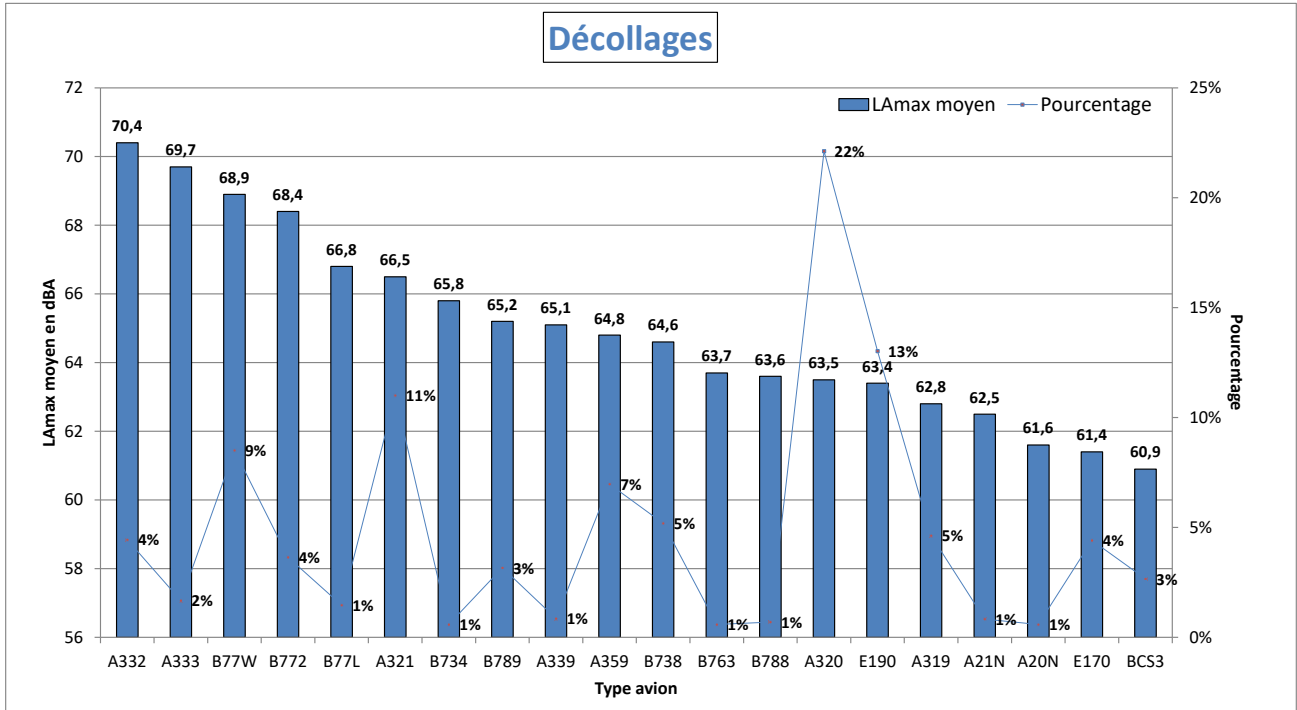
* Wake Turbulence Category (H = Heavy, M = Medium, L = Light)

** Nombre d'événements mesurés et corrélés aux survols

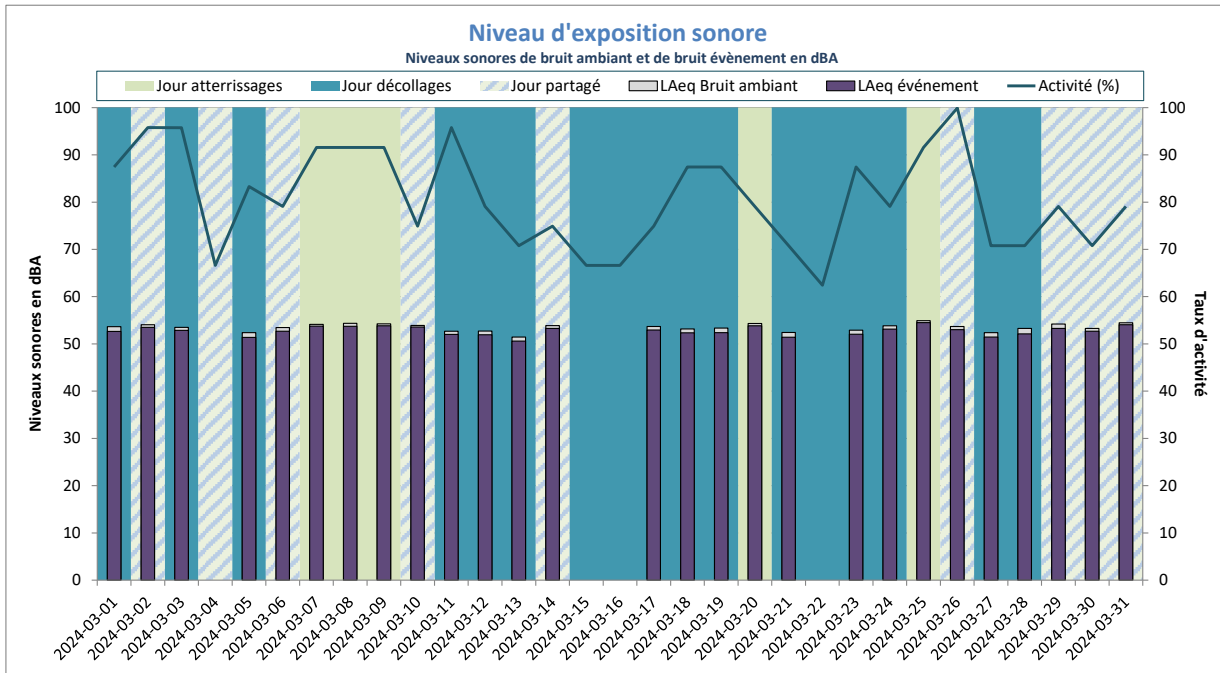
Répartition par type avion - Mars 2024

Deuil-la-Barre

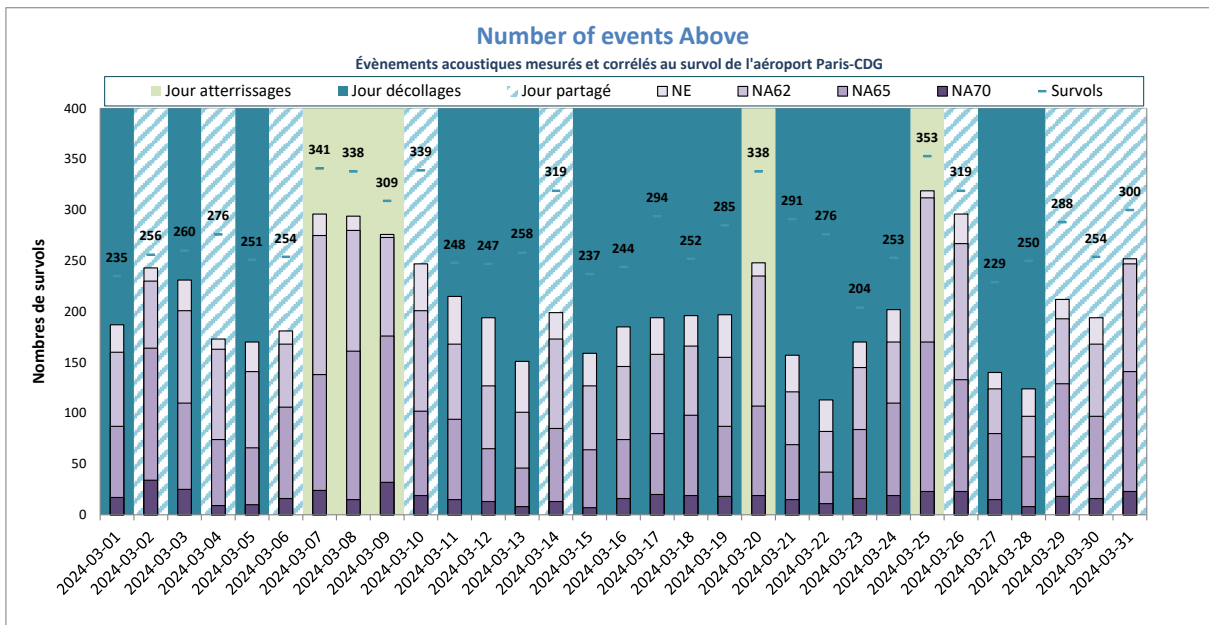
Niveaux sonores LAmax moyens par type avion corrélés aux survols de l'aéroport de CDG
(20 mouvements mesurés au minimum par catégorie)



NIVEAU D'EXPOSITION SONORE et NUMBER ABOVE - Deuil-la-Barre - Mars 2024



Activité (%) = taux de mesures valides



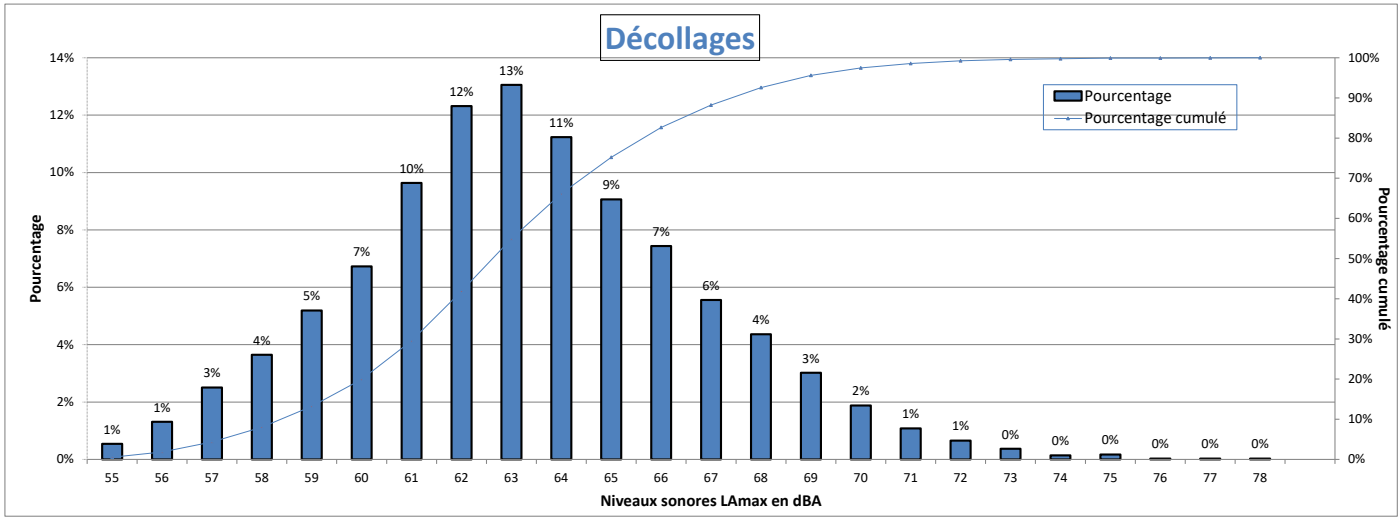
NE = Nombre d'évènements mesurés et corrélés

Eaubonne

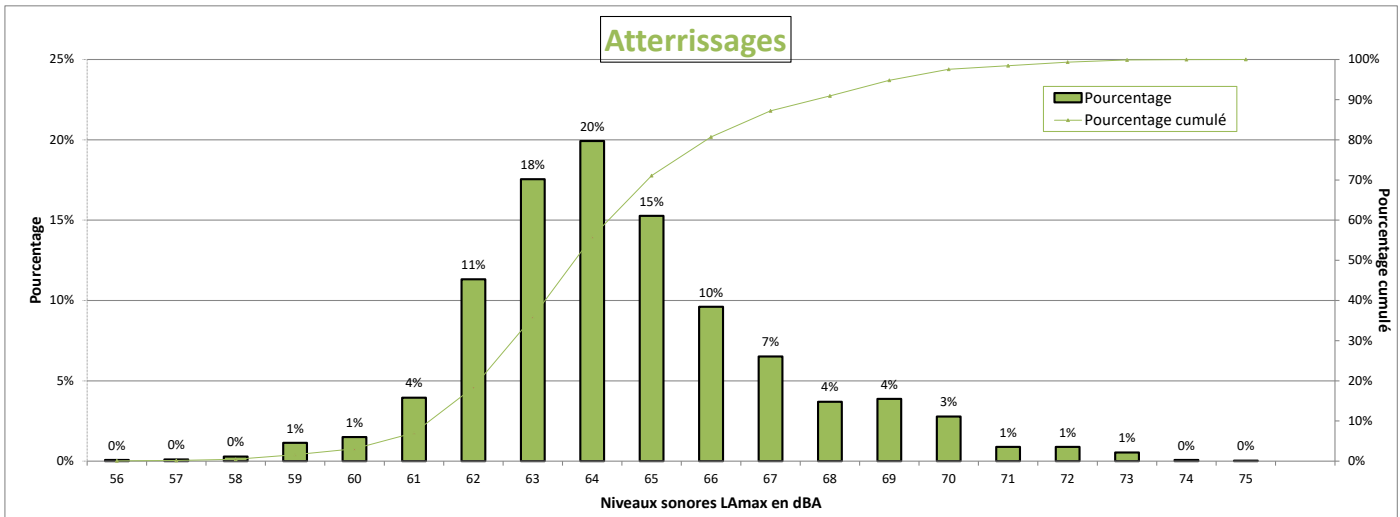


DISTRIBUTION STATISTIQUE - Eaubonne - Mars 2024

Distribution des niveaux sonores LMax corrélés aux survols de l'aéroport Paris - CDG



Nombre d'évènements mesurés : 3508
 Moyenne arithmétique : 63,3 dBA
 Moyenne énergétique : 64,7 dBA



Nombre d'évènements mesurés : 2810
 Moyenne arithmétique : 64,5 dBA
 Moyenne énergétique : 65,4 dBA

Répartition par type avion - Atterrissages - Mars 2024

Eaubonne

| Présentation des principaux types avions et de leur répartition dans la flotte, corrélés aux survols de l'aéroport Paris-CDG | | | | | |
|--|-----------------|------|--------------------|-----------|-------------|
| Avion | Type avion OACI | WTC* | LAmox moyen en dBA | Nombre ** | Répartition |
| AIRBUS A320 | A320 | M | 64,1 | 576 | 20% |
| EMBRAER 190/195 | E190 | M | 63,8 | 368 | 13% |
| BOMBARDIER BD-500 Cseries CS300 | BCS3 | M | 64 | 312 | 11% |
| AIRBUS A321 | A321 | M | 64,6 | 219 | 8% |
| BOEING 777-300 (ER) | B77W | H | 64,7 | 201 | 7% |
| AIRBUS A350-900 | A359 | H | 63,1 | 164 | 6% |
| AIRBUS A319 | A319 | M | 64,1 | 155 | 6% |
| BOEING 737-800 | B738 | M | 65,6 | 127 | 5% |
| EMBRAER 170/175 | E170 | M | 63,2 | 119 | 4% |
| AIRBUS A330-200 | A332 | H | 69,2 | 87 | 3% |
| BOEING 787-9 Dreamliner | B789 | H | 65,5 | 76 | 3% |
| BOEING 777-200 | B772 | H | 64,1 | 69 | 2% |
| AIRBUS A321neo | A21N | M | 65,1 | 61 | 2% |
| AIRBUS A330-300 | A333 | H | 68,5 | 42 | 1% |
| BOEING 777-200 (LR) | B77L | H | 65,5 | 35 | 1% |
| AIRBUS A320neo | A20N | M | 64 | 32 | 1% |
| A330-900neo | A339 | H | 69 | 23 | 1% |
| BOEING 787-800 | B788 | H | 65,9 | 23 | 1% |

* Wake Turbulence Category (H = Heavy, M = Medium, L = Light)

** Nombre d'événements mesurés et corrélés aux survols

Répartition par type avion - Décollage - Mars 2024

Eaubonne

| Présentation des principaux types avions et de leur répartition dans la flotte, corrélés aux survols de l'aéroport Paris-CDG | | | | | |
|--|-----------------|------|-------------------|-----------|-------------|
| Avion | Type avion OACI | WTC* | LAmx moyen en dBA | Nombre ** | Répartition |
| AIRBUS A320 | A320 | M | 61,9 | 739 | 21% |
| AIRBUS A321 | A321 | M | 64,6 | 391 | 11% |
| EMBRAER 190/195 | E190 | M | 61,9 | 381 | 11% |
| BOEING 777-300 (ER) | B77W | H | 66,9 | 314 | 9% |
| AIRBUS A350-900 | A359 | H | 62,9 | 246 | 7% |
| EMBRAER 170/175 | E170 | M | 60,2 | 166 | 5% |
| BOMBARDIER BD-500 Cseries CS300 | BCS3 | M | 59 | 161 | 5% |
| BOEING 737-800 | B738 | M | 63,6 | 160 | 5% |
| AIRBUS A330-200 | A332 | H | 68,6 | 159 | 5% |
| AIRBUS A319 | A319 | M | 61,2 | 147 | 4% |
| BOEING 777-200 | B772 | H | 66,5 | 131 | 4% |
| BOEING 787-9 Dreamliner | B789 | H | 63,6 | 114 | 3% |
| AIRBUS A330-300 | A333 | H | 67,1 | 67 | 2% |
| BOEING 777-200 (LR) | B77L | H | 64,6 | 50 | 1% |
| AIRBUS A321neo | A21N | M | 60,2 | 38 | 1% |
| AIRBUS A320neo | A20N | M | 59,6 | 38 | 1% |
| A330-900neo | A339 | H | 63,3 | 30 | 1% |
| BOEING 787-800 | B788 | H | 61,2 | 29 | 1% |
| BOEING 737-400 | B734 | M | 63,6 | 24 | 1% |

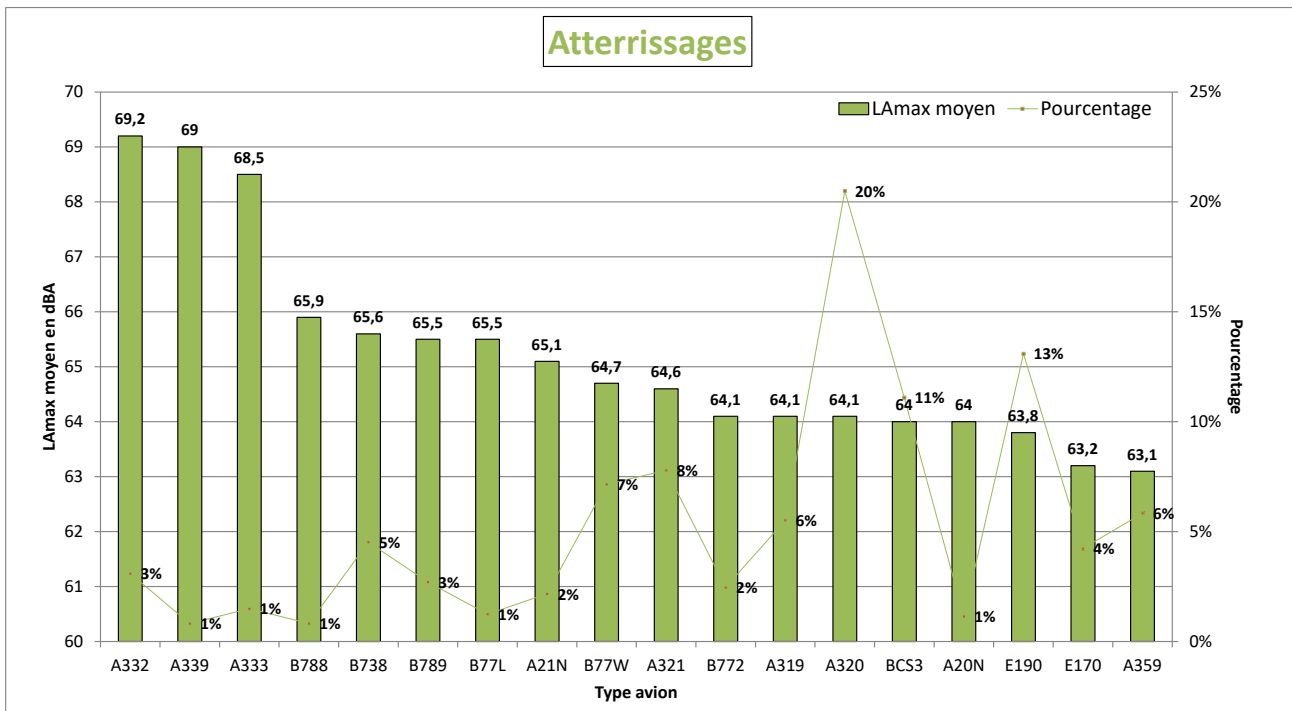
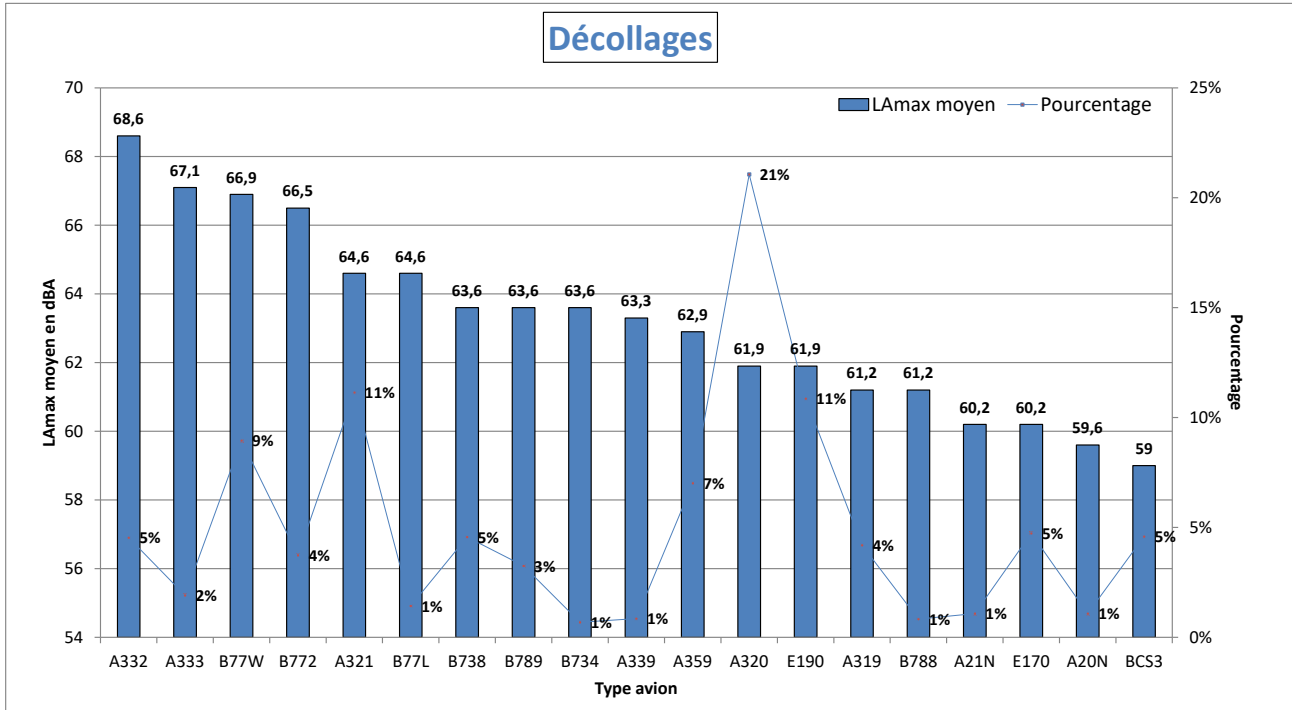
* Wake Turbulence Category (H = Heavy, M = Medium, L = Light)

** Nombre d'événements mesurés et corrélés aux survols

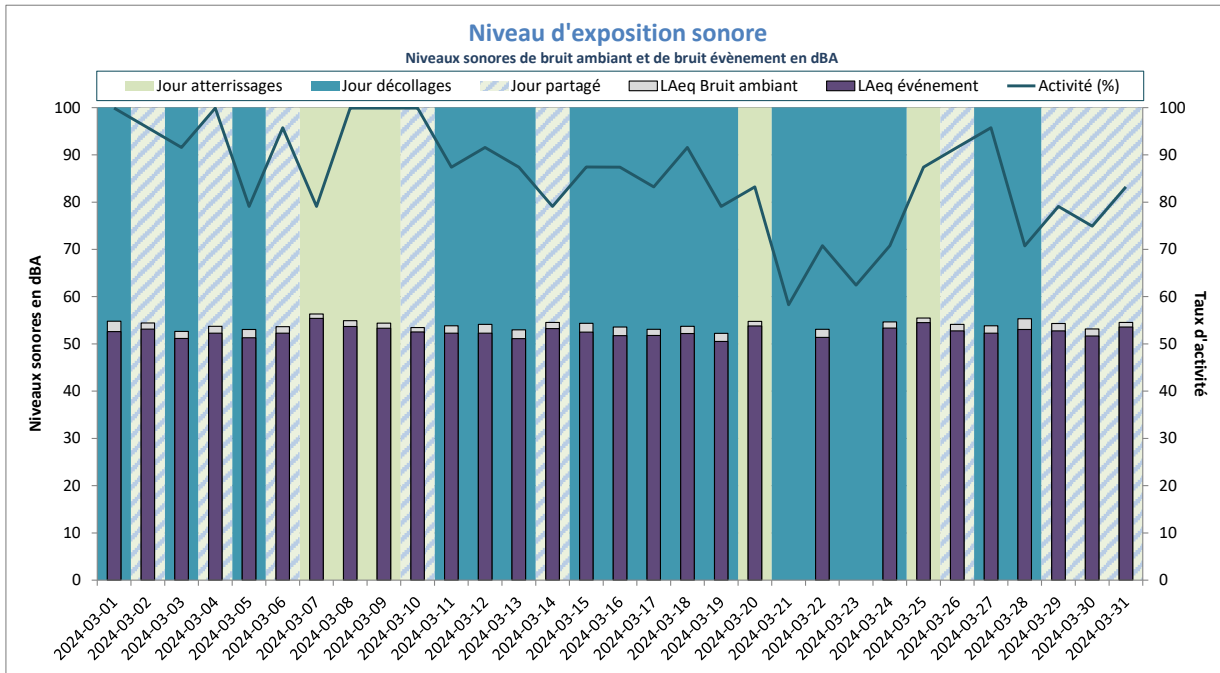
Répartition par type avion - Mars 2024

Eaubonne

Niveaux sonores LAmax moyens par type avion corrélés aux survols de l'aéroport de CDG
(20 mouvements mesurés au minimum par catégorie)

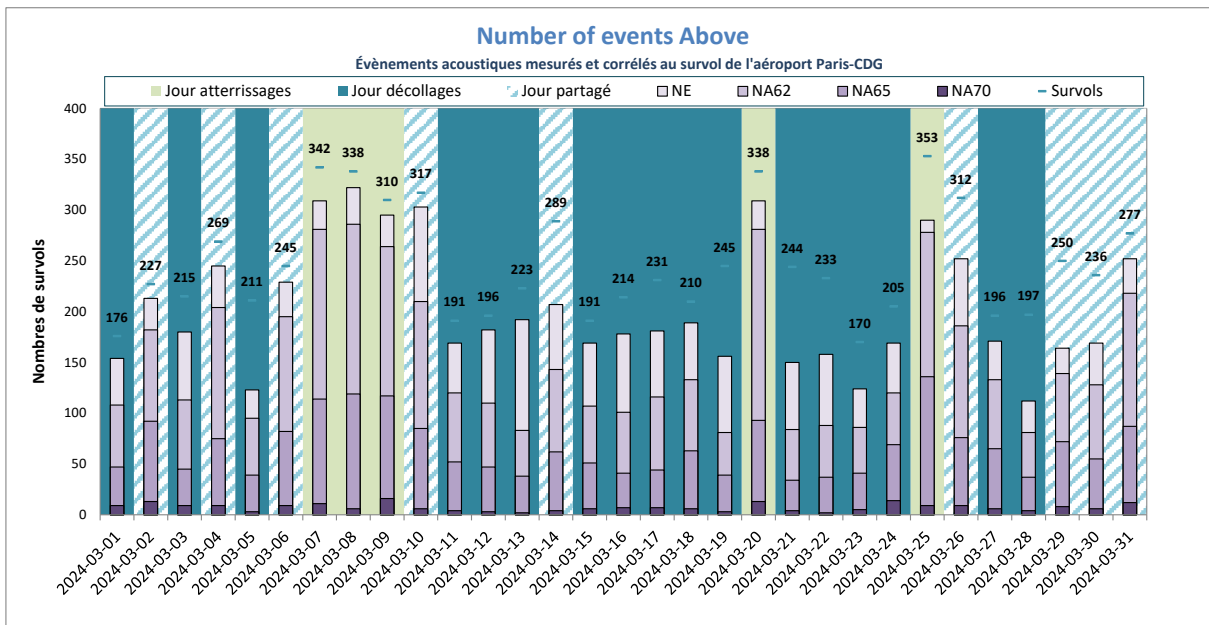


NIVEAU D'EXPOSITION SONORE et NUMBER ABOVE - Eaubonne - Mars 2024



LAeq Bruit Ambiant : 54dBA
 LAeq Bruit événement : 53dBA

Activité (%) = taux de mesures valides



NE moyen : 204
 NA62 moyen : 153
 NA65 moyen : 66
 NA70 moyen : 7
 Nb survols : 247

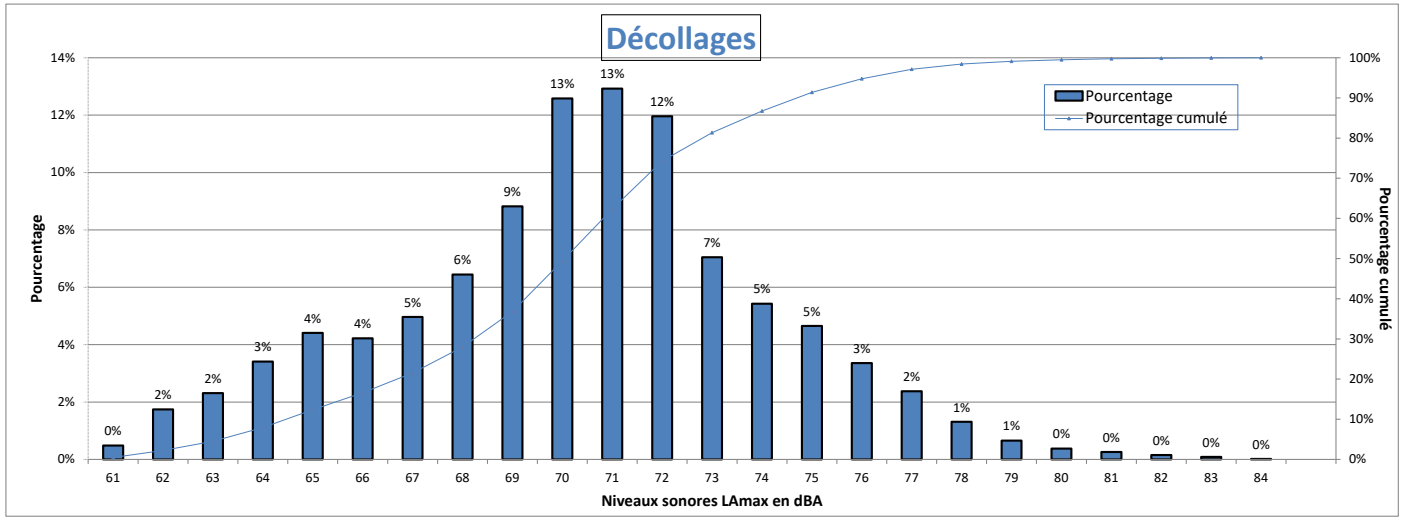
NE = Nombre d'événements mesurés et corrélés

Ecouen

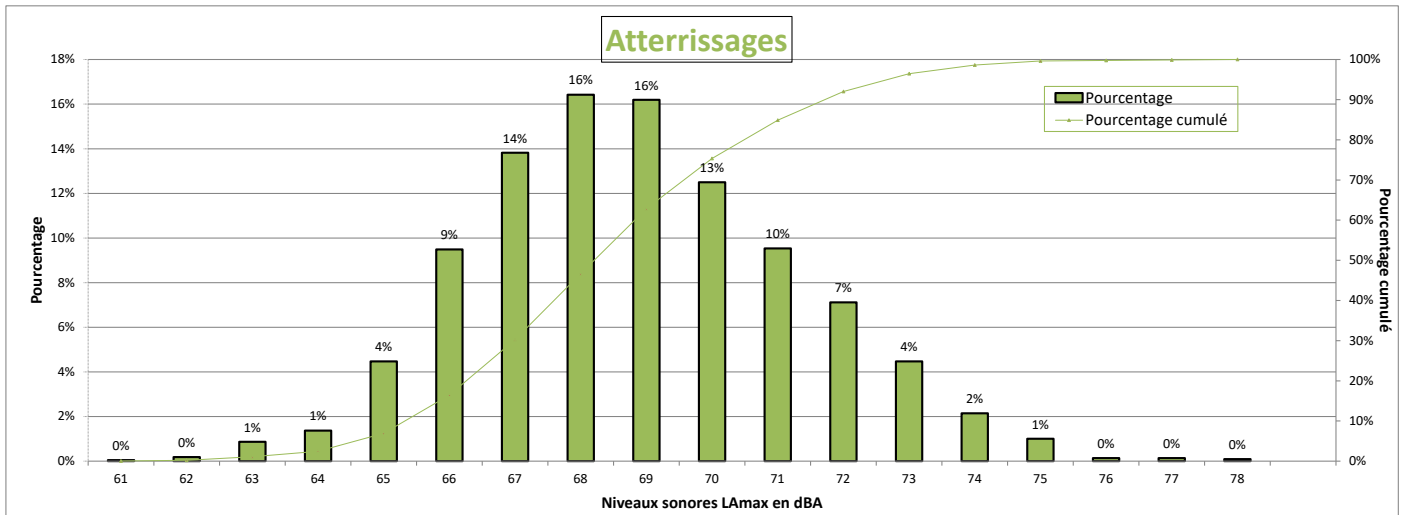


DISTRIBUTION STATISTIQUE - Ecoen - Mars 2024

Distribution des niveaux sonores LMax corrélés aux survols de l'aéroport Paris - CDG



Nombre d'évènements mesurés : 5803
 Moyenne arithmétique : 70,3 dBA
 Moyenne énergétique : 72 dBA



Nombre d'évènements mesurés : 2192
 Moyenne arithmétique : 68,8 dBA
 Moyenne énergétique : 69,5 dBA

Répartition par type avion - Atterrissages - Mars 2024

Ecouen

| Présentation des principaux types avions et de leur répartition dans la flotte, corrélés aux survols de l'aéroport Paris-CDG | | | | | |
|--|-----------------|------|--------------------|-----------|-------------|
| Avion | Type avion OACI | WTC* | LAmox moyen en dBA | Nombre ** | Répartition |
| AIRBUS A320 | A320 | M | 68 | 512 | 23% |
| BOMBARDIER BD-500 Cseries CS300 | BCS3 | M | 67,1 | 185 | 8% |
| BOEING 737-800 | B738 | M | 68,7 | 174 | 8% |
| BOEING 777-300 (ER) | B77W | H | 71,9 | 171 | 8% |
| AIRBUS A321 | A321 | M | 68,2 | 146 | 7% |
| AIRBUS A319 | A319 | M | 67,5 | 111 | 5% |
| AIRBUS A320neo | A20N | M | 67,4 | 110 | 5% |
| AIRBUS A350-900 | A359 | H | 69,3 | 71 | 3% |
| BOEING 777-200 (LR) | B77L | H | 71,3 | 64 | 3% |
| BOEING 787-9 Dreamliner | B789 | H | 69,4 | 60 | 3% |
| BOEING 777-200 | B772 | H | 71,3 | 59 | 3% |
| AIRBUS A330-300 | A333 | H | 72,2 | 58 | 3% |
| EMBRAER 190/195 | E190 | M | 67,3 | 54 | 2% |
| BOEING 767-300 | B763 | H | 71 | 53 | 2% |
| AIRBUS A321neo | A21N | M | 67,3 | 51 | 2% |
| BOEING 737-400 | B734 | M | 69,2 | 42 | 2% |
| BOEING 757-200 | B752 | M | 67,5 | 35 | 2% |
| AIRBUS A330-200 | A332 | H | 70,5 | 33 | 2% |
| AIRBUS A380-800 | A388 | H | 71,8 | 31 | 1% |
| BOEING 737 MAX 8 | B38M | M | 68,5 | 21 | 1% |

* Wake Turbulence Category (H = Heavy, M = Medium, L = Light)

** Nombre d'événements mesurés et corrélés aux survols

Répartition par type avion - Décollage - Mars 2024

Ecouen

| Présentation des principaux types avions et de leur répartition dans la flotte, corrélés aux survols de l'aéroport Paris-CDG | | | | | |
|--|-----------------|------|--------------------|-----------|-------------|
| Avion | Type avion OACI | WTC* | LAmox moyen en dBA | Nombre ** | Répartition |
| AIRBUS A320 | A320 | M | 70,3 | 1261 | 22% |
| BOMBARDIER BD-500 Cseries CS300 | BCS3 | M | 64,9 | 532 | 9% |
| BOEING 737-800 | B738 | M | 70,6 | 458 | 8% |
| BOEING 777-300 (ER) | B77W | H | 74,4 | 442 | 8% |
| AIRBUS A319 | A319 | M | 69,9 | 352 | 6% |
| AIRBUS A321 | A321 | M | 72,2 | 295 | 5% |
| EMBRAER 190/195 | E190 | M | 69,2 | 264 | 5% |
| AIRBUS A320neo | A20N | M | 65,1 | 258 | 4% |
| AIRBUS A350-900 | A359 | H | 71 | 207 | 4% |
| BOEING 787-9 Dreamliner | B789 | H | 70,6 | 176 | 3% |
| BOEING 777-200 | B772 | H | 73,7 | 154 | 3% |
| BOEING 777-200 (LR) | B77L | H | 72,3 | 152 | 3% |
| AIRBUS A321neo | A21N | M | 68,4 | 145 | 2% |
| AIRBUS A330-300 | A333 | H | 75,6 | 144 | 2% |
| BOEING 737-400 | B734 | M | 72,3 | 142 | 2% |
| BOEING 767-300 | B763 | H | 72,8 | 124 | 2% |
| BOEING 757-200 | B752 | M | 66,5 | 92 | 2% |
| AIRBUS A380-800 | A388 | H | 77 | 72 | 1% |
| EMBRAER 170/175 | E170 | M | 67,2 | 71 | 1% |
| AIRBUS A330-200 | A332 | H | 74,4 | 67 | 1% |
| BOEING 737 MAX 8 | B38M | M | 67,8 | 55 | 1% |
| BOEING 787-800 | B788 | H | 70,4 | 51 | 1% |
| A330-900neo | A339 | H | 72,1 | 46 | 1% |
| EMBRAER 190/200 | E195 | M | 72,1 | 25 | 0% |
| BOEING 737-900 | B739 | M | 72 | 20 | 0% |
| #N/A | E290 | #N/A | 65,1 | 20 | 0% |

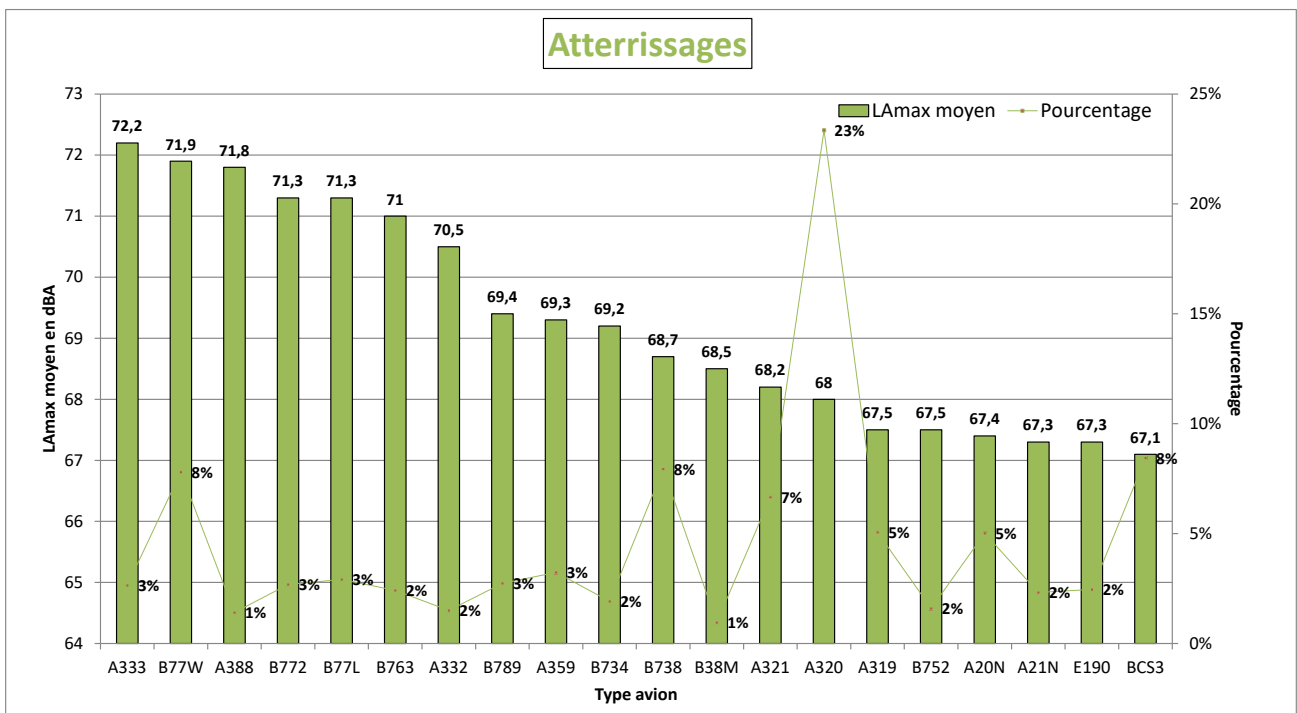
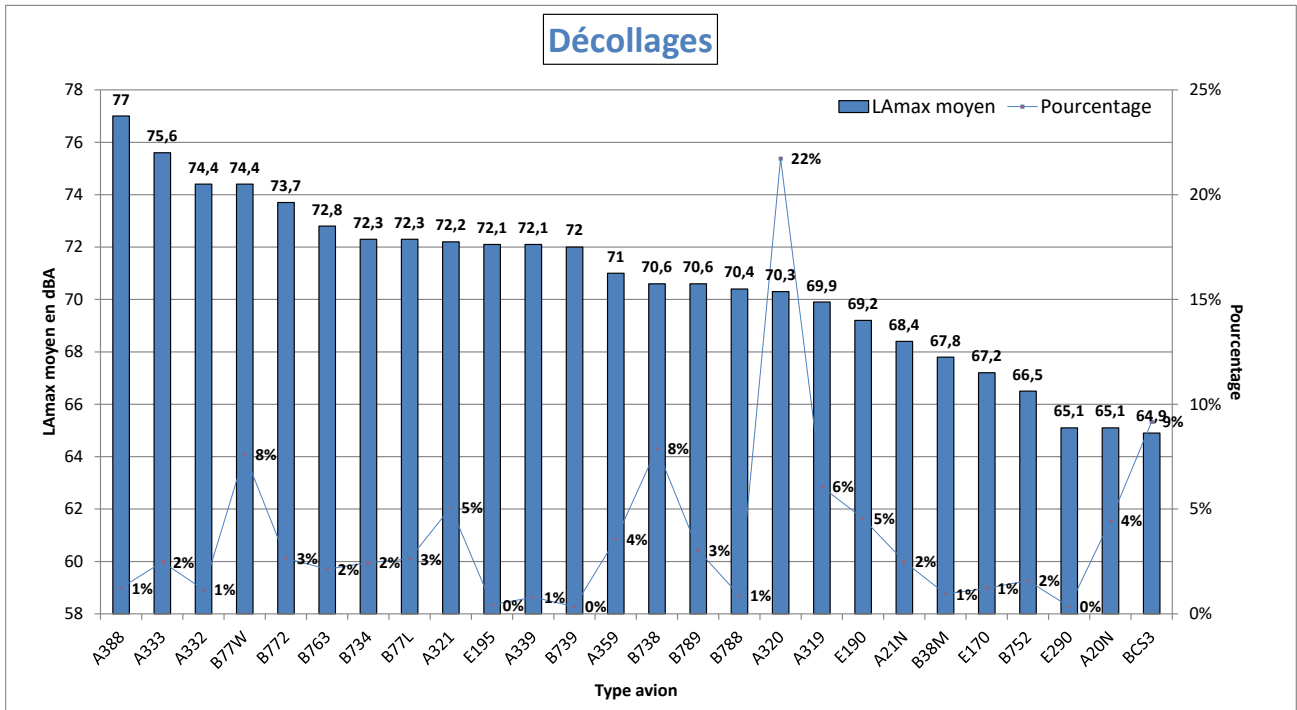
* Wake Turbulence Category (H = Heavy, M = Medium, L = Light)

** Nombre d'événements mesurés et corrélés aux survols

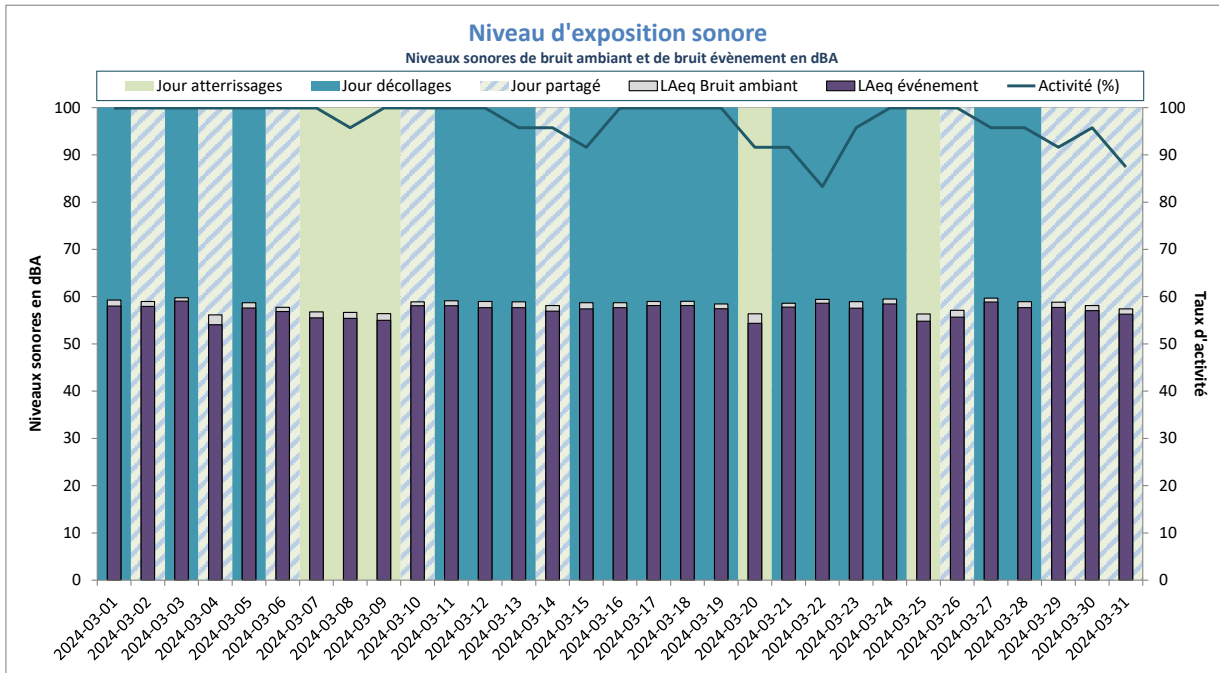
Répartition par type avion - Mars 2024

Ecouen

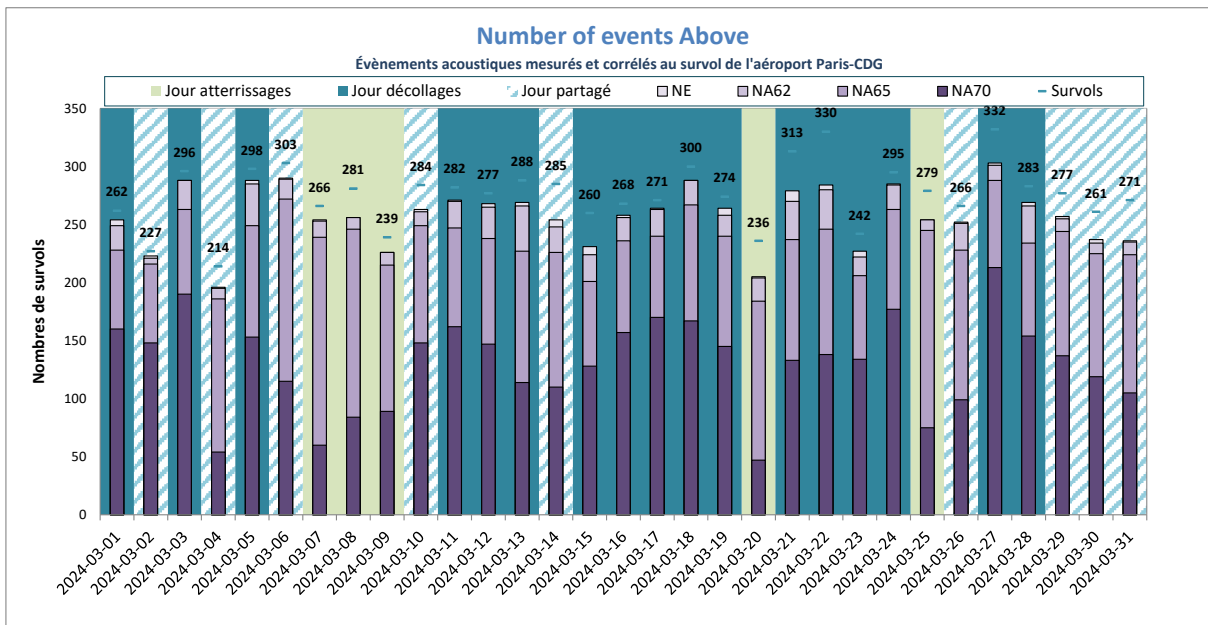
Niveaux sonores LAmax moyens par type avion corrélés aux survols de l'aéroport de CDG
(20 mouvements mesurés au minimum par catégorie)



NIVEAU D'EXPOSITION SONORE et NUMBER ABOVE - Ecoen - Mars 2024



Activité (%) = taux de mesures valides



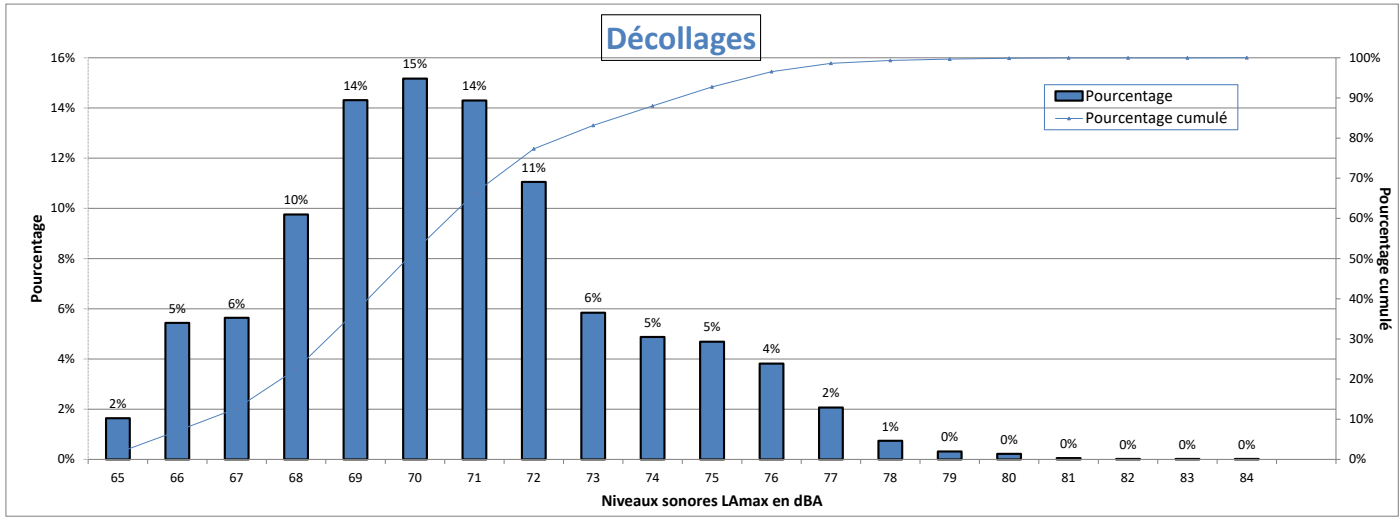
NE = Nombre d'événements mesurés et corrélés

Gonesse

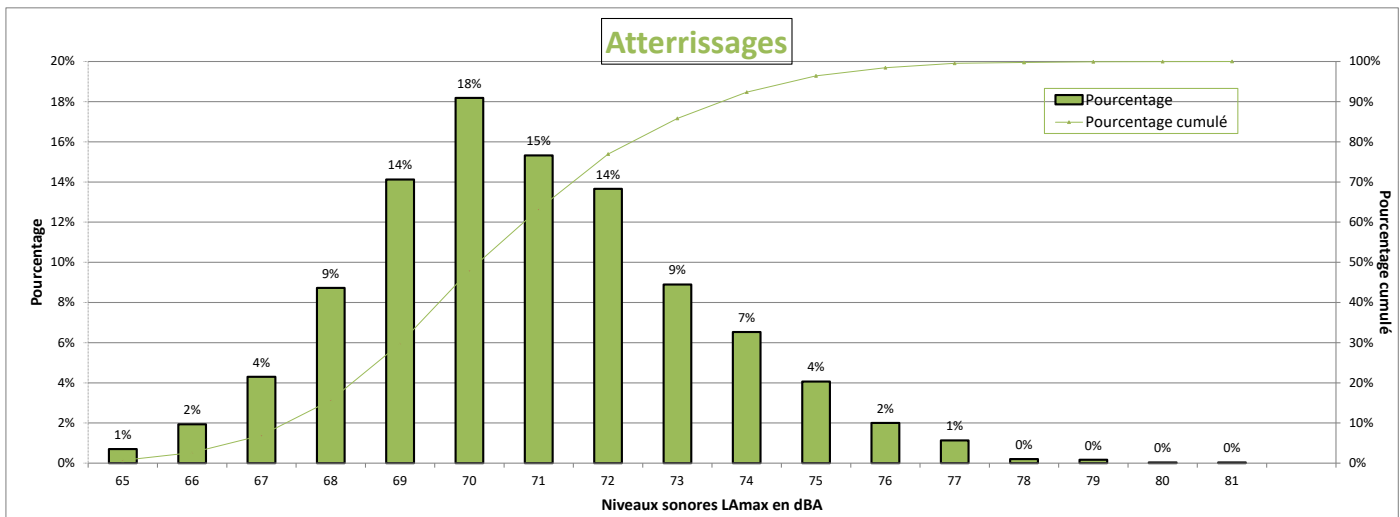


DISTRIBUTION STATISTIQUE - Gonesse - Mars 2024

Distribution des niveaux sonores LMax corrélés aux survols de l'aéroport Paris - CDG



Nombre d'évènements mesurés : 5372
 Moyenne arithmétique : 70,6 dBA
 Moyenne énergétique : 71,7 dBA



Nombre d'évènements mesurés : 3002
 Moyenne arithmétique : 70,8 dBA
 Moyenne énergétique : 71,5 dBA

Répartition par type avion - Atterrissages - Mars 2024

Gonesse

| Présentation des principaux types avions et de leur répartition dans la flotte, corrélés aux survols de l'aéroport Paris-CDG | | | | | |
|--|-----------------|------|--------------------|-----------|-------------|
| Avion | Type avion OACI | WTC* | LAmox moyen en dBA | Nombre ** | Répartition |
| AIRBUS A320 | A320 | M | 70,4 | 621 | 21% |
| EMBRAER 190/195 | E190 | M | 69,6 | 409 | 14% |
| BOMBARDIER BD-500 Cseries CS300 | BCS3 | M | 69,7 | 321 | 11% |
| AIRBUS A321 | A321 | M | 70,3 | 230 | 8% |
| BOEING 777-300 (ER) | B77W | H | 73,3 | 205 | 7% |
| AIRBUS A319 | A319 | M | 70 | 178 | 6% |
| AIRBUS A350-900 | A359 | H | 72,3 | 170 | 6% |
| EMBRAER 170/175 | E170 | M | 68,6 | 144 | 5% |
| BOEING 737-800 | B738 | M | 71,2 | 142 | 5% |
| AIRBUS A330-200 | A332 | H | 74,6 | 83 | 3% |
| BOEING 787-9 Dreamliner | B789 | H | 71,8 | 77 | 3% |
| BOEING 777-200 | B772 | H | 72,6 | 72 | 2% |
| AIRBUS A321neo | A21N | M | 70,3 | 63 | 2% |
| AIRBUS A330-300 | A333 | H | 73,7 | 40 | 1% |
| BOEING 777-200 (LR) | B77L | H | 73,2 | 40 | 1% |
| AIRBUS A320neo | A20N | M | 69 | 39 | 1% |
| BOEING 787-800 | B788 | H | 71,4 | 23 | 1% |
| A330-900neo | A339 | H | 74 | 22 | 1% |

* Wake Turbulence Category (H = Heavy, M = Medium, L = Light)

** Nombre d'événements mesurés et corrélés aux survols

Répartition par type avion - Décollage - Mars 2024

Gonesse

| Présentation des principaux types avions et de leur répartition dans la flotte, corrélés aux survols de l'aéroport Paris-CDG | | | | | |
|--|-----------------|------|--------------------|-----------|-------------|
| Avion | Type avion OACI | WTC* | LAmox moyen en dBA | Nombre ** | Répartition |
| AIRBUS A320 | A320 | M | 69,8 | 1164 | 22% |
| EMBRAER 190/195 | E190 | M | 69,2 | 708 | 13% |
| AIRBUS A321 | A321 | M | 71,8 | 540 | 10% |
| BOEING 777-300 (ER) | B77W | H | 74,8 | 403 | 8% |
| AIRBUS A350-900 | A359 | H | 69,7 | 333 | 6% |
| BOEING 737-800 | B738 | M | 70,9 | 287 | 5% |
| AIRBUS A319 | A319 | M | 69,1 | 287 | 5% |
| EMBRAER 170/175 | E170 | M | 67,8 | 278 | 5% |
| BOMBARDIER BD-500 Cseries CS300 | BCS3 | M | 66,4 | 225 | 4% |
| AIRBUS A330-200 | A332 | H | 75,3 | 198 | 4% |
| BOEING 777-200 | B772 | H | 73,7 | 158 | 3% |
| BOEING 787-9 Dreamliner | B789 | H | 71,5 | 142 | 3% |
| BOEING 777-200 (LR) | B77L | H | 73,8 | 88 | 2% |
| AIRBUS A321neo | A21N | M | 68,3 | 86 | 2% |
| AIRBUS A330-300 | A333 | H | 75,3 | 84 | 2% |
| AIRBUS A320neo | A20N | M | 67,5 | 57 | 1% |
| BOEING 767-300 | B763 | H | 69,5 | 47 | 1% |
| A330-900neo | A339 | H | 71,5 | 45 | 1% |
| BOEING 737-400 | B734 | M | 71,5 | 41 | 1% |
| BOEING 787-800 | B788 | H | 70,2 | 39 | 1% |
| BOEING 757-200 | B752 | M | 67,1 | 31 | 1% |
| BOEING 737-700 | B737 | M | 69,4 | 24 | 0% |
| BOEING 747-8 | B748 | H | 79,2 | 20 | 0% |

* Wake Turbulence Category (H = Heavy, M = Medium, L = Light)

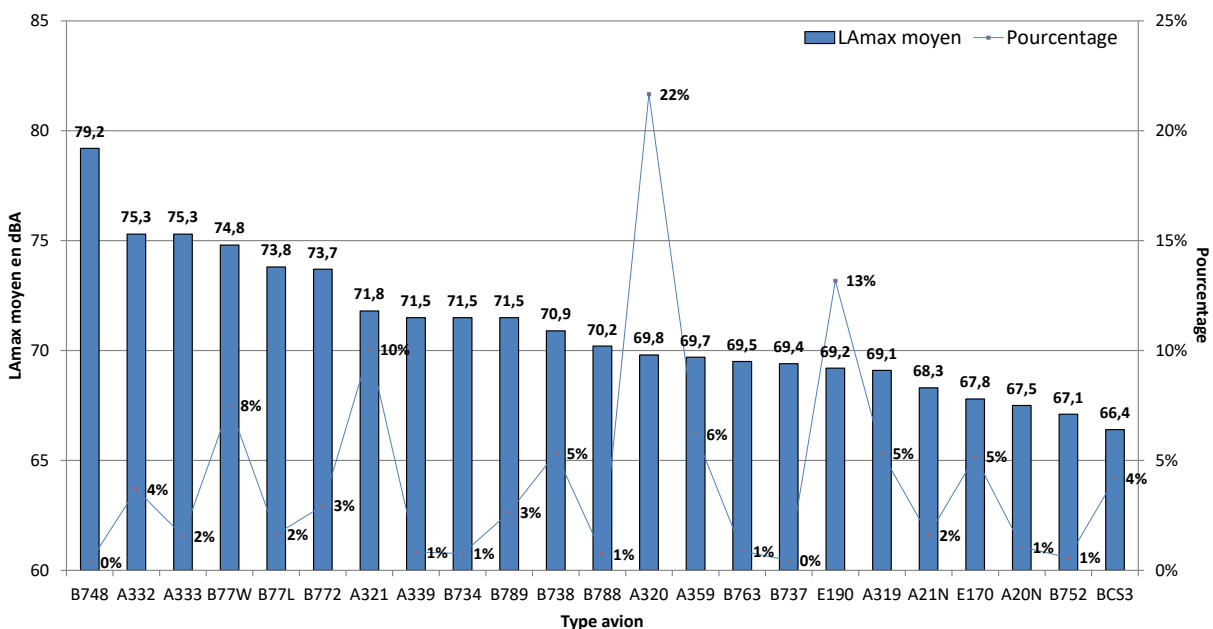
** Nombre d'événements mesurés et corrélés aux survols

Répartition par type avion - Mars 2024

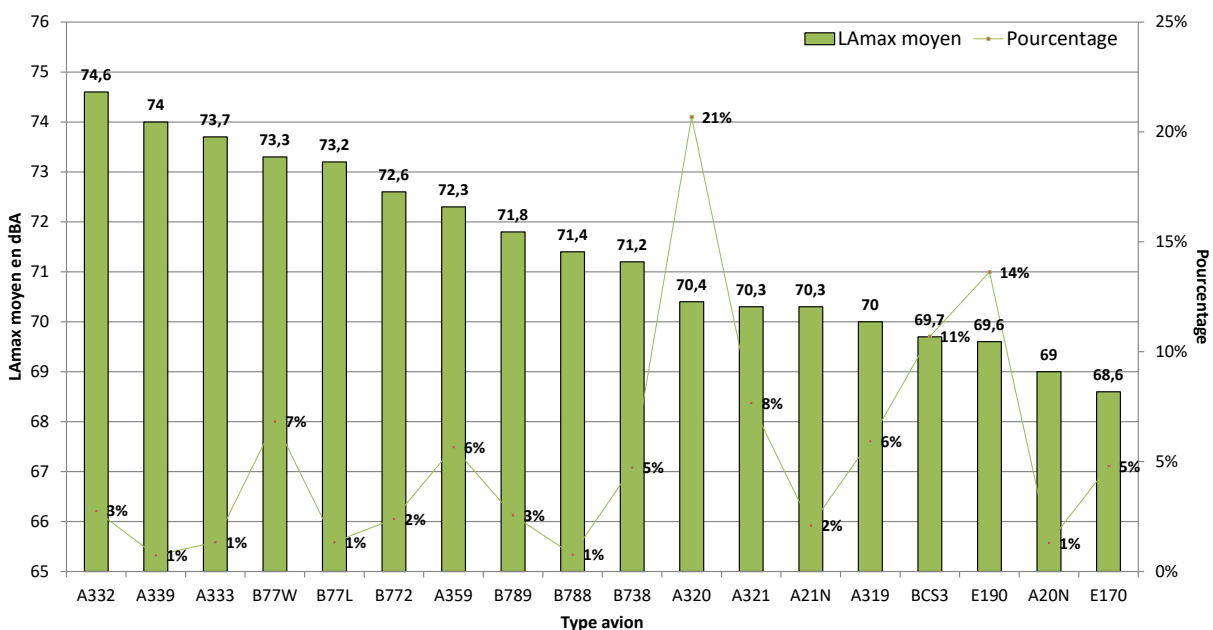
Gonesse

Niveaux sonores LAmax moyens par type avion corrélés aux survols de l'aéroport de CDG
(20 mouvements mesurés au minimum par catégorie)

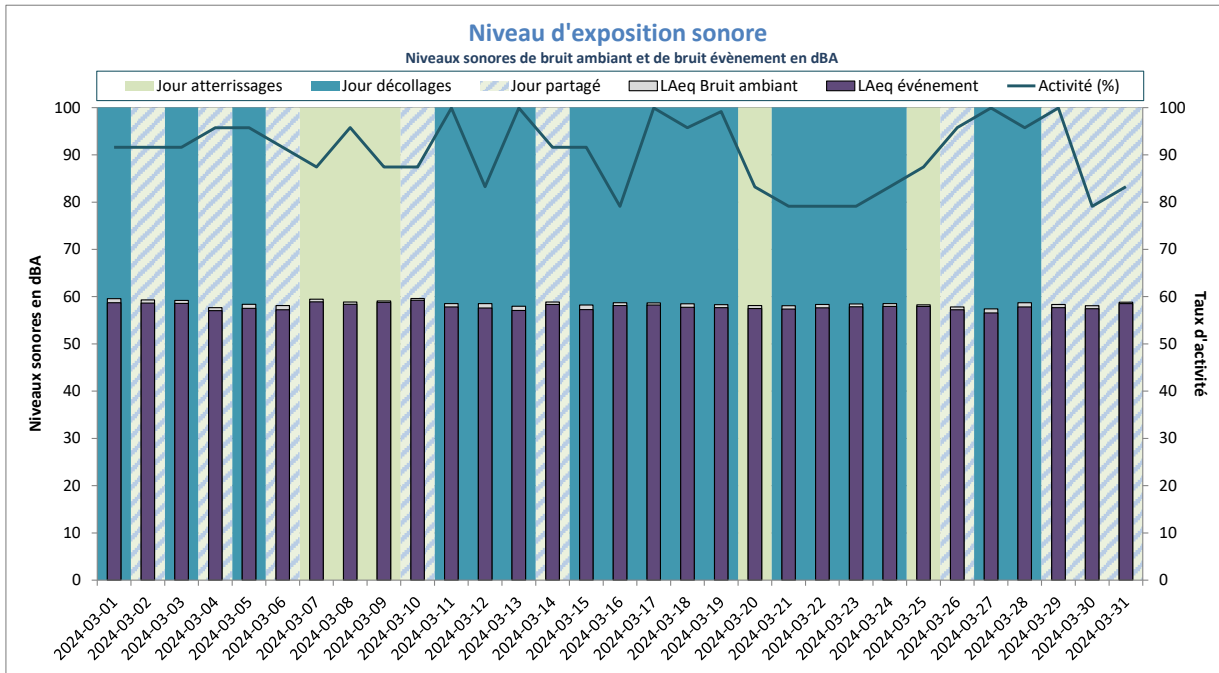
Décollages



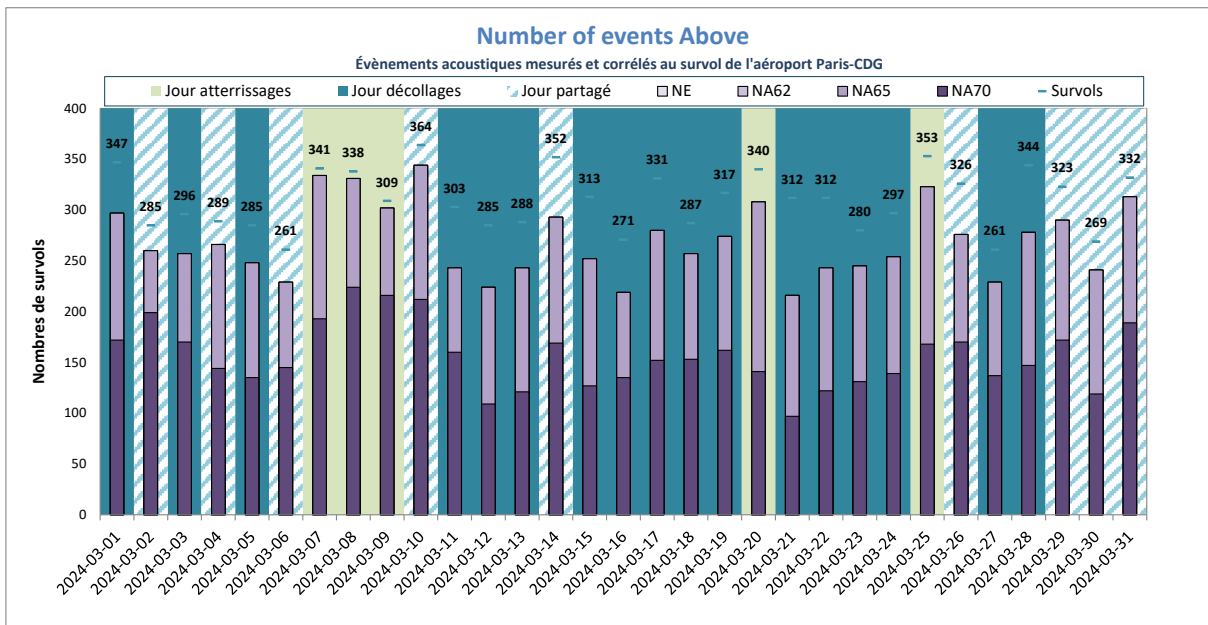
Atterrissages



NIVEAU D'EXPOSITION SONORE et NUMBER ABOVE - Gonesse - Mars 2024



Activité (%) = taux de mesures valides



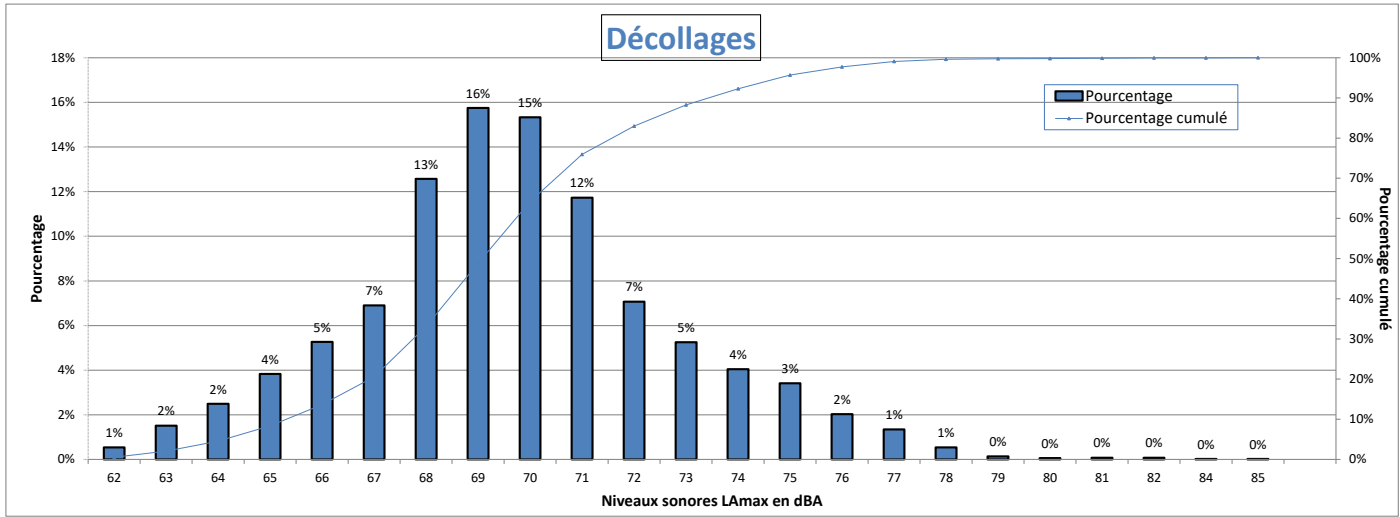
NE = Nombre d'évènements mesurés et corrélés

Gonesse Mairie

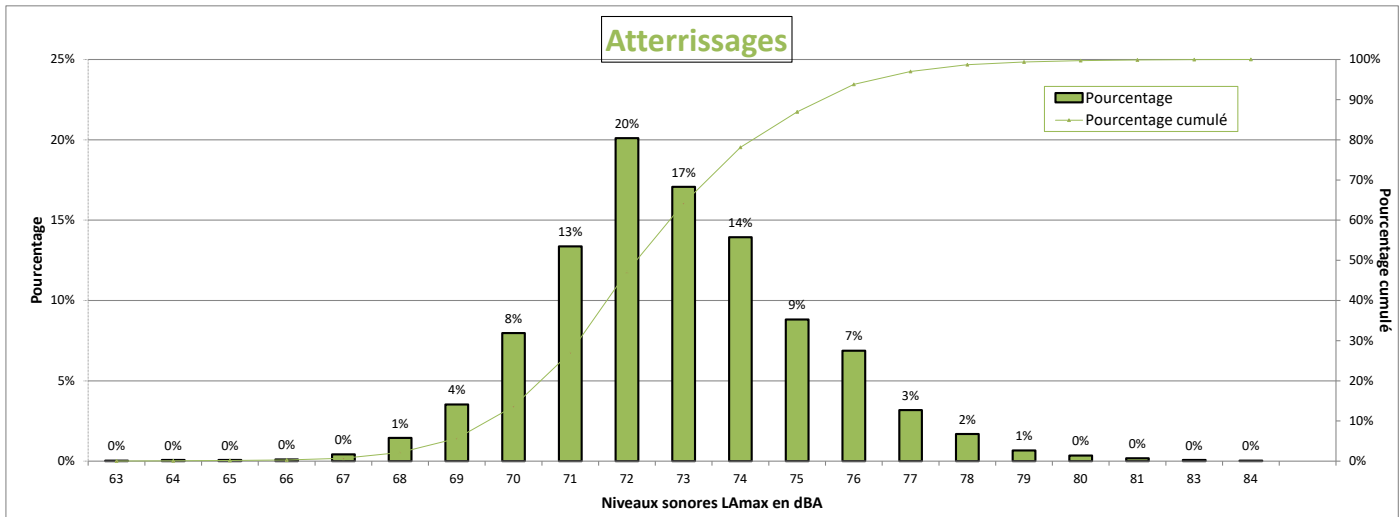


DISTRIBUTION STATISTIQUE - Gonesse Mairie - Mars 2024

Distribution des niveaux sonores LMax corrélés aux survols de l'aéroport Paris - CDG



Nombre d'évènements mesurés : 5218
 Moyenne arithmétique : 69,7 dBA
 Moyenne énergétique : 70,9 dBA



Nombre d'évènements mesurés : 2835
 Moyenne arithmétique : 72,8 dBA
 Moyenne énergétique : 73,5 dBA

Répartition par type avion - Atterrissages - Mars 2024

Gonesse Mairie

| Présentation des principaux types avions et de leur répartition dans la flotte, corrélés aux survols de l'aéroport Paris-CDG | | | | | |
|--|-----------------|------|--------------------|-----------|-------------|
| Avion | Type avion OACI | WTC* | LAmox moyen en dBA | Nombre ** | Répartition |
| AIRBUS A320 | A320 | M | 72,3 | 559 | 20% |
| EMBRAER 190/195 | E190 | M | 71,5 | 379 | 13% |
| BOMBARDIER BD-500 Cseries CS300 | BCS3 | M | 71,9 | 322 | 11% |
| AIRBUS A321 | A321 | M | 72,8 | 226 | 8% |
| BOEING 777-300 (ER) | B77W | H | 75,3 | 187 | 7% |
| AIRBUS A350-900 | A359 | H | 73,6 | 170 | 6% |
| AIRBUS A319 | A319 | M | 72 | 163 | 6% |
| EMBRAER 170/175 | E170 | M | 70,5 | 145 | 5% |
| BOEING 737-800 | B738 | M | 73,2 | 132 | 5% |
| AIRBUS A330-200 | A332 | H | 76,3 | 79 | 3% |
| BOEING 787-9 Dreamliner | B789 | H | 73,9 | 73 | 3% |
| BOEING 777-200 | B772 | H | 74,8 | 66 | 2% |
| AIRBUS A321neo | A21N | M | 72,6 | 58 | 2% |
| AIRBUS A330-300 | A333 | H | 75,5 | 43 | 2% |
| AIRBUS A320neo | A20N | M | 71,9 | 36 | 1% |
| BOEING 777-200 (LR) | B77L | H | 75,2 | 35 | 1% |
| BOEING 787-800 | B788 | H | 73,6 | 23 | 1% |
| A330-900neo | A339 | H | 75,9 | 22 | 1% |

* Wake Turbulence Category (H = Heavy, M = Medium, L = Light)

** Nombre d'événements mesurés et corrélés aux survols

Répartition par type avion - Décollage - Mars 2024

Gonesse Mairie

| Présentation des principaux types avions et de leur répartition dans la flotte, corrélés aux survols de l'aéroport Paris-CDG | | | | | |
|--|-----------------|------|--------------------|-----------|-------------|
| Avion | Type avion OACI | WTC* | LAmox moyen en dBA | Nombre ** | Répartition |
| AIRBUS A320 | A320 | M | 69 | 1057 | 20% |
| EMBRAER 190/195 | E190 | M | 69,2 | 636 | 12% |
| AIRBUS A321 | A321 | M | 71 | 484 | 9% |
| BOMBARDIER BD-500 Cseries CS300 | BCS3 | M | 65,4 | 455 | 9% |
| BOEING 777-300 (ER) | B77W | H | 73,4 | 374 | 7% |
| AIRBUS A350-900 | A359 | H | 69,2 | 296 | 6% |
| EMBRAER 170/175 | E170 | M | 67,9 | 277 | 5% |
| AIRBUS A319 | A319 | M | 68,5 | 256 | 5% |
| BOEING 737-800 | B738 | M | 70,2 | 244 | 5% |
| AIRBUS A330-200 | A332 | H | 75,1 | 191 | 4% |
| BOEING 777-200 | B772 | H | 73 | 156 | 3% |
| BOEING 787-9 Dreamliner | B789 | H | 70,6 | 126 | 2% |
| BOEING 777-200 (LR) | B77L | H | 72,1 | 84 | 2% |
| AIRBUS A321neo | A21N | M | 66,8 | 80 | 2% |
| AIRBUS A320neo | A20N | M | 65,6 | 80 | 2% |
| AIRBUS A330-300 | A333 | H | 74,7 | 78 | 1% |
| BOEING 767-300 | B763 | H | 68,5 | 48 | 1% |
| BOEING 757-200 | B752 | M | 65,2 | 47 | 1% |
| BOEING 737-400 | B734 | M | 70,7 | 41 | 1% |
| A330-900neo | A339 | H | 70,6 | 38 | 1% |
| BOEING 787-800 | B788 | H | 68,7 | 38 | 1% |
| BOEING 737-700 | B737 | M | 68,7 | 20 | 0% |

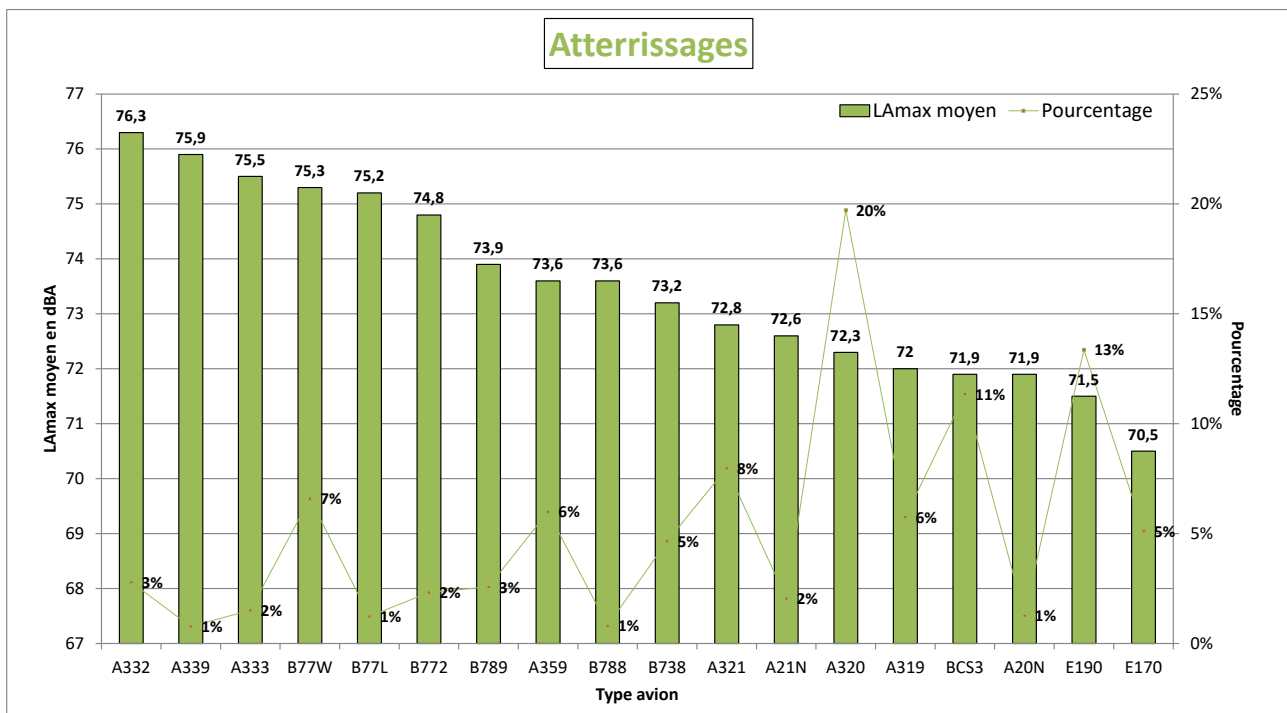
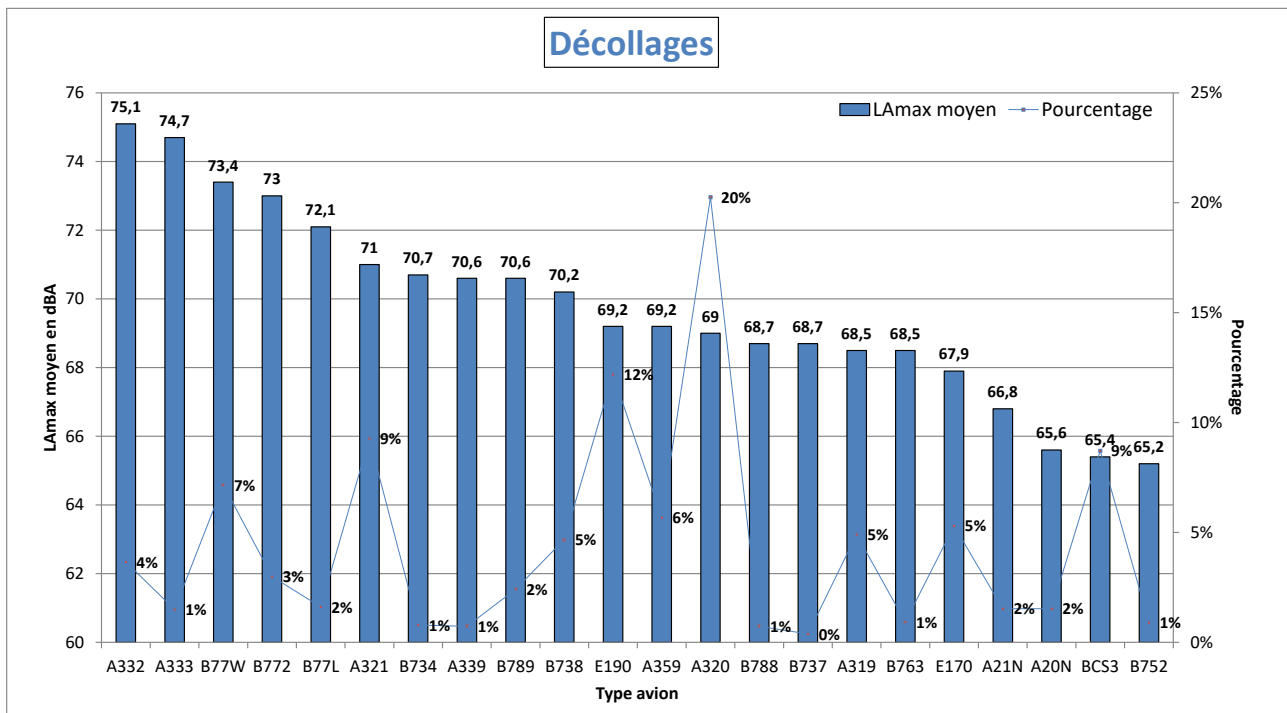
* Wake Turbulence Category (H = Heavy, M = Medium, L = Light)

** Nombre d'événements mesurés et corrélés aux survols

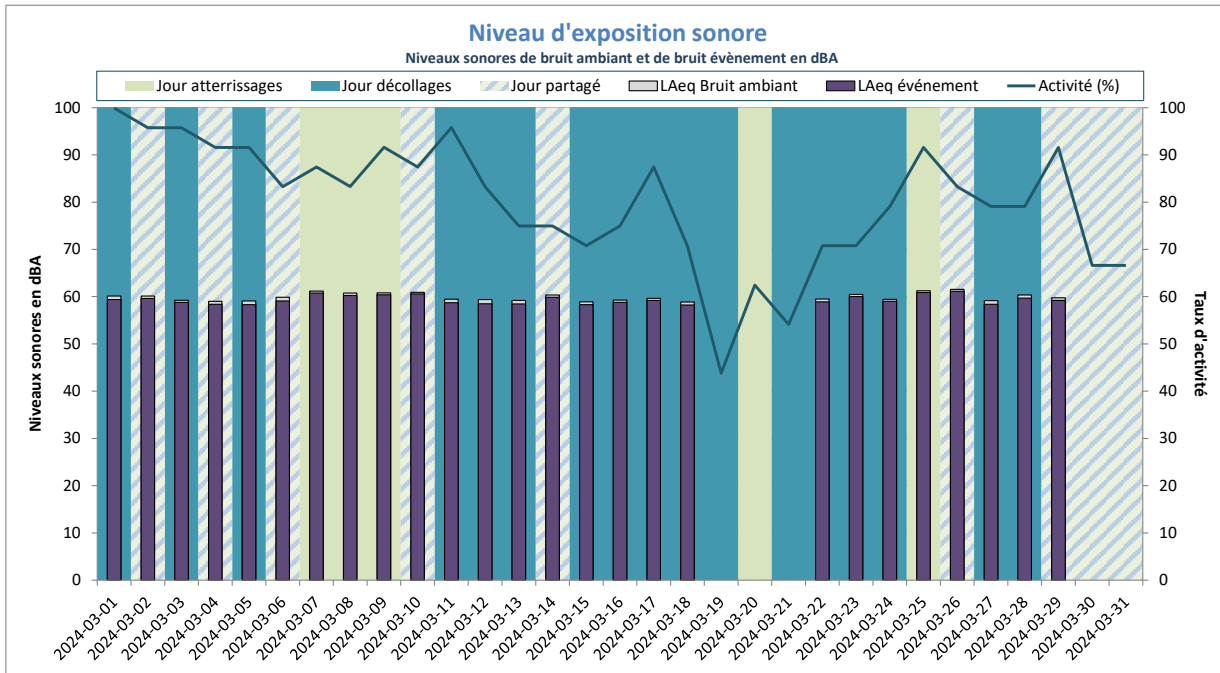
Répartition par type avion - Mars 2024

Gonesse Mairie

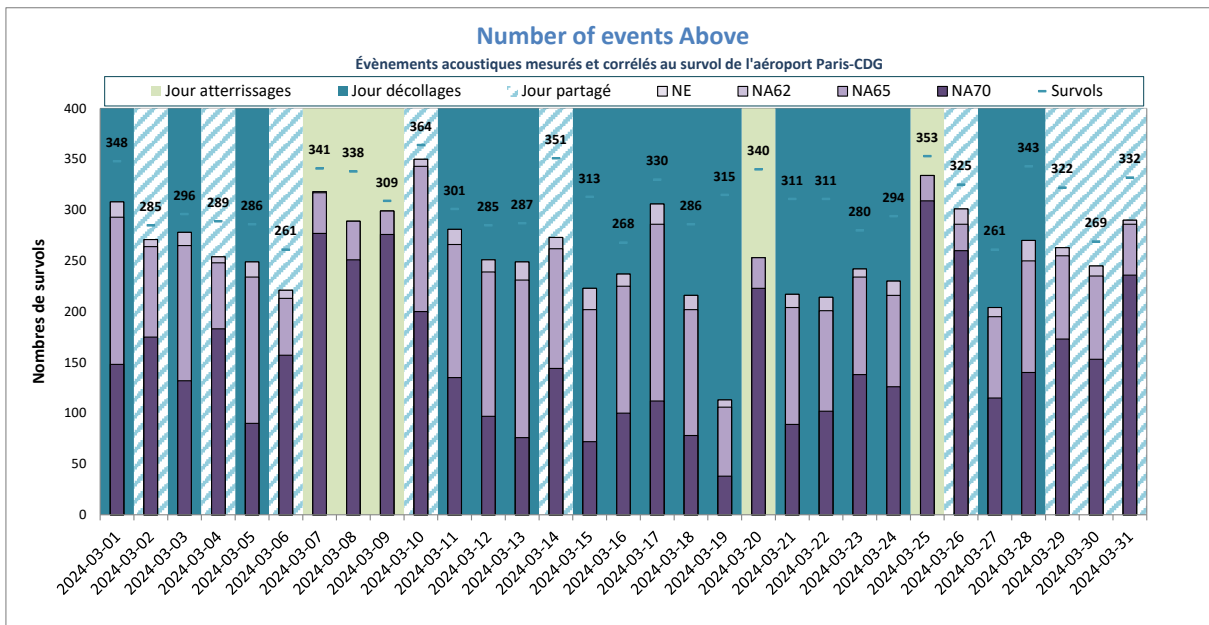
Niveaux sonores LAmax moyens par type avion corrélés aux survols de l'aéroport de CDG
(20 mouvements mesurés au minimum par catégorie)



NIVEAU D'EXPOSITION SONORE et NUMBER ABOVE - Gonesse Mairie - Mars 2024



Activité (%) = taux de mesures valides



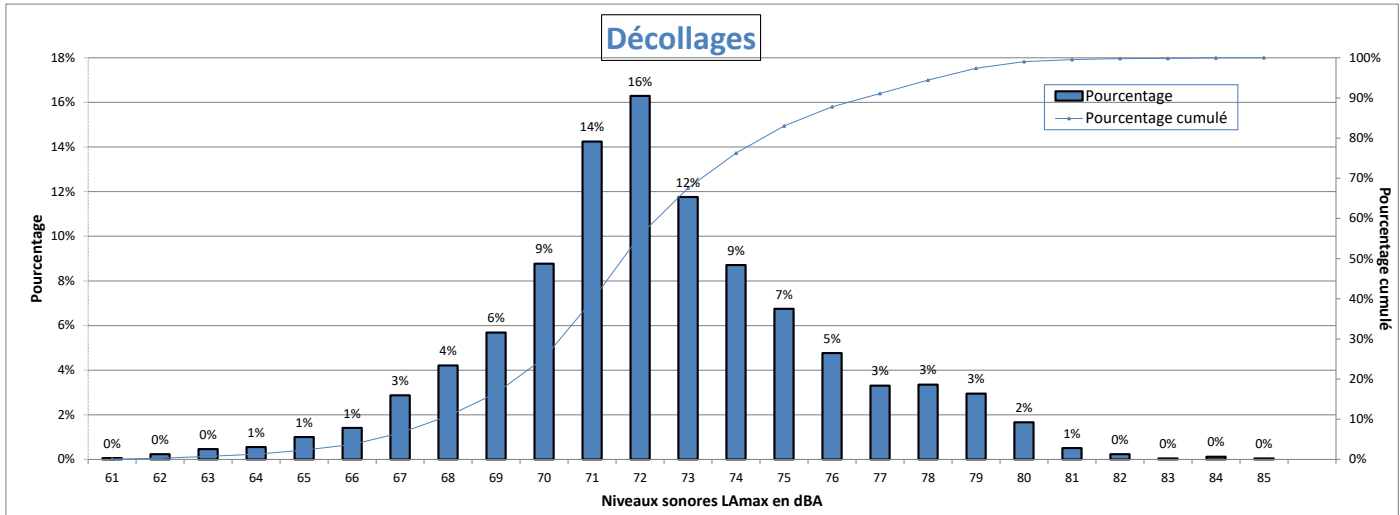
NE = Nombre d'événements mesurés et corrélés

Gonesse W2

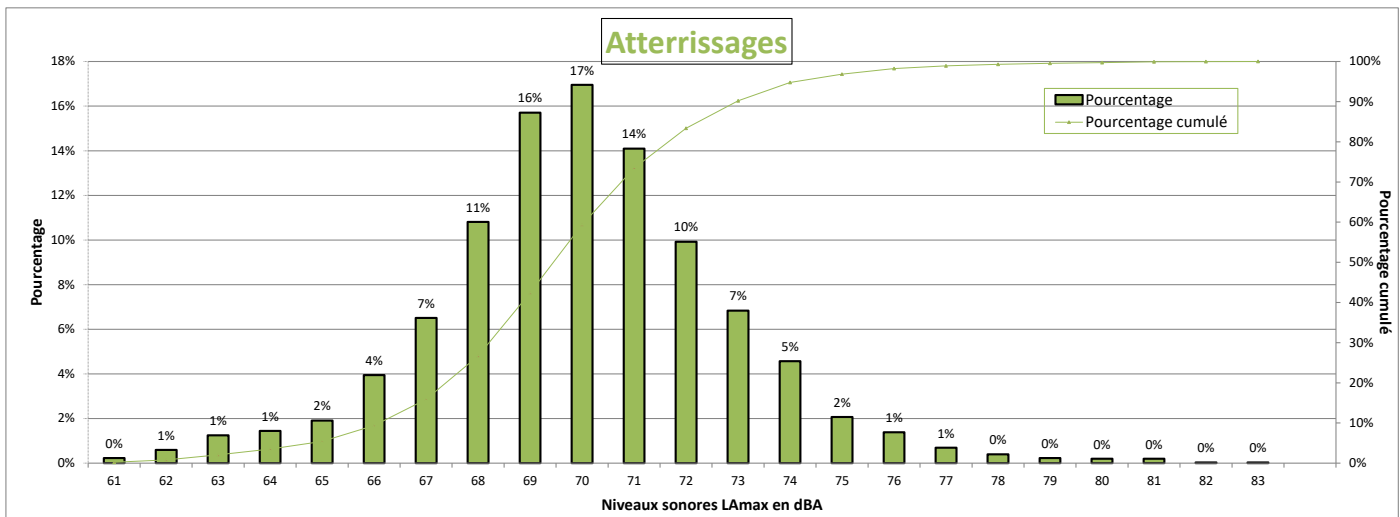


DISTRIBUTION STATISTIQUE - Gonesse W2 - Mars 2024

Distribution des niveaux sonores LAmx corrélés aux survols de l'aéroport Paris - CDG



Nombre d'évènements mesurés : 6507
 Moyenne arithmétique : 72,4 dBA
 Moyenne énergétique : 73,8 dBA



Nombre d'évènements mesurés : 3043
 Moyenne arithmétique : 69,9 dBA
 Moyenne énergétique : 71 dBA

Répartition par type avion - Atterrissages - Mars 2024

Gonesse W2

| Présentation des principaux types avions et de leur répartition dans la flotte, corrélés aux survols de l'aéroport Paris-CDG | | | | | |
|--|-----------------|------|--------------------|-----------|-------------|
| Avion | Type avion OACI | WTC* | LAmox moyen en dBA | Nombre ** | Répartition |
| AIRBUS A320 | A320 | M | 69,6 | 628 | 21% |
| EMBRAER 190/195 | E190 | M | 69 | 405 | 13% |
| BOMBARDIER BD-500 Cseries CS300 | BCS3 | M | 68,1 | 332 | 11% |
| AIRBUS A321 | A321 | M | 70,2 | 232 | 8% |
| BOEING 777-300 (ER) | B77W | H | 73,1 | 214 | 7% |
| AIRBUS A350-900 | A359 | H | 70,1 | 176 | 6% |
| AIRBUS A319 | A319 | M | 69 | 174 | 6% |
| EMBRAER 170/175 | E170 | M | 67,4 | 148 | 5% |
| BOEING 737-800 | B738 | M | 70,4 | 145 | 5% |
| AIRBUS A330-200 | A332 | H | 74,4 | 86 | 3% |
| BOEING 787-9 Dreamliner | B789 | H | 71 | 77 | 3% |
| BOEING 777-200 | B772 | H | 71,4 | 73 | 2% |
| AIRBUS A321neo | A21N | M | 68,9 | 61 | 2% |
| AIRBUS A330-300 | A333 | H | 72,8 | 44 | 1% |
| BOEING 777-200 (LR) | B77L | H | 72,3 | 40 | 1% |
| AIRBUS A320neo | A20N | M | 68,1 | 37 | 1% |
| A330-900neo | A339 | H | 73,5 | 23 | 1% |
| BOEING 787-800 | B788 | H | 70,6 | 23 | 1% |

* Wake Turbulence Category (H = Heavy, M = Medium, L = Light)

** Nombre d'événements mesurés et corrélés aux survols

Répartition par type avion - Décollage - Mars 2024

Gonesse W2

| Présentation des principaux types avions et de leur répartition dans la flotte, corrélés aux survols de l'aéroport Paris-CDG | | | | | |
|--|-----------------|------|--------------------|-----------|-------------|
| Avion | Type avion OACI | WTC* | LAmox moyen en dBA | Nombre ** | Répartition |
| AIRBUS A320 | A320 | M | 71,5 | 1272 | 20% |
| EMBRAER 190/195 | E190 | M | 71,4 | 844 | 13% |
| BOMBARDIER BD-500 Cseries CS300 | BCS3 | M | 68,3 | 621 | 10% |
| AIRBUS A321 | A321 | M | 74 | 574 | 9% |
| BOEING 777-300 (ER) | B77W | H | 77,2 | 436 | 7% |
| AIRBUS A350-900 | A359 | H | 71,7 | 359 | 6% |
| EMBRAER 170/175 | E170 | M | 70,3 | 351 | 5% |
| BOEING 737-800 | B738 | M | 73,7 | 331 | 5% |
| AIRBUS A319 | A319 | M | 70,9 | 315 | 5% |
| AIRBUS A330-200 | A332 | H | 77,9 | 217 | 3% |
| BOEING 777-200 | B772 | H | 76 | 184 | 3% |
| BOEING 787-9 Dreamliner | B789 | H | 74,1 | 152 | 2% |
| AIRBUS A321neo | A21N | M | 70,5 | 108 | 2% |
| BOEING 777-200 (LR) | B77L | H | 75,7 | 103 | 2% |
| AIRBUS A320neo | A20N | M | 68,6 | 100 | 2% |
| AIRBUS A330-300 | A333 | H | 77,5 | 94 | 1% |
| BOEING 757-200 | B752 | M | 68,4 | 64 | 1% |
| BOEING 737-400 | B734 | M | 74,1 | 59 | 1% |
| BOEING 767-300 | B763 | H | 72,1 | 59 | 1% |
| A330-900neo | A339 | H | 72,4 | 47 | 1% |
| BOEING 787-800 | B788 | H | 72 | 42 | 1% |
| BOEING 737-700 | B737 | M | 71,6 | 28 | 0% |

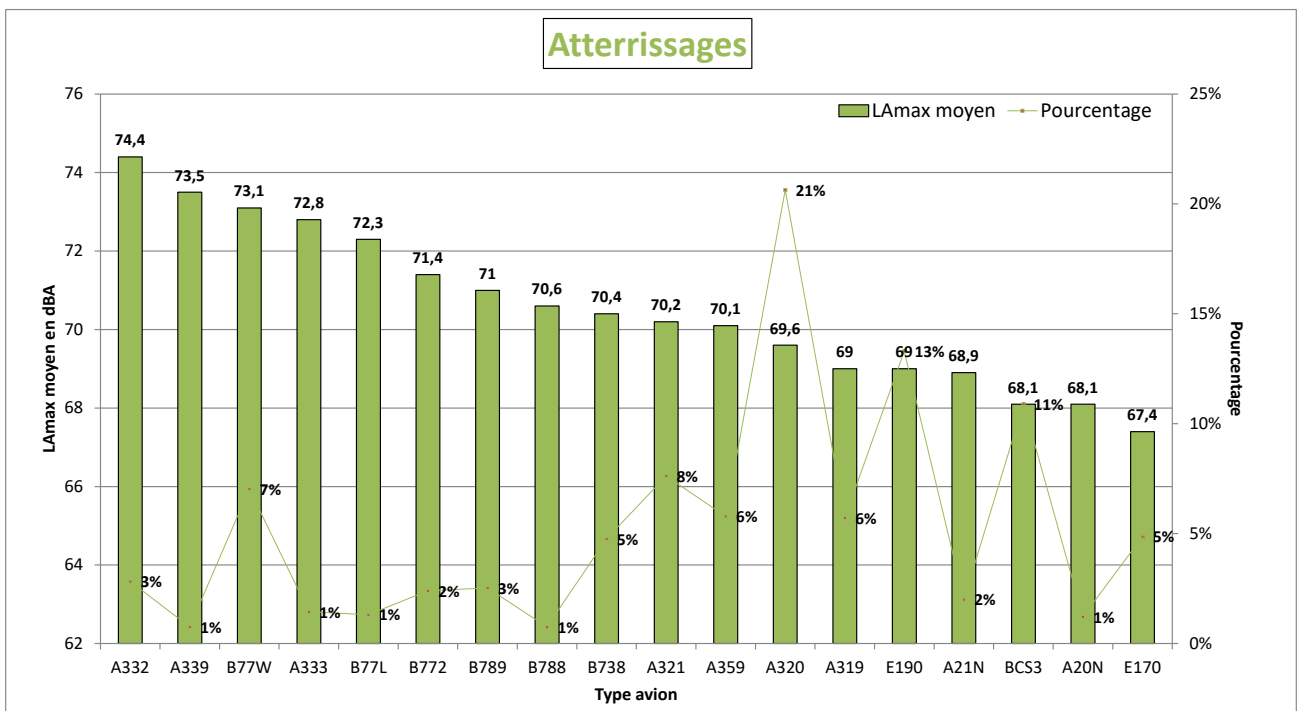
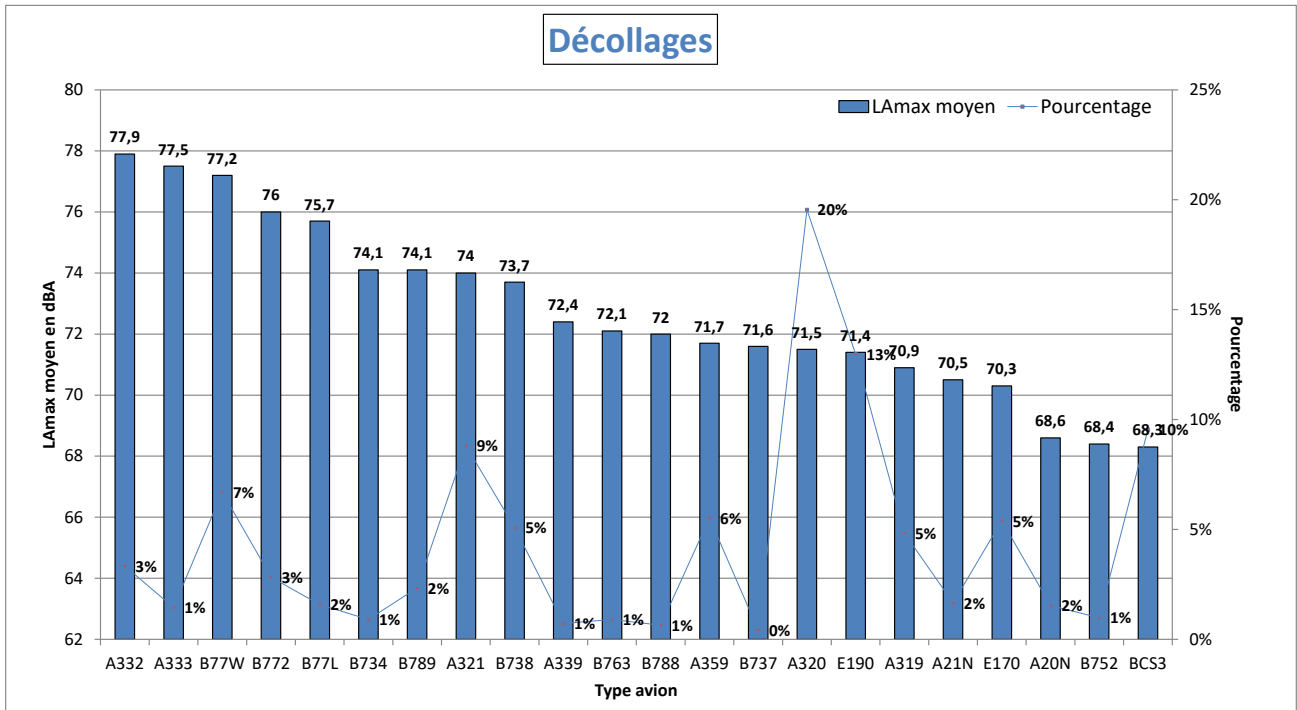
* Wake Turbulence Category (H = Heavy, M = Medium, L = Light)

** Nombre d'événements mesurés et corrélés aux survols

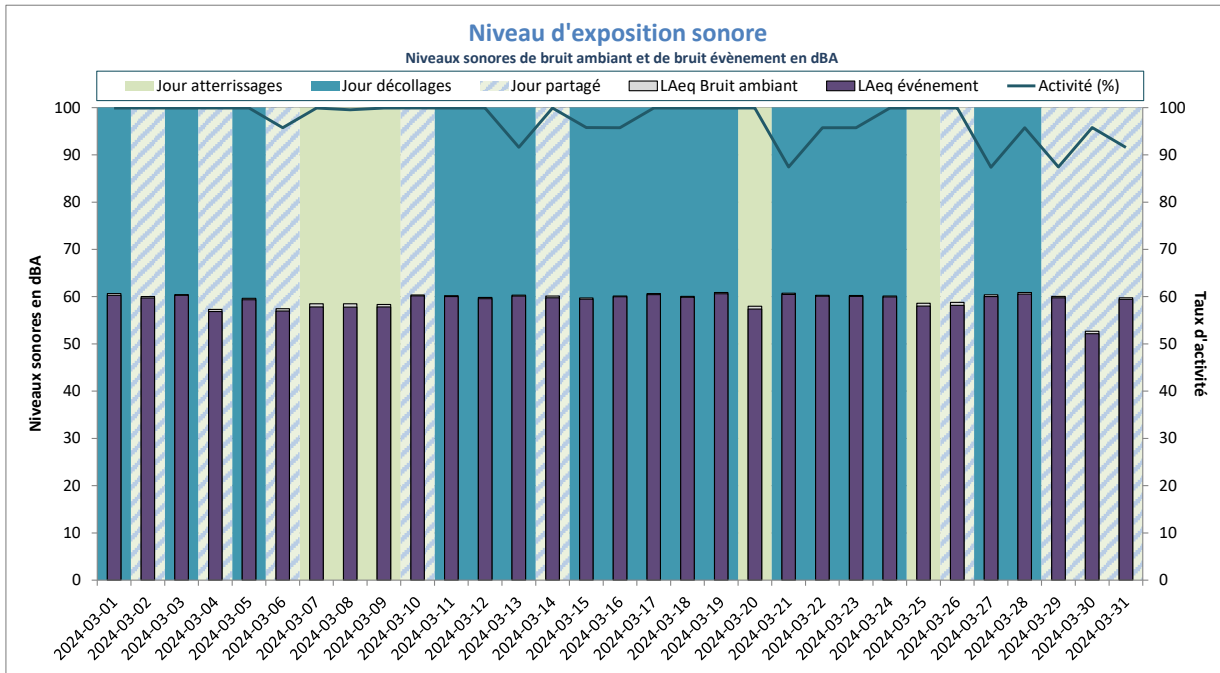
Répartition par type avion - Mars 2024

Gonesse W2

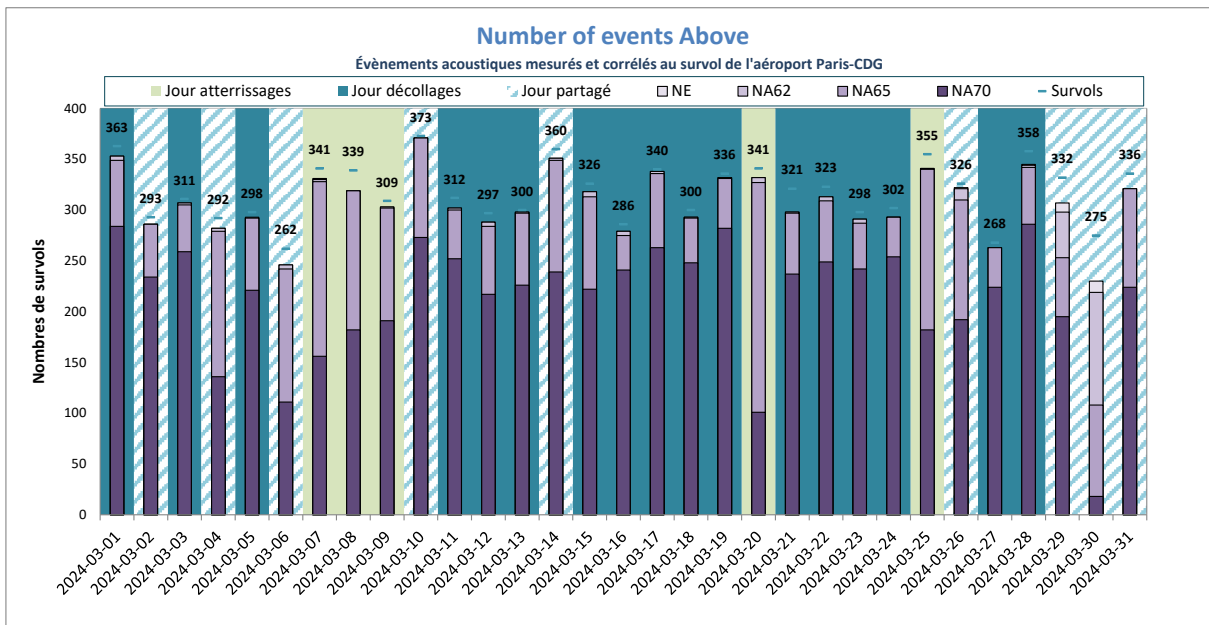
Niveaux sonores LAmax moyens par type avion corrélés aux survols de l'aéroport de CDG
(20 mouvements mesurés au minimum par catégorie)



NIVEAU D'EXPOSITION SONORE et NUMBER ABOVE - Gonesse W2 - Mars 2024



Activité (%) = taux de mesures valides



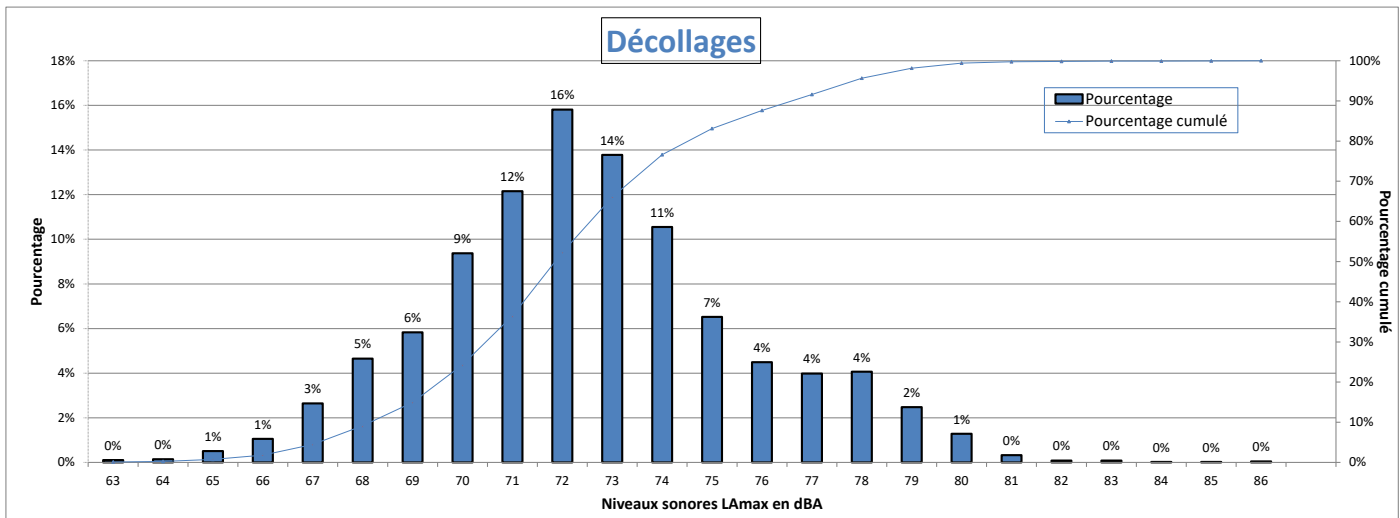
NE = Nombre d'événements mesurés et corrélés

Gonesse W4

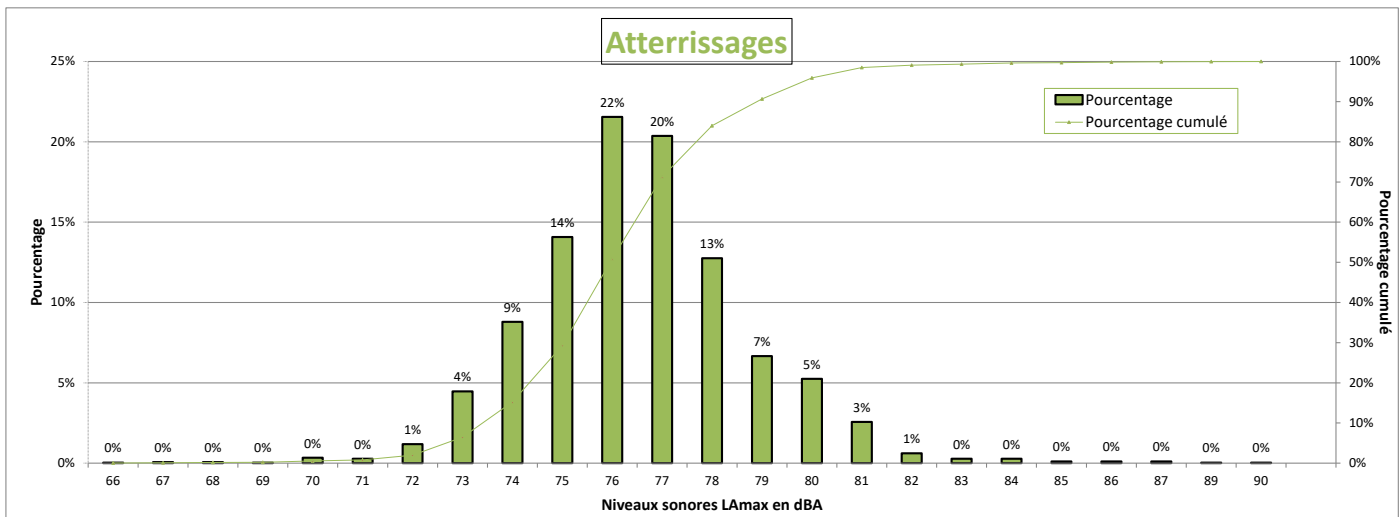


DISTRIBUTION STATISTIQUE - Gonesse W4 - Mars 2024

Distribution des niveaux sonores LMax corrélés aux survols de l'aéroport Paris - CDG



Nombre d'évènements mesurés : 4920
 Moyenne arithmétique : 72,5 dBA
 Moyenne énergétique : 73,7 dBA



Nombre d'évènements mesurés : 2956
 Moyenne arithmétique : 76,5 dBA
 Moyenne énergétique : 77,1 dBA

Répartition par type avion - Atterrissages - Mars 2024

Gonesse W4

| Présentation des principaux types avions et de leur répartition dans la flotte, corrélés aux survols de l'aéroport Paris-CDG | | | | | |
|--|-----------------|------|--------------------|-----------|-------------|
| Avion | Type avion OACI | WTC* | LAmax moyen en dBA | Nombre ** | Répartition |
| AIRBUS A320 | A320 | M | 76,3 | 610 | 21% |
| EMBRAER 190/195 | E190 | M | 75,7 | 400 | 14% |
| BOMBARDIER BD-500 Cseries CS300 | BCS3 | M | 74,4 | 326 | 11% |
| AIRBUS A321 | A321 | M | 77,3 | 222 | 8% |
| BOEING 777-300 (ER) | B77W | H | 79,8 | 204 | 7% |
| AIRBUS A319 | A319 | M | 75,5 | 175 | 6% |
| AIRBUS A350-900 | A359 | H | 76,8 | 169 | 6% |
| EMBRAER 170/175 | E170 | M | 74 | 148 | 5% |
| BOEING 737-800 | B738 | M | 77,1 | 133 | 4% |
| AIRBUS A330-200 | A332 | H | 78,8 | 84 | 3% |
| BOEING 787-9 Dreamliner | B789 | H | 77,8 | 72 | 2% |
| BOEING 777-200 | B772 | H | 78,9 | 71 | 2% |
| AIRBUS A321neo | A21N | M | 75,4 | 59 | 2% |
| BOEING 777-200 (LR) | B77L | H | 79,7 | 41 | 1% |
| AIRBUS A330-300 | A333 | H | 78,6 | 39 | 1% |
| AIRBUS A320neo | A20N | M | 74,5 | 38 | 1% |
| BOEING 787-800 | B788 | H | 76,7 | 22 | 1% |
| A330-900neo | A339 | H | 78,7 | 21 | 1% |

* Wake Turbulence Category (H = Heavy, M = Medium, L = Light)

** Nombre d'événements mesurés et corrélés aux survols

Répartition par type avion - Décollage - Mars 2024

Gonesse W4

| Présentation des principaux types avions et de leur répartition dans la flotte, corrélés aux survols de l'aéroport Paris-CDG | | | | | |
|--|-----------------|------|-------------------|-----------|-------------|
| Avion | Type avion OACI | WTC* | LAmx moyen en dBA | Nombre ** | Répartition |
| AIRBUS A320 | A320 | M | 71,7 | 984 | 20% |
| EMBRAER 190/195 | E190 | M | 71,8 | 634 | 13% |
| BOMBARDIER BD-500 Cseries CS300 | BCS3 | M | 68,6 | 475 | 10% |
| AIRBUS A321 | A321 | M | 74,1 | 432 | 9% |
| BOEING 777-300 (ER) | B77W | H | 77 | 304 | 6% |
| AIRBUS A350-900 | A359 | H | 72,4 | 279 | 6% |
| BOEING 737-800 | B738 | M | 73,7 | 256 | 5% |
| EMBRAER 170/175 | E170 | M | 70,6 | 252 | 5% |
| AIRBUS A319 | A319 | M | 71,3 | 246 | 5% |
| AIRBUS A330-200 | A332 | H | 78,3 | 155 | 3% |
| BOEING 777-200 | B772 | H | 77,3 | 127 | 3% |
| BOEING 787-9 Dreamliner | B789 | H | 74,1 | 109 | 2% |
| AIRBUS A320neo | A20N | M | 67,9 | 85 | 2% |
| BOEING 777-200 (LR) | B77L | H | 75,7 | 80 | 2% |
| AIRBUS A321neo | A21N | M | 69,9 | 74 | 2% |
| AIRBUS A330-300 | A333 | H | 77,3 | 67 | 1% |
| BOEING 767-300 | B763 | H | 71,2 | 57 | 1% |
| BOEING 757-200 | B752 | M | 68,8 | 54 | 1% |
| BOEING 737-400 | B734 | M | 73,8 | 53 | 1% |
| BOEING 787-800 | B788 | H | 72,4 | 38 | 1% |
| A330-900neo | A339 | H | 72,6 | 36 | 1% |

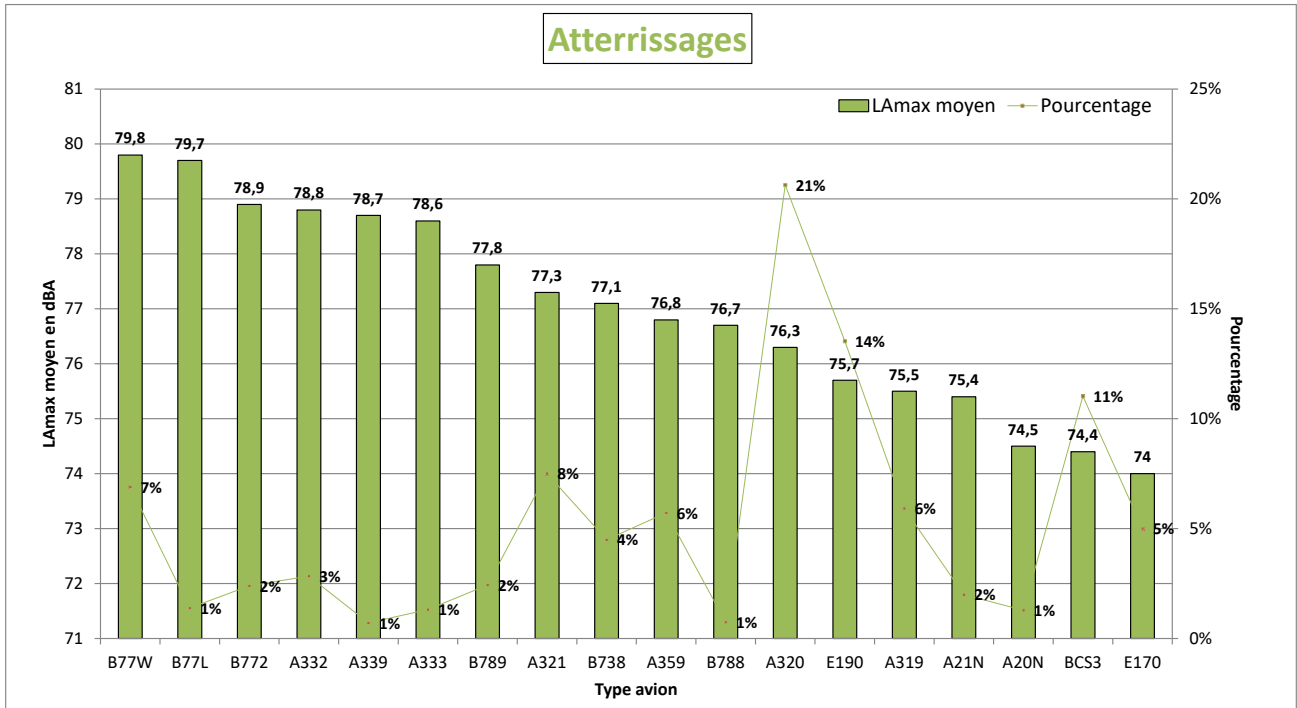
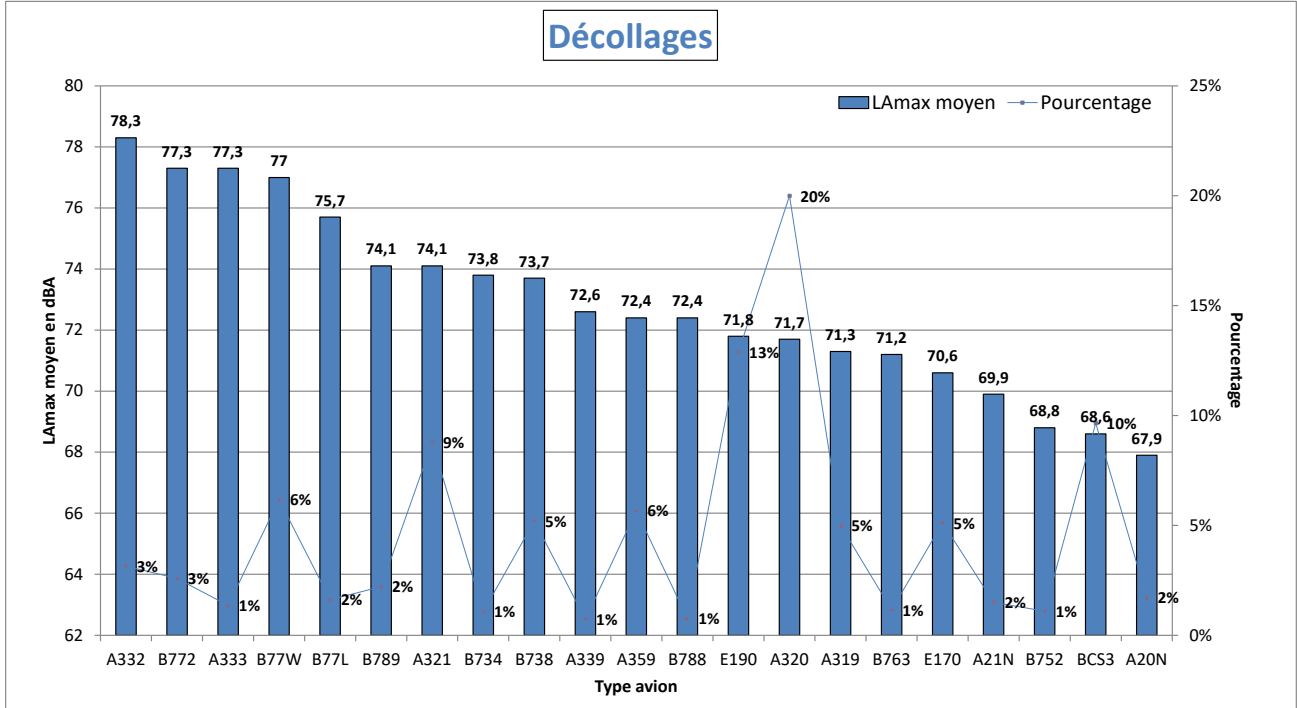
* Wake Turbulence Category (H = Heavy, M = Medium, L = Light)

** Nombre d'événements mesurés et corrélés aux survols

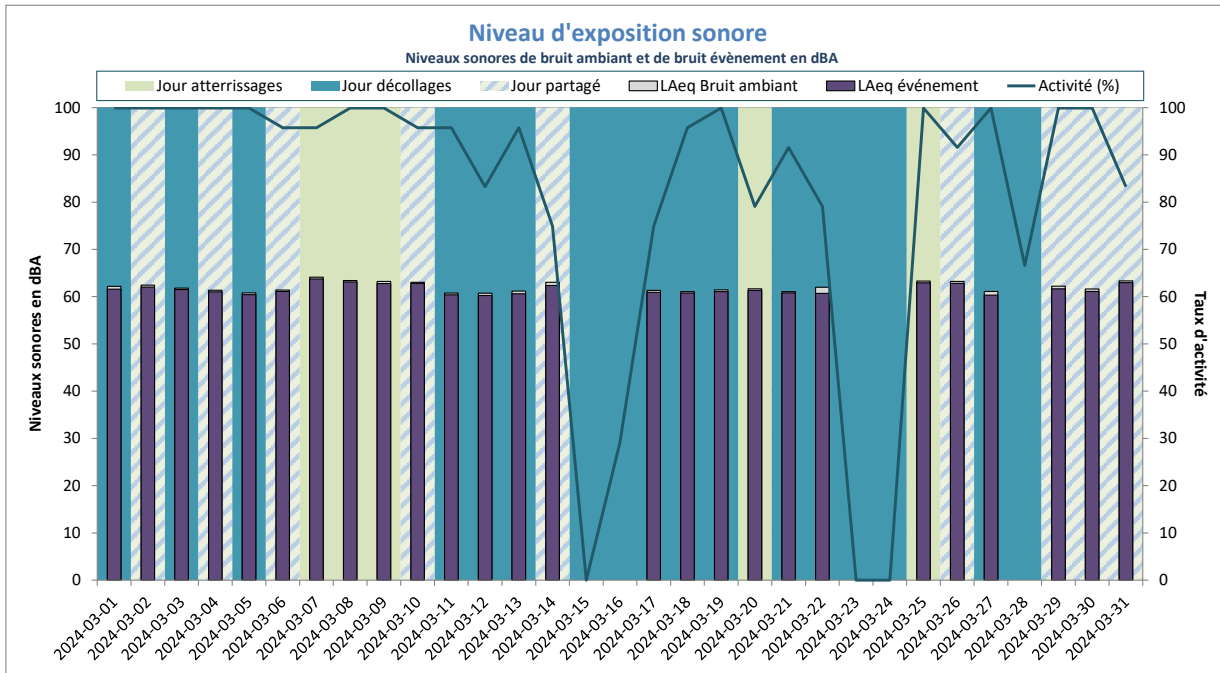
Répartition par type avion - Mars 2024

Gonesse W4

Niveaux sonores LAmax moyens par type avion corrélés aux survols de l'aéroport de CDG
(20 mouvements mesurés au minimum par catégorie)

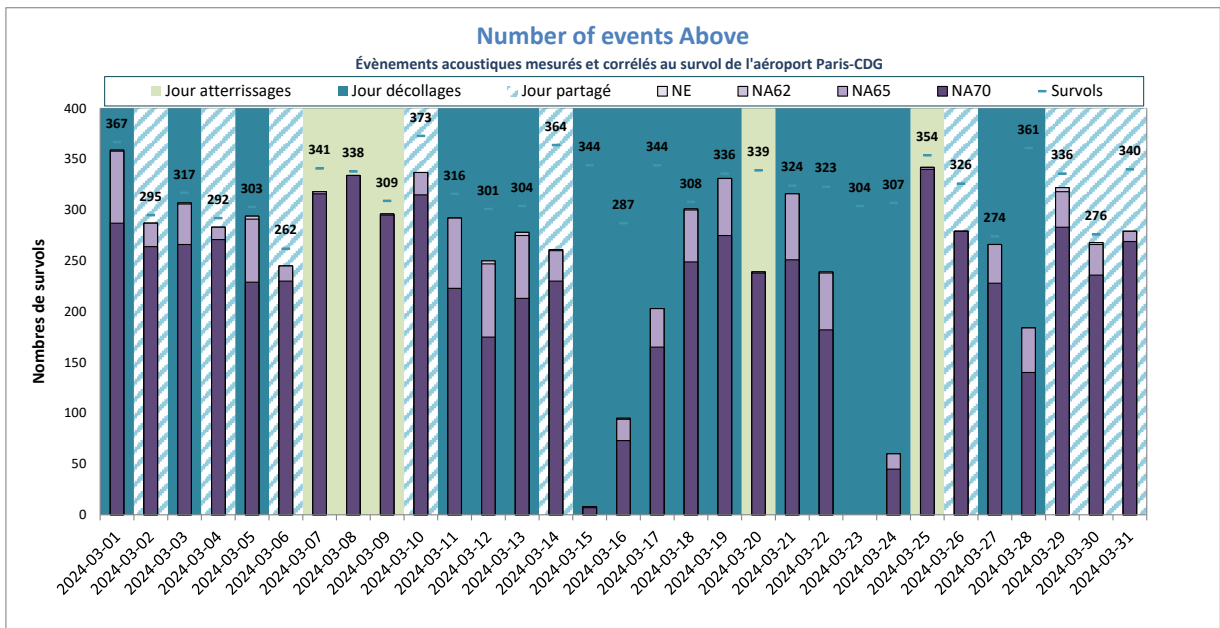


NIVEAU D'EXPOSITION SONORE et NUMBER ABOVE - Gonesse W4 - Mars 2024



LAeq Bruit Ambiant : 56dBA
LAeq Bruit événement : 55dBA

Activité (%) = taux de mesures valides



NE moyen : 254
NA62 moyen : 254
NA65 moyen : 253
NA70 moyen : 223
Nb survols : 321

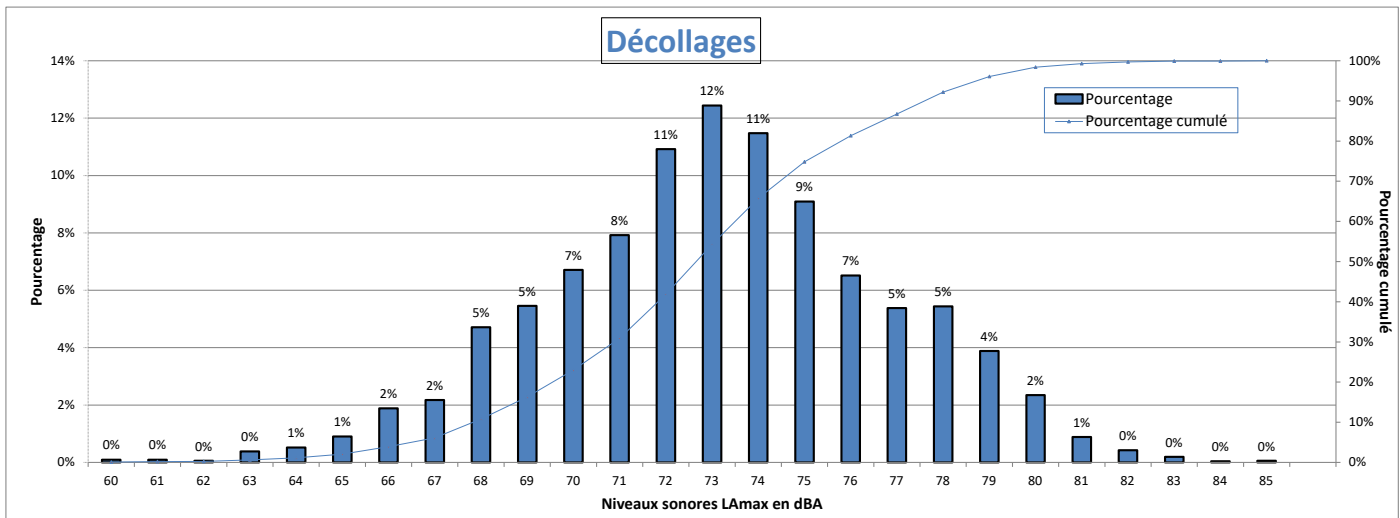
NE = Nombre d'événements mesurés et corrélés

Goussainville

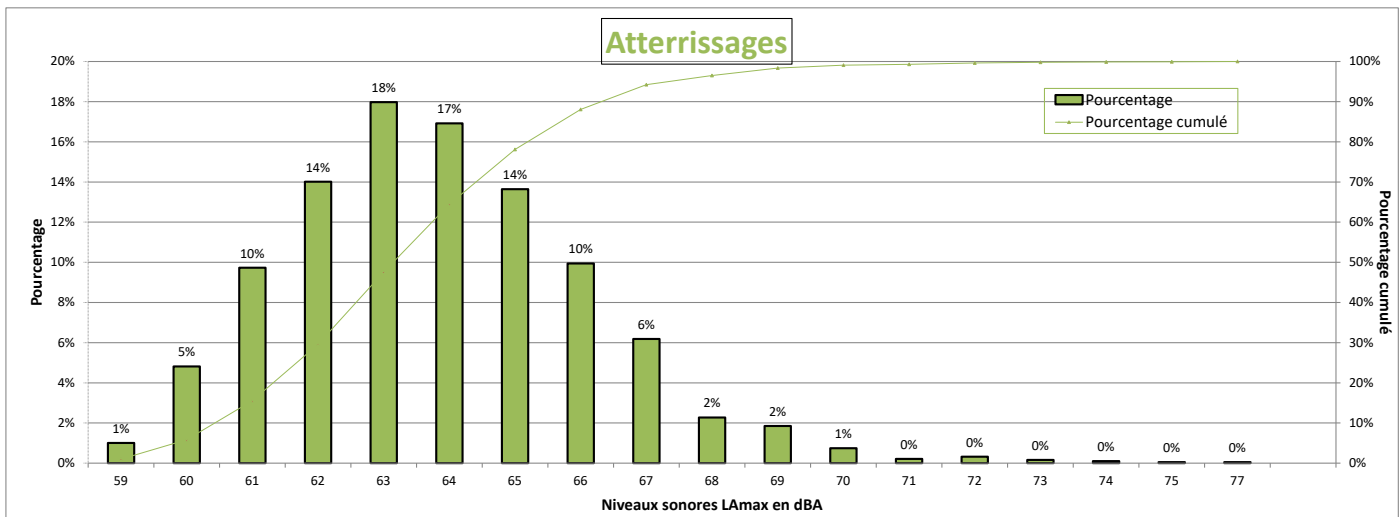


DISTRIBUTION STATISTIQUE - Goussainville - Mars 2024

Distribution des niveaux sonores LMax corrélés aux survols de l'aéroport Paris - CDG



Nombre d'évènements mesurés : 5202
 Moyenne arithmétique : 73,1 dBA
 Moyenne énergétique : 74,6 dBA



Nombre d'évènements mesurés : 1891
 Moyenne arithmétique : 63,8 dBA
 Moyenne énergétique : 64,5 dBA

Répartition par type avion - Atterrissages - Mars 2024

Goussainville

| Présentation des principaux types avions et de leur répartition dans la flotte, corrélés aux survols de l'aéroport Paris-CDG | | | | | |
|--|-----------------|------|--------------------|-----------|-------------|
| Avion | Type avion OACI | WTC* | LAmox moyen en dBA | Nombre ** | Répartition |
| AIRBUS A320 | A320 | M | 63,2 | 453 | 24% |
| BOEING 777-300 (ER) | B77W | H | 66,3 | 153 | 8% |
| BOEING 737-800 | B738 | M | 63,9 | 150 | 8% |
| BOMBARDIER BD-500 Cseries CS300 | BCS3 | M | 61,5 | 138 | 7% |
| AIRBUS A321 | A321 | M | 63,3 | 122 | 6% |
| AIRBUS A319 | A319 | M | 62,8 | 92 | 5% |
| AIRBUS A320neo | A20N | M | 61,6 | 89 | 5% |
| AIRBUS A350-900 | A359 | H | 63,7 | 67 | 4% |
| BOEING 777-200 (LR) | B77L | H | 66,3 | 58 | 3% |
| BOEING 777-200 | B772 | H | 65,6 | 56 | 3% |
| AIRBUS A330-300 | A333 | H | 66,1 | 53 | 3% |
| BOEING 787-9 Dreamliner | B789 | H | 63,6 | 51 | 3% |
| EMBRAER 190/195 | E190 | M | 63,1 | 49 | 3% |
| BOEING 767-300 | B763 | H | 65,9 | 46 | 2% |
| AIRBUS A321neo | A21N | M | 62,2 | 42 | 2% |
| BOEING 737-400 | B734 | M | 65,2 | 39 | 2% |
| AIRBUS A330-200 | A332 | H | 66 | 34 | 2% |
| BOEING 757-200 | B752 | M | 62,2 | 31 | 2% |
| AIRBUS A380-800 | A388 | H | 65,9 | 26 | 1% |
| BOEING 737 MAX 8 | B38M | M | 62,8 | 22 | 1% |

* Wake Turbulence Category (H = Heavy, M = Medium, L = Light)

** Nombre d'événements mesurés et corrélés aux survols

Répartition par type avion - Décollage - Mars 2024

Goussainville

| Présentation des principaux types avions et de leur répartition dans la flotte, corrélés aux survols de l'aéroport Paris-CDG | | | | | |
|--|-----------------|------|-------------------|-----------|-------------|
| Avion | Type avion OACI | WTC* | LAmx moyen en dBA | Nombre ** | Répartition |
| AIRBUS A320 | A320 | M | 72,3 | 1169 | 22% |
| BOMBARDIER BD-500 Cseries CS300 | BCS3 | M | 68,7 | 483 | 9% |
| BOEING 737-800 | B738 | M | 74,7 | 420 | 8% |
| BOEING 777-300 (ER) | B77W | H | 77,5 | 408 | 8% |
| AIRBUS A319 | A319 | M | 71,7 | 325 | 6% |
| AIRBUS A321 | A321 | M | 74,3 | 277 | 5% |
| AIRBUS A320neo | A20N | M | 67,3 | 249 | 5% |
| AIRBUS A350-900 | A359 | H | 73,2 | 178 | 3% |
| EMBRAER 190/195 | E190 | M | 72,8 | 166 | 3% |
| BOEING 787-9 Dreamliner | B789 | H | 74,4 | 159 | 3% |
| AIRBUS A321neo | A21N | M | 69,9 | 143 | 3% |
| BOEING 777-200 | B772 | H | 77,2 | 137 | 3% |
| BOEING 777-200 (LR) | B77L | H | 75,9 | 135 | 3% |
| AIRBUS A330-300 | A333 | H | 78,8 | 127 | 2% |
| BOEING 737-400 | B734 | M | 75,7 | 119 | 2% |
| BOEING 767-300 | B763 | H | 75,9 | 105 | 2% |
| BOEING 757-200 | B752 | M | 69,1 | 72 | 1% |
| AIRBUS A380-800 | A388 | H | 78,9 | 67 | 1% |
| AIRBUS A330-200 | A332 | H | 77,4 | 66 | 1% |
| BOEING 737 MAX 8 | B38M | M | 70,4 | 49 | 1% |
| BOEING 787-800 | B788 | H | 73,8 | 44 | 1% |
| A330-900neo | A339 | H | 73,5 | 38 | 1% |
| EMBRAER 170/175 | E170 | M | 71,2 | 34 | 1% |
| EMBRAER 190/200 | E195 | M | 75,5 | 24 | 0% |
| ATR-72-600 | AT76 | M | 64,7 | 23 | 0% |

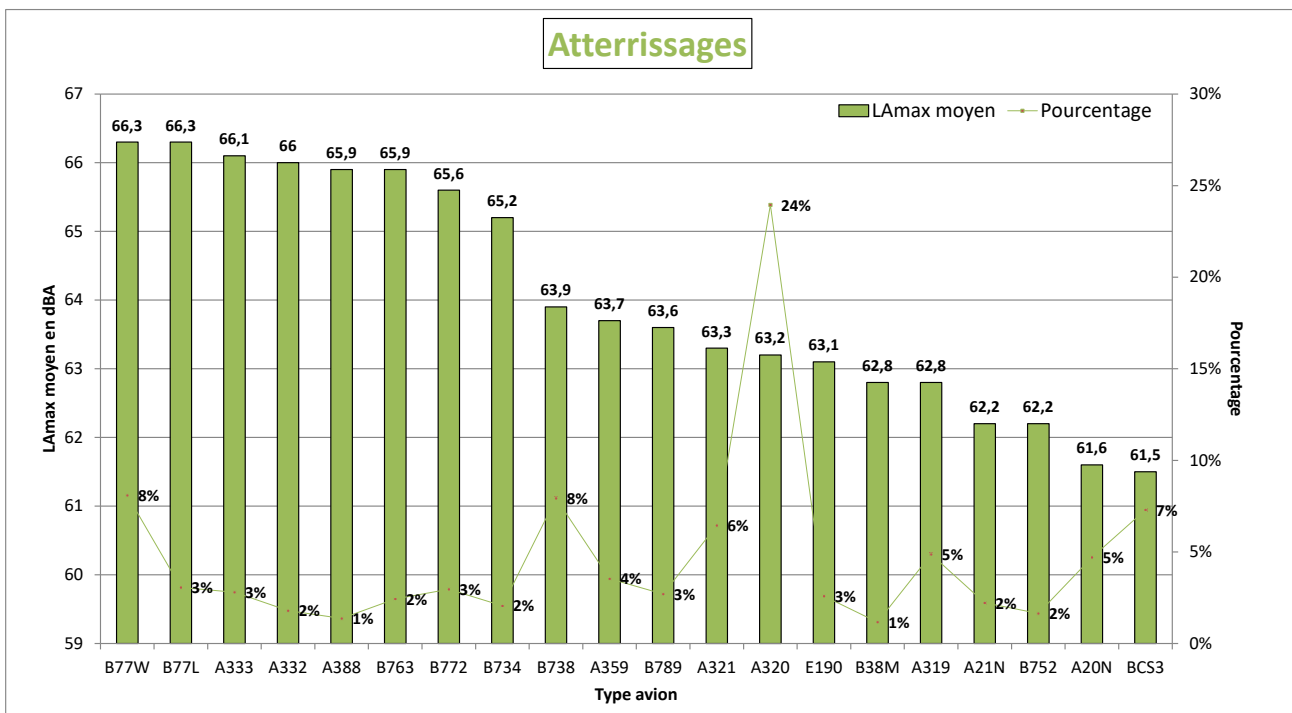
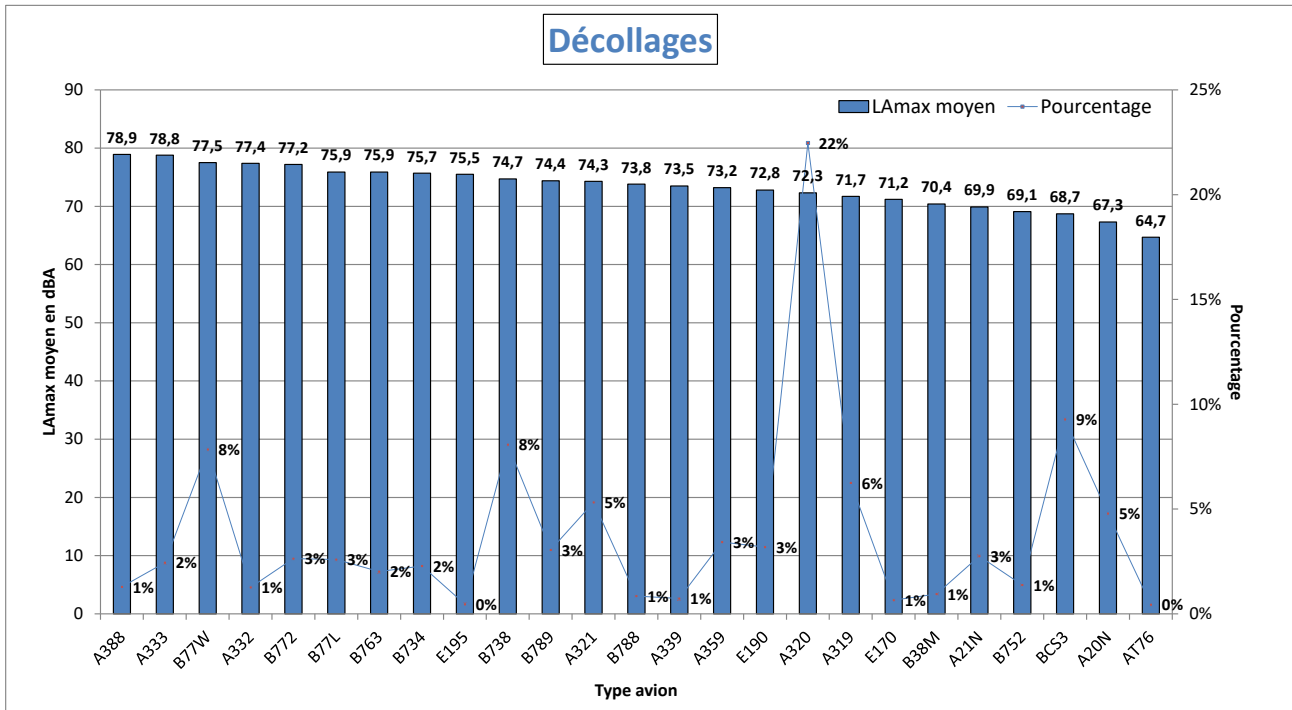
* Wake Turbulence Category (H = Heavy, M = Medium, L = Light)

** Nombre d'événements mesurés et corrélés aux survols

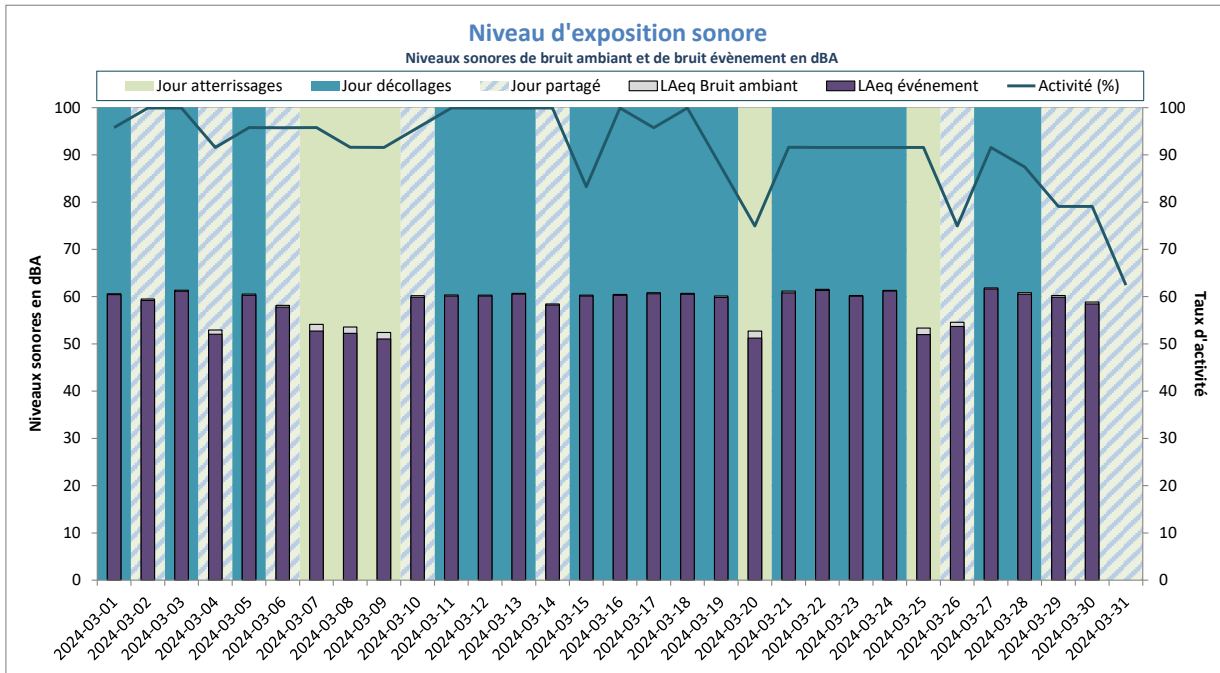
Répartition par type avion - Mars 2024

Goussainville

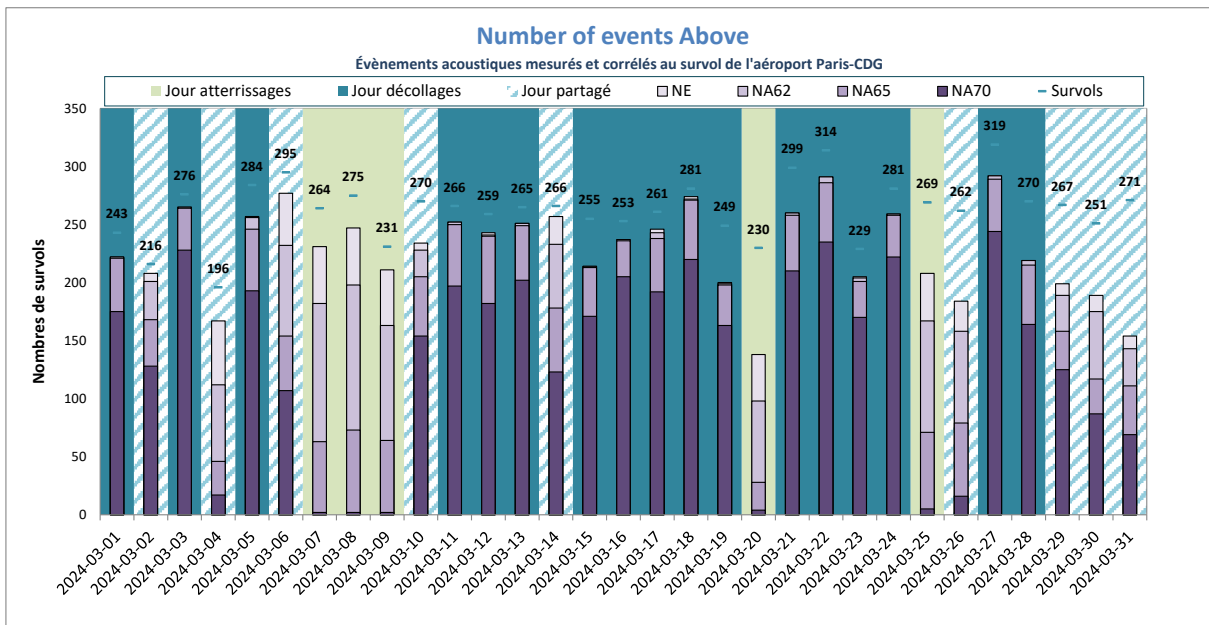
Niveaux sonores LAmax moyens par type avion corrélés aux survols de l'aéroport de CDG
(20 mouvements mesurés au minimum par catégorie)



NIVEAU D'EXPOSITION SONORE et NUMBER ABOVE - Goussainville - Mars 2024



Activité (%) = taux de mesures valides



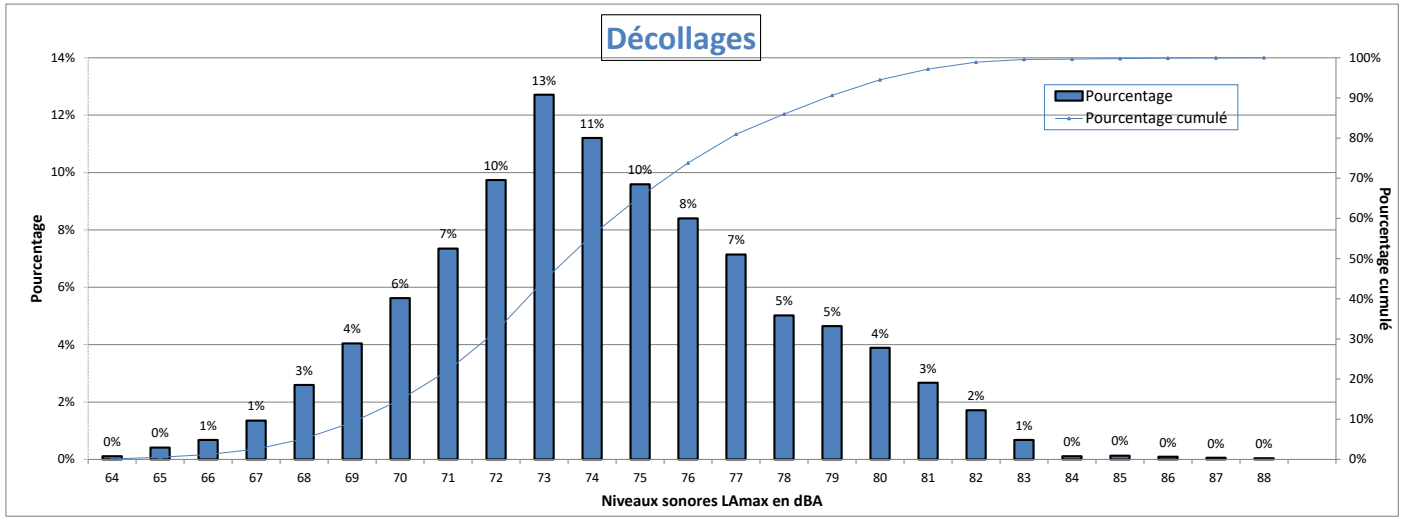
NE = Nombre d'événements mesurés et corrélés

Goussainville W1

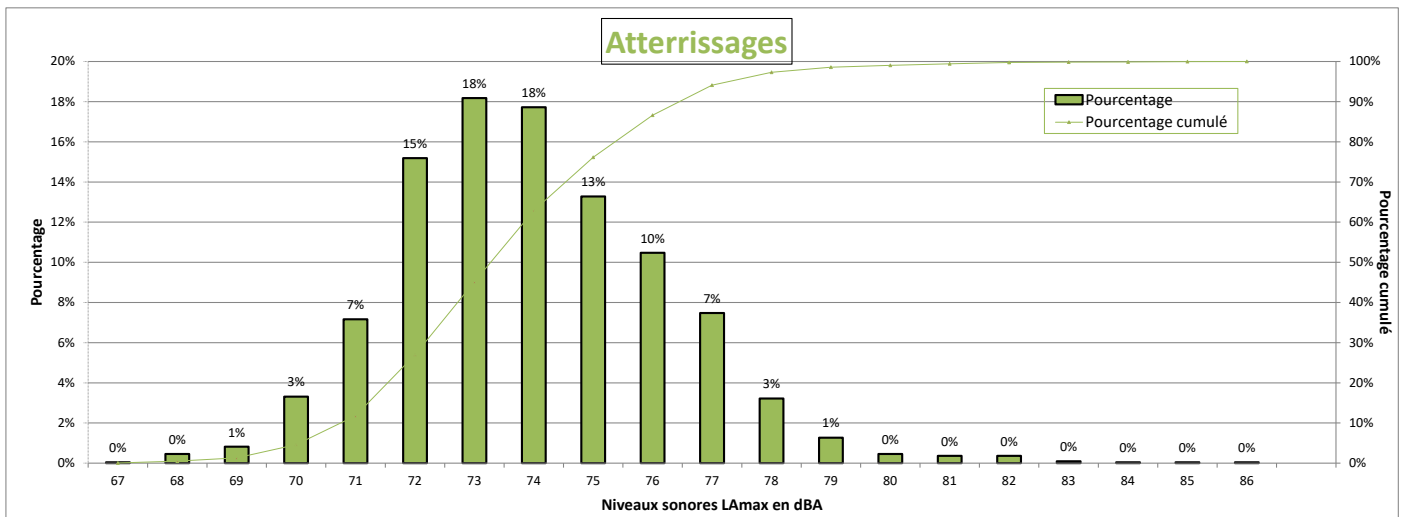


DISTRIBUTION STATISTIQUE - Goussainville W1 - Mars 2024

Distribution des niveaux sonores LMax corrélés aux survols de l'aéroport Paris - CDG



Nombre d'évènements mesurés : 5319
 Moyenne arithmétique : 74,2 dBA
 Moyenne énergétique : 75,8 dBA



Nombre d'évènements mesurés : 2206
 Moyenne arithmétique : 73,9 dBA
 Moyenne énergétique : 74,6 dBA

Répartition par type avion - Atterrissages - Mars 2024

Goussainville W1

| Présentation des principaux types avions et de leur répartition dans la flotte, corrélés aux survols de l'aéroport Paris-CDG | | | | | |
|--|-----------------|------|--------------------|-----------|-------------|
| Avion | Type avion OACI | WTC* | LAmox moyen en dBA | Nombre ** | Répartition |
| AIRBUS A320 | A320 | M | 73,4 | 508 | 23% |
| BOMBARDIER BD-500 Cseries CS300 | BCS3 | M | 71,8 | 187 | 8% |
| BOEING 777-300 (ER) | B77W | H | 76,6 | 177 | 8% |
| BOEING 737-300 | B738 | M | 74,1 | 169 | 8% |
| AIRBUS A321 | A321 | M | 73,6 | 134 | 6% |
| AIRBUS A320neo | A20N | M | 72 | 114 | 5% |
| AIRBUS A319 | A319 | M | 72,7 | 109 | 5% |
| AIRBUS A350-900 | A359 | H | 73,4 | 74 | 3% |
| BOEING 777-200 (LR) | B77L | H | 76,3 | 65 | 3% |
| AIRBUS A330-300 | A333 | H | 77,2 | 62 | 3% |
| BOEING 777-200 | B772 | H | 76 | 61 | 3% |
| BOEING 787-9 Dreamliner | B789 | H | 74,5 | 61 | 3% |
| EMBRAER 190/195 | E190 | M | 72,8 | 58 | 3% |
| AIRBUS A321neo | A21N | M | 72,2 | 52 | 2% |
| BOEING 767-300 | B763 | H | 75,4 | 51 | 2% |
| BOEING 737-400 | B734 | M | 76,8 | 41 | 2% |
| AIRBUS A330-200 | A332 | H | 76,3 | 37 | 2% |
| BOEING 757-200 | B752 | M | 72,5 | 36 | 2% |
| AIRBUS A380-800 | A388 | H | 75,7 | 32 | 1% |
| BOEING 737 MAX 8 | B38M | M | 73,2 | 23 | 1% |
| EMBRAER 170/175 | E170 | M | 71,6 | 20 | 1% |

* Wake Turbulence Category (H = Heavy, M = Medium, L = Light)

** Nombre d'événements mesurés et corrélés aux survols

Répartition par type avion - Décollage - Mars 2024

Goussainville W1

| Présentation des principaux types avions et de leur répartition dans la flotte, corrélés aux survols de l'aéroport Paris-CDG | | | | | |
|--|-----------------|------|-------------------|-----------|-------------|
| Avion | Type avion OACI | WTC* | LAmx moyen en dBA | Nombre ** | Répartition |
| AIRBUS A320 | A320 | M | 73,1 | 1202 | 23% |
| BOMBARDIER BD-500 Cseries CS300 | BCS3 | M | 69,7 | 496 | 9% |
| BOEING 737-800 | B738 | M | 75,6 | 427 | 8% |
| BOEING 777-300 (ER) | B77W | H | 78,8 | 407 | 8% |
| AIRBUS A319 | A319 | M | 72,4 | 335 | 6% |
| AIRBUS A321 | A321 | M | 75,5 | 278 | 5% |
| AIRBUS A320neo | A20N | M | 69,7 | 250 | 5% |
| AIRBUS A350-900 | A359 | H | 74,2 | 185 | 3% |
| EMBRAER 190/195 | E190 | M | 72,9 | 185 | 3% |
| BOEING 787-9 Dreamliner | B789 | H | 75,7 | 160 | 3% |
| BOEING 777-200 (LR) | B77L | H | 77 | 147 | 3% |
| AIRBUS A330-300 | A333 | H | 79,7 | 133 | 3% |
| AIRBUS A321neo | A21N | M | 72,9 | 133 | 3% |
| BOEING 737-400 | B734 | M | 76,2 | 130 | 2% |
| BOEING 777-200 | B772 | H | 79 | 128 | 2% |
| BOEING 767-300 | B763 | H | 76,5 | 107 | 2% |
| BOEING 757-200 | B752 | M | 70,3 | 79 | 1% |
| AIRBUS A380-800 | A388 | H | 81,5 | 68 | 1% |
| AIRBUS A330-200 | A332 | H | 78,2 | 63 | 1% |
| BOEING 737 MAX 8 | B38M | M | 72,5 | 50 | 1% |
| BOEING 787-800 | B788 | H | 75,1 | 45 | 1% |
| EMBRAER 170/175 | E170 | M | 71,5 | 41 | 1% |
| A330-900neo | A339 | H | 75 | 39 | 1% |
| EMBRAER 190/200 | E195 | M | 75,1 | 24 | 0% |
| ATR-72-600 | AT76 | M | 68,5 | 22 | 0% |
| BOEING 737-900 | B739 | M | 76,7 | 20 | 0% |

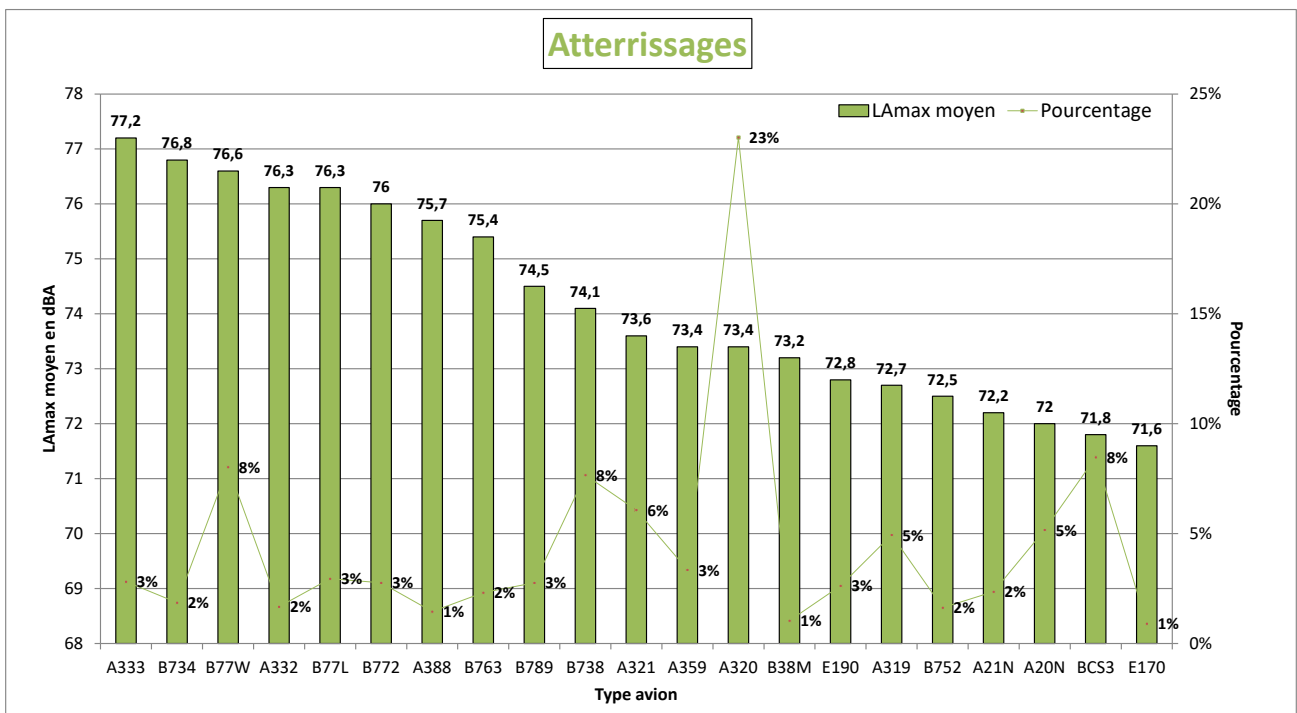
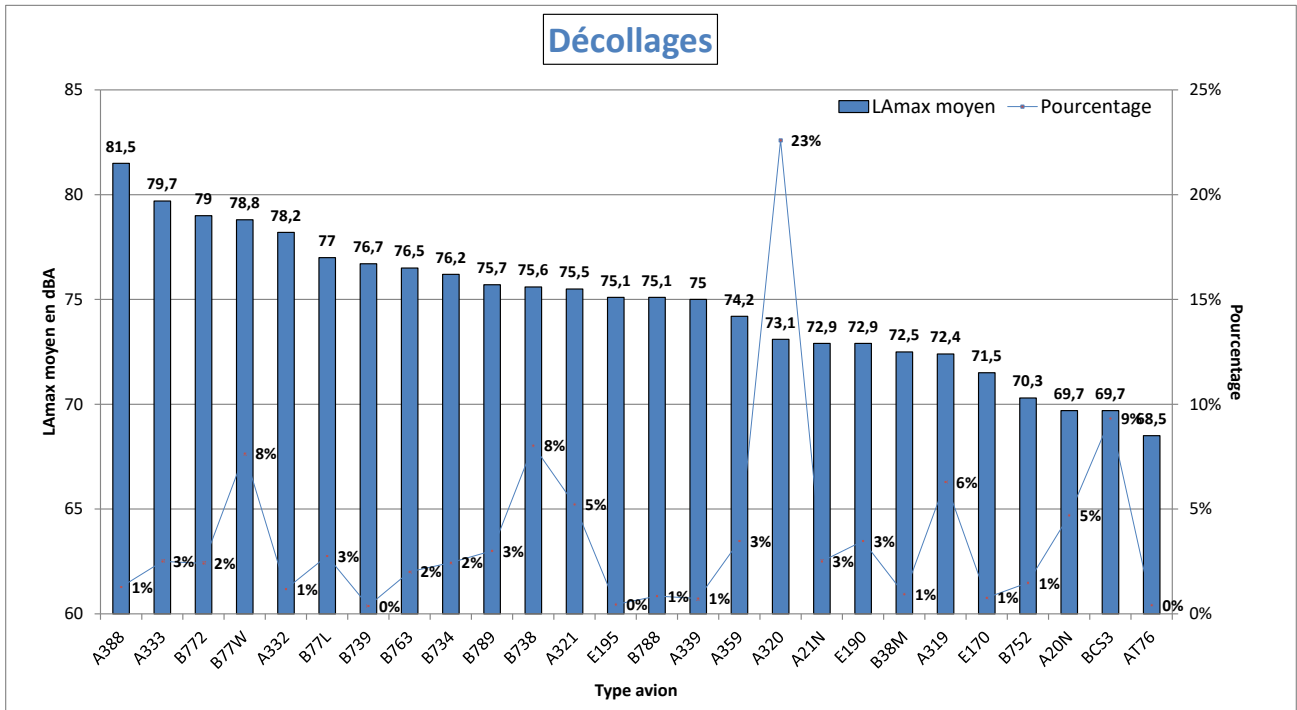
* Wake Turbulence Category (H = Heavy, M = Medium, L = Light)

** Nombre d'événements mesurés et corrélés aux survols

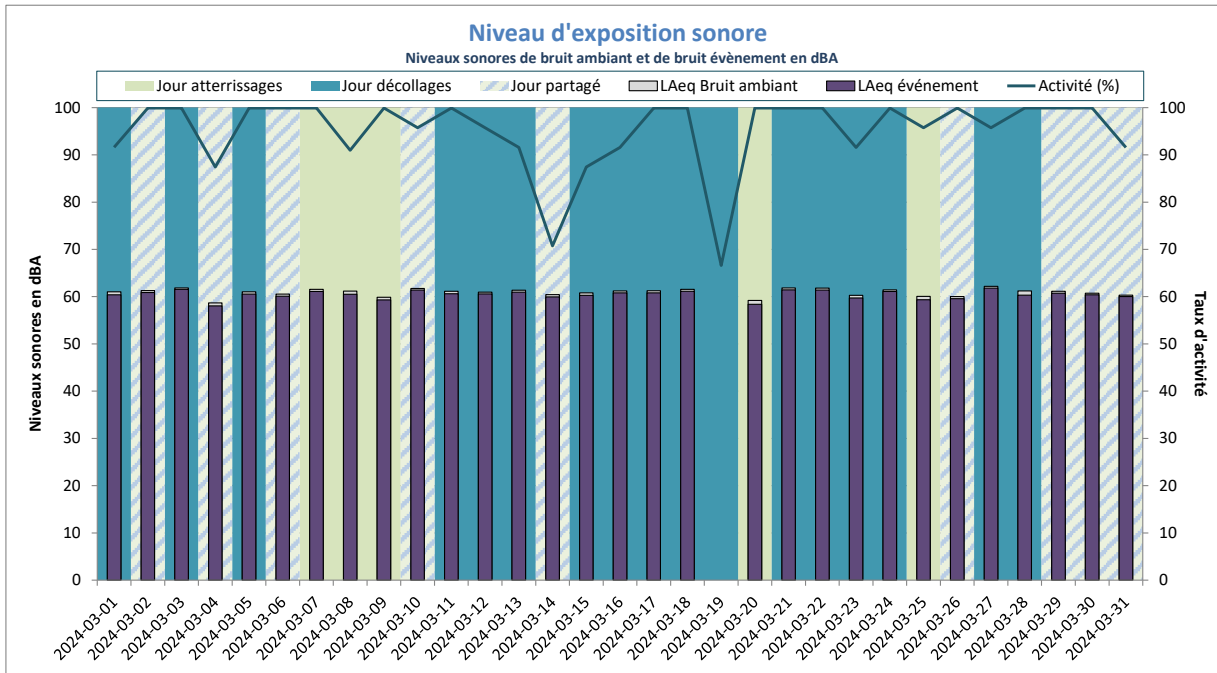
Répartition par type avion - Mars 2024

Goussainville W1

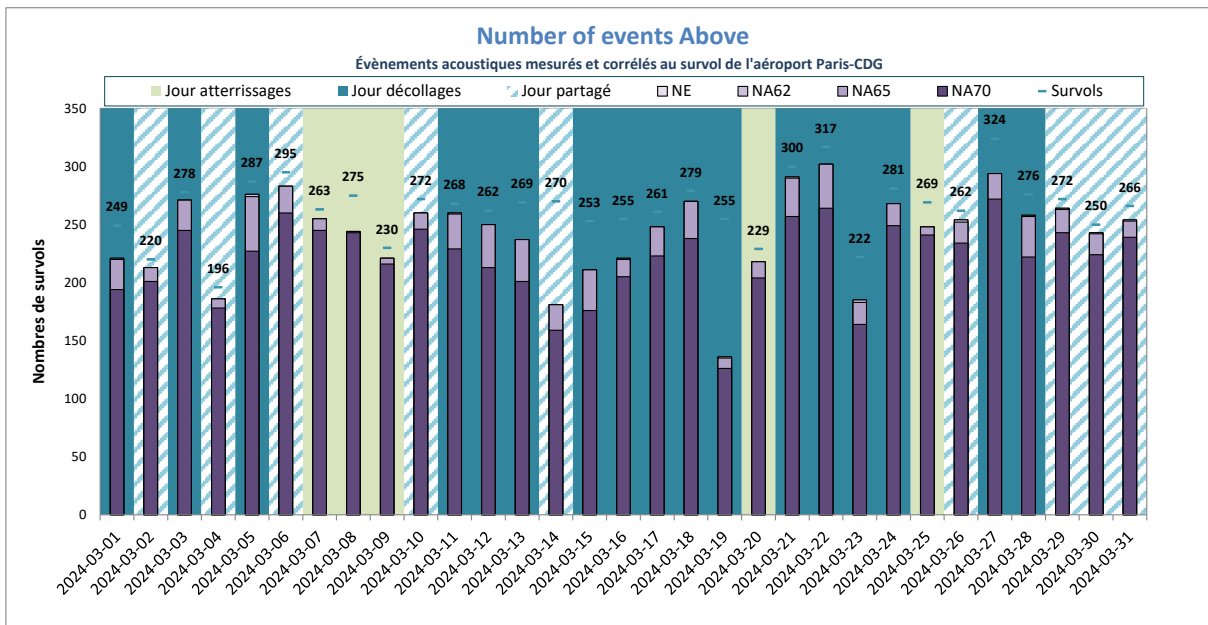
Niveaux sonores LAmax moyens par type avion corrélés aux survols de l'aéroport de CDG
(20 mouvements mesurés au minimum par catégorie)



NIVEAU D'EXPOSITION SONORE et NUMBER ABOVE - Goussainville W1 - Mars 2024



Activité (%) = taux de mesures valides



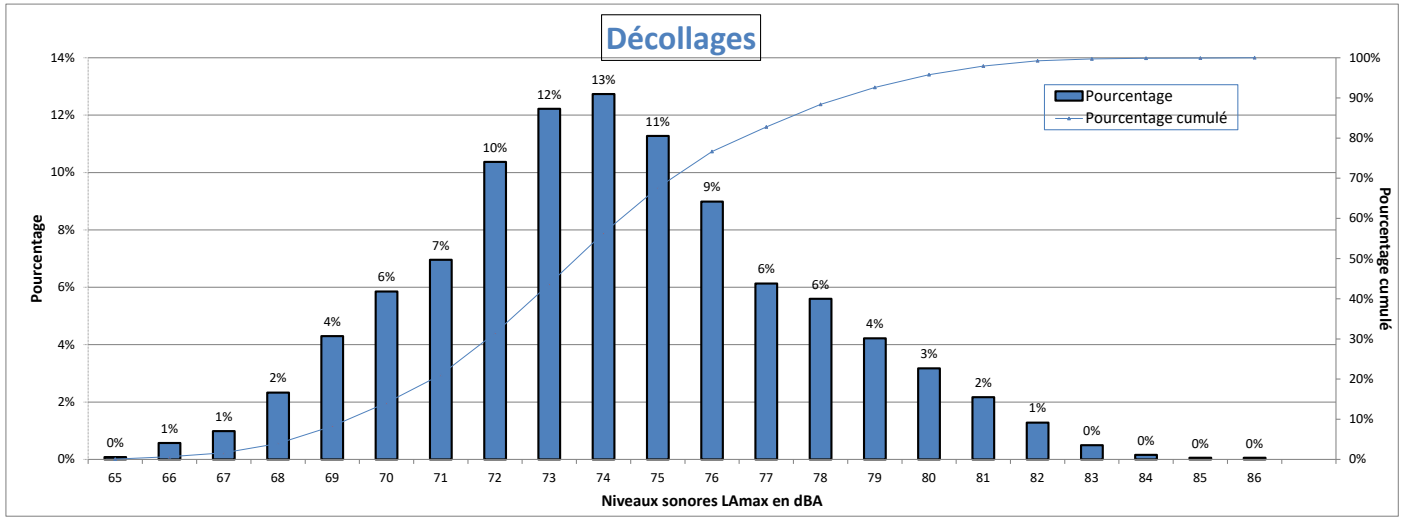
NE = Nombre d'événements mesurés et corrélés

Goussainville W3

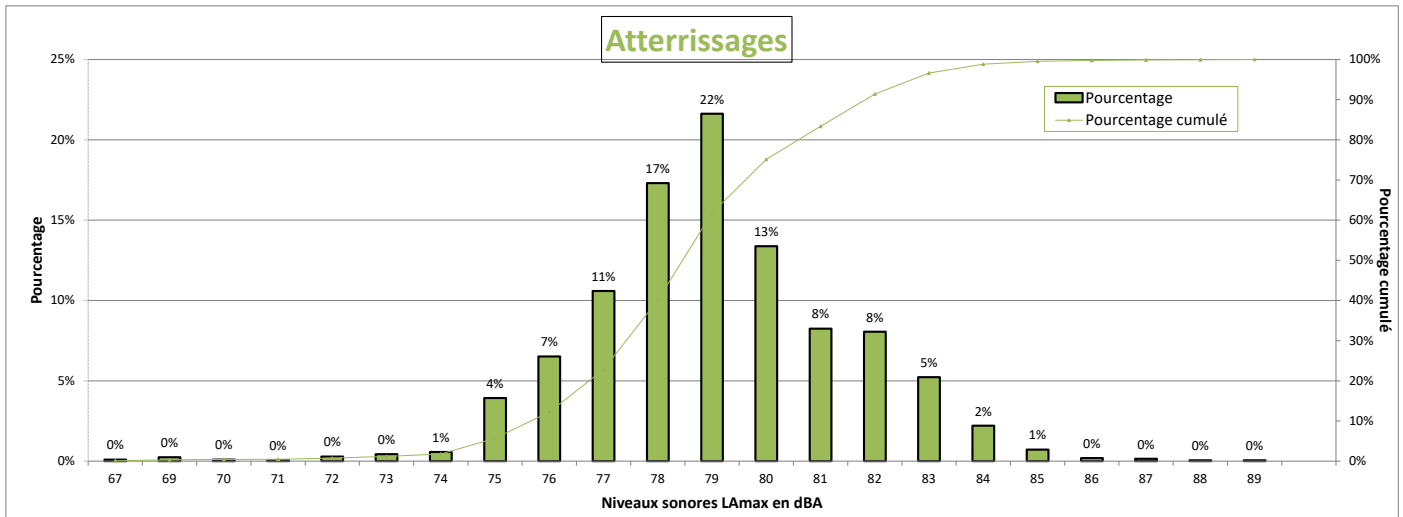


DISTRIBUTION STATISTIQUE - Goussainville W3 - Mars 2024

Distribution des niveaux sonores LMax corrélés aux survols de l'aéroport Paris - CDG



Nombre d'évènements mesurés : 5073
 Moyenne arithmétique : 74,1 dBA
 Moyenne énergétique : 75,5 dBA



Nombre d'évènements mesurés : 2086
 Moyenne arithmétique : 79 dBA
 Moyenne énergétique : 79,7 dBA

Répartition par type avion - Atterrissages - Mars 2024

Goussainville W3

| Présentation des principaux types avions et de leur répartition dans la flotte, corrélés aux survols de l'aéroport Paris-CDG | | | | | |
|--|-----------------|------|--------------------|-----------|-------------|
| Avion | Type avion OACI | WTC* | LAmox moyen en dBA | Nombre ** | Répartition |
| AIRBUS A320 | A320 | M | 78,6 | 489 | 23% |
| BOEING 777-300 (ER) | B77W | H | 82,5 | 175 | 8% |
| BOMBARDIER BD-500 Cseries CS300 | BCS3 | M | 75,8 | 161 | 8% |
| BOEING 737-300 | B738 | M | 78,9 | 158 | 8% |
| AIRBUS A321 | A321 | M | 78,9 | 132 | 6% |
| AIRBUS A320neo | A20N | M | 77 | 103 | 5% |
| AIRBUS A319 | A319 | M | 78 | 101 | 5% |
| AIRBUS A350-900 | A359 | H | 78,8 | 71 | 3% |
| BOEING 777-200 | B772 | H | 81,4 | 59 | 3% |
| AIRBUS A330-300 | A333 | H | 81,1 | 59 | 3% |
| BOEING 777-200 (LR) | B77L | H | 81,7 | 58 | 3% |
| BOEING 787-9 Dreamliner | B789 | H | 78,9 | 58 | 3% |
| BOEING 767-300 | B763 | H | 81 | 53 | 3% |
| EMBRAER 190/195 | E190 | M | 78,7 | 53 | 3% |
| AIRBUS A321neo | A21N | M | 77 | 50 | 2% |
| BOEING 737-400 | B734 | M | 81,5 | 43 | 2% |
| BOEING 757-200 | B752 | M | 77,5 | 37 | 2% |
| AIRBUS A330-200 | A332 | H | 80,3 | 35 | 2% |
| AIRBUS A380-800 | A388 | H | 81,3 | 30 | 1% |
| EMBRAER 170/175 | E170 | M | 76,3 | 20 | 1% |

* Wake Turbulence Category (H = Heavy, M = Medium, L = Light)

** Nombre d'événements mesurés et corrélés aux survols

Répartition par type avion - Décollage - Mars 2024

Goussainville W3

| Présentation des principaux types avions et de leur répartition dans la flotte, corrélés aux survols de l'aéroport Paris-CDG | | | | | |
|--|-----------------|------|--------------------|-----------|-------------|
| Avion | Type avion OACI | WTC* | LAmox moyen en dBA | Nombre ** | Répartition |
| AIRBUS A320 | A320 | M | 73,1 | 1142 | 23% |
| BOMBARDIER BD-500 Cseries CS300 | BCS3 | M | 69,5 | 448 | 9% |
| BOEING 737-800 | B738 | M | 75,3 | 414 | 8% |
| BOEING 777-300 (ER) | B77W | H | 78 | 395 | 8% |
| AIRBUS A319 | A319 | M | 72,8 | 328 | 6% |
| AIRBUS A321 | A321 | M | 75,5 | 262 | 5% |
| AIRBUS A320neo | A20N | M | 70,6 | 249 | 5% |
| AIRBUS A350-900 | A359 | H | 74,4 | 188 | 4% |
| EMBRAER 190/195 | E190 | M | 73,2 | 154 | 3% |
| BOEING 787-9 Dreamliner | B789 | H | 75,2 | 150 | 3% |
| BOEING 777-200 (LR) | B77L | H | 76,4 | 142 | 3% |
| AIRBUS A321neo | A21N | M | 72,7 | 135 | 3% |
| AIRBUS A330-300 | A333 | H | 79,7 | 131 | 3% |
| BOEING 777-200 | B772 | H | 79,9 | 128 | 3% |
| BOEING 737-400 | B734 | M | 75,4 | 118 | 2% |
| BOEING 767-300 | B763 | H | 76,3 | 102 | 2% |
| BOEING 757-200 | B752 | M | 70,7 | 70 | 1% |
| AIRBUS A380-800 | A388 | H | 79,3 | 60 | 1% |
| AIRBUS A330-200 | A332 | H | 78,5 | 58 | 1% |
| BOEING 737 MAX 8 | B38M | M | 72,2 | 56 | 1% |
| BOEING 787-300 | B788 | H | 74,4 | 46 | 1% |
| A330-900neo | A339 | H | 74,6 | 38 | 1% |
| EMBRAER 170/175 | E170 | M | 72 | 35 | 1% |
| EMBRAER 190/200 | E195 | M | 75,6 | 22 | 0% |

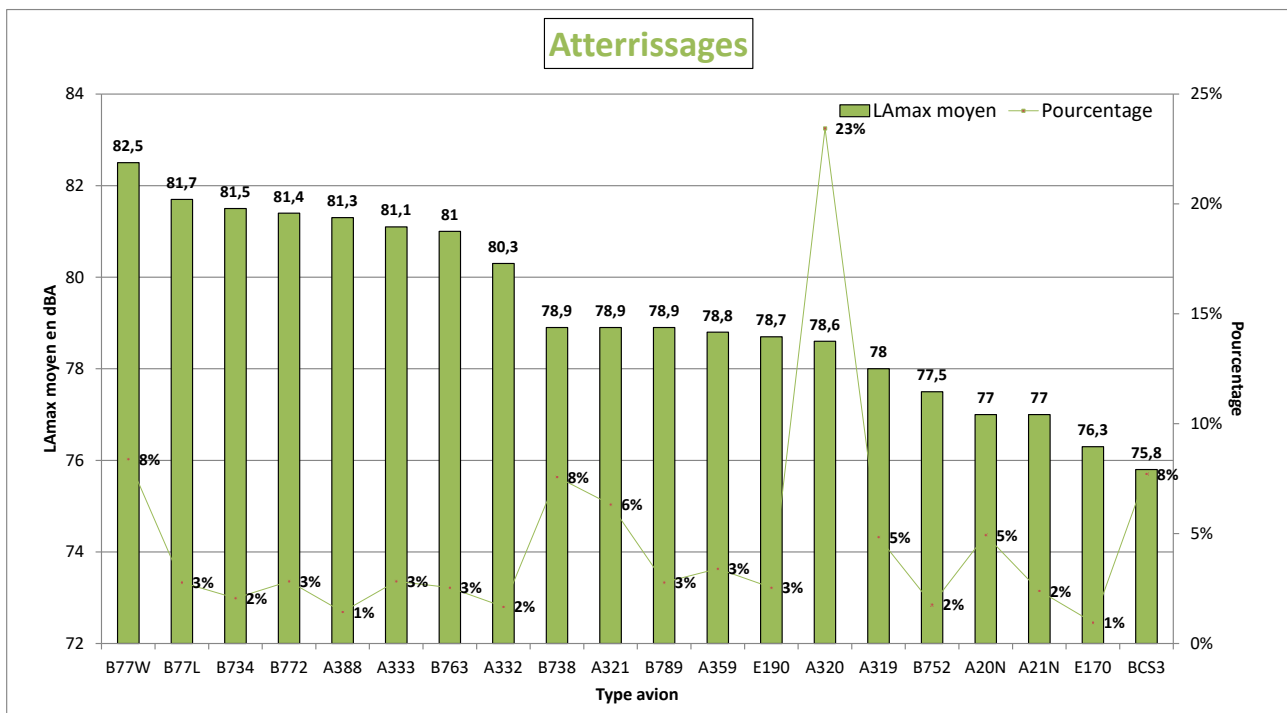
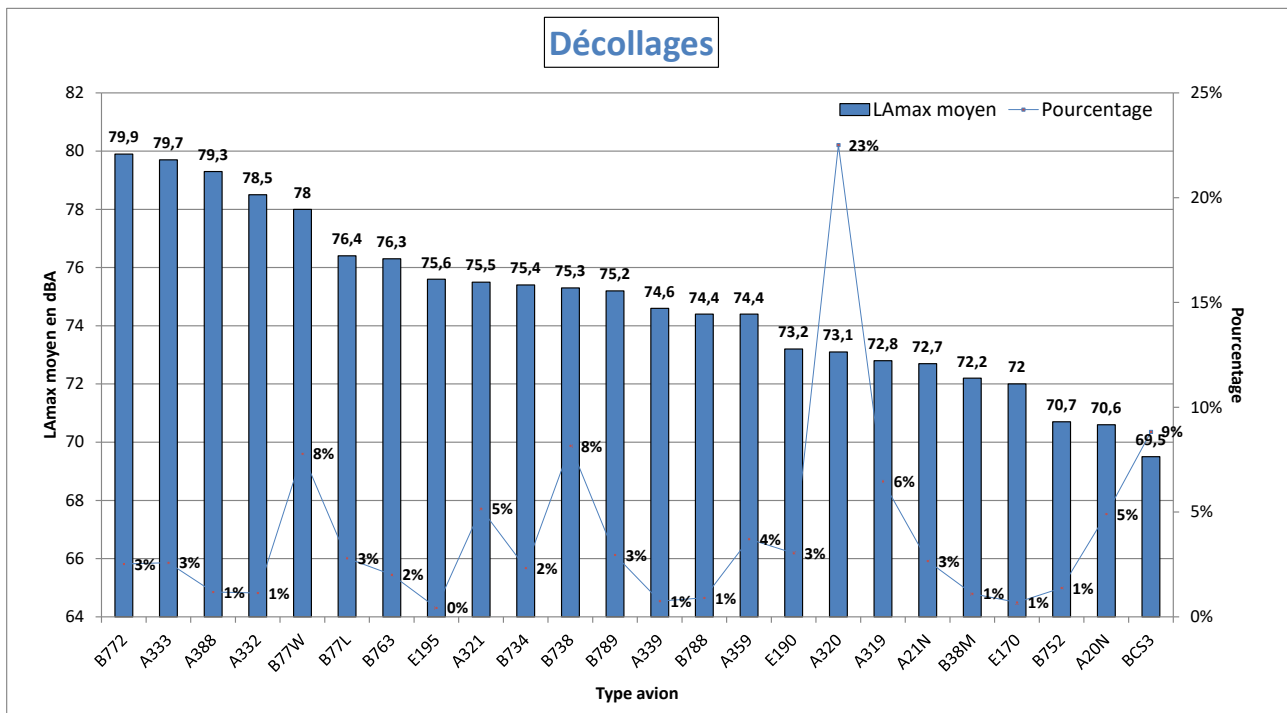
* Wake Turbulence Category (H = Heavy, M = Medium, L = Light)

** Nombre d'événements mesurés et corrélés aux survols

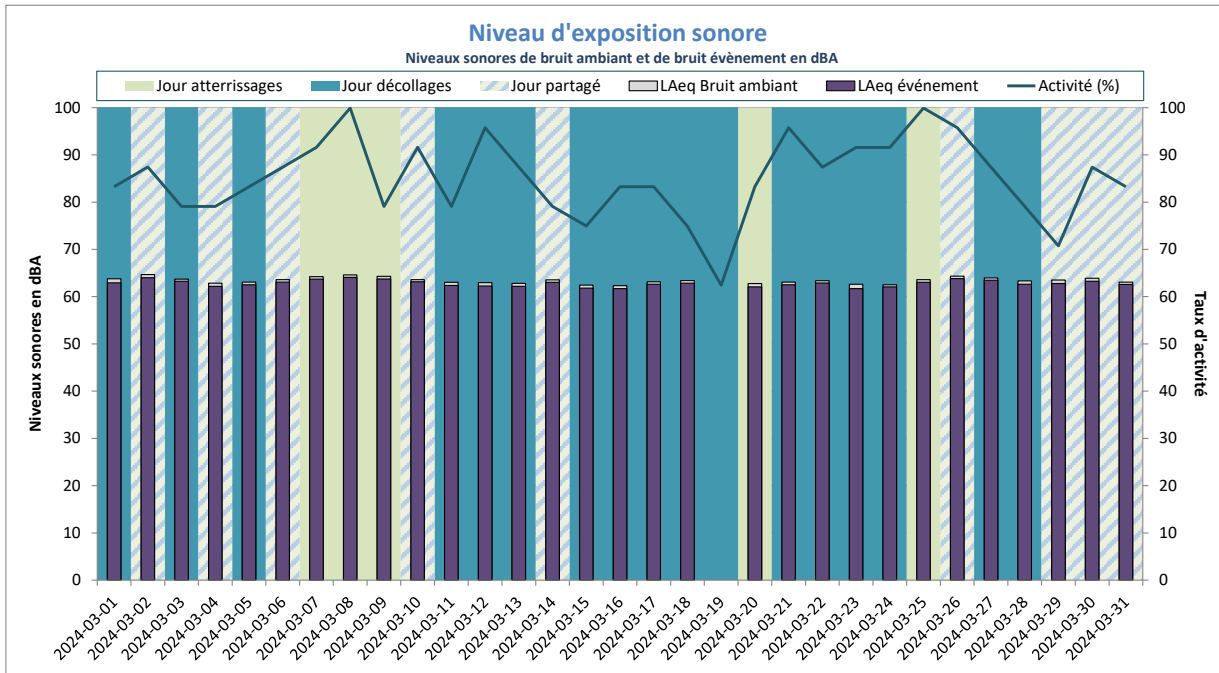
Répartition par type avion - Mars 2024

Goussainville W3

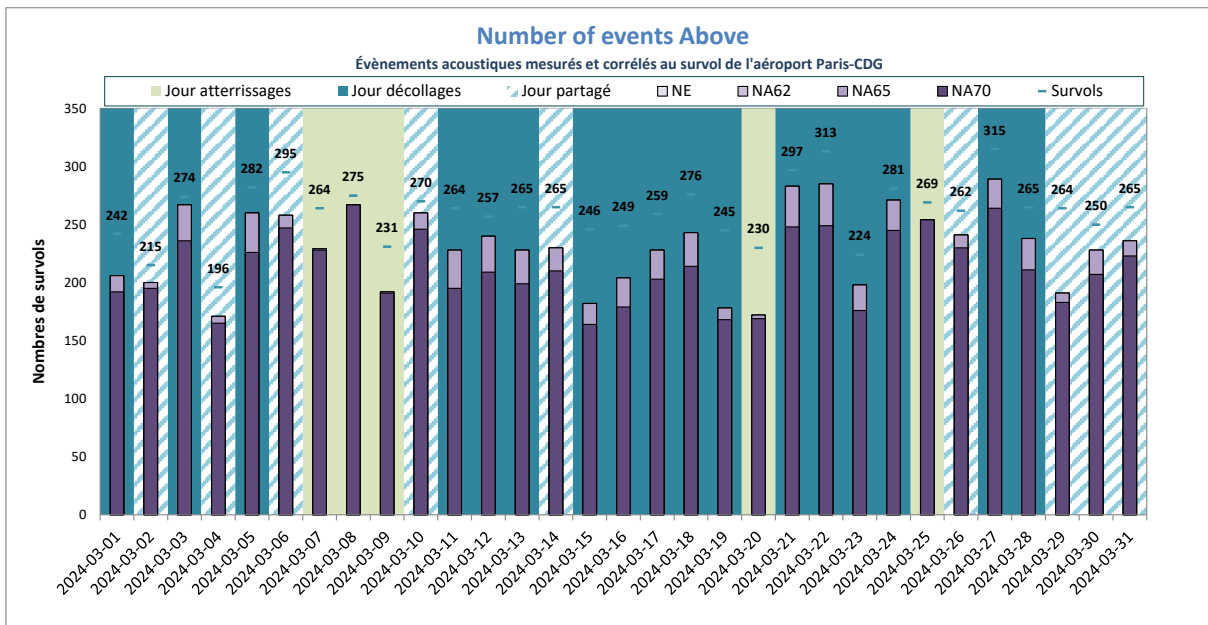
Niveaux sonores LAmax moyens par type avion corrélés aux survols de l'aéroport de CDG
(20 mouvements mesurés au minimum par catégorie)



NIVEAU D'EXPOSITION SONORE et NUMBER ABOVE - Goussainville W3 - Mars 2024



Activité (%) = taux de mesures valides



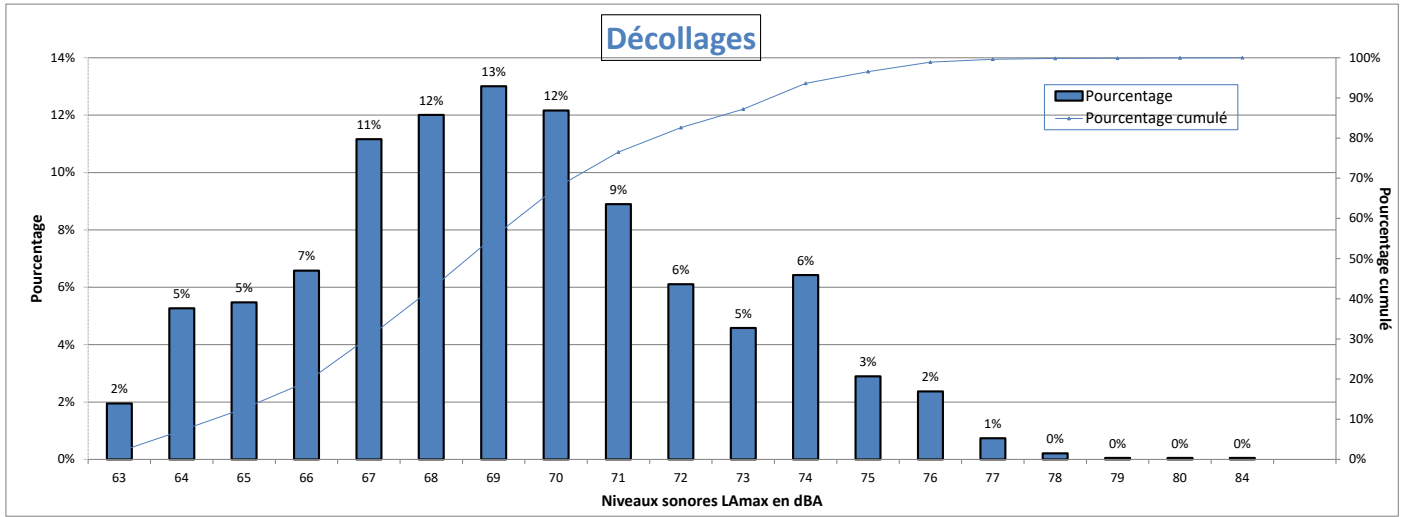
NE = Nombre d'événements mesurés et corrélés

Juilly-Saint-Mard

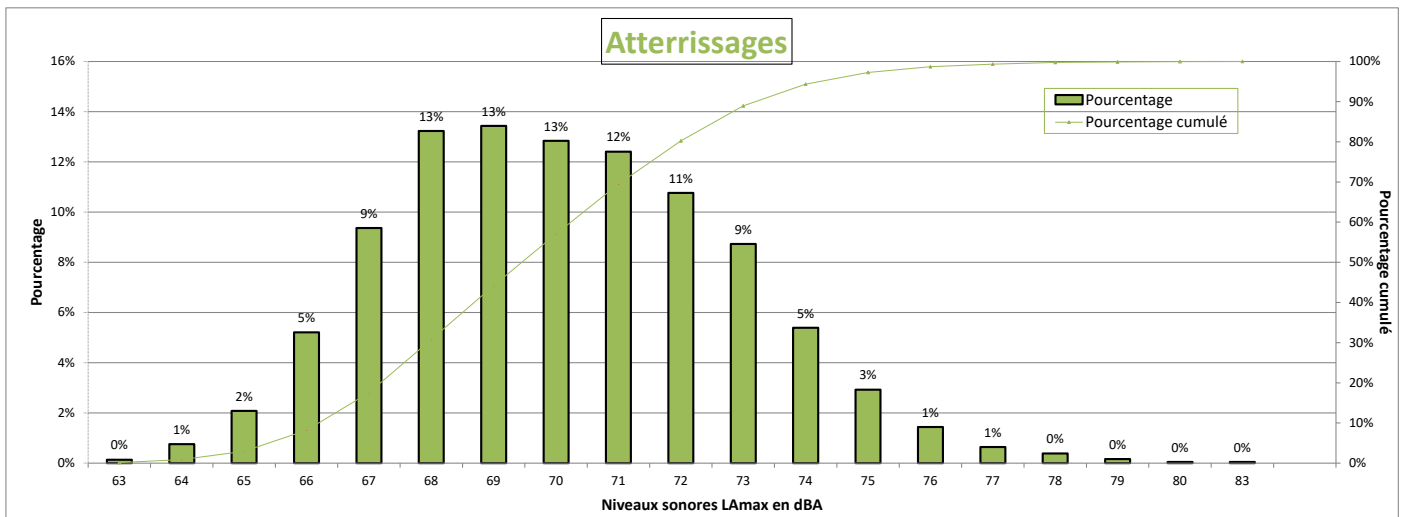


DISTRIBUTION STATISTIQUE - Juilly-Saint-Mard - Mars 2024

Distribution des niveaux sonores LMax corrélés aux survols de l'aéroport Paris - CDG



Nombre d'évènements mesurés : 1899
 Moyenne arithmétique : 69,2 dBA
 Moyenne énergétique : 70,5 dBA



Nombre d'évènements mesurés : 4376
 Moyenne arithmétique : 70,1 dBA
 Moyenne énergétique : 71 dBA

Répartition par type avion - Atterrissages - Mars 2024

Juilly-Saint-Mard

| Présentation des principaux types avions et de leur répartition dans la flotte, corrélés aux survols de l'aéroport Paris-CDG | | | | | |
|--|-----------------|------|--------------------|-----------|-------------|
| Avion | Type avion OACI | WTC* | LAmox moyen en dBA | Nombre ** | Répartition |
| AIRBUS A320 | A320 | M | 69 | 913 | 21% |
| BOEING 737-800 | B738 | M | 69,7 | 398 | 9% |
| BOEING 777-300 (ER) | B77W | H | 73 | 357 | 8% |
| BOMBARDIER BD-500 Cseries CS300 | BCS3 | M | 69,1 | 305 | 7% |
| AIRBUS A321 | A321 | M | 69,2 | 241 | 6% |
| AIRBUS A320neo | A20N | M | 68,3 | 222 | 5% |
| AIRBUS A319 | A319 | M | 68,6 | 182 | 4% |
| BOEING 737-400 | B734 | M | 71 | 144 | 3% |
| AIRBUS A350-900 | A359 | H | 71,2 | 140 | 3% |
| BOEING 787-9 Dreamliner | B789 | H | 70,8 | 128 | 3% |
| BOEING 777-200 (LR) | B77L | H | 71,5 | 127 | 3% |
| BOEING 767-300 | B763 | H | 70,7 | 124 | 3% |
| EMBRAER 190/195 | E190 | M | 68,9 | 119 | 3% |
| AIRBUS A330-300 | A333 | H | 73,7 | 117 | 3% |
| BOEING 777-200 | B772 | H | 71,8 | 115 | 3% |
| BOEING 757-200 | B752 | M | 68 | 105 | 2% |
| AIRBUS A321neo | A21N | M | 68,4 | 99 | 2% |
| AIRBUS A330-200 | A332 | H | 73,6 | 90 | 2% |
| AIRBUS A380-800 | A388 | H | 73,2 | 68 | 2% |
| BOEING 737 MAX 8 | B38M | M | 69,9 | 50 | 1% |
| A330-900neo | A339 | H | 73,1 | 36 | 1% |
| BOEING 787-800 | B788 | H | 71,1 | 35 | 1% |
| ATR-72-600 | AT76 | M | 66,5 | 31 | 1% |
| EMBRAER 170/175 | E170 | M | 67,3 | 27 | 1% |
| EMBRAER 190/200 | E195 | M | 69,3 | 26 | 1% |
| DE HAVILLAND DHC-8-400 | DH8D | M | 66,6 | 22 | 1% |
| #N/A | E290 | #N/A | 69,9 | 20 | 0% |

* Wake Turbulence Category (H = Heavy, M = Medium, L = Light)

** Nombre d'événements mesurés et corrélés aux survols

Répartition par type avion - Décollage - Mars 2024

Juilly-Saint-Mard

| Présentation des principaux types avions et de leur répartition dans la flotte, corrélés aux survols de l'aéroport Paris-CDG | | | | | |
|--|-----------------|------|--------------------|-----------|-------------|
| Avion | Type avion OACI | WTC* | LAmox moyen en dBA | Nombre ** | Répartition |
| AIRBUS A320 | A320 | M | 67,9 | 448 | 24% |
| BOEING 737-800 | B738 | M | 68,5 | 168 | 9% |
| BOEING 777-300 (ER) | B77W | H | 73,4 | 162 | 9% |
| AIRBUS A319 | A319 | M | 68 | 128 | 7% |
| BOMBARDIER BD-500 Cseries CS300 | BCS3 | M | 64,5 | 110 | 6% |
| AIRBUS A321 | A321 | M | 70,3 | 93 | 5% |
| AIRBUS A350-900 | A359 | H | 69,4 | 82 | 4% |
| EMBRAER 190/195 | E190 | M | 67,8 | 77 | 4% |
| BOEING 787-9 Dreamliner | B789 | H | 70,4 | 73 | 4% |
| BOEING 777-200 (LR) | B77L | H | 71,4 | 64 | 3% |
| AIRBUS A330-300 | A333 | H | 74,3 | 60 | 3% |
| BOEING 737-400 | B734 | M | 69,9 | 60 | 3% |
| BOEING 777-200 | B772 | H | 74 | 49 | 3% |
| AIRBUS A321neo | A21N | M | 67,1 | 45 | 2% |
| BOEING 767-300 | B763 | H | 69,7 | 40 | 2% |
| AIRBUS A320neo | A20N | M | 66,3 | 35 | 2% |
| BOEING 757-200 | B752 | M | 65,6 | 28 | 1% |
| AIRBUS A380-800 | A388 | H | 74,6 | 23 | 1% |

* Wake Turbulence Category (H = Heavy, M = Medium, L = Light)

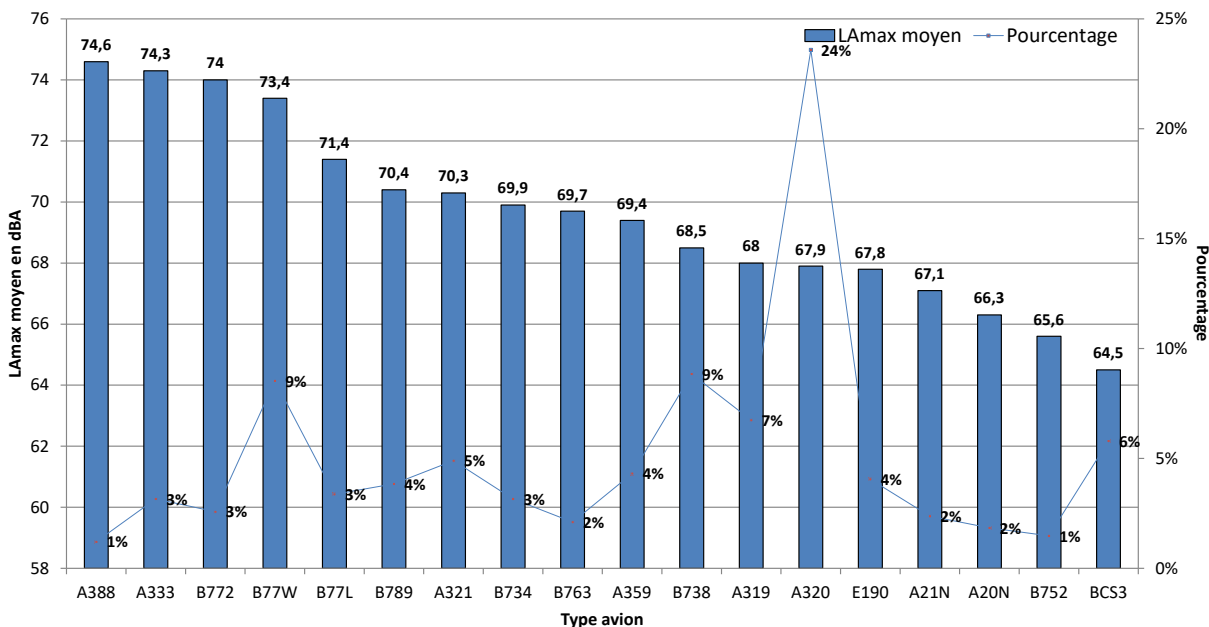
** Nombre d'événements mesurés et corrélés aux survols

Répartition par type avion - Mars 2024

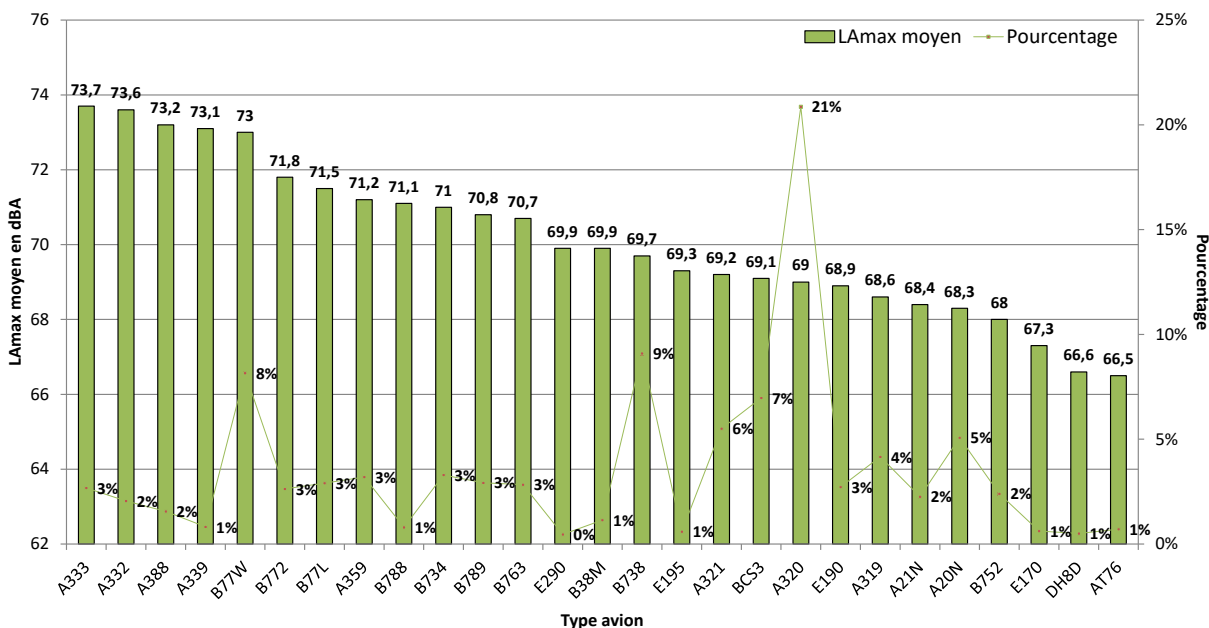
Juilly-Saint-Mard

Niveaux sonores LAmax moyens par type avion corrélés aux survols de l'aéroport de CDG
(20 mouvements mesurés au minimum par catégorie)

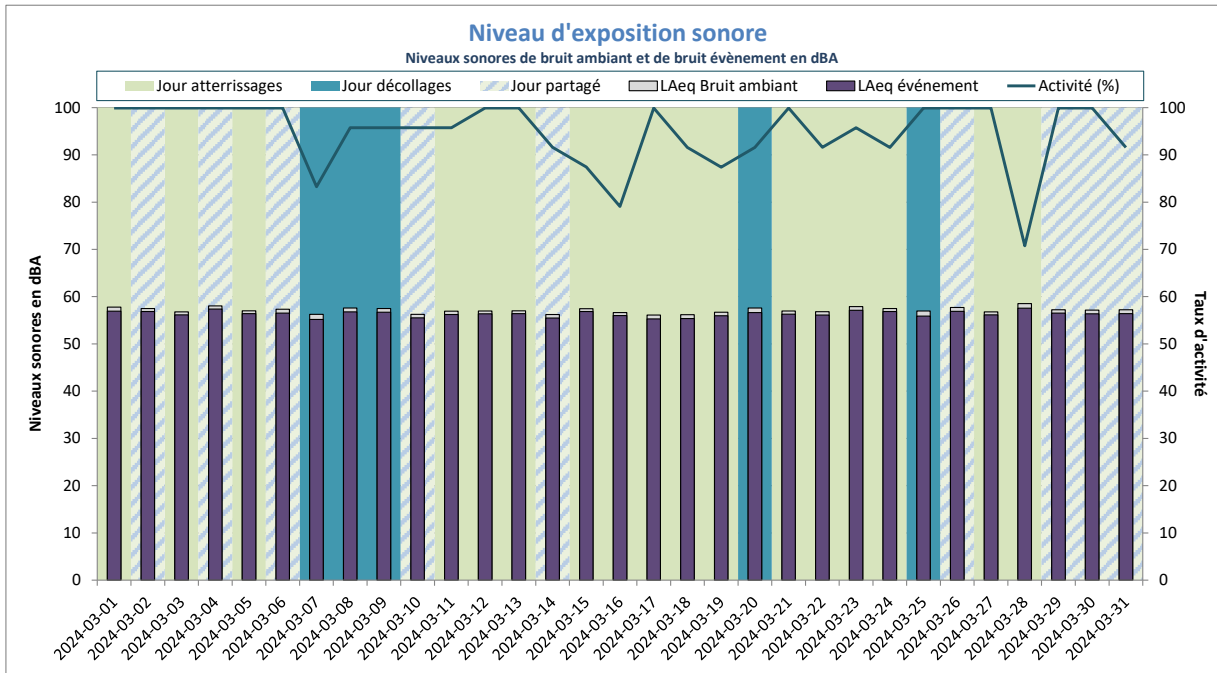
Décollages



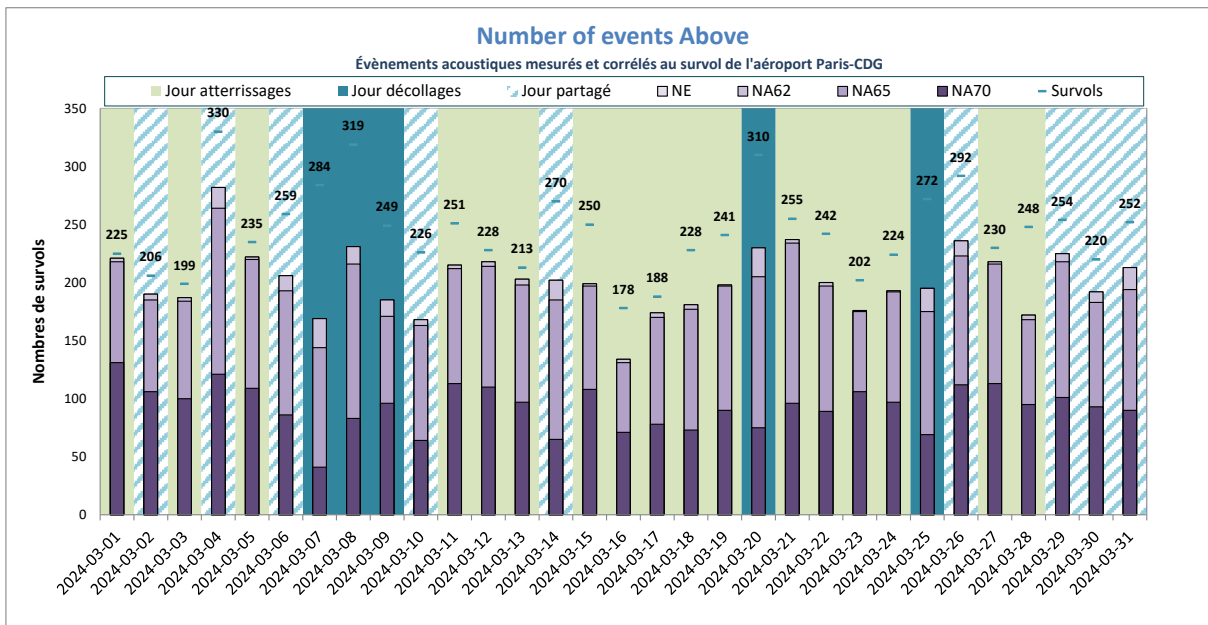
Atterrissages



NIVEAU D'EXPOSITION SONORE et NUMBER ABOVE - Juilly-Saint-Mard - Mars 2024



Activité (%) = taux de mesures valides



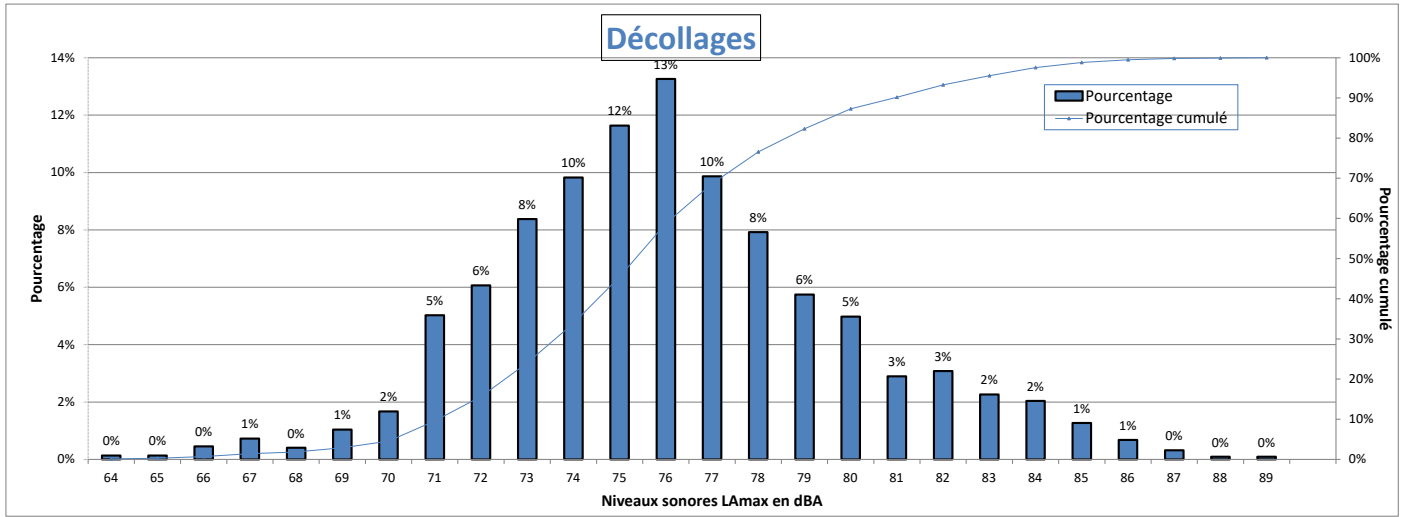
NE = Nombre d'événements mesurés et corrélés

Le Mesnil-Amelot

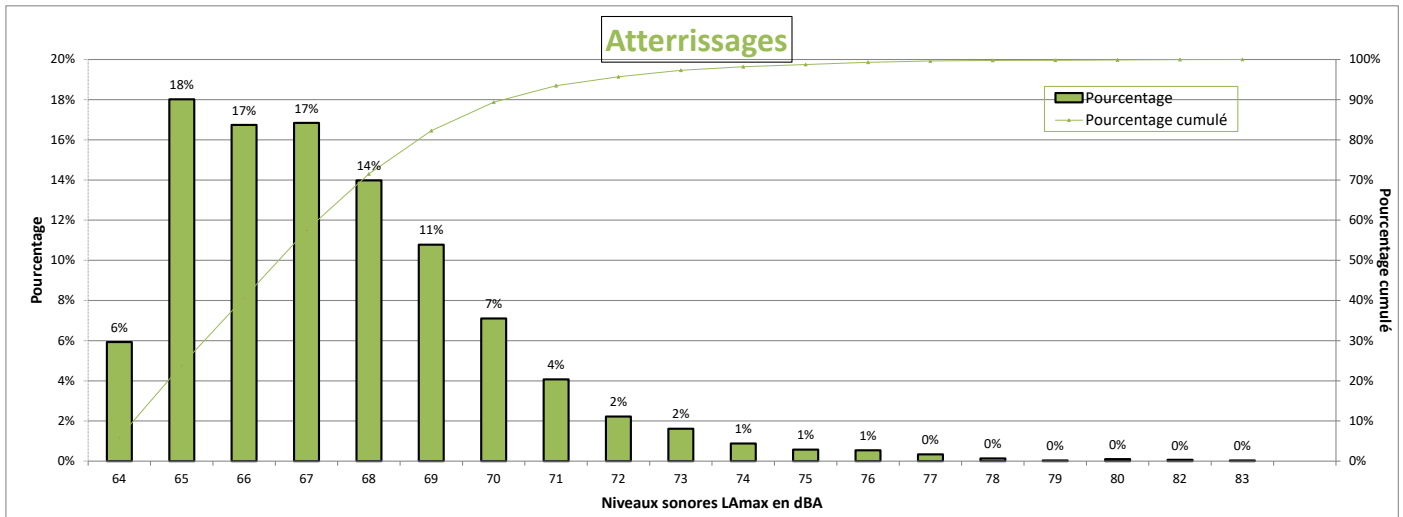


DISTRIBUTION STATISTIQUE - Le Mesnil-Amelot - Mars 2024

Distribution des niveaux sonores LMax corrélés aux survols de l'aéroport Paris - CDG



Nombre d'évènements mesurés : 2209
 Moyenne arithmétique : 76,1 dBA
 Moyenne énergétique : 77,9 dBA



Nombre d'évènements mesurés : 2969
 Moyenne arithmétique : 67,4 dBA
 Moyenne énergétique : 68,4 dBA

Répartition par type avion - Atterrissages - Mars 2024

Le Mesnil-Amelot

| Présentation des principaux types avions et de leur répartition dans la flotte, corrélés aux survols de l'aéroport Paris-CDG | | | | | |
|--|-----------------|------|--------------------|-----------|-------------|
| Avion | Type avion OACI | WTC* | LAmox moyen en dBA | Nombre ** | Répartition |
| AIRBUS A320 | A320 | M | 66,4 | 641 | 22% |
| BOEING 777-300 (ER) | B77W | H | 69,8 | 322 | 11% |
| BOEING 737-800 | B738 | M | 67,1 | 287 | 10% |
| AIRBUS A321 | A321 | M | 66,9 | 147 | 5% |
| BOEING 737-400 | B734 | M | 67,9 | 128 | 4% |
| BOEING 777-200 | B772 | H | 68,1 | 110 | 4% |
| AIRBUS A319 | A319 | M | 66,3 | 110 | 4% |
| AIRBUS A350-900 | A359 | H | 66,9 | 106 | 4% |
| BOEING 777-200 (LR) | B77L | H | 68,6 | 104 | 4% |
| BOEING 767-300 | B763 | H | 69,7 | 102 | 3% |
| BOEING 787-9 Dreamliner | B789 | H | 66,8 | 100 | 3% |
| AIRBUS A330-300 | A333 | H | 68,6 | 97 | 3% |
| EMBRAER 190/195 | E190 | M | 66,7 | 89 | 3% |
| AIRBUS A320neo | A20N | M | 66 | 89 | 3% |
| AIRBUS A330-200 | A332 | H | 68,6 | 82 | 3% |
| BOMBARDIER BD-500 Cseries CS300 | BCS3 | M | 66,4 | 72 | 2% |
| AIRBUS A380-800 | A388 | H | 68,2 | 64 | 2% |
| BOEING 757-200 | B752 | M | 66,2 | 61 | 2% |
| AIRBUS A321neo | A21N | M | 66,2 | 45 | 2% |
| A330-900neo | A339 | H | 67,8 | 27 | 1% |
| BOEING 787-300 | B788 | H | 67 | 27 | 1% |
| BOEING 737 MAX 8 | B38M | M | 65,9 | 25 | 1% |

* Wake Turbulence Category (H = Heavy, M = Medium, L = Light)

** Nombre d'événements mesurés et corrélés aux survols

Répartition par type avion - Décollage - Mars 2024

Le Mesnil-Amelot

| Présentation des principaux types avions et de leur répartition dans la flotte, corrélés aux survols de l'aéroport Paris-CDG | | | | | |
|--|-----------------|------|--------------------|-----------|-------------|
| Avion | Type avion OACI | WTC* | LAmox moyen en dBA | Nombre ** | Répartition |
| AIRBUS A320 | A320 | M | 74,8 | 473 | 21% |
| BOMBARDIER BD-500 Cseries CS300 | BCS3 | M | 72,3 | 194 | 9% |
| BOEING 737-800 | B738 | M | 76,9 | 175 | 8% |
| BOEING 777-300 (ER) | B77W | H | 81,3 | 173 | 8% |
| AIRBUS A319 | A319 | M | 74,9 | 130 | 6% |
| AIRBUS A321 | A321 | M | 77,9 | 101 | 5% |
| AIRBUS A320neo | A20N | M | 71 | 99 | 4% |
| AIRBUS A350-900 | A359 | H | 75,4 | 87 | 4% |
| BOEING 787-9 Dreamliner | B789 | H | 77,4 | 79 | 4% |
| EMBRAER 190/195 | E190 | M | 76,2 | 79 | 4% |
| AIRBUS A330-300 | A333 | H | 82,3 | 69 | 3% |
| BOEING 777-200 (LR) | B77L | H | 77,4 | 69 | 3% |
| BOEING 737-400 | B734 | M | 77,8 | 63 | 3% |
| AIRBUS A321neo | A21N | M | 73,1 | 56 | 3% |
| BOEING 777-200 | B772 | H | 82,3 | 54 | 2% |
| BOEING 757-200 | B752 | M | 72,1 | 44 | 2% |
| BOEING 767-300 | B763 | H | 77,9 | 43 | 2% |
| AIRBUS A380-800 | A388 | H | 80,4 | 27 | 1% |
| EMBRAER 170/175 | E170 | M | 75,3 | 20 | 1% |

* Wake Turbulence Category (H = Heavy, M = Medium, L = Light)

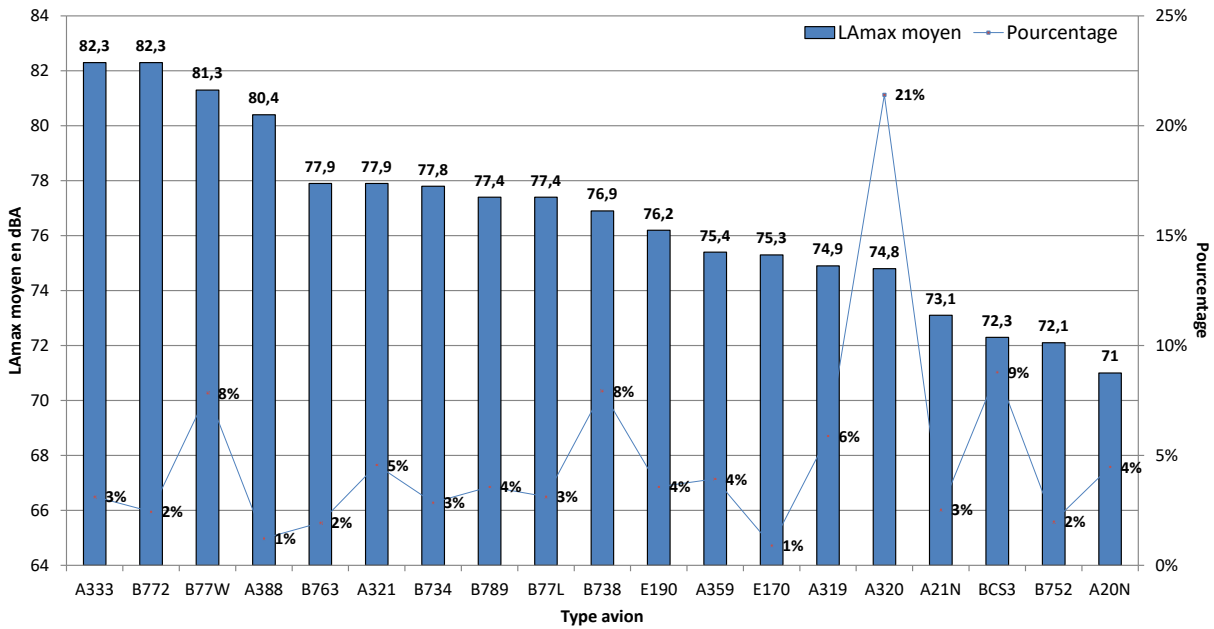
** Nombre d'événements mesurés et corrélés aux survols

Répartition par type avion - Mars 2024

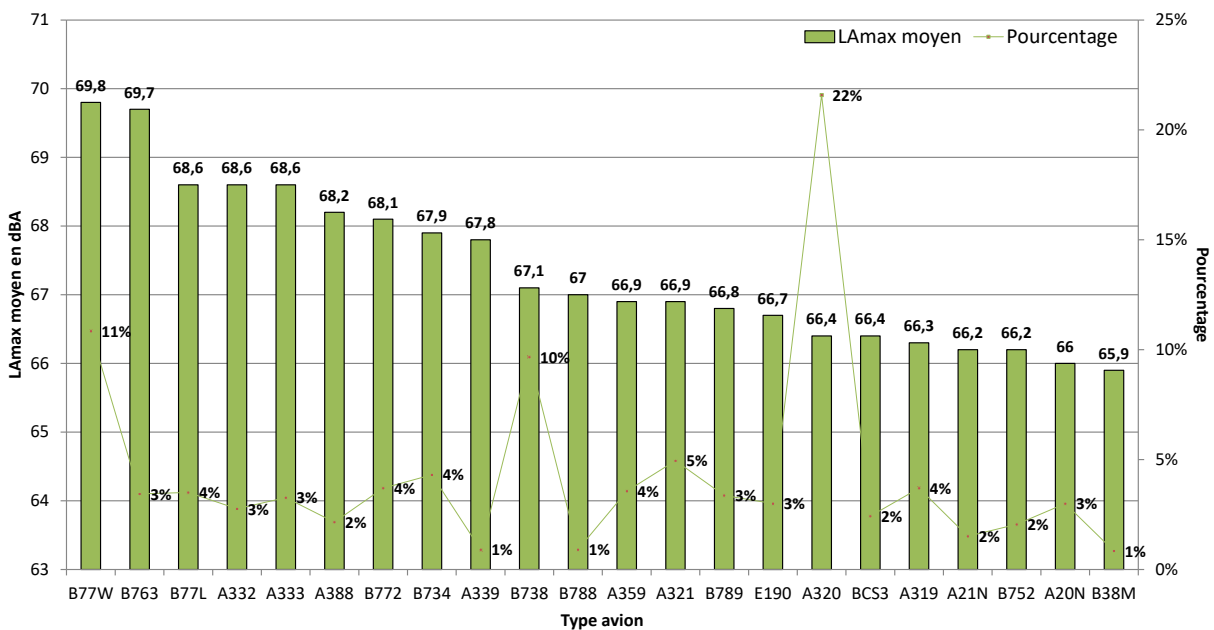
Le Mesnil-Amelot

Niveaux sonores LAmax moyens par type avion corrélés aux survols de l'aéroport de CDG
(20 mouvements mesurés au minimum par catégorie)

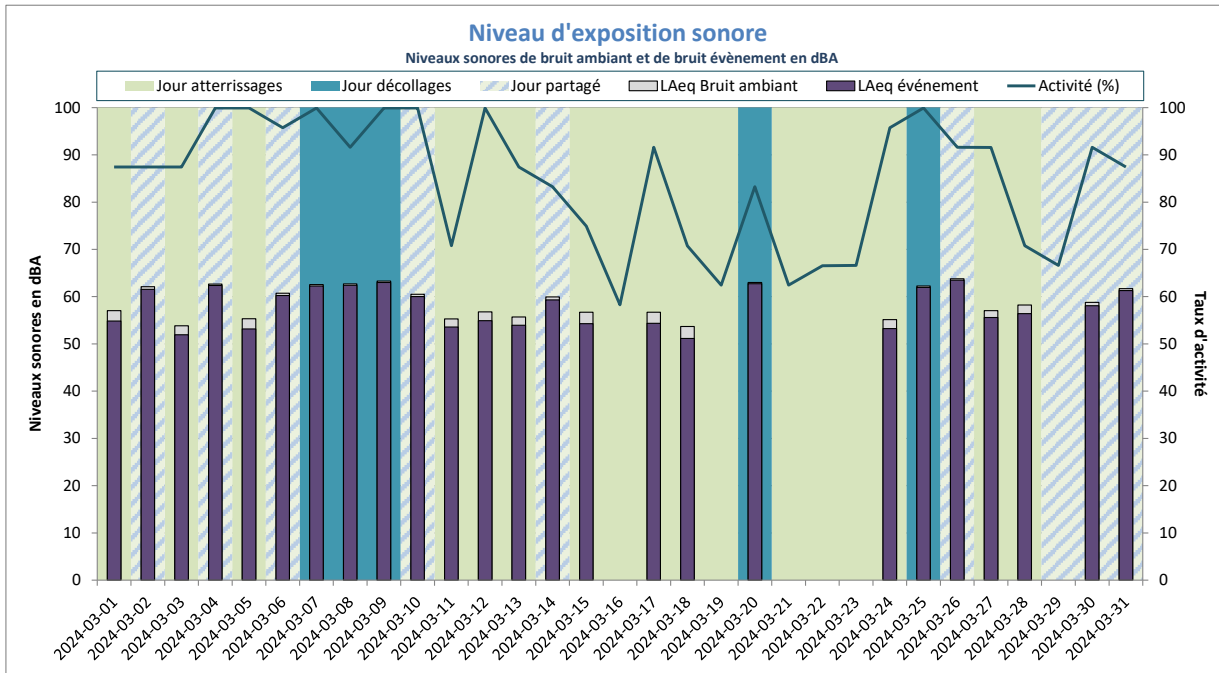
Décollages



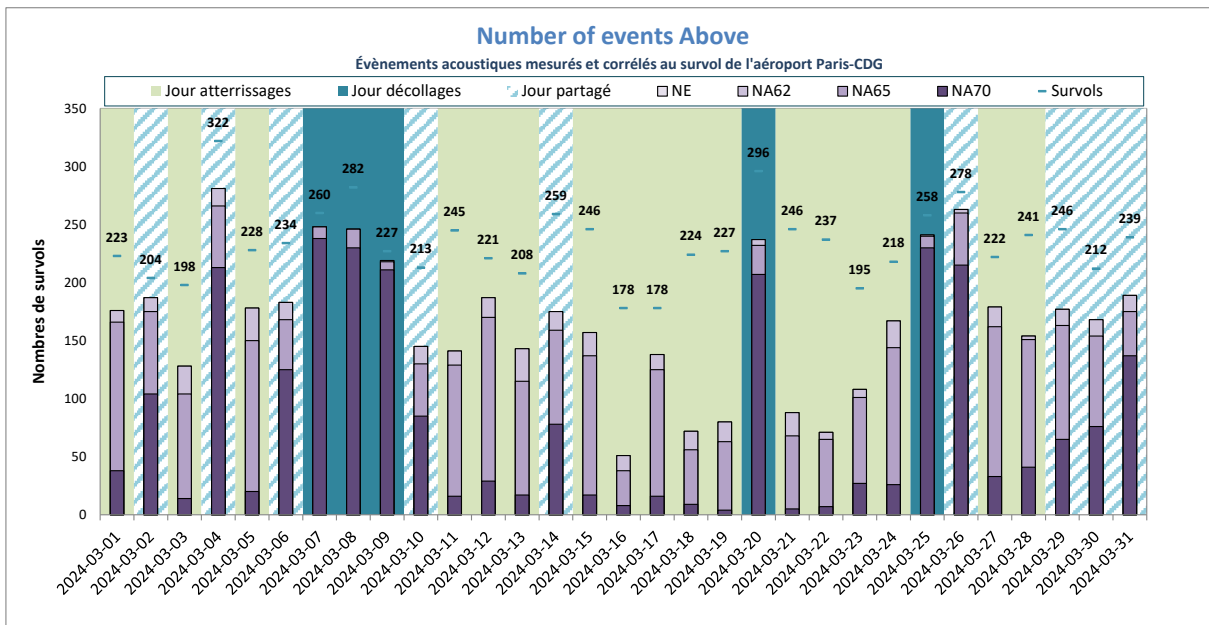
Atterrissages



NIVEAU D'EXPOSITION SONORE et NUMBER ABOVE - Le Mesnil-Amelot - Mars 2024



Activité (%) = taux de mesures valides



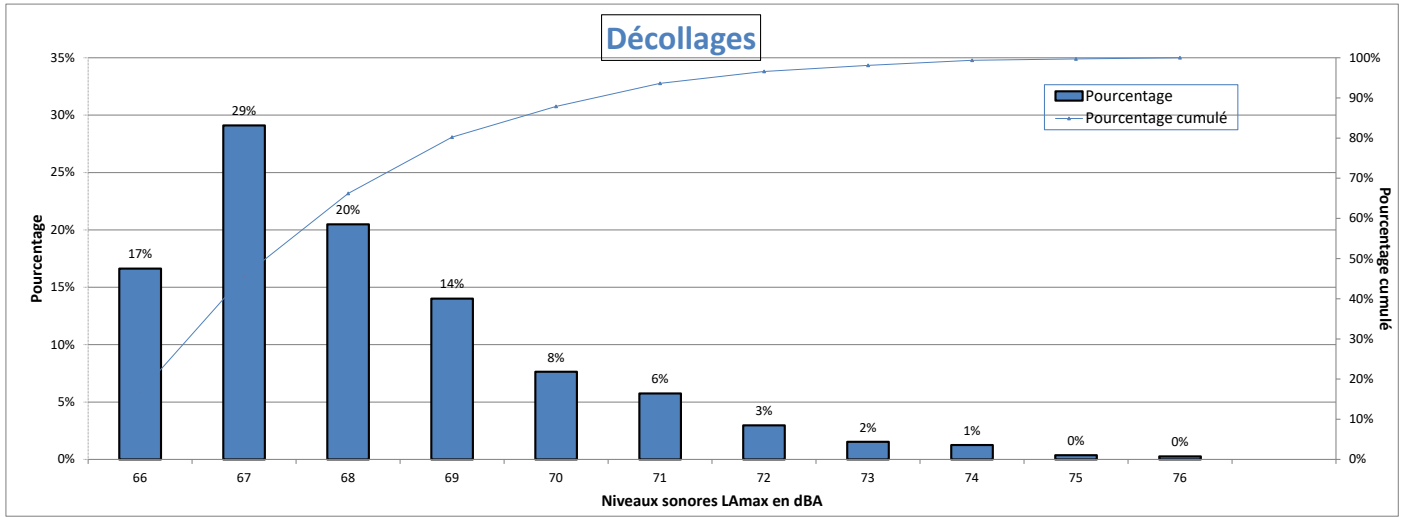
NE = Nombre d'événements mesurés et corrélés

Louvres

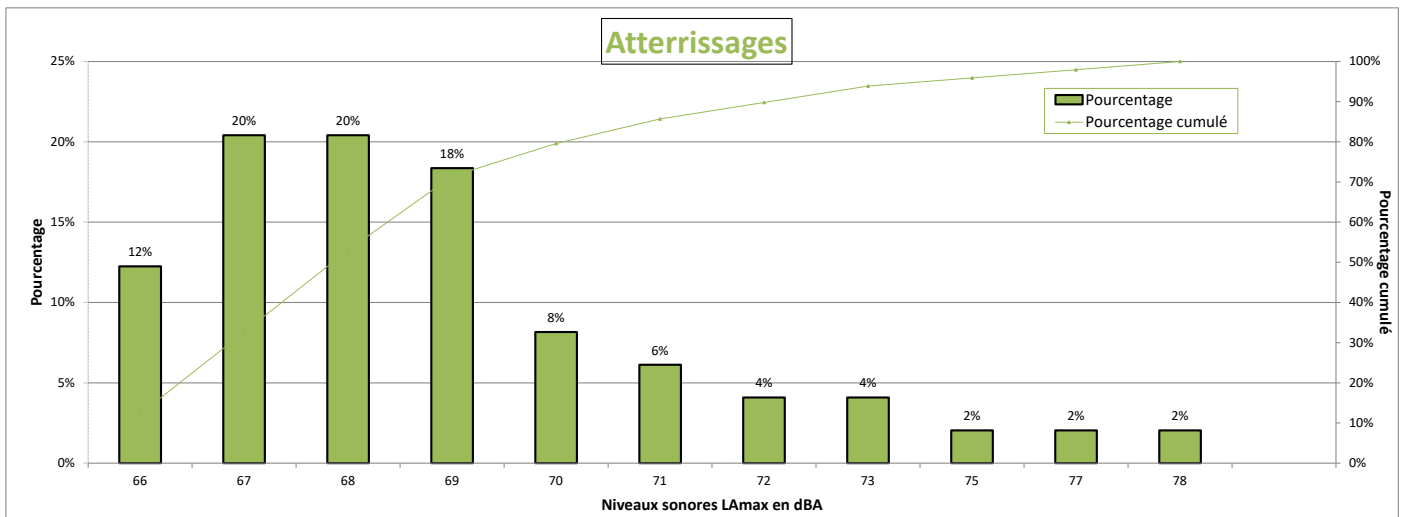


DISTRIBUTION STATISTIQUE - Louvres - Mars 2024

Distribution des niveaux sonores LMax corrélés aux survols de l'aéroport Paris - CDG



Nombre d'évènements mesurés : 1113
 Moyenne arithmétique : 68,1 dBA
 Moyenne énergétique : 68,6 dBA



Nombre d'évènements mesurés : 49
 Moyenne arithmétique : 68,9 dBA
 Moyenne énergétique : 70 dBA

Répartition par type avion - Atterrissages - Mars 2024

Louvres

| Présentation des principaux types avions et de leur répartition dans la flotte, corrélés aux survols de l'aéroport Paris-CDG | | | | |
|--|-----------------|------|--------------------|-----------|
| Avion | Type avion OACI | WTC* | LAmox moyen en dBA | Nombre ** |

* Wake Turbulence Category (H = Heavy, M = Medium, L = Light)

** Nombre d'événements mesurés et corrélés aux survols

Répartition par type avion - Décollage - Mars 2024

Louvres

| Présentation des principaux types avions et de leur répartition dans la flotte, corrélés aux survols de l'aéroport Paris-CDG | | | | | |
|--|-----------------|------|--------------------|-----------|-------------|
| Avion | Type avion OACI | WTC* | LAmox moyen en dBA | Nombre ** | Répartition |
| BOEING 777-300 (ER) | B77W | H | 67,9 | 211 | 19% |
| AIRBUS A320 | A320 | M | 67,2 | 143 | 13% |
| AIRBUS A330-300 | A333 | H | 70 | 122 | 11% |
| AIRBUS A321 | A321 | M | 67,8 | 92 | 8% |
| BOEING 777-200 | B772 | H | 68,4 | 81 | 7% |
| BOEING 737-800 | B738 | M | 67,7 | 70 | 6% |
| BOEING 767-300 | B763 | H | 68,6 | 59 | 5% |
| AIRBUS A330-200 | A332 | H | 68,8 | 51 | 5% |
| BOEING 737-400 | B734 | M | 67,8 | 47 | 4% |
| BOEING 777-200 (LR) | B77L | H | 67,7 | 41 | 4% |
| EMBRAER 190/195 | E190 | M | 67,2 | 36 | 3% |
| AIRBUS A319 | A319 | M | 68 | 20 | 2% |
| BOEING 757-200 | B752 | M | 67 | 20 | 2% |

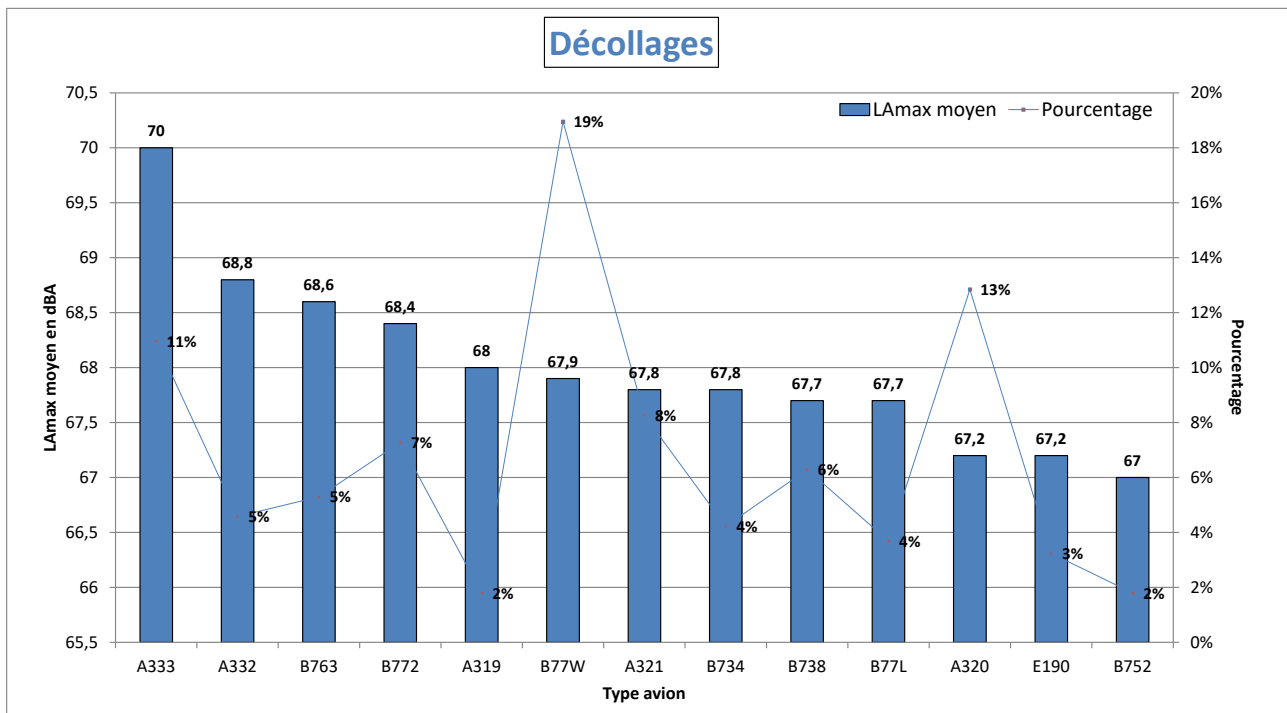
* Wake Turbulence Category (H = Heavy, M = Medium, L = Light)

** Nombre d'événements mesurés et corrélés aux survols

Répartition par type avion - Mars 2024

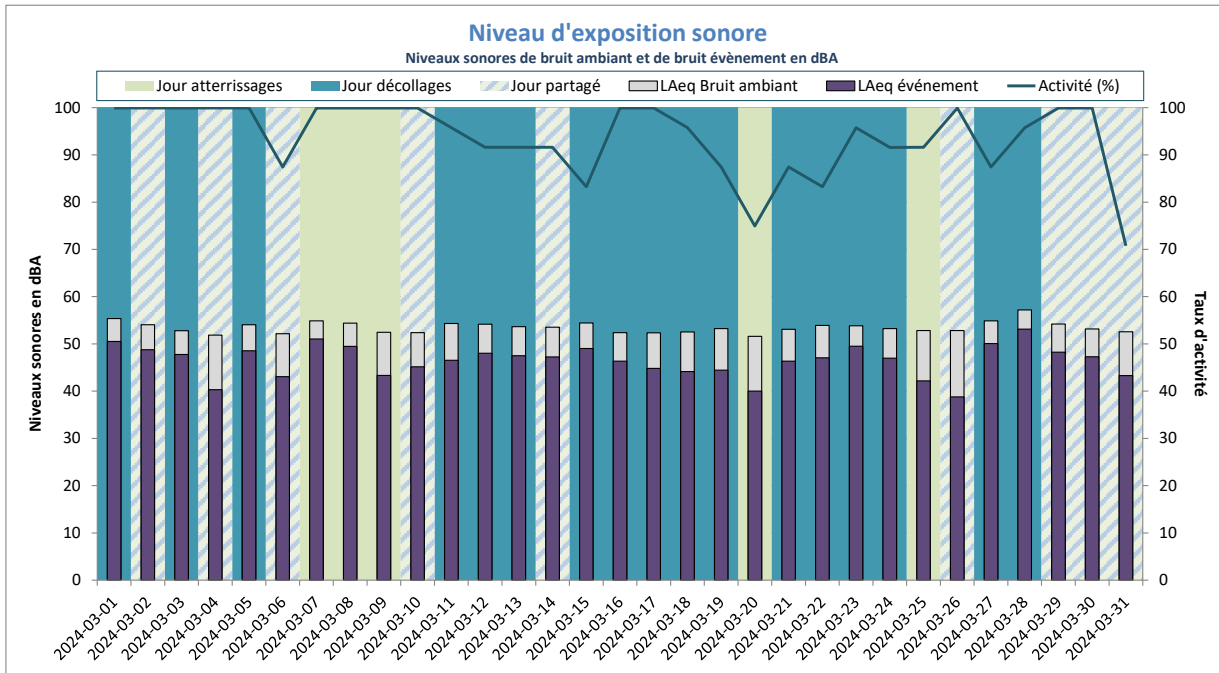
Louvres

Niveaux sonores LAmax moyens par type avion corrélés aux survols de l'aéroport de CDG
(20 mouvements mesurés au minimum par catégorie)

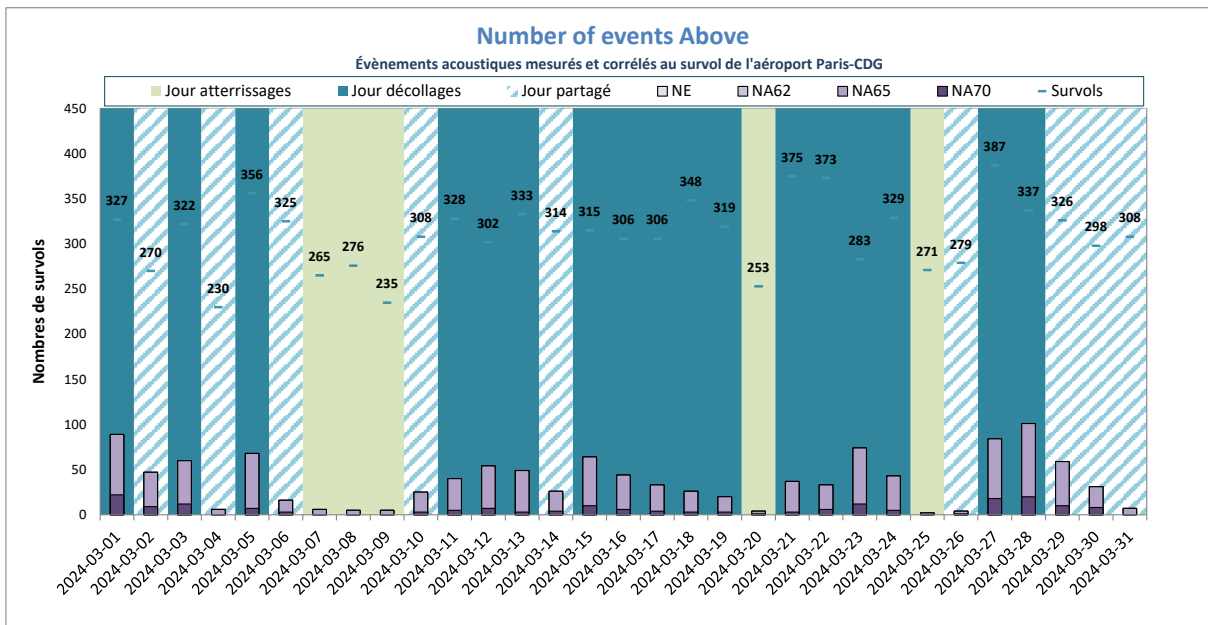


Atterrissages
Donnée insuffisante
(< 20 mouvements mesurés au minimum par catégorie)

NIVEAU D'EXPOSITION SONORE et NUMBER ABOVE - Louvres - Mars 2024



Activité (%) = taux de mesures valides



NE = Nombre d'événements mesurés et corrélés

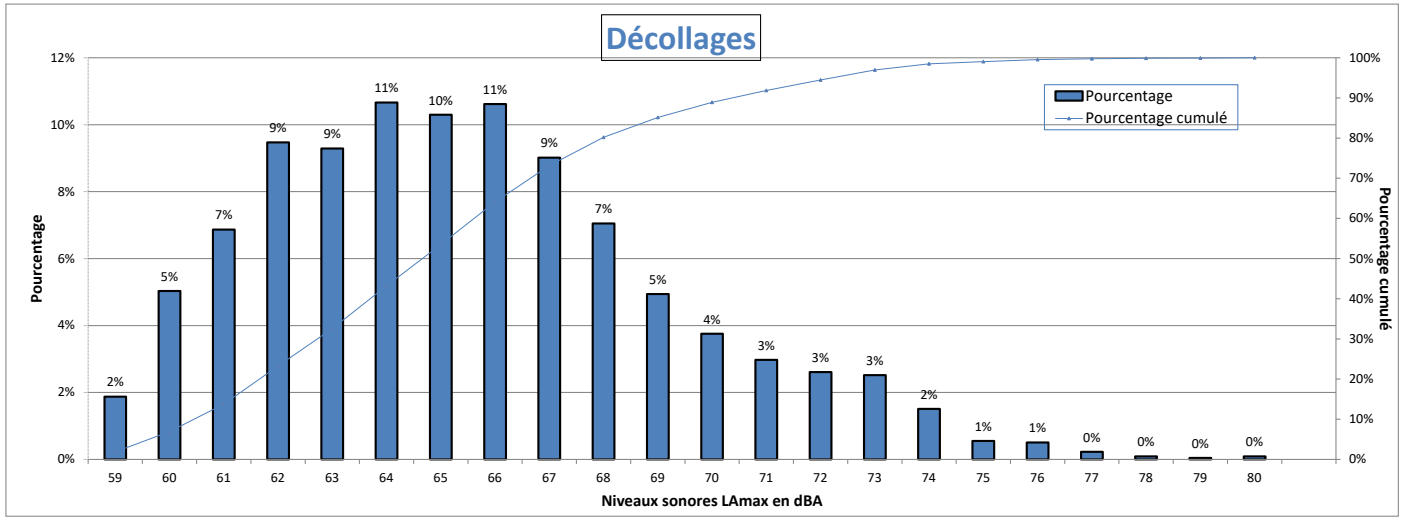
NE moyen : 37
 NA62 moyen : 37
 NA65 moyen : 37
 NA70 moyen : 6
 Nb survols : 310

Monthyon

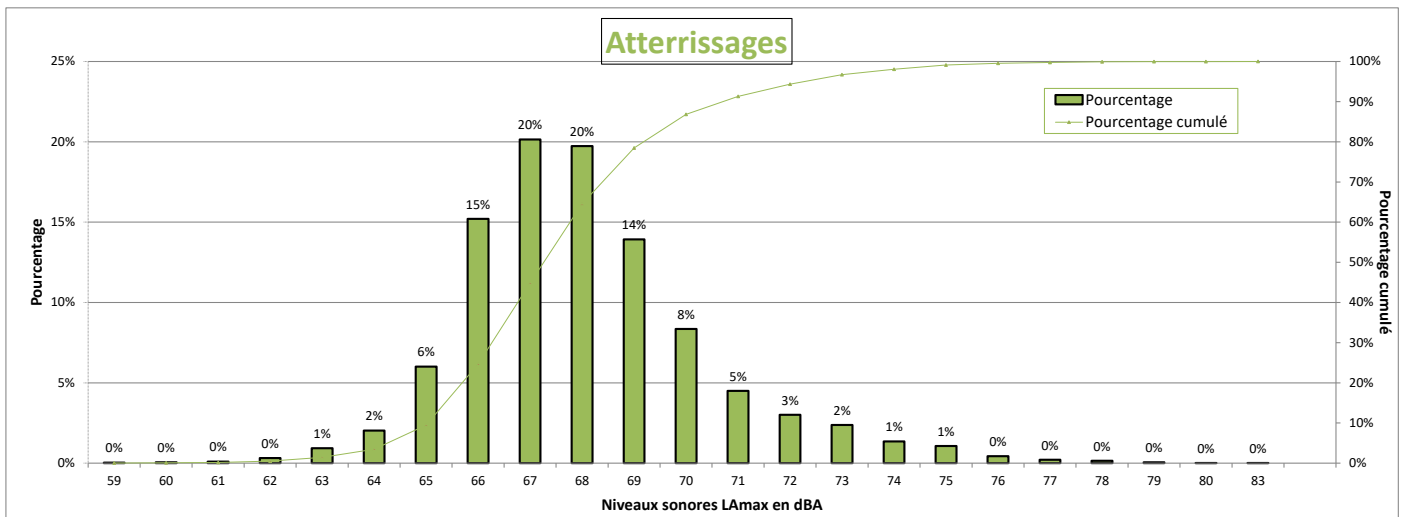


DISTRIBUTION STATISTIQUE - Monthyon - Mars 2024

Distribution des niveaux sonores LMax corrélés aux survols de l'aéroport Paris - CDG



Nombre d'évènements mesurés : 2185
 Moyenne arithmétique : 65,5 dBA
 Moyenne énergétique : 67,3 dBA



Nombre d'évènements mesurés : 7242
 Moyenne arithmétique : 68 dBA
 Moyenne énergétique : 68,8 dBA

Répartition par type avion - Atterrissages - Mars 2024

Monthyon

| Présentation des principaux types avions et de leur répartition dans la flotte, corrélés aux survols de l'aéroport Paris-CDG | | | | | |
|--|-----------------|------|--------------------|-----------|-------------|
| Avion | Type avion OACI | WTC* | LAmox moyen en dBA | Nombre ** | Répartition |
| AIRBUS A320 | A320 | M | 67,8 | 1502 | 21% |
| EMBRAER 190/195 | E190 | M | 67,8 | 874 | 12% |
| BOMBARDIER BD-500 Cseries CS300 | BCS3 | M | 67 | 826 | 11% |
| AIRBUS A321 | A321 | M | 68,7 | 561 | 8% |
| BOEING 777-300 (ER) | B77W | H | 68 | 479 | 7% |
| AIRBUS A319 | A319 | M | 67,6 | 463 | 6% |
| AIRBUS A350-900 | A359 | H | 66,3 | 386 | 5% |
| BOEING 737-800 | B738 | M | 68,7 | 339 | 5% |
| EMBRAER 170/175 | E170 | M | 66,9 | 327 | 5% |
| AIRBUS A330-200 | A332 | H | 72,8 | 183 | 3% |
| BOEING 777-200 | B772 | H | 67,7 | 176 | 2% |
| BOEING 787-9 Dreamliner | B789 | H | 68,4 | 174 | 2% |
| AIRBUS A320neo | A20N | M | 67,4 | 141 | 2% |
| AIRBUS A321neo | A21N | M | 68,2 | 137 | 2% |
| AIRBUS A330-300 | A333 | H | 72,4 | 119 | 2% |
| BOEING 777-200 (LR) | B77L | H | 69,4 | 100 | 1% |
| BOEING 787-800 | B788 | H | 69,6 | 59 | 1% |
| A330-900neo | A339 | H | 72,5 | 53 | 1% |
| BOEING 767-300 | B763 | H | 68,6 | 52 | 1% |
| BOEING 757-200 | B752 | M | 66,6 | 49 | 1% |
| BOEING 737-400 | B734 | M | 69,3 | 47 | 1% |
| DE HAVILLAND DHC-8-400 | DH8D | M | 65 | 30 | 0% |
| BOEING 747-8 | B748 | H | 74,9 | 24 | 0% |
| BOEING 737-700 | B737 | M | 67,6 | 23 | 0% |

* Wake Turbulence Category (H = Heavy, M = Medium, L = Light)

** Nombre d'événements mesurés et corrélés aux survols

Répartition par type avion - Décollage - Mars 2024

Monthyon

| Présentation des principaux types avions et de leur répartition dans la flotte, corrélés aux survols de l'aéroport Paris-CDG | | | | | |
|--|-----------------|------|--------------------|-----------|-------------|
| Avion | Type avion OACI | WTC* | LAmox moyen en dBA | Nombre ** | Répartition |
| AIRBUS A320 | A320 | M | 63,8 | 459 | 21% |
| EMBRAER 190/195 | E190 | M | 64,9 | 297 | 14% |
| AIRBUS A321 | A321 | M | 66,3 | 190 | 9% |
| BOEING 777-300 (ER) | B77W | H | 70,4 | 185 | 8% |
| AIRBUS A350-900 | A359 | H | 66,1 | 144 | 7% |
| BOEING 737-800 | B738 | M | 64,3 | 124 | 6% |
| AIRBUS A319 | A319 | M | 63,7 | 121 | 6% |
| EMBRAER 170/175 | E170 | M | 62,9 | 104 | 5% |
| BOMBARDIER BD-500 Cseries CS300 | BCS3 | M | 60,8 | 85 | 4% |
| AIRBUS A330-200 | A332 | H | 70,6 | 84 | 4% |
| BOEING 787-9 Dreamliner | B789 | H | 67,1 | 55 | 3% |
| BOEING 777-200 | B772 | H | 70,2 | 42 | 2% |
| BOEING 777-200 (LR) | B77L | H | 67,2 | 42 | 2% |
| AIRBUS A321neo | A21N | M | 63,1 | 41 | 2% |
| AIRBUS A330-300 | A333 | H | 69,9 | 27 | 1% |
| BOEING 787-800 | B788 | H | 65,1 | 25 | 1% |
| AIRBUS A320neo | A20N | M | 61,6 | 25 | 1% |

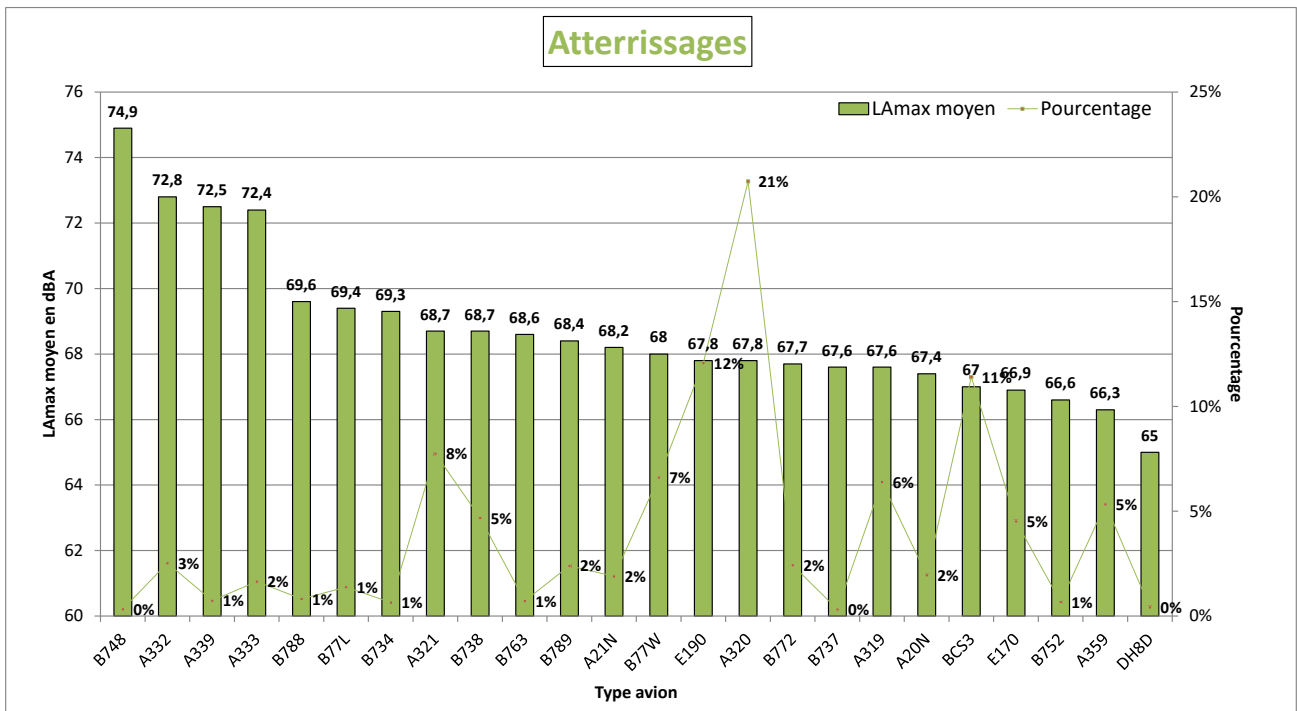
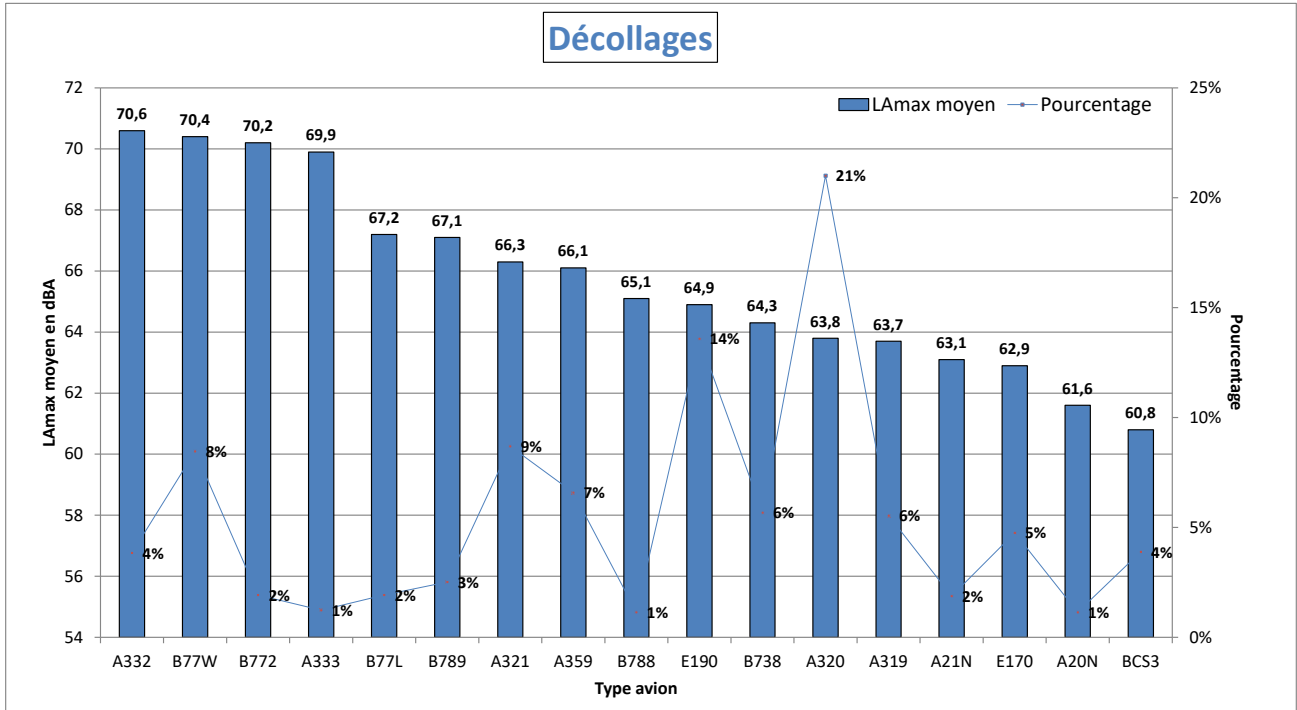
* Wake Turbulence Category (H = Heavy, M = Medium, L = Light)

** Nombre d'événements mesurés et corrélés aux survols

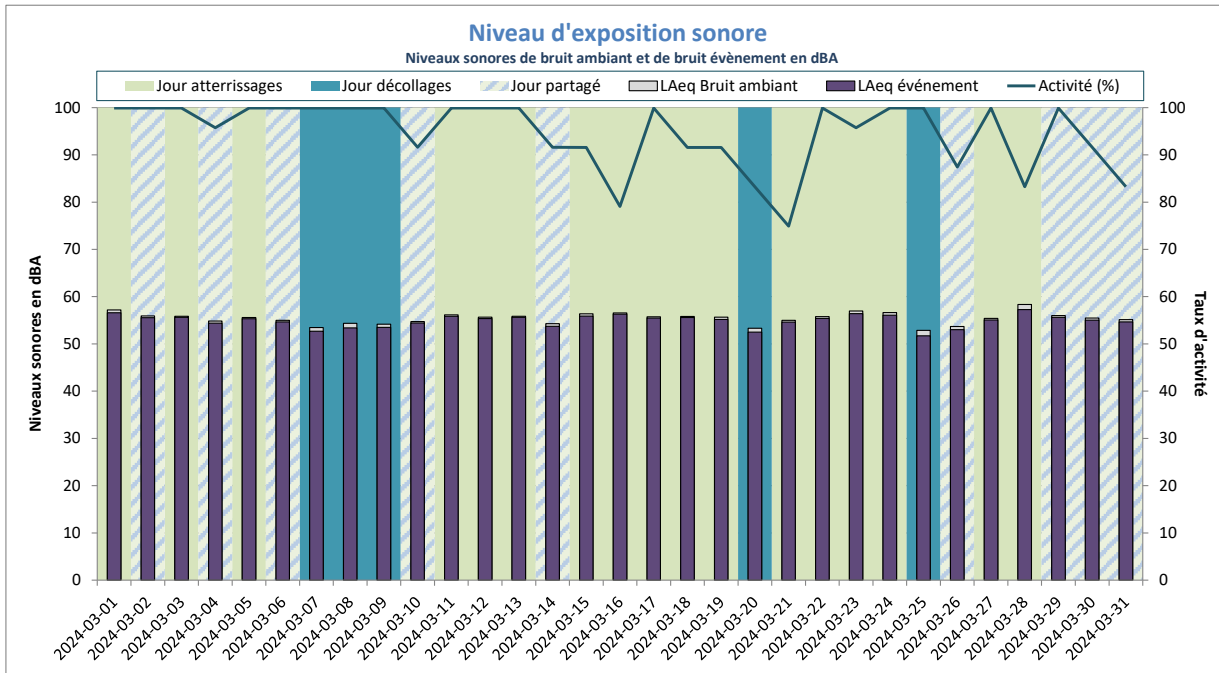
Répartition par type avion - Mars 2024

Monthyon

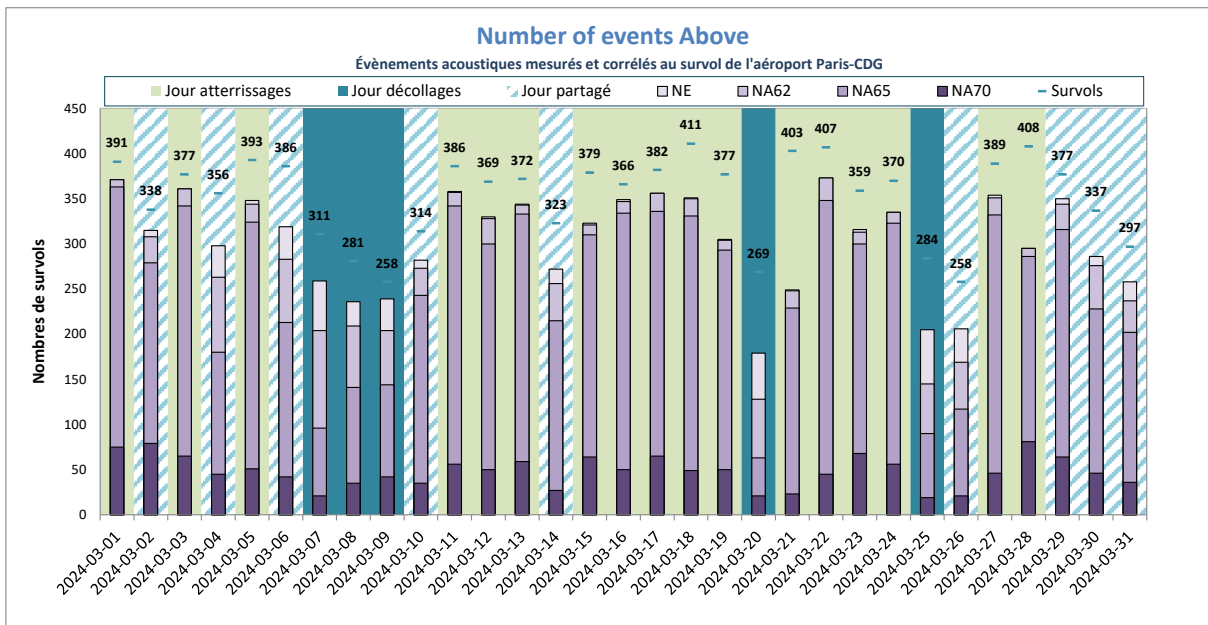
Niveaux sonores LAmax moyens par type avion corrélés aux survols de l'aéroport de CDG
(20 mouvements mesurés au minimum par catégorie)



NIVEAU D'EXPOSITION SONORE et NUMBER ABOVE - Monthyon - Mars 2024



Activité (%) = taux de mesures valides



NE = Nombre d'évènements mesurés et corrélés

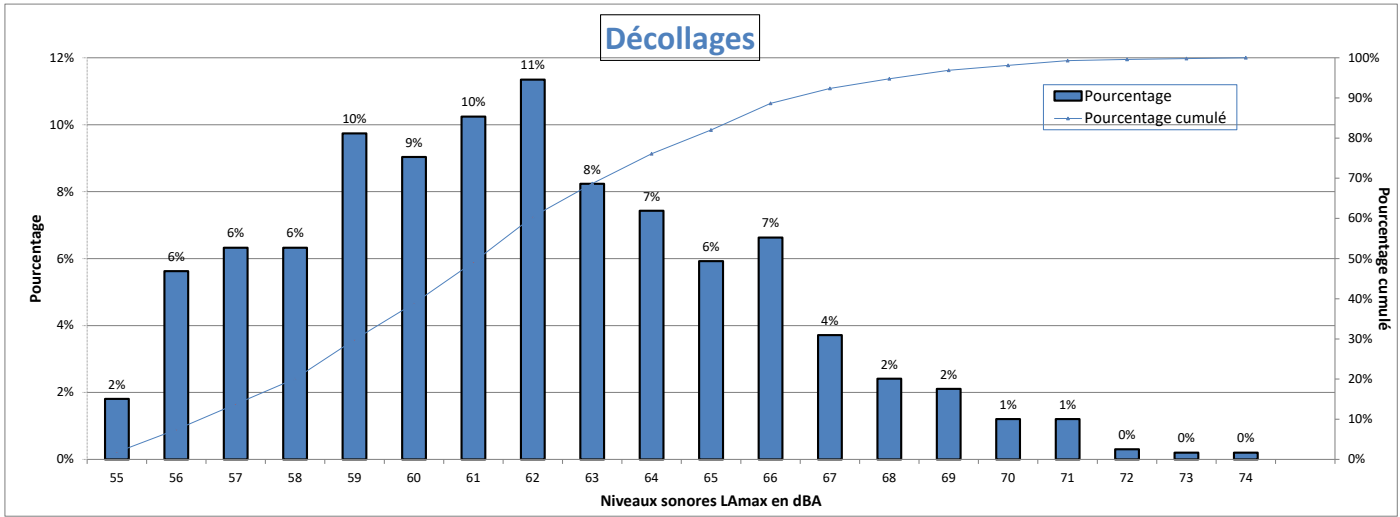
NE moyen : 304
 NA62 moyen : 290
 NA65 moyen : 257
 NA70 moyen : 48
 Nb survols : 353

Montlignon

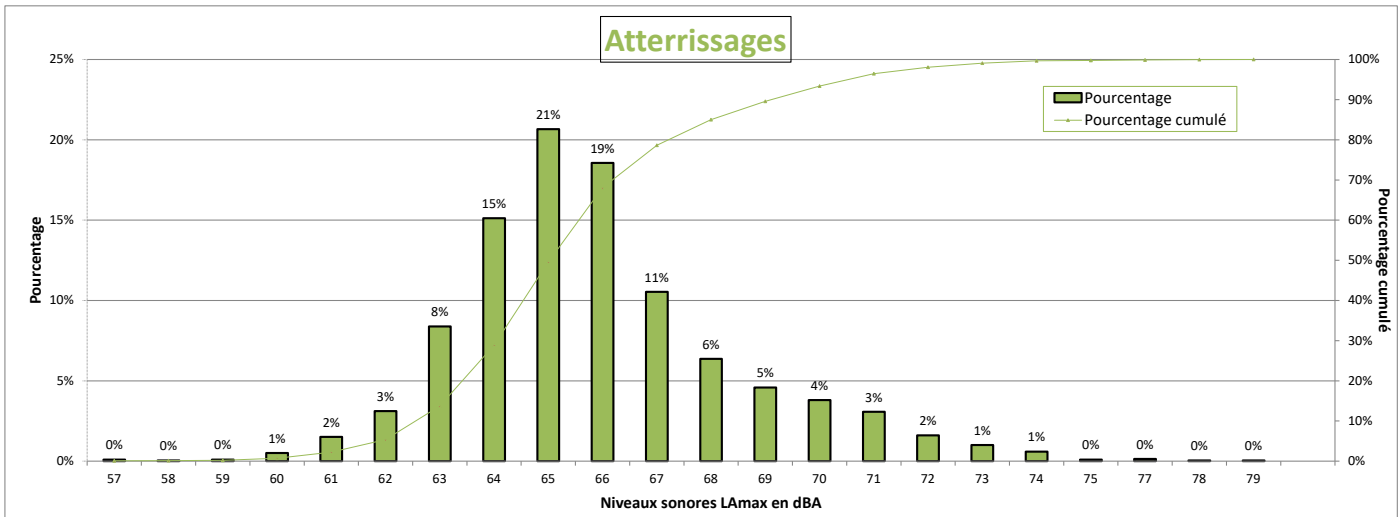


DISTRIBUTION STATISTIQUE - Montlignon - Mars 2024

Distribution des niveaux sonores LMax corrélés aux survols de l'aéroport Paris - CDG



Nombre d'évènements mesurés : 996
 Moyenne arithmétique : 61,8 dBA
 Moyenne énergétique : 63,6 dBA



Nombre d'évènements mesurés : 2182
 Moyenne arithmétique : 65,9 dBA
 Moyenne énergétique : 66,8 dBA

Répartition par type avion - Atterrissages - Mars 2024

Montlignon

| Présentation des principaux types avions et de leur répartition dans la flotte, corrélés aux survols de l'aéroport Paris-CDG | | | | | |
|--|-----------------|------|--------------------|-----------|-------------|
| Avion | Type avion OACI | WTC* | LAmox moyen en dBA | Nombre ** | Répartition |
| AIRBUS A320 | A320 | M | 65,6 | 500 | 23% |
| BOMBARDIER BD-500 Cseries CS300 | BCS3 | M | 64,8 | 183 | 8% |
| BOEING 777-300 (ER) | B77W | H | 65,7 | 174 | 8% |
| BOEING 737-300 | B738 | M | 66 | 171 | 8% |
| AIRBUS A321 | A321 | M | 66,2 | 141 | 6% |
| AIRBUS A319 | A319 | M | 65,5 | 110 | 5% |
| AIRBUS A320neo | A20N | M | 65,1 | 108 | 5% |
| AIRBUS A350-900 | A359 | H | 62,8 | 70 | 3% |
| AIRBUS A330-300 | A333 | H | 69,9 | 64 | 3% |
| BOEING 777-200 (LR) | B77L | H | 66 | 63 | 3% |
| BOEING 777-200 | B772 | H | 66,4 | 60 | 3% |
| BOEING 787-9 Dreamliner | B789 | H | 65,9 | 59 | 3% |
| EMBRAER 190/195 | E190 | M | 65,5 | 57 | 3% |
| BOEING 767-300 | B763 | H | 67,2 | 53 | 2% |
| AIRBUS A321neo | A21N | M | 65,7 | 52 | 2% |
| BOEING 737-400 | B734 | M | 65,8 | 43 | 2% |
| AIRBUS A330-200 | A332 | H | 69,7 | 38 | 2% |
| BOEING 757-200 | B752 | M | 63,9 | 36 | 2% |
| AIRBUS A380-800 | A388 | H | 71,3 | 31 | 1% |
| BOEING 737 MAX 8 | B38M | M | 65,5 | 21 | 1% |
| EMBRAER 170/175 | E170 | M | 64,1 | 20 | 1% |

* Wake Turbulence Category (H = Heavy, M = Medium, L = Light)

** Nombre d'événements mesurés et corrélés aux survols

Répartition par type avion - Décollage - Mars 2024

Montlignon

| Présentation des principaux types avions et de leur répartition dans la flotte, corrélés aux survols de l'aéroport Paris-CDG | | | | | |
|--|-----------------|------|--------------------|-----------|-------------|
| Avion | Type avion OACI | WTC* | LAmox moyen en dBA | Nombre ** | Répartition |
| AIRBUS A320 | A320 | M | 60,4 | 140 | 14% |
| BOEING 777-300 (ER) | B77W | H | 64,4 | 117 | 12% |
| EMBRAER 190/195 | E190 | M | 60 | 78 | 8% |
| BOEING 777-200 | B772 | H | 63,7 | 69 | 7% |
| BOEING 737-400 | B734 | M | 62,1 | 63 | 6% |
| AIRBUS A350-900 | A359 | H | 61 | 57 | 6% |
| BOEING 737-800 | B738 | M | 60,2 | 52 | 5% |
| AIRBUS A330-300 | A333 | H | 64,8 | 48 | 5% |
| AIRBUS A321 | A321 | M | 62,3 | 47 | 5% |
| BOEING 787-9 Dreamliner | B789 | H | 61,2 | 44 | 4% |
| BOEING 767-300 | B763 | H | 64,5 | 34 | 3% |
| BOMBARDIER BD-500 Cseries CS300 | BCS3 | M | 57,1 | 33 | 3% |
| AIRBUS A321neo | A21N | M | 61,1 | 29 | 3% |
| EMBRAER 170/175 | E170 | M | 58,3 | 28 | 3% |
| AIRBUS A330-200 | A332 | H | 65,5 | 27 | 3% |
| A330-900neo | A339 | H | 61,3 | 25 | 3% |

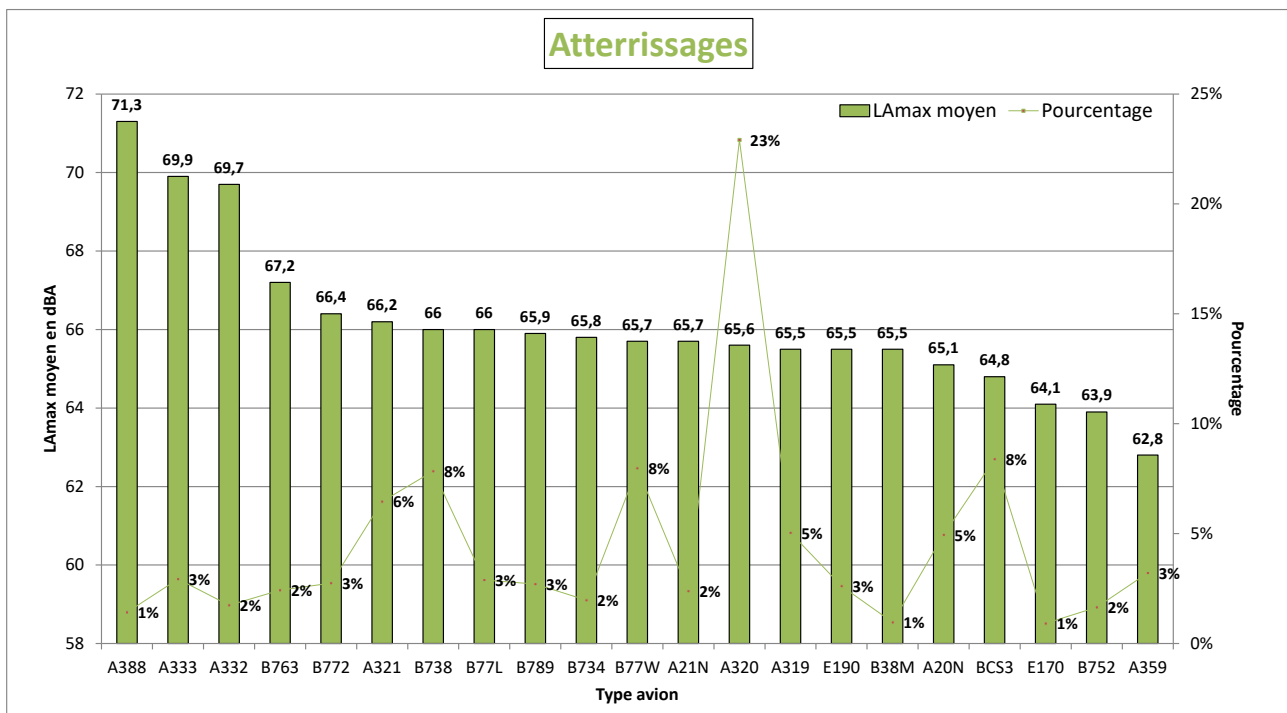
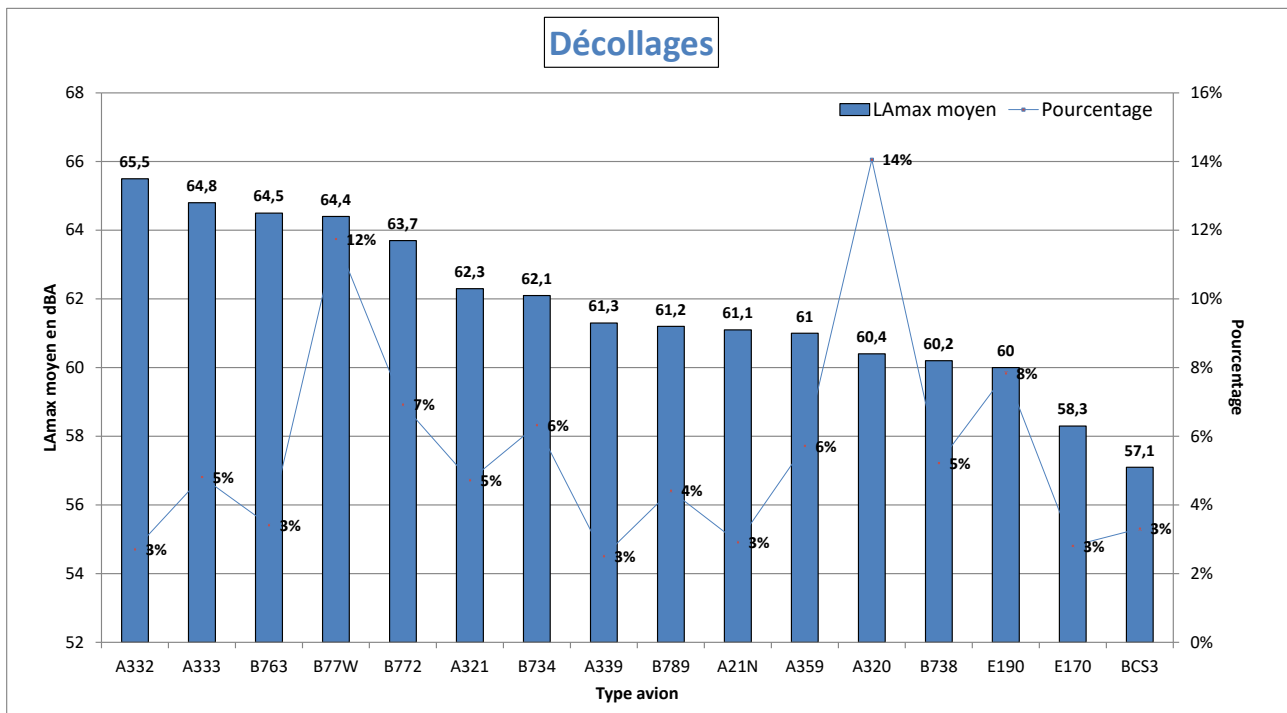
* Wake Turbulence Category (H = Heavy, M = Medium, L = Light)

** Nombre d'événements mesurés et corrélés aux survols

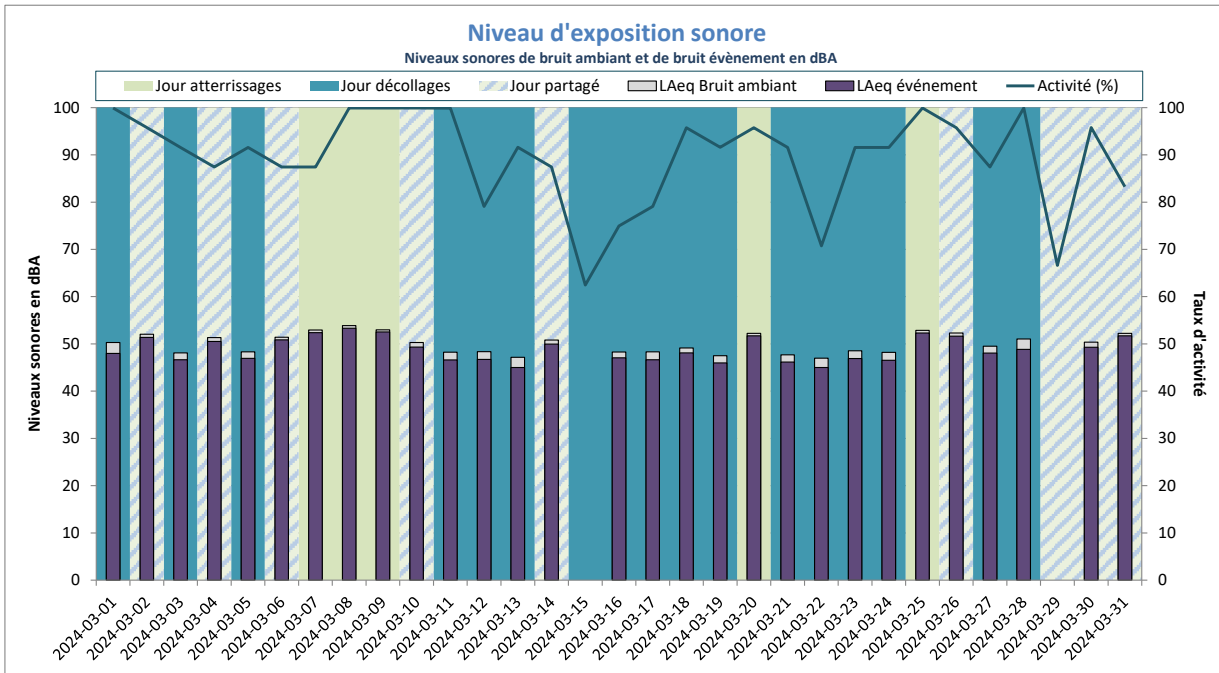
Répartition par type avion - Mars 2024

Montlignon

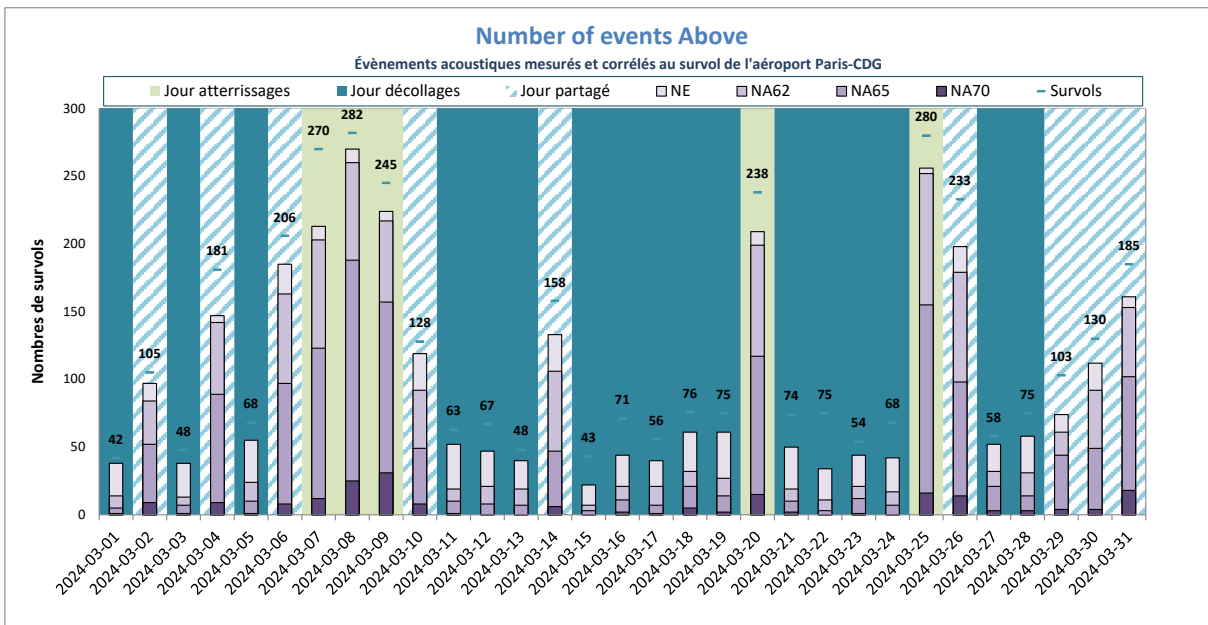
Niveaux sonores LAmax moyens par type avion corrélés aux survols de l'aéroport de CDG
(20 mouvements mesurés au minimum par catégorie)



NIVEAU D'EXPOSITION SONORE et NUMBER ABOVE - Montlignon - Mars 2024



Activité (%) = taux de mesures valides



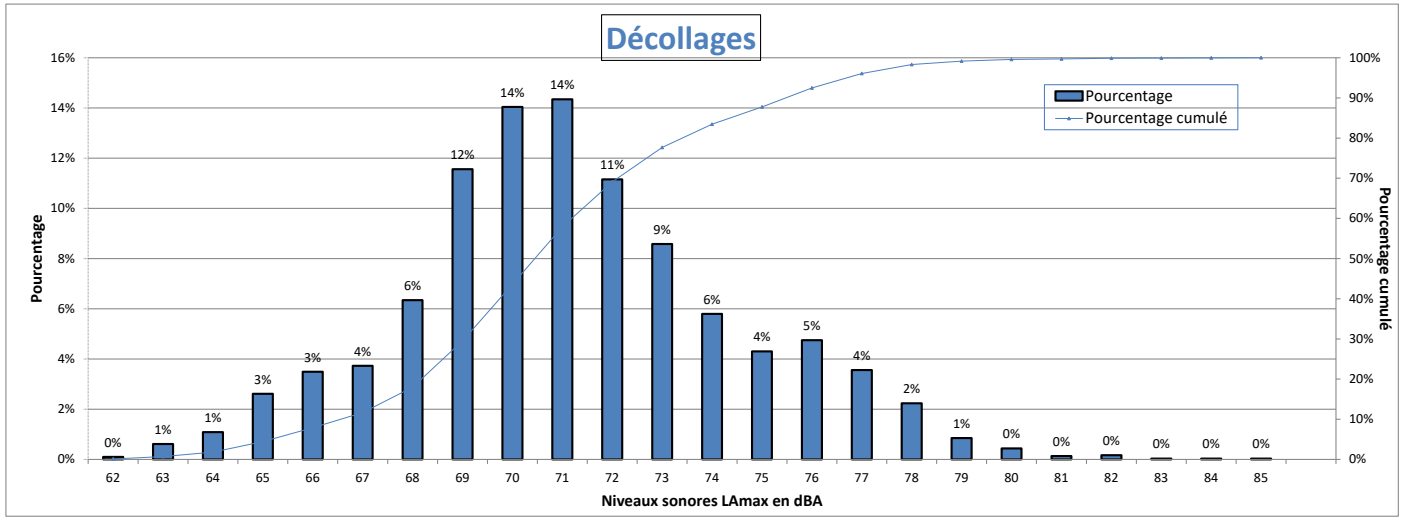
NE = Nombre d'événements mesurés et corrélés

Nantouillet

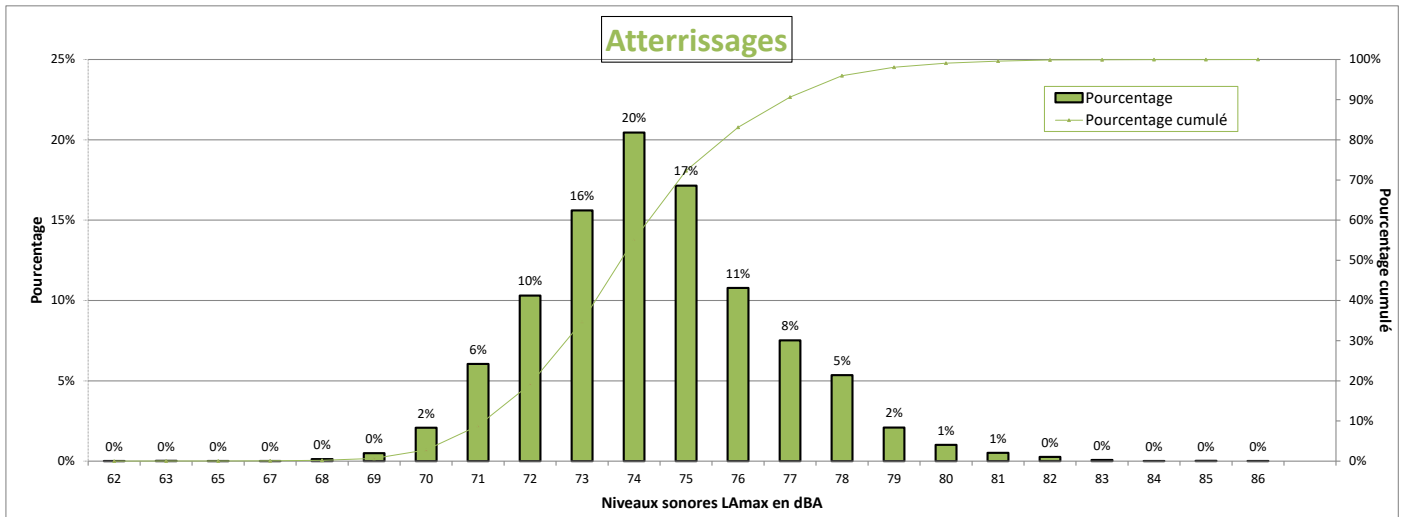


DISTRIBUTION STATISTIQUE - Nantouillet - Mars 2024

Distribution des niveaux sonores LMax corrélés aux survols de l'aéroport Paris - CDG



Nombre d'évènements mesurés : 2949
 Moyenne arithmétique : 71,2 dBA
 Moyenne énergétique : 72,5 dBA



Nombre d'évènements mesurés : 7658
 Moyenne arithmétique : 74,3 dBA
 Moyenne énergétique : 75 dBA

Répartition par type avion - Atterrissages - Mars 2024

Nantouillet

| Présentation des principaux types avions et de leur répartition dans la flotte, corrélés aux survols de l'aéroport Paris-CDG | | | | | |
|--|-----------------|------|--------------------|-----------|-------------|
| Avion | Type avion OACI | WTC* | LAmox moyen en dBA | Nombre ** | Répartition |
| AIRBUS A320 | A320 | M | 74,1 | 1603 | 21% |
| EMBRAER 190/195 | E190 | M | 73,2 | 908 | 12% |
| BOMBARDIER BD-500 Cseries CS300 | BCS3 | M | 72,3 | 851 | 11% |
| AIRBUS A321 | A321 | M | 74,7 | 597 | 8% |
| BOEING 777-300 (ER) | B77W | H | 77,5 | 507 | 7% |
| AIRBUS A319 | A319 | M | 73,7 | 480 | 6% |
| AIRBUS A350-900 | A359 | H | 74,7 | 408 | 5% |
| BOEING 737-800 | B738 | M | 75,1 | 366 | 5% |
| EMBRAER 170/175 | E170 | M | 72,2 | 358 | 5% |
| BOEING 777-200 | B772 | H | 75,9 | 192 | 3% |
| BOEING 787-9 Dreamliner | B789 | H | 75,3 | 190 | 2% |
| AIRBUS A330-200 | A332 | H | 77,5 | 187 | 2% |
| AIRBUS A320neo | A20N | M | 73,2 | 150 | 2% |
| AIRBUS A321neo | A21N | M | 73,3 | 149 | 2% |
| AIRBUS A330-300 | A333 | H | 77,6 | 121 | 2% |
| BOEING 777-200 (LR) | B77L | H | 77,4 | 108 | 1% |
| BOEING 787-800 | B788 | H | 74,4 | 61 | 1% |
| A330-900neo | A339 | H | 76,8 | 53 | 1% |
| BOEING 737-400 | B734 | M | 75,4 | 53 | 1% |
| BOEING 767-300 | B763 | H | 75,9 | 52 | 1% |
| BOEING 757-200 | B752 | M | 73,3 | 52 | 1% |
| DE HAVILLAND DHC-8-400 | DH8D | M | 71 | 32 | 0% |
| BOEING 737-700 | B737 | M | 74,4 | 25 | 0% |
| BOEING 747-8 | B748 | H | 79,8 | 24 | 0% |
| BOEING 737-900 | B739 | M | 75,4 | 20 | 0% |

* Wake Turbulence Category (H = Heavy, M = Medium, L = Light)

** Nombre d'événements mesurés et corrélés aux survols

Répartition par type avion - Décollage - Mars 2024

Nantouillet

| Présentation des principaux types avions et de leur répartition dans la flotte, corrélés aux survols de l'aéroport Paris-CDG | | | | | |
|--|-----------------|------|--------------------|-----------|-------------|
| Avion | Type avion OACI | WTC* | LAmox moyen en dBA | Nombre ** | Répartition |
| AIRBUS A320 | A320 | M | 70,6 | 632 | 21% |
| EMBRAER 190/195 | E190 | M | 69,6 | 380 | 13% |
| BOMBARDIER BD-500 Cseries CS300 | BCS3 | M | 66,1 | 296 | 10% |
| AIRBUS A321 | A321 | M | 72,7 | 242 | 8% |
| BOEING 777-300 (ER) | B77W | H | 75,8 | 211 | 7% |
| AIRBUS A350-900 | A359 | H | 71,5 | 151 | 5% |
| AIRBUS A319 | A319 | M | 70,1 | 146 | 5% |
| BOEING 737-800 | B738 | M | 72,8 | 142 | 5% |
| EMBRAER 170/175 | E170 | M | 69,4 | 136 | 5% |
| AIRBUS A330-200 | A332 | H | 76,7 | 101 | 3% |
| BOEING 777-200 | B772 | H | 75,9 | 67 | 2% |
| BOEING 787-9 Dreamliner | B789 | H | 72,6 | 65 | 2% |
| AIRBUS A321neo | A21N | M | 70,6 | 56 | 2% |
| AIRBUS A320neo | A20N | M | 67,9 | 55 | 2% |
| BOEING 777-200 (LR) | B77L | H | 74,2 | 44 | 1% |
| AIRBUS A330-300 | A333 | H | 76,4 | 39 | 1% |
| BOEING 787-800 | B788 | H | 71,2 | 29 | 1% |
| A330-900neo | A339 | H | 72,2 | 24 | 1% |
| BOEING 767-300 | B763 | H | 70,5 | 22 | 1% |

* Wake Turbulence Category (H = Heavy, M = Medium, L = Light)

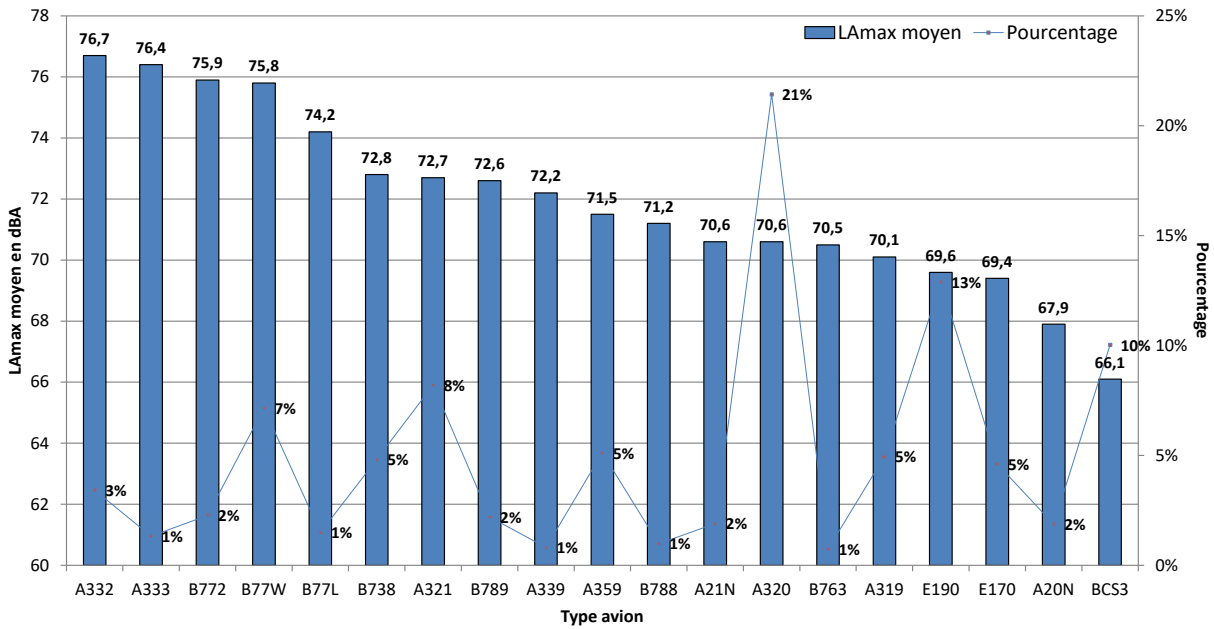
** Nombre d'événements mesurés et corrélés aux survols

Répartition par type avion - Mars 2024

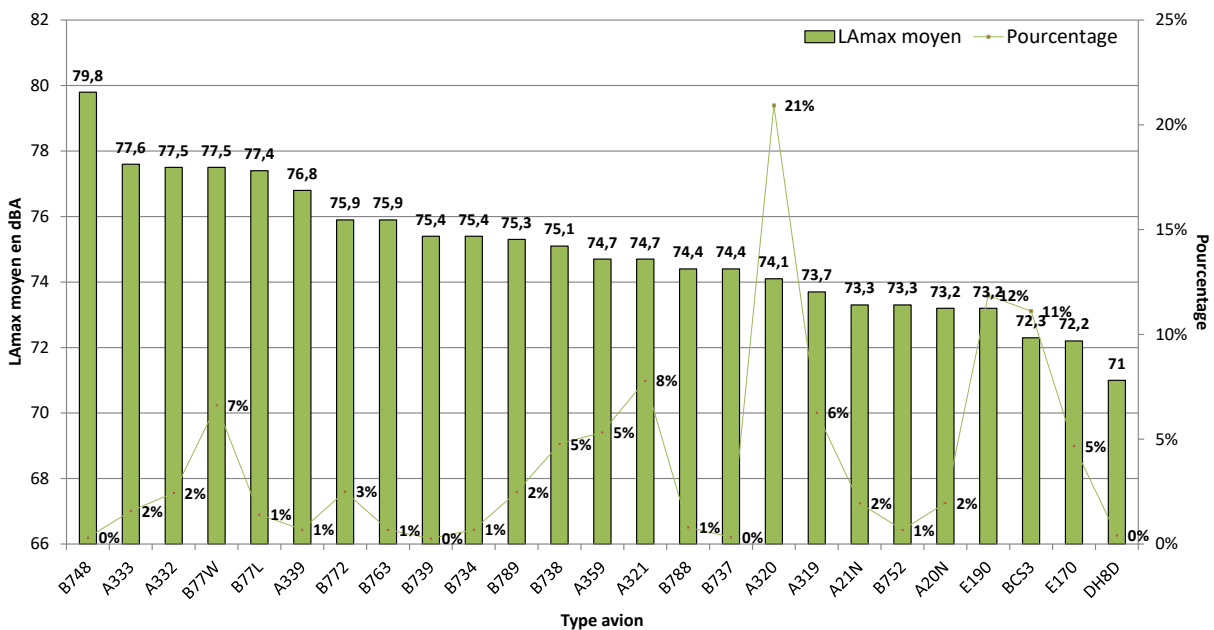
Nantouillet

Niveaux sonores LAmax moyens par type avion corrélés aux survols de l'aéroport de CDG
(20 mouvements mesurés au minimum par catégorie)

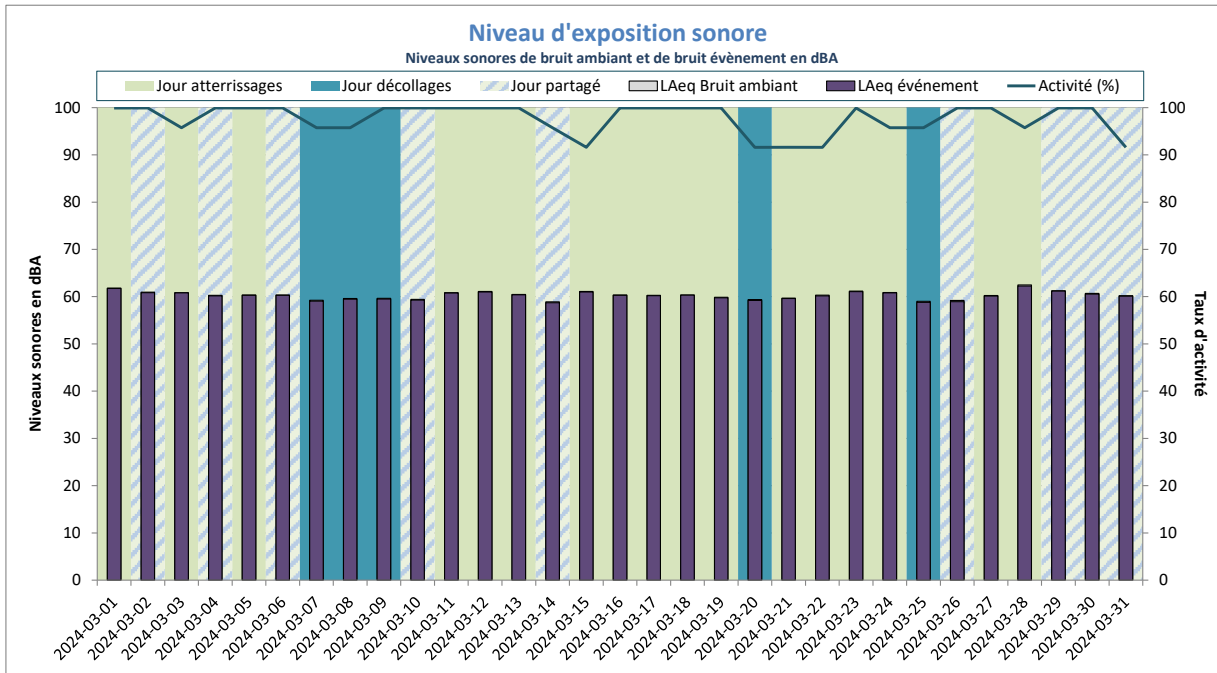
Décollages



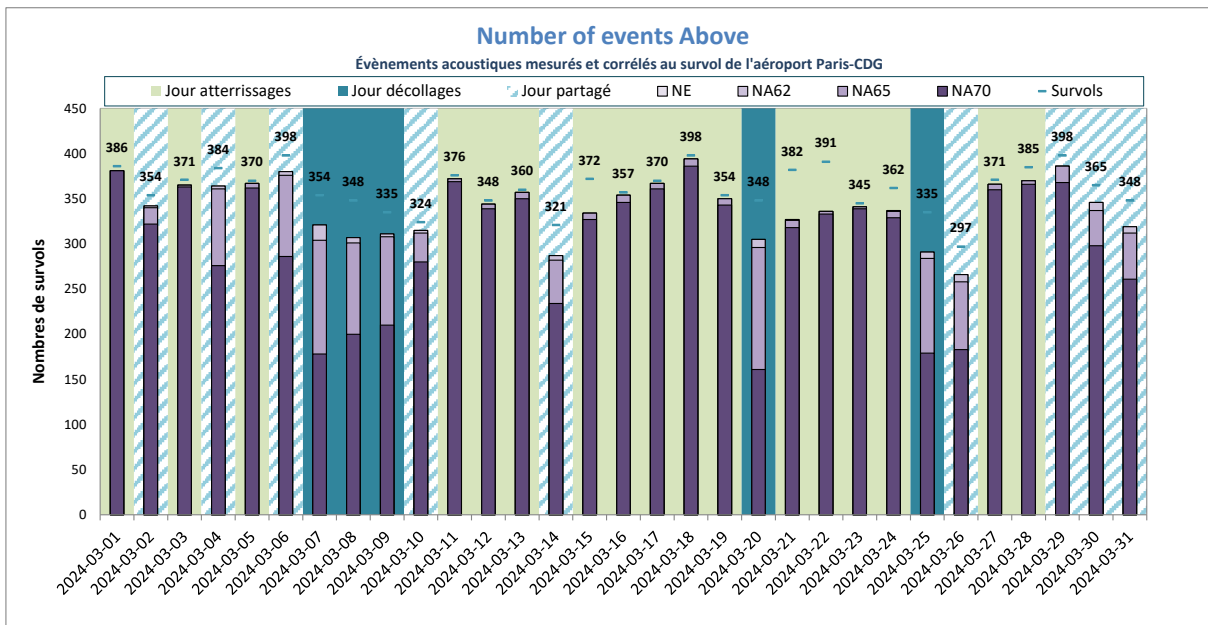
Atterrissages



NIVEAU D'EXPOSITION SONORE et NUMBER ABOVE - Nantouillet - Mars 2024



Activité (%) = taux de mesures valides



NE = Nombre d'événements mesurés et corrélés

NE moyen : 342
NA62 moyen : 342
NA65 moyen : 339
NA70 moyen : 303
Nb survols : 362

Saint-Pathus



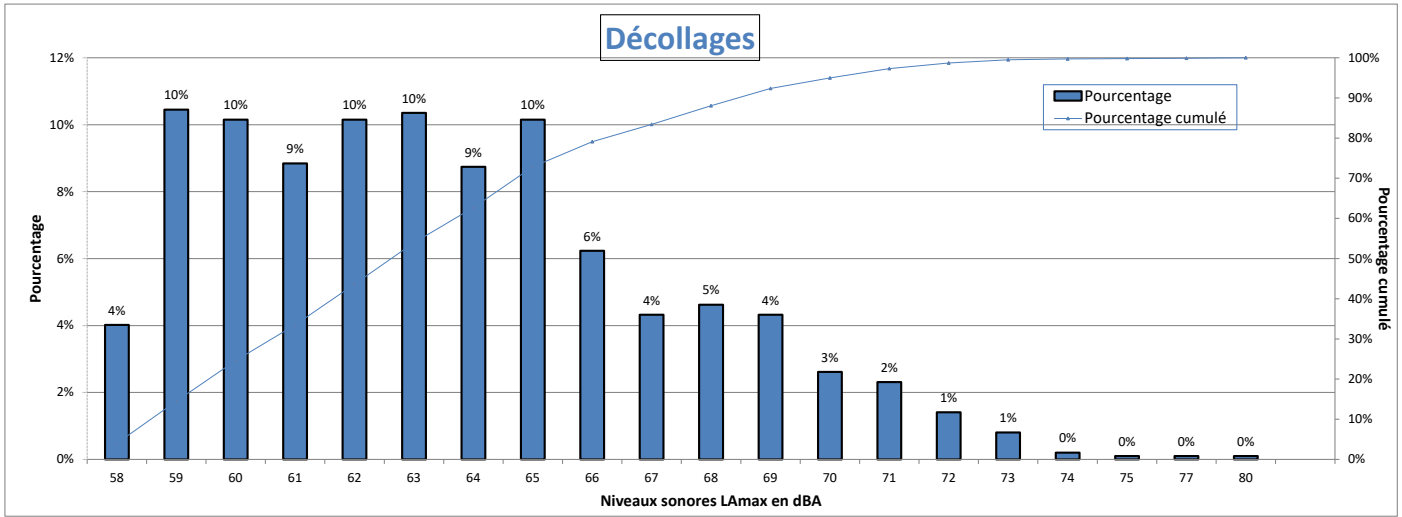
En raison d'un environnement sonore trop perturbé à Saint-Pathus, la quantité de données validées est trop faible pour pouvoir afficher des valeurs représentatives de ce site. Les pages concernant cette station de mesure ont donc été supprimées de ce rapport.

Saint-Soupplets

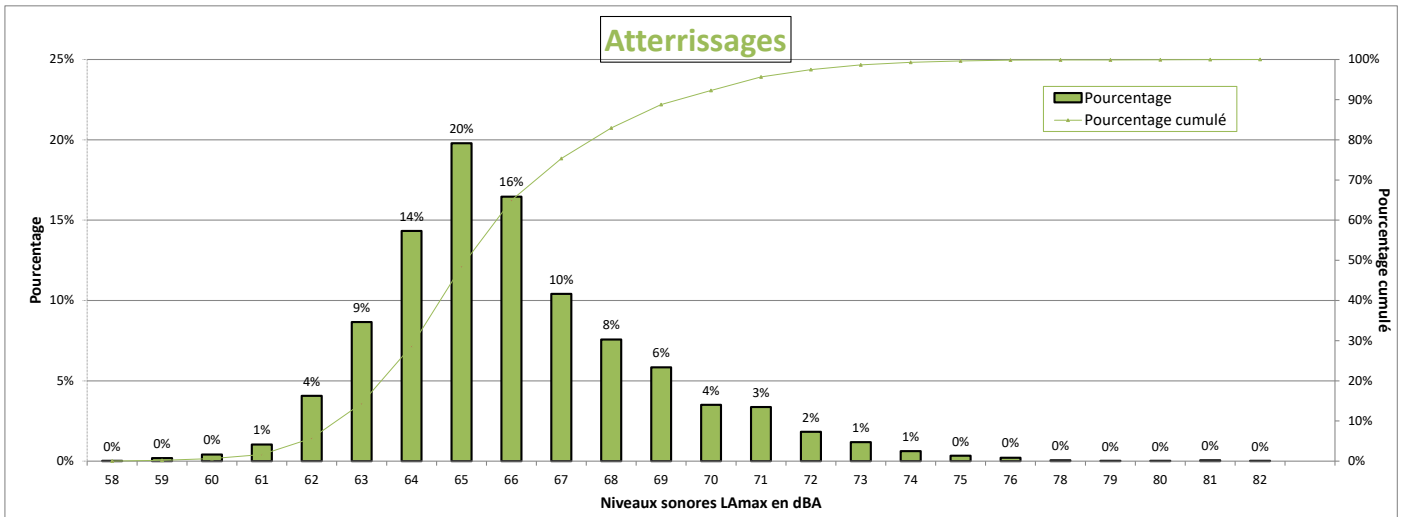


DISTRIBUTION STATISTIQUE - Saint-Souplets - Mars 2024

Distribution des niveaux sonores LMax corrélés aux survols de l'aéroport Paris - CDG



Nombre d'évènements mesurés : 995
 Moyenne arithmétique : 63,5 dBA
 Moyenne énergétique : 65,4 dBA



Nombre d'évènements mesurés : 4160
 Moyenne arithmétique : 66 dBA
 Moyenne énergétique : 67,1 dBA

Répartition par type avion - Atterrissages - Mars 2024

Saint-Souplets

| Présentation des principaux types avions et de leur répartition dans la flotte, corrélés aux survols de l'aéroport Paris-CDG | | | | | |
|--|-----------------|------|-------------------|-----------|-------------|
| Avion | Type avion OACI | WTC* | LAmx moyen en dBA | Nombre ** | Répartition |
| AIRBUS A320 | A320 | M | 65,7 | 846 | 20% |
| BOEING 737-800 | B738 | M | 65,6 | 397 | 10% |
| BOEING 777-300 (ER) | B77W | H | 66,3 | 347 | 8% |
| BOMBARDIER BD-500 Cseries CS300 | BCS3 | M | 65,8 | 289 | 7% |
| AIRBUS A321 | A321 | M | 65,6 | 227 | 5% |
| AIRBUS A320neo | A20N | M | 64,7 | 203 | 5% |
| AIRBUS A319 | A319 | M | 65,2 | 173 | 4% |
| BOEING 737-400 | B734 | M | 67,3 | 143 | 3% |
| AIRBUS A350-900 | A359 | H | 64,1 | 128 | 3% |
| BOEING 777-200 (LR) | B77L | H | 66 | 123 | 3% |
| BOEING 787-9 Dreamliner | B789 | H | 66,5 | 122 | 3% |
| AIRBUS A330-300 | A333 | H | 70,9 | 119 | 3% |
| BOEING 767-300 | B763 | H | 66,3 | 115 | 3% |
| EMBRAER 190/195 | E190 | M | 65,3 | 114 | 3% |
| BOEING 777-200 | B772 | H | 66,2 | 112 | 3% |
| BOEING 757-200 | B752 | M | 64 | 101 | 2% |
| AIRBUS A330-200 | A332 | H | 70,4 | 97 | 2% |
| AIRBUS A321neo | A21N | M | 65,6 | 88 | 2% |
| AIRBUS A380-800 | A388 | H | 69,8 | 65 | 2% |
| BOEING 787-800 | B788 | H | 66,8 | 37 | 1% |
| BOEING 737 MAX 8 | B38M | M | 64,9 | 36 | 1% |
| A330-900neo | A339 | H | 70,5 | 34 | 1% |
| ATR-72-600 | AT76 | M | 62,6 | 30 | 1% |
| EMBRAER 170/175 | E170 | M | 64,3 | 25 | 1% |
| EMBRAER 190/200 | E195 | M | 65,3 | 22 | 1% |
| #N/A | E290 | #N/A | 65,1 | 20 | 0% |
| DE HAVILLAND DHC-8-400 | DH8D | M | 61,9 | 20 | 0% |

* Wake Turbulence Category (H = Heavy, M = Medium, L = Light)

** Nombre d'événements mesurés et corrélés aux survols

Répartition par type avion - Décollage - Mars 2024

Saint-Souplets

| Présentation des principaux types avions et de leur répartition dans la flotte, corrélés aux survols de l'aéroport Paris-CDG | | | | | |
|--|-----------------|------|--------------------|-----------|-------------|
| Avion | Type avion OACI | WTC* | LAmox moyen en dBA | Nombre ** | Répartition |
| AIRBUS A320 | A320 | M | 62,3 | 183 | 18% |
| BOEING 777-300 (ER) | B77W | H | 66,4 | 110 | 11% |
| BOMBARDIER BD-500 Cseries CS300 | BCS3 | M | 59,9 | 89 | 9% |
| BOEING 737-800 | B738 | M | 62,7 | 81 | 8% |
| AIRBUS A321 | A321 | M | 64,4 | 63 | 6% |
| AIRBUS A319 | A319 | M | 62,1 | 60 | 6% |
| EMBRAER 190/195 | E190 | M | 63,4 | 59 | 6% |
| AIRBUS A350-900 | A359 | H | 64,6 | 46 | 5% |
| BOEING 777-200 (LR) | B77L | H | 65,6 | 45 | 5% |
| AIRBUS A380-800 | A388 | H | 66,6 | 35 | 4% |
| BOEING 787-9 Dreamliner | B789 | H | 65 | 31 | 3% |
| BOEING 737-400 | B734 | M | 63,7 | 29 | 3% |
| AIRBUS A330-300 | A333 | H | 68,2 | 21 | 2% |

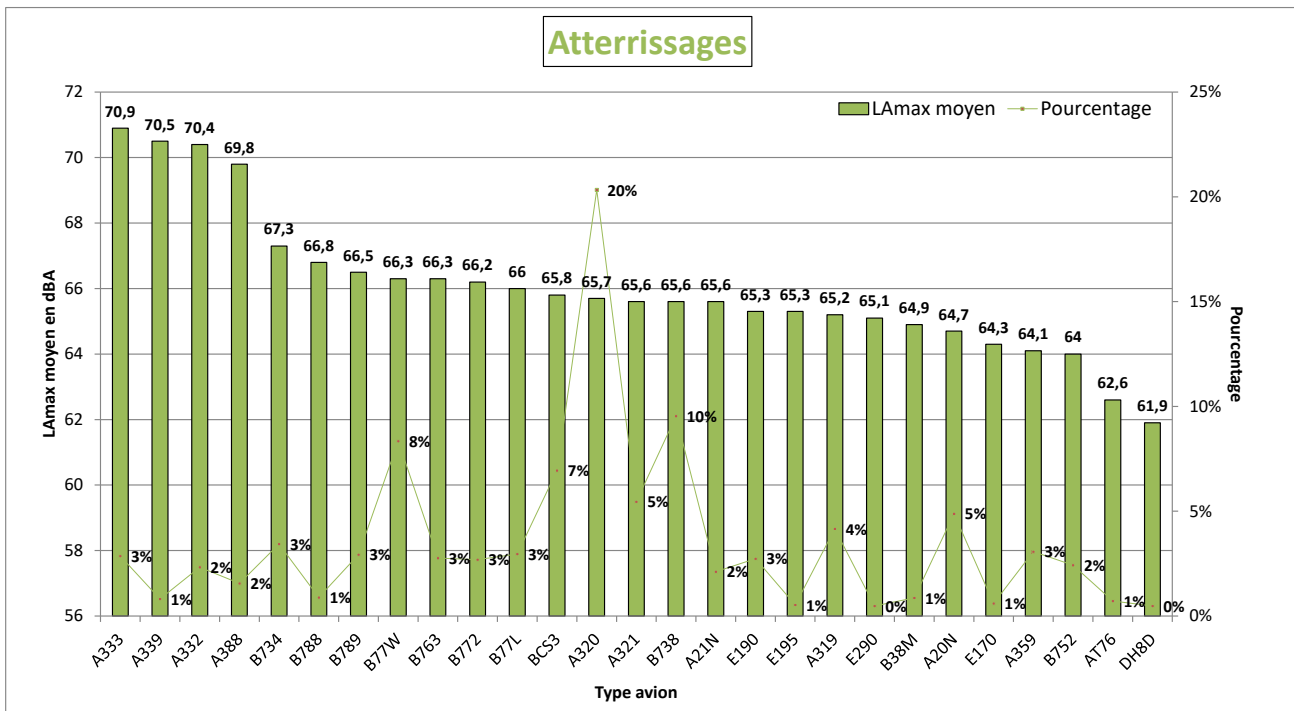
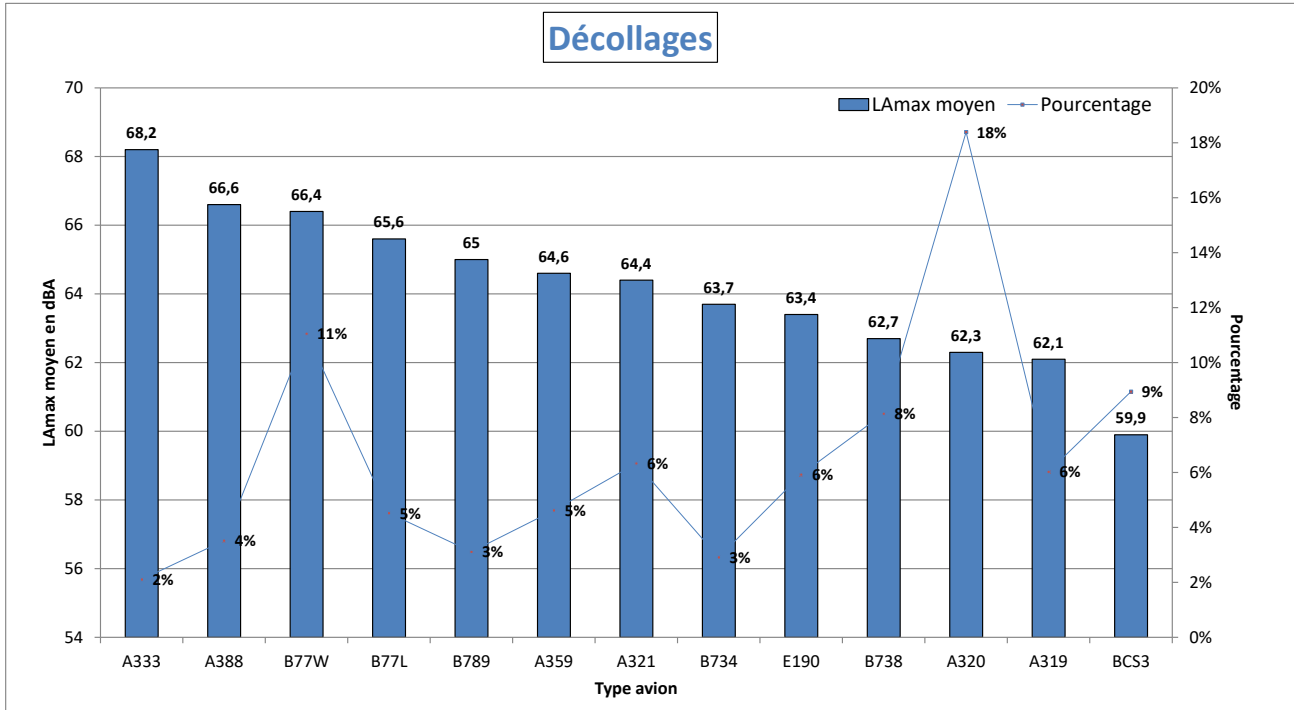
* Wake Turbulence Category (H = Heavy, M = Medium, L = Light)

** Nombre d'événements mesurés et corrélés aux survols

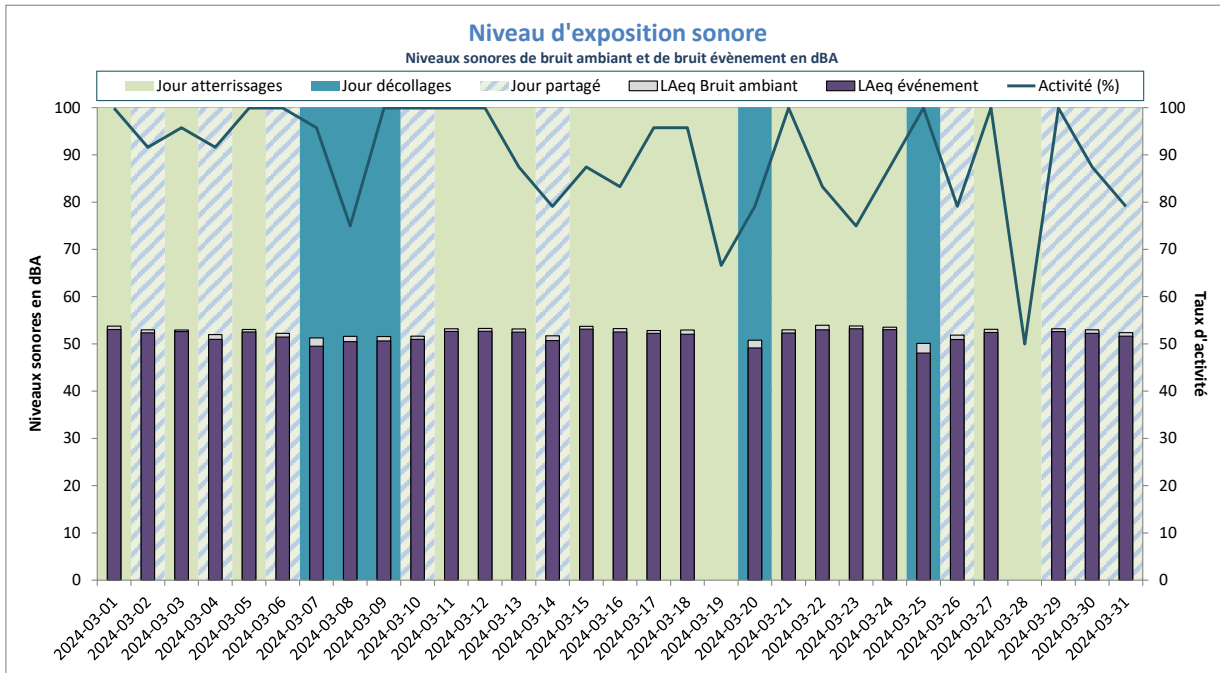
Répartition par type avion - Mars 2024

Saint-Souplets

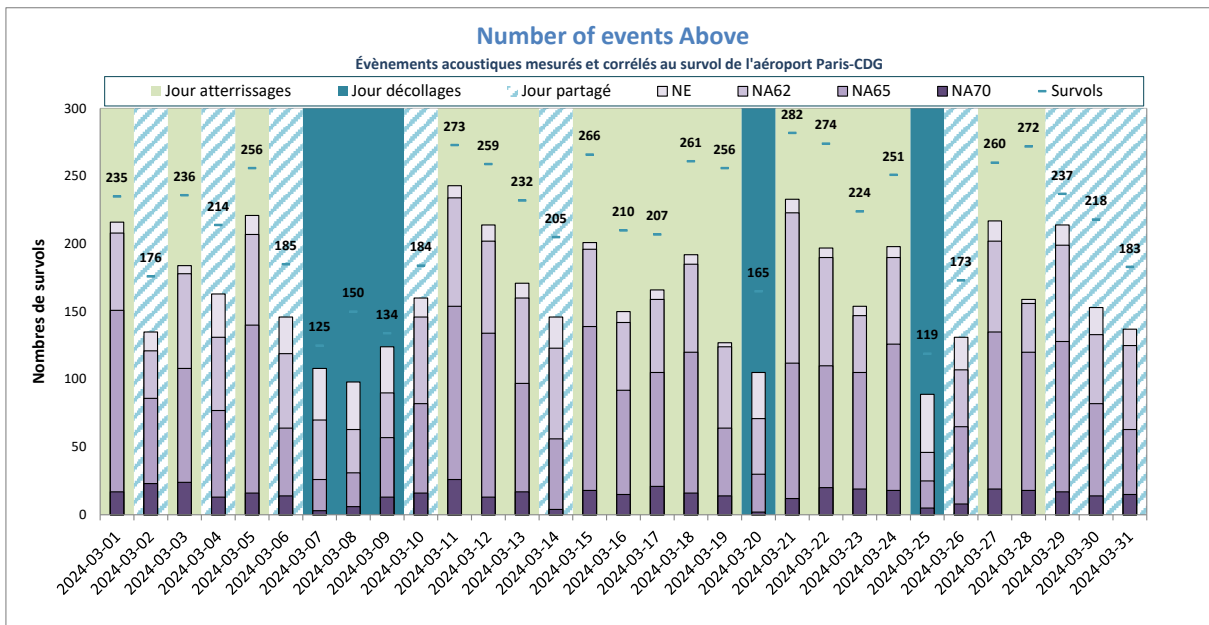
Niveaux sonores LAmax moyens par type avion corrélés aux survols de l'aéroport de CDG
(20 mouvements mesurés au minimum par catégorie)



NIVEAU D'EXPOSITION SONORE et NUMBER ABOVE - Saint-Soupplets - Mars 2024



Activité (%) = taux de mesures valides



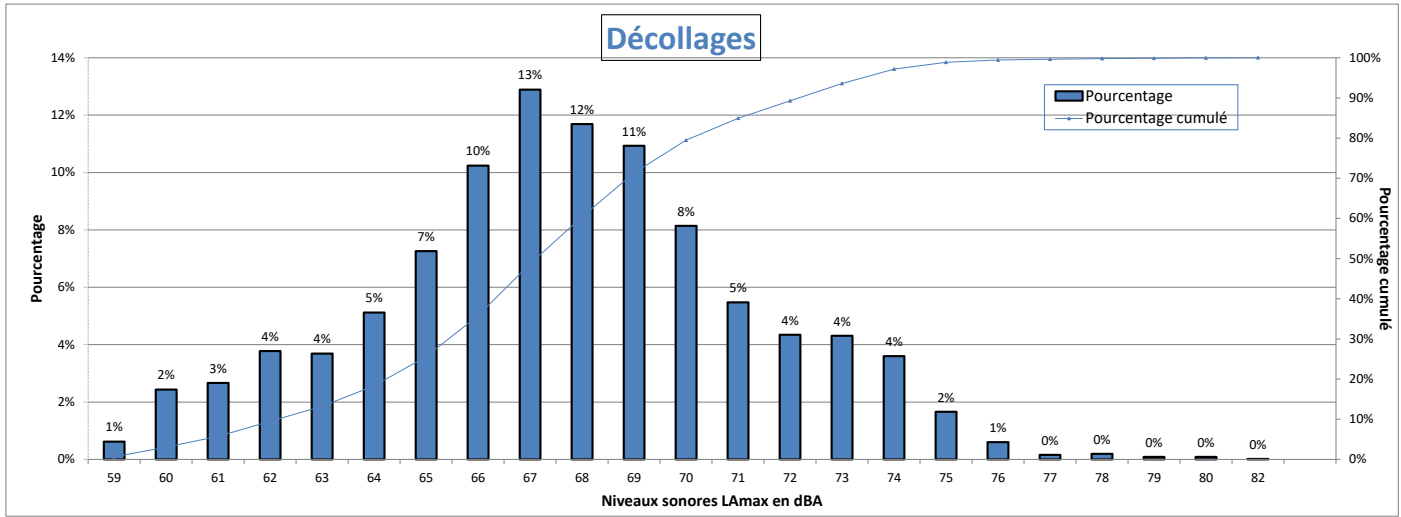
NE = Nombre d'événements mesurés et corrélés

Sarcelles

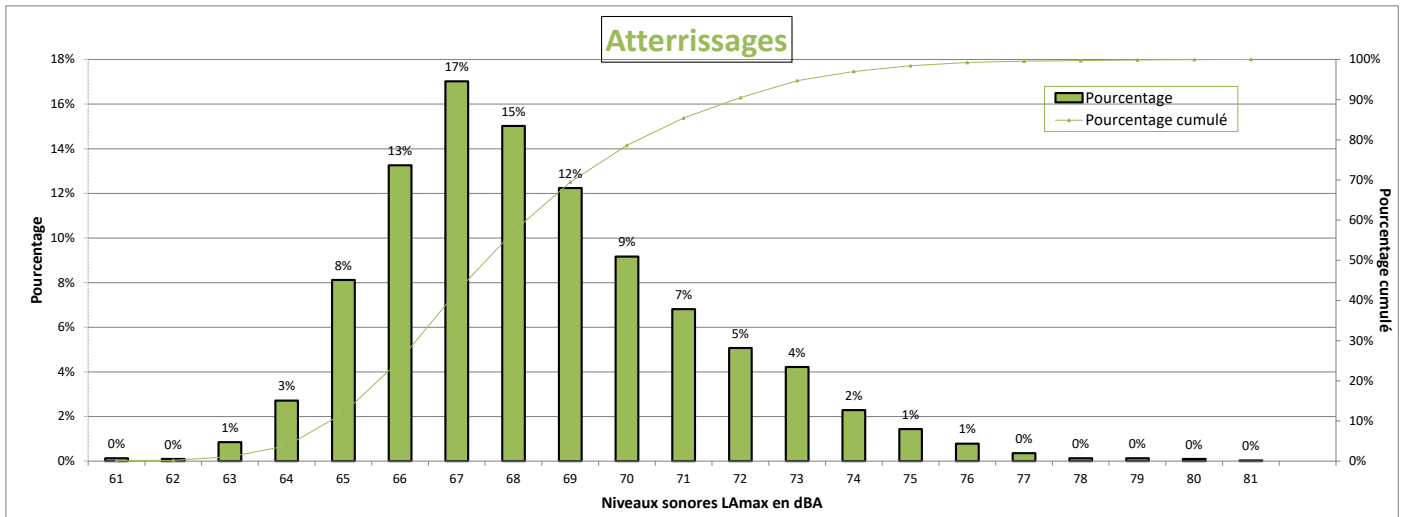


DISTRIBUTION STATISTIQUE - Sarcelles - Mars 2024

Distribution des niveaux sonores LMax corrélés aux survols de l'aéroport Paris - CDG



Nombre d'évènements mesurés : 5663
 Moyenne arithmétique : 67,6 dBA
 Moyenne énergétique : 69,1 dBA



Nombre d'évènements mesurés : 3055
 Moyenne arithmétique : 68,4 dBA
 Moyenne énergétique : 69,4 dBA

Répartition par type avion - Atterrissages - Mars 2024

Sarcelles

| Présentation des principaux types avions et de leur répartition dans la flotte, corrélés aux survols de l'aéroport Paris-CDG | | | | | |
|--|-----------------|------|--------------------|-----------|-------------|
| Avion | Type avion OACI | WTC* | LAmox moyen en dBA | Nombre ** | Répartition |
| AIRBUS A320 | A320 | M | 67,9 | 625 | 20% |
| EMBRAER 190/195 | E190 | M | 67,4 | 409 | 13% |
| BOMBARDIER BD-500 Cseries CS300 | BCS3 | M | 67,2 | 345 | 11% |
| AIRBUS A321 | A321 | M | 68,3 | 231 | 8% |
| BOEING 777-300 (ER) | B77W | H | 70,2 | 209 | 7% |
| AIRBUS A350-900 | A359 | H | 69,4 | 182 | 6% |
| AIRBUS A319 | A319 | M | 67,7 | 176 | 6% |
| EMBRAER 170/175 | E170 | M | 66,4 | 147 | 5% |
| BOEING 737-800 | B738 | M | 68,8 | 139 | 5% |
| AIRBUS A330-200 | A332 | H | 73,8 | 86 | 3% |
| BOEING 787-9 Dreamliner | B789 | H | 68,7 | 77 | 3% |
| BOEING 777-200 | B772 | H | 69,1 | 73 | 2% |
| AIRBUS A321neo | A21N | M | 68,4 | 61 | 2% |
| AIRBUS A330-300 | A333 | H | 72,6 | 41 | 1% |
| BOEING 777-200 (LR) | B77L | H | 70,6 | 40 | 1% |
| AIRBUS A320neo | A20N | M | 67 | 40 | 1% |
| BOEING 787-800 | B788 | H | 70,1 | 24 | 1% |
| A330-900neo | A339 | H | 71,8 | 22 | 1% |

* Wake Turbulence Category (H = Heavy, M = Medium, L = Light)

** Nombre d'événements mesurés et corrélés aux survols

Répartition par type avion - Décollage - Mars 2024

Sarcelles

| Présentation des principaux types avions et de leur répartition dans la flotte, corrélés aux survols de l'aéroport Paris-CDG | | | | | |
|--|-----------------|------|--------------------|-----------|-------------|
| Avion | Type avion OACI | WTC* | LAmox moyen en dBA | Nombre ** | Répartition |
| AIRBUS A320 | A320 | M | 67,2 | 1158 | 20% |
| EMBRAER 190/195 | E190 | M | 66,1 | 697 | 12% |
| AIRBUS A321 | A321 | M | 69,7 | 547 | 10% |
| BOMBARDIER BD-500 Cseries CS300 | BCS3 | M | 61,8 | 494 | 9% |
| BOEING 777-300 (ER) | B77W | H | 72,6 | 396 | 7% |
| AIRBUS A350-900 | A359 | H | 68,3 | 320 | 6% |
| EMBRAER 170/175 | E170 | M | 64,6 | 305 | 5% |
| AIRBUS A319 | A319 | M | 66,7 | 287 | 5% |
| BOEING 737-800 | B738 | M | 67,7 | 274 | 5% |
| AIRBUS A330-200 | A332 | H | 72,7 | 205 | 4% |
| BOEING 777-200 | B772 | H | 72,3 | 158 | 3% |
| BOEING 787-9 Dreamliner | B789 | H | 69,7 | 139 | 2% |
| AIRBUS A321neo | A21N | M | 64,8 | 94 | 2% |
| AIRBUS A330-300 | A333 | H | 72,5 | 89 | 2% |
| AIRBUS A320neo | A20N | M | 63,3 | 87 | 2% |
| BOEING 777-200 (LR) | B77L | H | 71,1 | 82 | 1% |
| A330-900neo | A339 | H | 68,7 | 42 | 1% |
| BOEING 767-300 | B763 | H | 65,7 | 42 | 1% |
| BOEING 787-800 | B788 | H | 67,1 | 38 | 1% |
| BOEING 757-200 | B752 | M | 63 | 38 | 1% |
| BOEING 737-400 | B734 | M | 68,4 | 37 | 1% |

* Wake Turbulence Category (H = Heavy, M = Medium, L = Light)

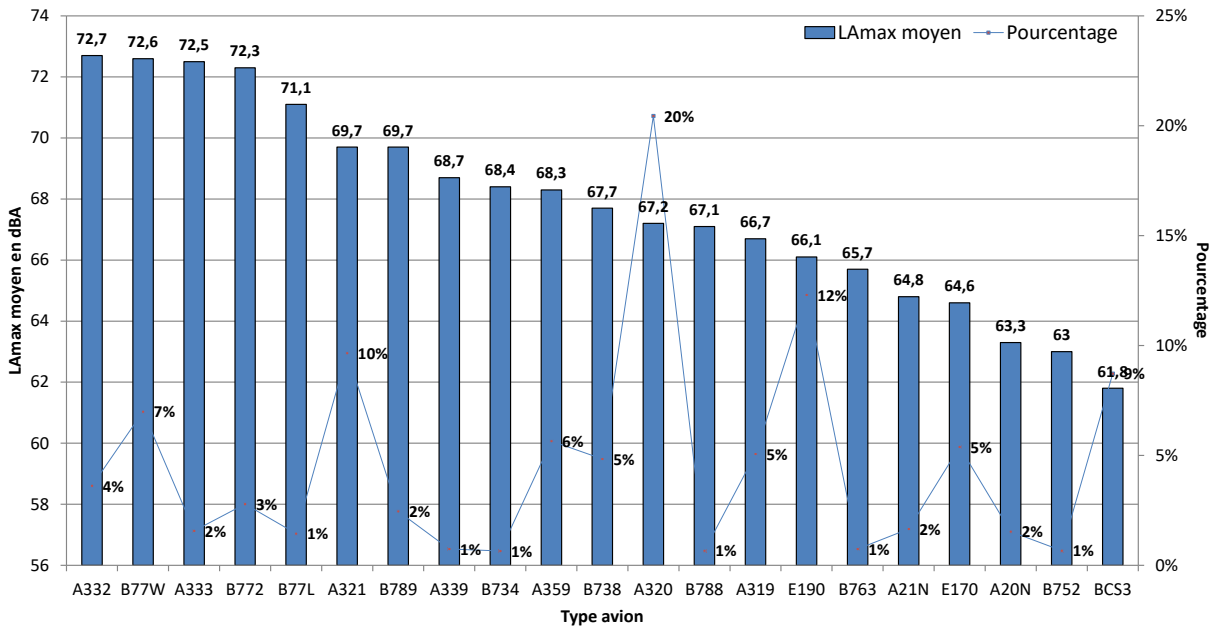
** Nombre d'événements mesurés et corrélés aux survols

Répartition par type avion - Mars 2024

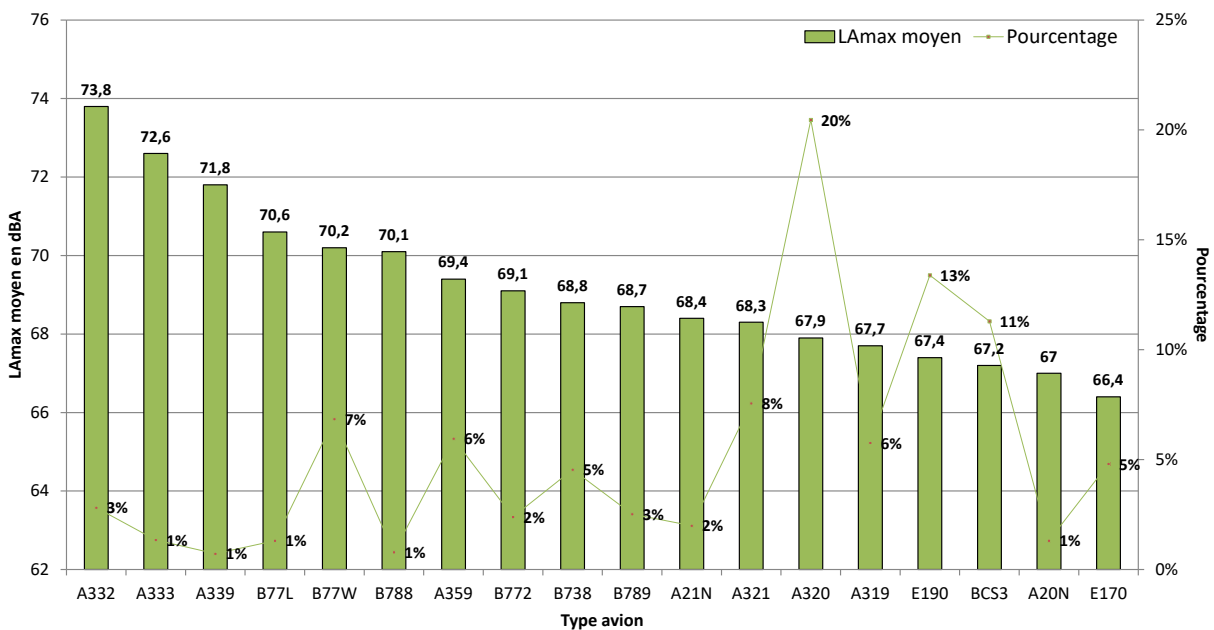
Sarcelles

Niveaux sonores LAmax moyens par type avion corrélés aux survols de l'aéroport de CDG
(20 mouvements mesurés au minimum par catégorie)

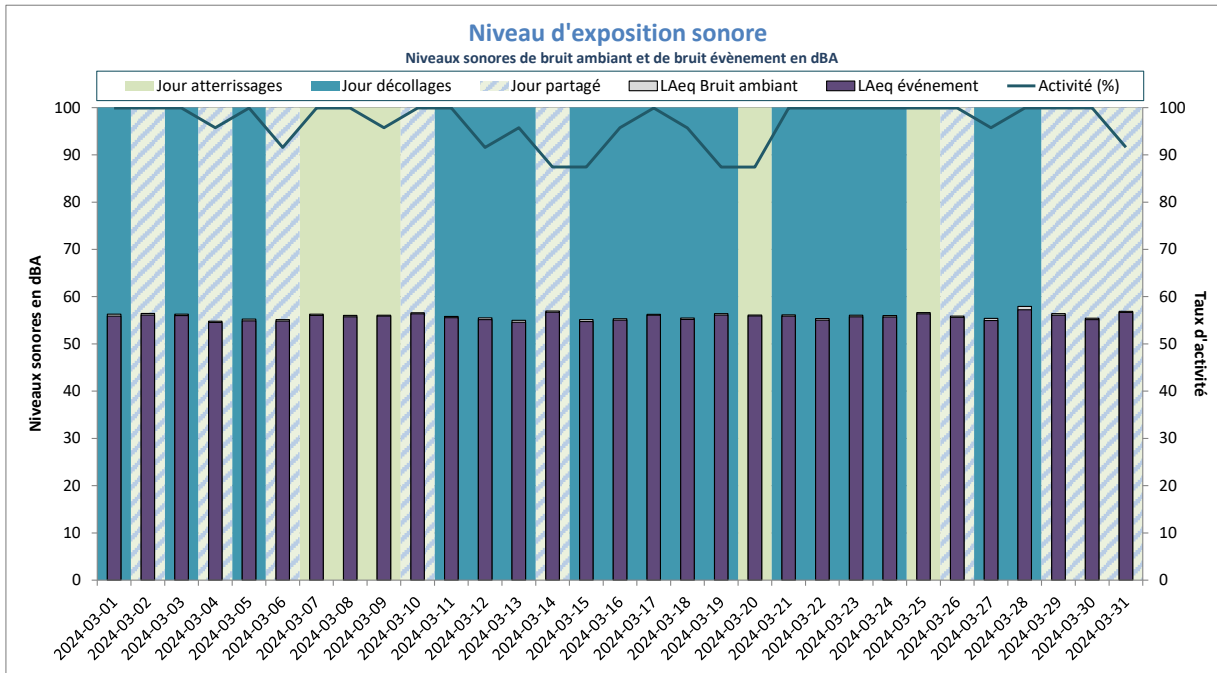
Décollages



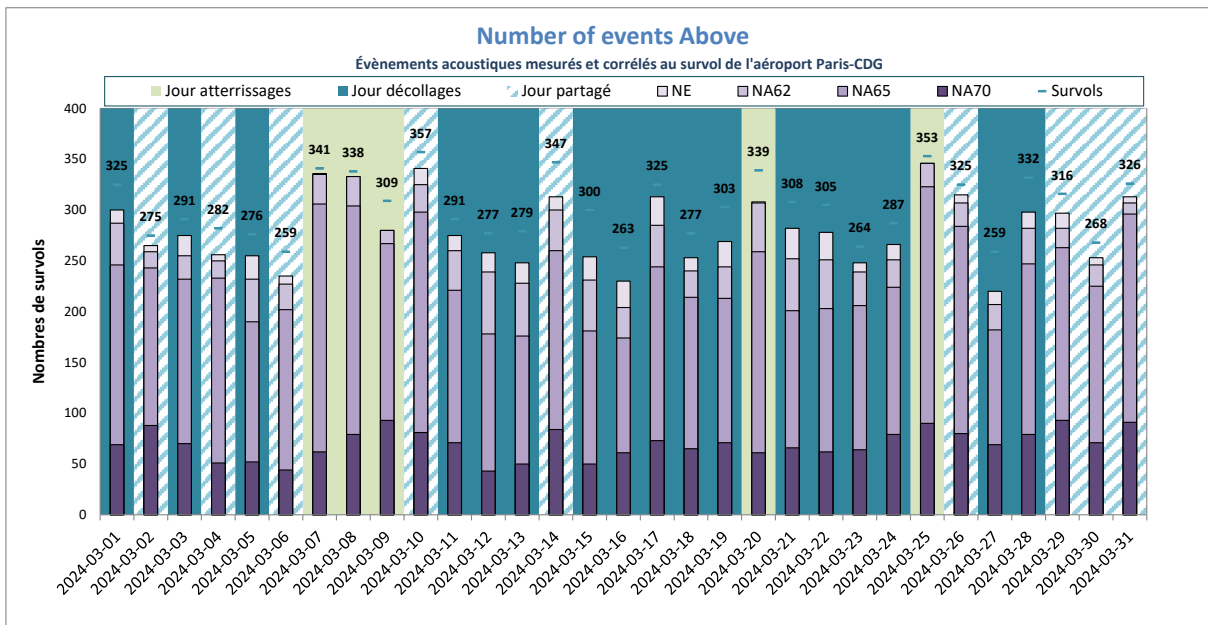
Atterrissages



NIVEAU D'EXPOSITION SONORE et NUMBER ABOVE - Sarcelles - Mars 2024



Activité (%) = taux de mesures valides



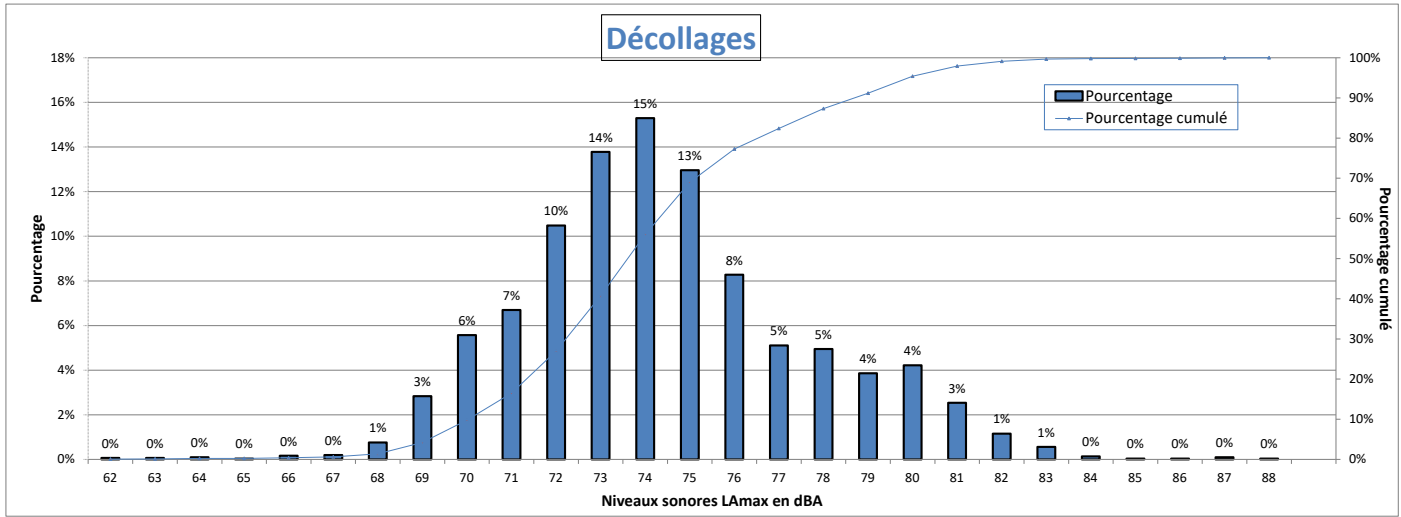
NE = Nombre d'évènements mesurés et corrélés

Thieux E2

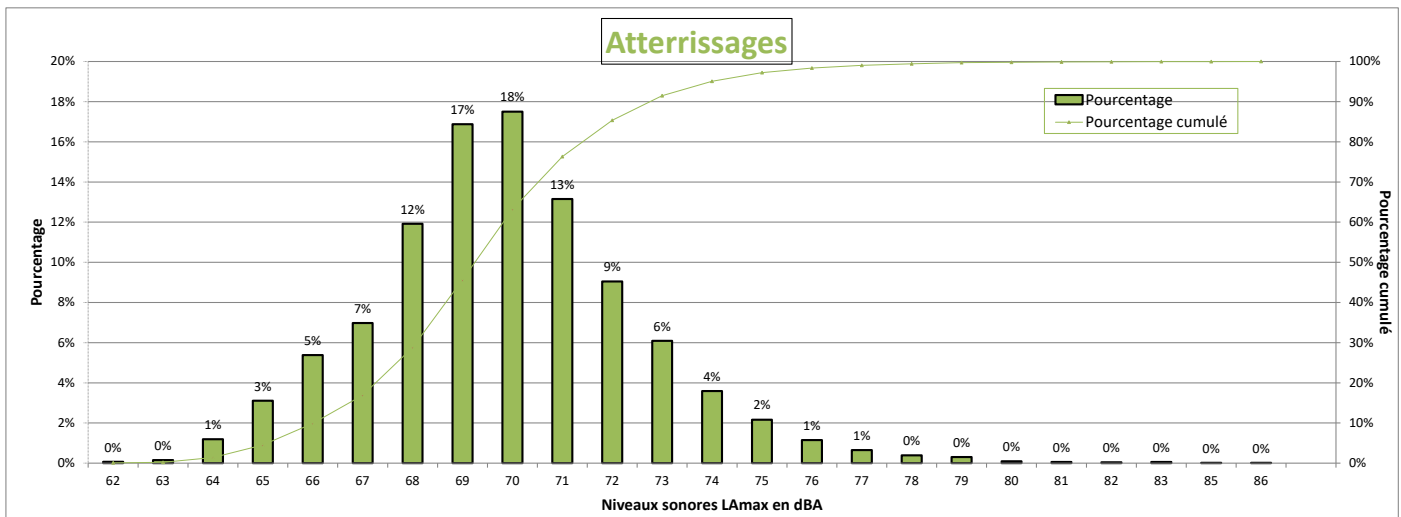


DISTRIBUTION STATISTIQUE - Thieux E2 - Mars 2024

Distribution des niveaux sonores L_{max} corrélés aux survols de l'aéroport Paris - CDG



Nombre d'évènements mesurés : 3033
 Moyenne arithmétique : 74,4 dBA
 Moyenne énergétique : 75,7 dBA



Nombre d'évènements mesurés : 7209
 Moyenne arithmétique : 69,8 dBA
 Moyenne énergétique : 70,8 dBA

Répartition par type avion - Atterrissages - Mars 2024

Thieux E2

| Présentation des principaux types avions et de leur répartition dans la flotte, corrélés aux survols de l'aéroport Paris-CDG | | | | | |
|--|-----------------|------|-------------------|-----------|-------------|
| Avion | Type avion OACI | WTC* | LAmx moyen en dBA | Nombre ** | Répartition |
| AIRBUS A320 | A320 | M | 69,6 | 1514 | 21% |
| EMBRAER 190/195 | E190 | M | 70 | 872 | 12% |
| BOMBARDIER BD-500 Cseries CS300 | BCS3 | M | 66,5 | 824 | 11% |
| AIRBUS A321 | A321 | M | 70,4 | 580 | 8% |
| BOEING 777-300 (ER) | B77W | H | 73,6 | 463 | 6% |
| AIRBUS A319 | A319 | M | 69,2 | 448 | 6% |
| AIRBUS A350-900 | A359 | H | 70,1 | 372 | 5% |
| BOEING 737-800 | B738 | M | 70,9 | 349 | 5% |
| EMBRAER 170/175 | E170 | M | 67,8 | 336 | 5% |
| BOEING 777-200 | B772 | H | 71,6 | 173 | 2% |
| BOEING 787-9 Dreamliner | B789 | H | 70 | 173 | 2% |
| AIRBUS A330-200 | A332 | H | 72,5 | 169 | 2% |
| AIRBUS A320neo | A20N | M | 67,5 | 145 | 2% |
| AIRBUS A321neo | A21N | M | 67,4 | 136 | 2% |
| AIRBUS A330-300 | A333 | H | 72 | 107 | 1% |
| BOEING 777-200 (LR) | B77L | H | 73,2 | 100 | 1% |
| BOEING 737-400 | B734 | M | 73,8 | 53 | 1% |
| BOEING 767-300 | B763 | H | 72,2 | 53 | 1% |
| A330-900neo | A339 | H | 71 | 51 | 1% |
| BOEING 787-800 | B788 | H | 69,2 | 49 | 1% |
| BOEING 757-200 | B752 | M | 69 | 48 | 1% |
| DE HAVILLAND DHC-8-400 | DH8D | M | 65,2 | 31 | 0% |
| BOEING 737-700 | B737 | M | 70 | 28 | 0% |
| BOEING 747-8 | B748 | H | 74,3 | 22 | 0% |

* Wake Turbulence Category (H = Heavy, M = Medium, L = Light)

** Nombre d'événements mesurés et corrélés aux survols

Répartition par type avion - Décollage - Mars 2024

Thieux E2

| Présentation des principaux types avions et de leur répartition dans la flotte, corrélés aux survols de l'aéroport Paris-CDG | | | | | |
|--|-----------------|------|-------------------|-----------|-------------|
| Avion | Type avion OACI | WTC* | LAmx moyen en dBA | Nombre ** | Répartition |
| AIRBUS A320 | A320 | M | 73,5 | 632 | 21% |
| EMBRAER 190/195 | E190 | M | 73,5 | 386 | 13% |
| BOMBARDIER BD-500 Cseries CS300 | BCS3 | M | 70,5 | 319 | 11% |
| AIRBUS A321 | A321 | M | 75,7 | 256 | 8% |
| BOEING 777-300 (ER) | B77W | H | 79,3 | 226 | 7% |
| AIRBUS A350-900 | A359 | H | 74,1 | 158 | 5% |
| AIRBUS A319 | A319 | M | 72,8 | 150 | 5% |
| EMBRAER 170/175 | E170 | M | 72,3 | 142 | 5% |
| BOEING 737-800 | B738 | M | 75,9 | 138 | 5% |
| AIRBUS A330-200 | A332 | H | 79,5 | 106 | 3% |
| BOEING 777-200 | B772 | H | 78,8 | 68 | 2% |
| BOEING 787-9 Dreamliner | B789 | H | 75,8 | 65 | 2% |
| AIRBUS A321neo | A21N | M | 72,8 | 55 | 2% |
| AIRBUS A320neo | A20N | M | 70,7 | 53 | 2% |
| AIRBUS A330-300 | A333 | H | 79,3 | 44 | 1% |
| BOEING 777-200 (LR) | B77L | H | 77,8 | 43 | 1% |
| BOEING 787-800 | B788 | H | 73,8 | 29 | 1% |
| A330-900neo | A339 | H | 74,9 | 25 | 1% |
| BOEING 767-300 | B763 | H | 73,4 | 24 | 1% |

* Wake Turbulence Category (H = Heavy, M = Medium, L = Light)

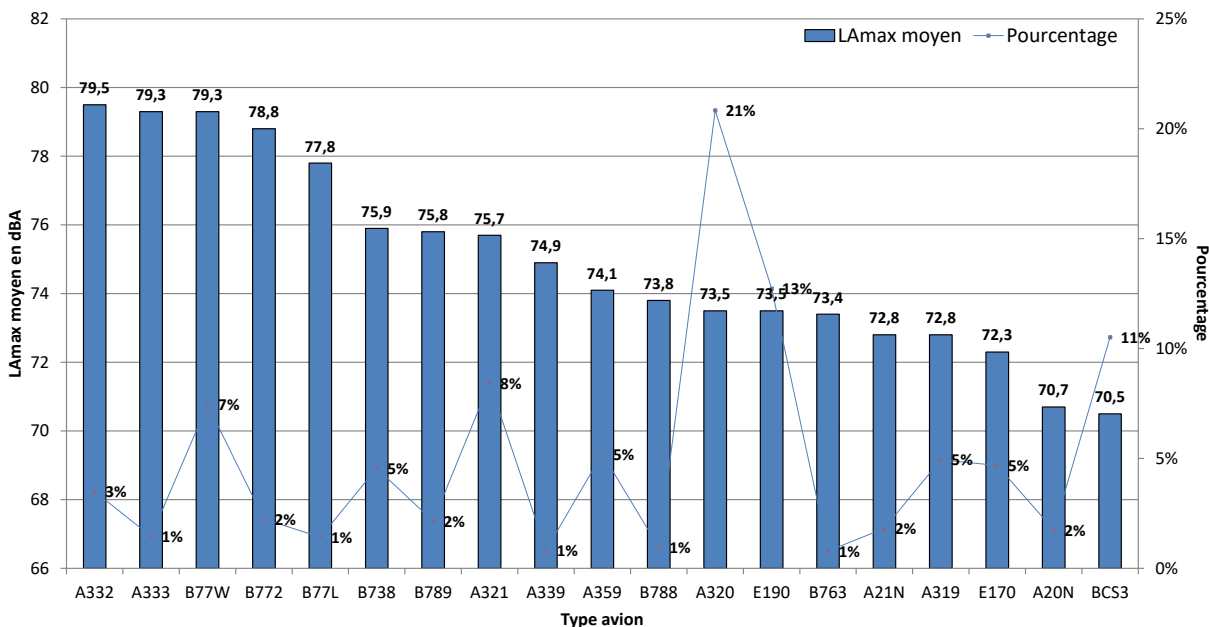
** Nombre d'événements mesurés et corrélés aux survols

Répartition par type avion - Mars 2024

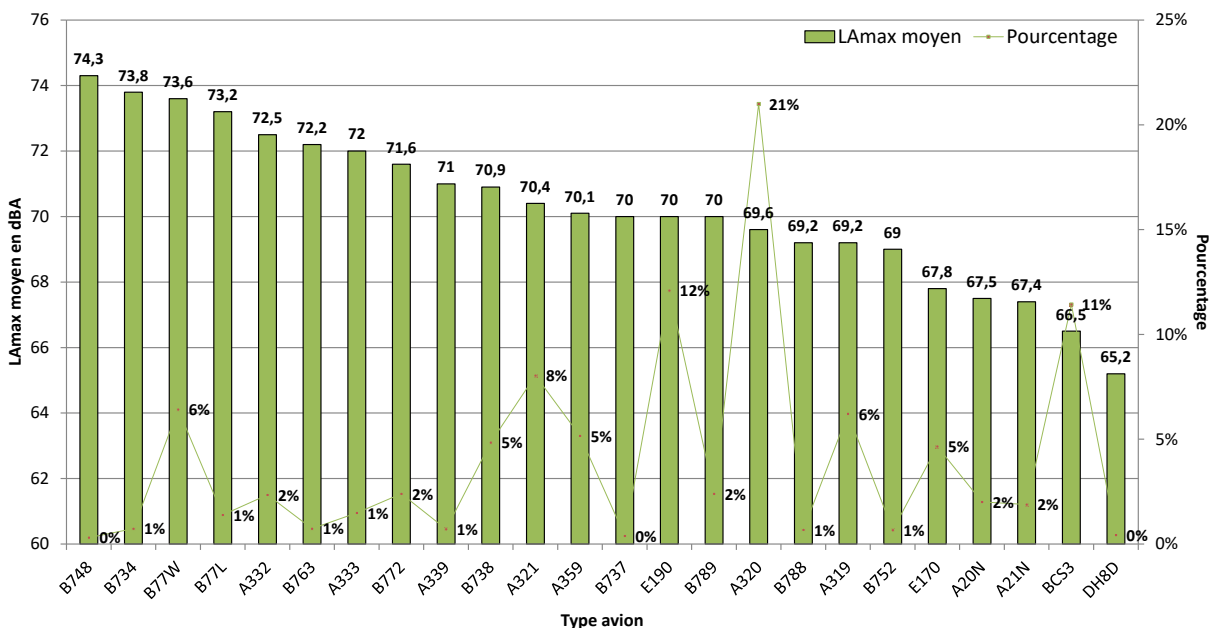
Thieux E2

Niveaux sonores LAmax moyens par type avion corrélés aux survols de l'aéroport de CDG
(20 mouvements mesurés au minimum par catégorie)

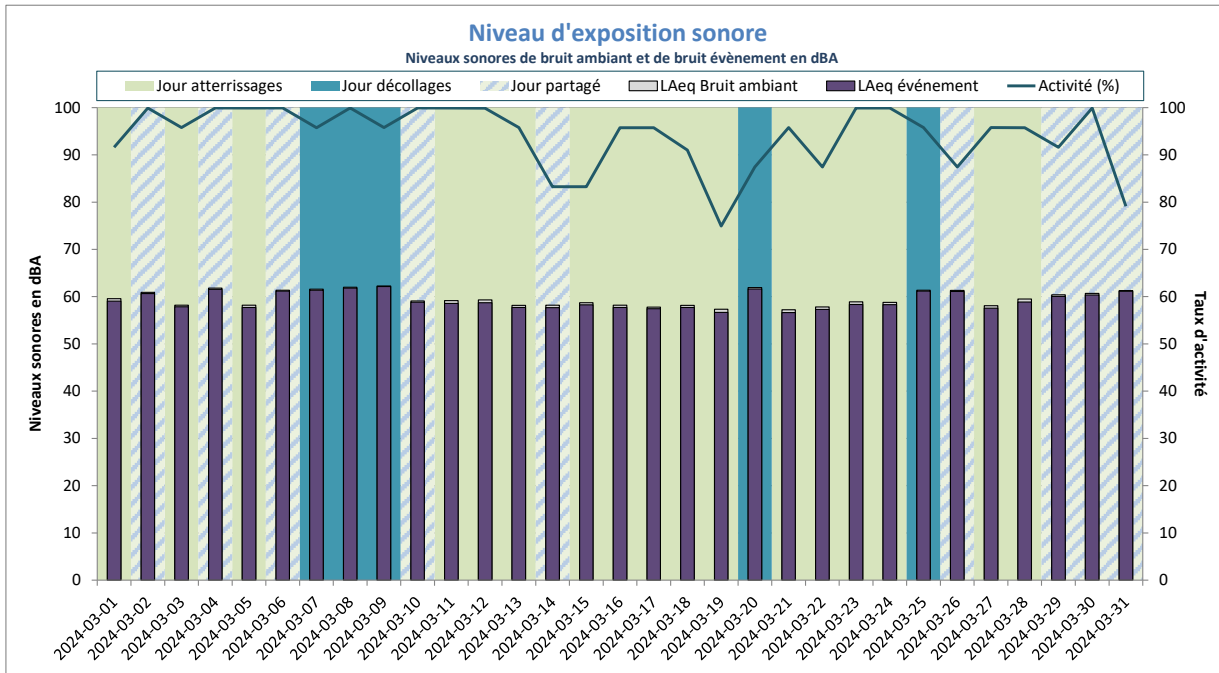
Décollages



Atterrissages

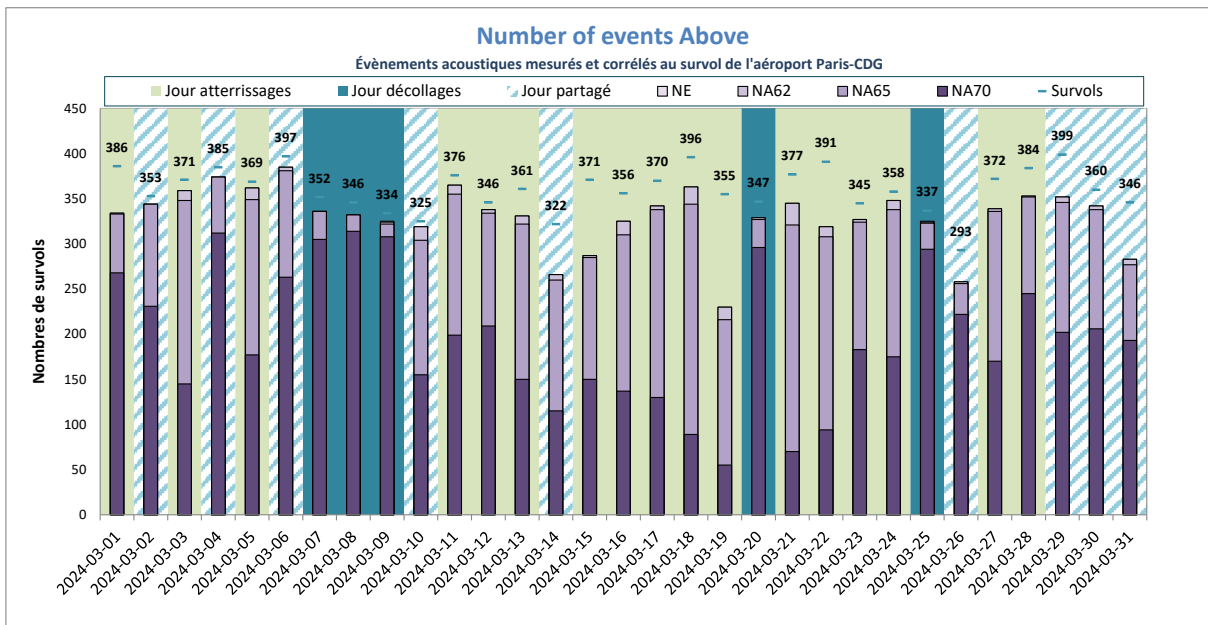


NIVEAU D'EXPOSITION SONORE et NUMBER ABOVE - Thieux E2 - Mars 2024



LAeq Bruit Ambiant : 60dBA
LAeq Bruit événement : 59dBA

Activité (%) = taux de mesures valides



NE moyen : 330
NA62 moyen : 330
NA65 moyen : 324
NA70 moyen : 196
Nb survols : 361

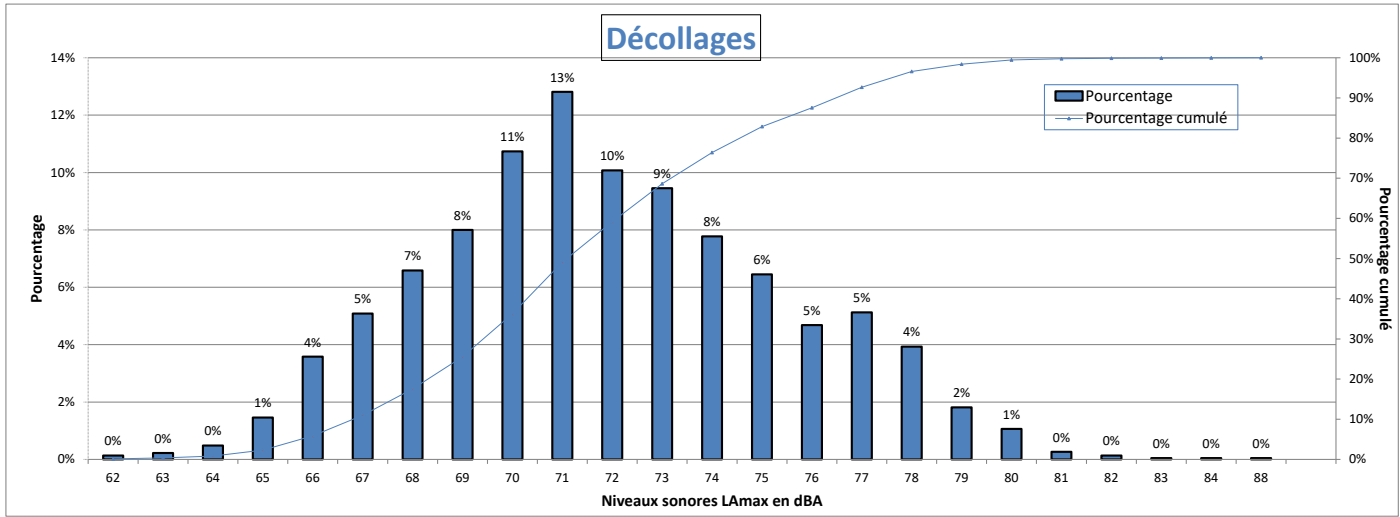
NE = Nombre d'événements mesurés et corrélés

Villeneuve-sous-Dammartin E1

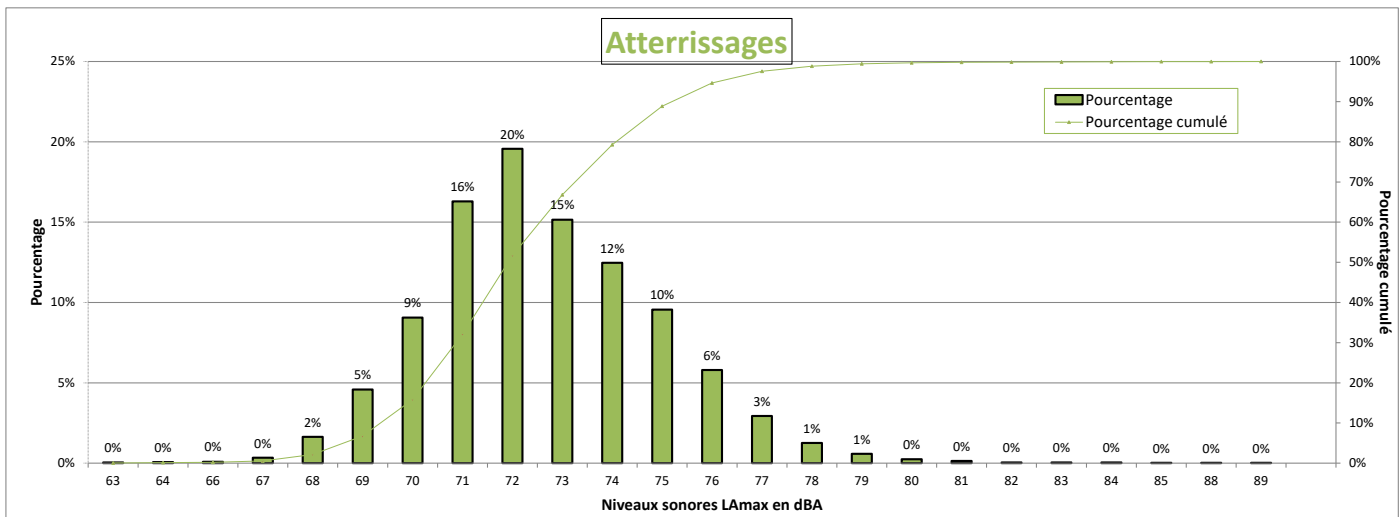


DISTRIBUTION STATISTIQUE - Villeneuve-sous-Dammartin E1 - Mars 2024

Distribution des niveaux sonores L_{Amax} corrélés aux survols de l'aéroport Paris - CDG



Nombre d'évènements mesurés : 2263
 Moyenne arithmétique : 71,9 dBA
 Moyenne énergétique : 73,4 dBA



Nombre d'évènements mesurés : 4468
 Moyenne arithmétique : 72,6 dBA
 Moyenne énergétique : 73,3 dBA

Répartition par type avion - Atterrissages - Mars 2024

Villeneuve-sous-Dammartin E1

| Présentation des principaux types avions et de leur répartition dans la flotte, corrélés aux survols de l'aéroport Paris-CDG | | | | | |
|--|-----------------|------|-------------------|-----------|-------------|
| Avion | Type avion OACI | WTC* | LAmx moyen en dBA | Nombre ** | Répartition |
| AIRBUS A320 | A320 | M | 71,9 | 942 | 21% |
| BOEING 737-800 | B738 | M | 72,5 | 406 | 9% |
| BOEING 777-300 (ER) | B77W | H | 75,6 | 368 | 8% |
| BOMBARDIER BD-500 Cseries CS300 | BCS3 | M | 70,2 | 315 | 7% |
| AIRBUS A321 | A321 | M | 72,4 | 244 | 5% |
| AIRBUS A320neo | A20N | M | 70,8 | 225 | 5% |
| AIRBUS A319 | A319 | M | 71,2 | 178 | 4% |
| BOEING 737-400 | B734 | M | 73,4 | 144 | 3% |
| AIRBUS A350-900 | A359 | H | 72,5 | 136 | 3% |
| BOEING 777-200 (LR) | B77L | H | 74,8 | 131 | 3% |
| BOIENG 787-9 Dreamliner | B789 | H | 73,4 | 126 | 3% |
| EMBRAER 190/195 | E190 | M | 71,1 | 126 | 3% |
| BOEING 767-300 | B763 | H | 75,1 | 125 | 3% |
| AIRBUS A330-300 | A333 | H | 75,1 | 120 | 3% |
| BOEING 777-200 | B772 | H | 74,5 | 119 | 3% |
| AIRBUS A321neo | A21N | M | 71,4 | 103 | 2% |
| BOEING 757-200 | B752 | M | 71,6 | 102 | 2% |
| AIRBUS A330-200 | A332 | H | 74,7 | 99 | 2% |
| AIRBUS A380-800 | A388 | H | 75,2 | 70 | 2% |
| BOEING 737 MAX 8 | B38M | M | 72 | 47 | 1% |
| BOEING 787-300 | B788 | H | 72,9 | 38 | 1% |
| A330-900neo | A339 | H | 75,1 | 36 | 1% |
| ATR-72-600 | AT76 | M | 69,5 | 31 | 1% |
| EMBRAER 170/175 | E170 | M | 69,9 | 29 | 1% |
| EMBRAER 190/200 | E195 | M | 71,6 | 25 | 1% |
| DE HAVILLAND DHC-8-400 | DH8D | M | 68,9 | 23 | 1% |
| #N/A | E290 | #N/A | 72,5 | 20 | 0% |

* Wake Turbulence Category (H = Heavy, M = Medium, L = Light)

** Nombre d'événements mesurés et corrélés aux survols

Répartition par type avion - Décollage - Mars 2024

Villeneuve-sous-Dammartin E1

| Présentation des principaux types avions et de leur répartition dans la flotte, corrélés aux survols de l'aéroport Paris-CDG | | | | | |
|--|-----------------|------|--------------------|-----------|-------------|
| Avion | Type avion OACI | WTC* | LAmox moyen en dBA | Nombre ** | Répartition |
| AIRBUS A320 | A320 | M | 70,7 | 484 | 21% |
| BOMBARDIER BD-500 Cseries CS300 | BCS3 | M | 67,1 | 206 | 9% |
| BOEING 737-800 | B738 | M | 73 | 181 | 8% |
| BOEING 777-300 (ER) | B77W | H | 76,5 | 178 | 8% |
| AIRBUS A319 | A319 | M | 70,3 | 137 | 6% |
| AIRBUS A321 | A321 | M | 73,3 | 103 | 5% |
| AIRBUS A320neo | A20N | M | 67,7 | 94 | 4% |
| AIRBUS A350-900 | A359 | H | 72,1 | 87 | 4% |
| BOEING 787-9 Dreamliner | B789 | H | 73,6 | 81 | 4% |
| EMBRAER 190/195 | E190 | M | 70 | 79 | 3% |
| AIRBUS A330-300 | A333 | H | 77 | 71 | 3% |
| BOEING 777-200 (LR) | B77L | H | 74 | 69 | 3% |
| BOEING 737-400 | B734 | M | 73 | 64 | 3% |
| AIRBUS A321neo | A21N | M | 70,6 | 61 | 3% |
| BOEING 777-200 | B772 | H | 77,8 | 57 | 3% |
| BOEING 757-200 | B752 | M | 69,1 | 45 | 2% |
| BOEING 767-300 | B763 | H | 73 | 44 | 2% |
| AIRBUS A380-800 | A388 | H | 78,9 | 29 | 1% |
| EMBRAER 170/175 | E170 | M | 69,9 | 21 | 1% |
| AIRBUS A330-200 | A332 | H | 76,1 | 20 | 1% |

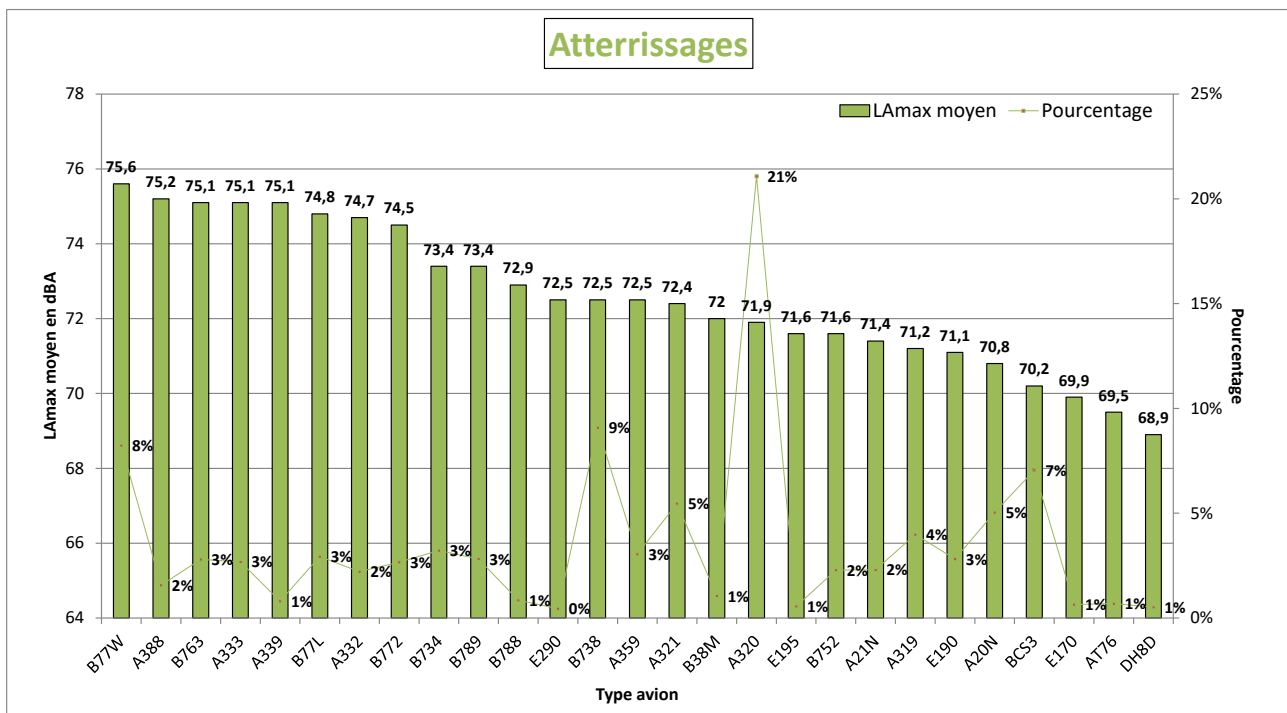
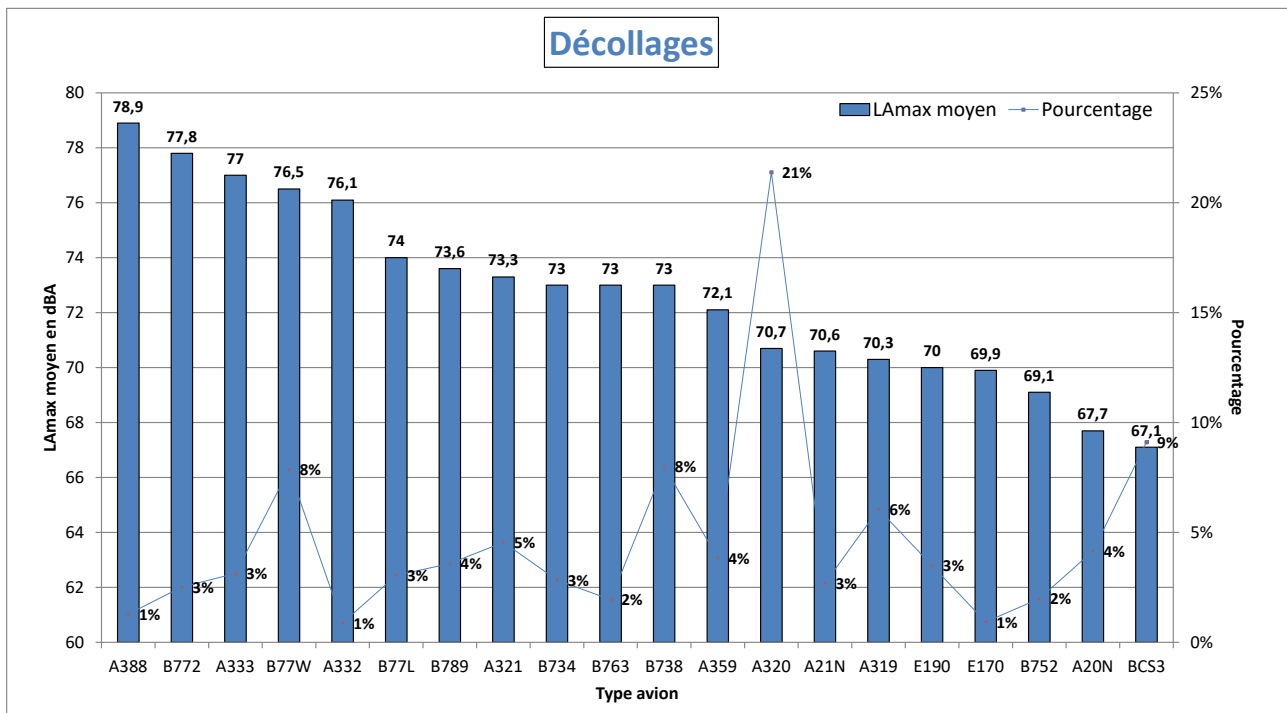
* Wake Turbulence Category (H = Heavy, M = Medium, L = Light)

** Nombre d'événements mesurés et corrélés aux survols

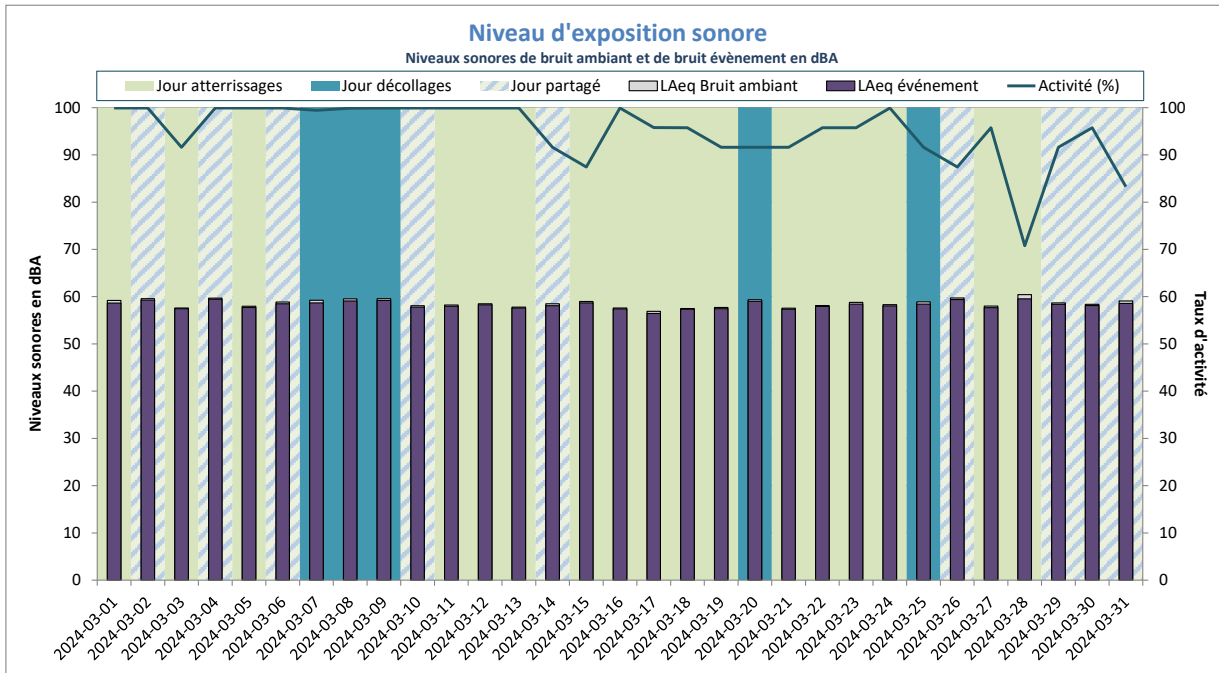
Répartition par type avion - Mars 2024

Villeneuve-sous-Dammartin E1

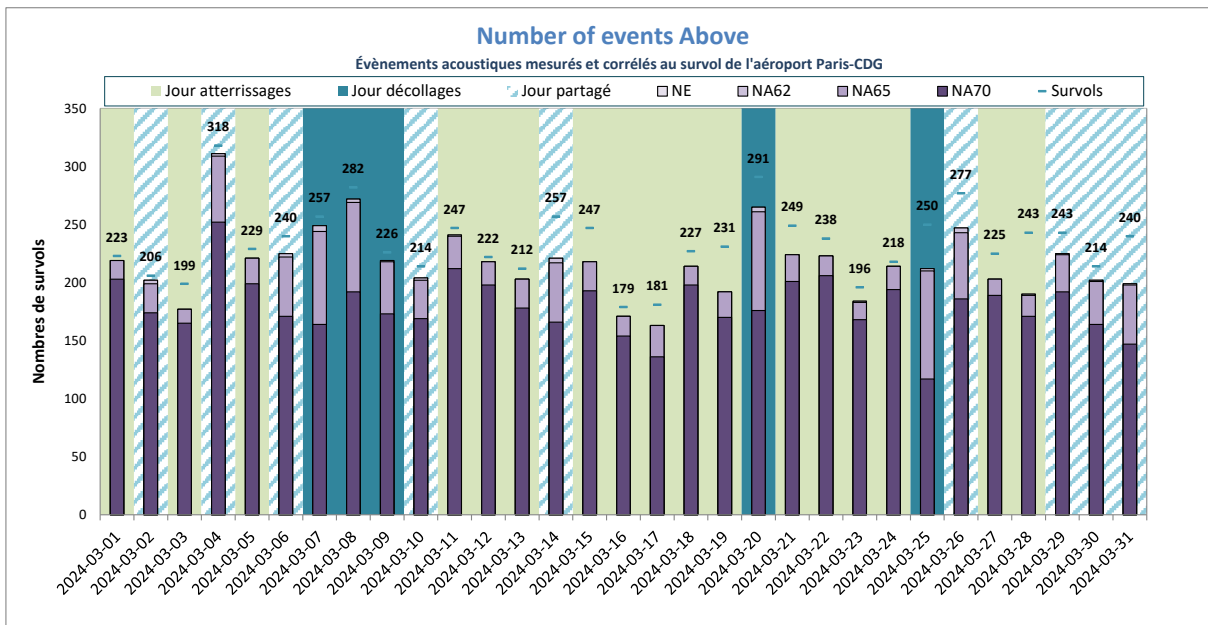
Niveaux sonores LAmax moyens par type avion corrélés aux survols de l'aéroport de CDG
(20 mouvements mesurés au minimum par catégorie)



NIVEAU D'EXPOSITION SONORE et NUMBER ABOVE - Villeneuve-sous-Dammartin E1 - Mars 2024



Activité (%) = taux de mesures valides



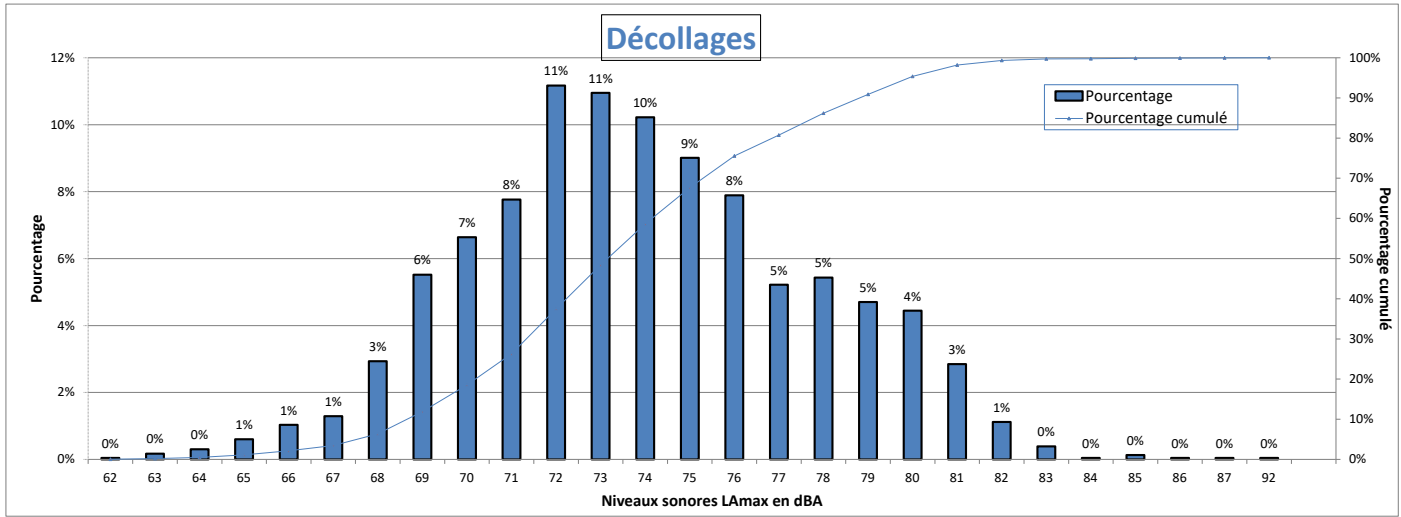
NE = Nombre d'événements mesurés et corrélés

Villeneuve-sous-Dammartin E3

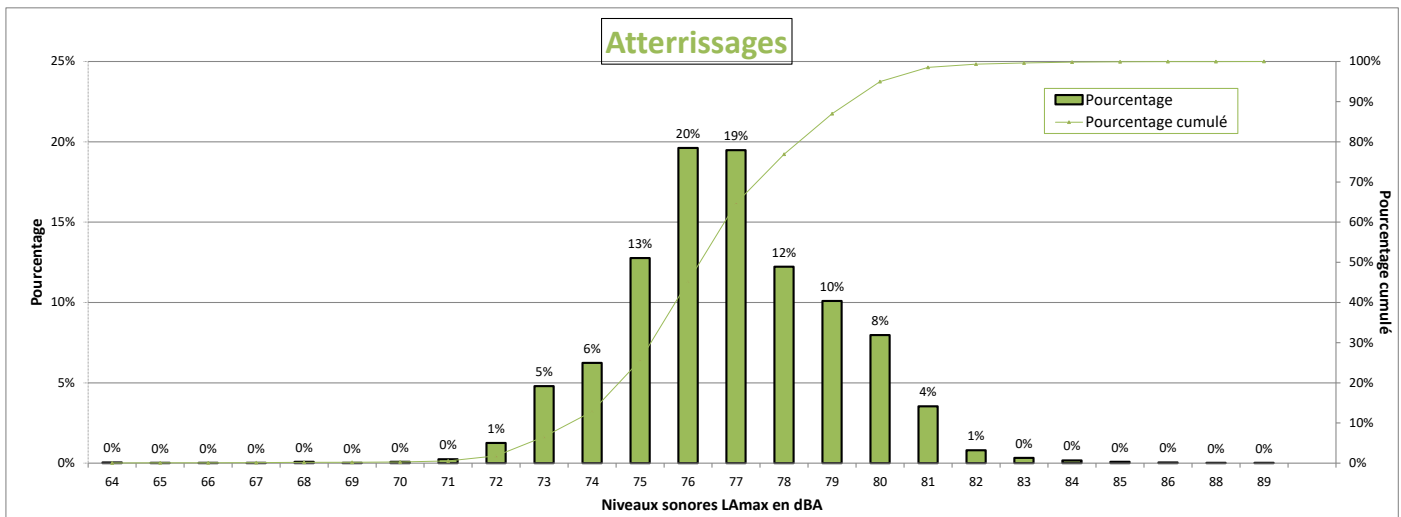


DISTRIBUTION STATISTIQUE - Villeneuve-sous-Dammartin E3 - Mars 2024

Distribution des niveaux sonores LAmx corrélés aux survols de l'aéroport Paris - CDG



Nombre d'évènements mesurés : 2319
 Moyenne arithmétique : 73,9 dBA
 Moyenne énergétique : 75,6 dBA



Nombre d'évènements mesurés : 4614
 Moyenne arithmétique : 76,8 dBA
 Moyenne énergétique : 77,4 dBA

Répartition par type avion - Atterrissages - Mars 2024

Villeneuve-sous-Dammartin E3

| Présentation des principaux types avions et de leur répartition dans la flotte, corrélés aux survols de l'aéroport Paris-CDG | | | | | |
|--|-----------------|------|-------------------|-----------|-------------|
| Avion | Type avion OACI | WTC* | LAmx moyen en dBA | Nombre ** | Répartition |
| AIRBUS A320 | A320 | M | 76,4 | 968 | 21% |
| BOEING 737-800 | B738 | M | 76,6 | 413 | 9% |
| BOEING 777-300 (ER) | B77W | H | 80 | 377 | 8% |
| BOMBARDIER BD-500 Cseries CS300 | BCS3 | M | 73,5 | 333 | 7% |
| AIRBUS A321 | A321 | M | 76,6 | 256 | 6% |
| AIRBUS A320neo | A20N | M | 74,8 | 231 | 5% |
| AIRBUS A319 | A319 | M | 75,7 | 194 | 4% |
| AIRBUS A350-900 | A359 | H | 76,3 | 148 | 3% |
| BOEING 737-400 | B734 | M | 79,3 | 145 | 3% |
| BOEING 777-200 (LR) | B77L | H | 79,2 | 139 | 3% |
| BOEING 787-9 Dreamliner | B789 | H | 77 | 134 | 3% |
| EMBRAER 190/195 | E190 | M | 76,5 | 127 | 3% |
| BOEING 777-200 | B772 | H | 78,8 | 125 | 3% |
| BOEING 767-300 | B763 | H | 79,3 | 124 | 3% |
| AIRBUS A330-300 | A333 | H | 78,6 | 124 | 3% |
| BOEING 757-200 | B752 | M | 75,8 | 106 | 2% |
| AIRBUS A321neo | A21N | M | 75,3 | 103 | 2% |
| AIRBUS A330-200 | A332 | H | 78,9 | 101 | 2% |
| AIRBUS A380-800 | A388 | H | 78,7 | 73 | 2% |
| BOEING 737 MAX 8 | B38M | M | 75,6 | 52 | 1% |
| BOEING 787-300 | B788 | H | 76,1 | 38 | 1% |
| A330-900neo | A339 | H | 78,5 | 36 | 1% |
| ATR-72-600 | AT76 | M | 74,3 | 31 | 1% |
| EMBRAER 170/175 | E170 | M | 74,6 | 28 | 1% |
| EMBRAER 190/200 | E195 | M | 77 | 24 | 1% |
| DE HAVILLAND DHC-8-400 | DH8D | M | 72 | 22 | 0% |
| #N/A | E290 | #N/A | 73,5 | 21 | 0% |

* Wake Turbulence Category (H = Heavy, M = Medium, L = Light)

** Nombre d'événements mesurés et corrélés aux survols

Répartition par type avion - Décollage - Mars 2024

Villeneuve-sous-Dammartin E3

| Présentation des principaux types avions et de leur répartition dans la flotte, corrélés aux survols de l'aéroport Paris-CDG | | | | | |
|--|-----------------|------|-------------------|-----------|-------------|
| Avion | Type avion OACI | WTC* | LAmx moyen en dBA | Nombre ** | Répartition |
| AIRBUS A320 | A320 | M | 72,4 | 497 | 21% |
| BOMBARDIER BD-500 Cseries CS300 | BCS3 | M | 70,3 | 209 | 9% |
| BOEING 737-800 | B738 | M | 75,2 | 188 | 8% |
| BOEING 777-300 (ER) | B77W | H | 78,9 | 181 | 8% |
| AIRBUS A319 | A319 | M | 72,3 | 139 | 6% |
| AIRBUS A320neo | A20N | M | 68 | 104 | 4% |
| AIRBUS A321 | A321 | M | 75,2 | 101 | 4% |
| AIRBUS A350-900 | A359 | H | 74 | 88 | 4% |
| BOEING 787-9 Dreamliner | B789 | H | 76,1 | 82 | 4% |
| EMBRAER 190/195 | E190 | M | 73,5 | 82 | 4% |
| AIRBUS A330-300 | A333 | H | 79,7 | 72 | 3% |
| BOEING 777-200 (LR) | B77L | H | 76,4 | 69 | 3% |
| BOEING 737-400 | B734 | M | 75,8 | 64 | 3% |
| AIRBUS A321neo | A21N | M | 71 | 62 | 3% |
| BOEING 777-200 | B772 | H | 79,1 | 57 | 2% |
| BOEING 757-200 | B752 | M | 69,5 | 44 | 2% |
| BOEING 767-300 | B763 | H | 75,3 | 43 | 2% |
| AIRBUS A380-800 | A388 | H | 80,7 | 28 | 1% |
| EMBRAER 170/175 | E170 | M | 72,7 | 22 | 1% |
| BOEING 737 MAX 8 | B38M | M | 70,8 | 21 | 1% |
| AIRBUS A330-200 | A332 | H | 79,1 | 20 | 1% |

* Wake Turbulence Category (H = Heavy, M = Medium, L = Light)

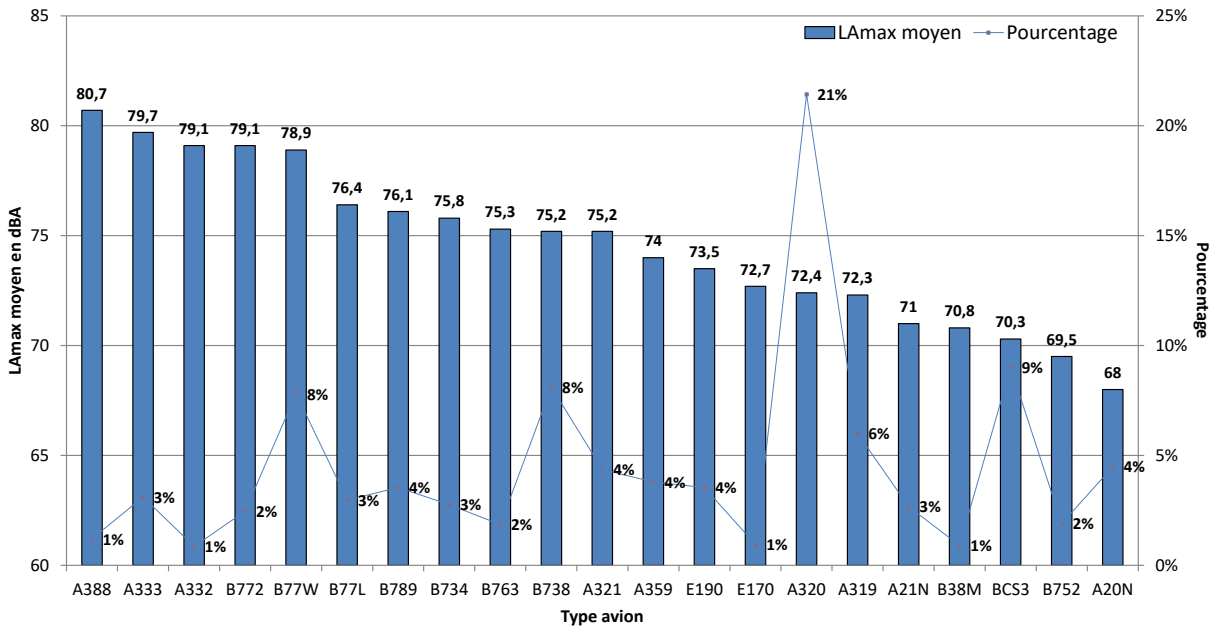
** Nombre d'événements mesurés et corrélés aux survols

Répartition par type avion - Mars 2024

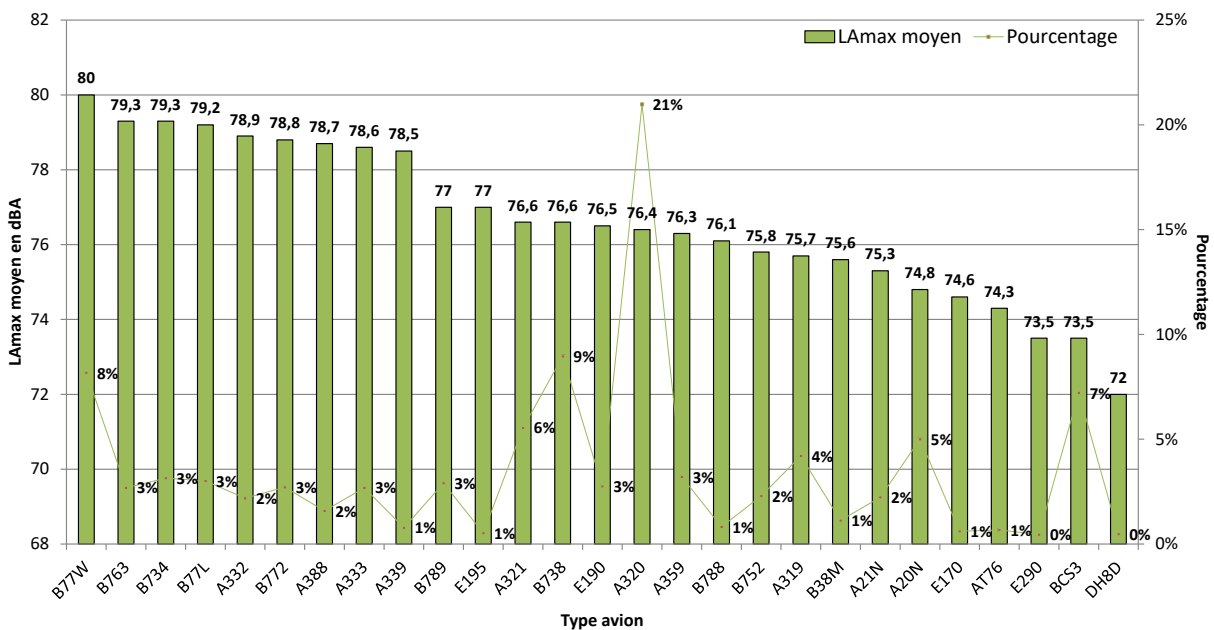
Villeneuve-sous-Dammartin E3

Niveaux sonores LAmax moyens par type avion corrélés aux survols de l'aéroport de CDG
(20 mouvements mesurés au minimum par catégorie)

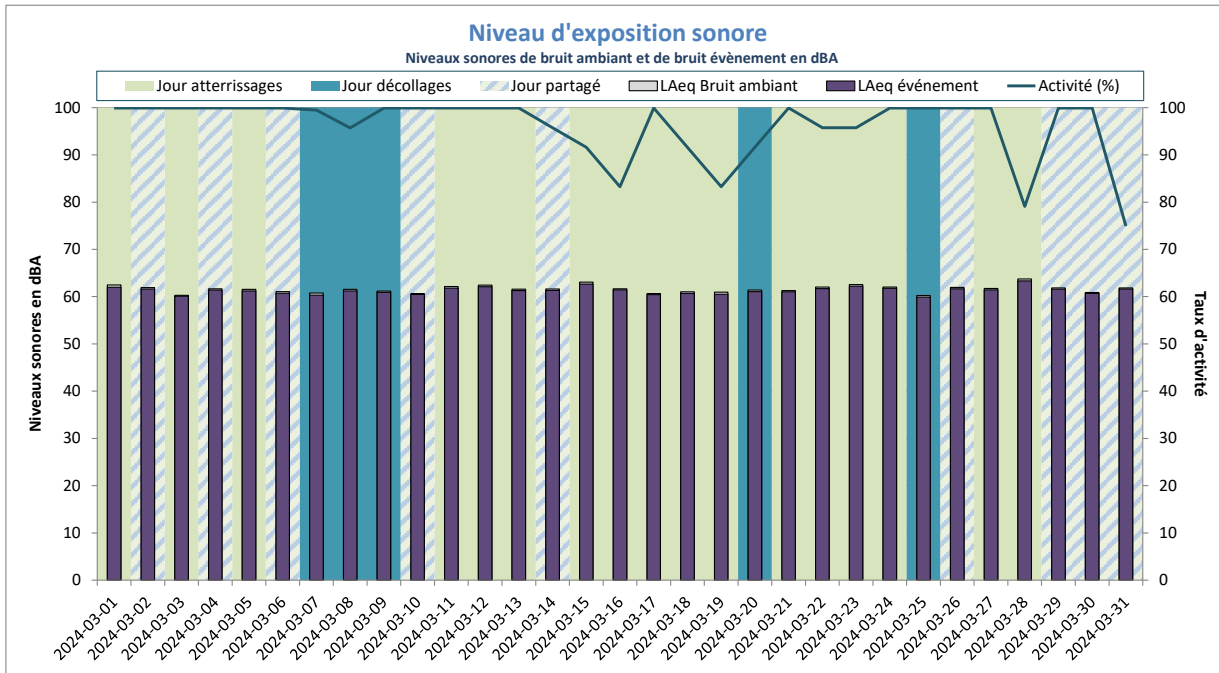
Décollages



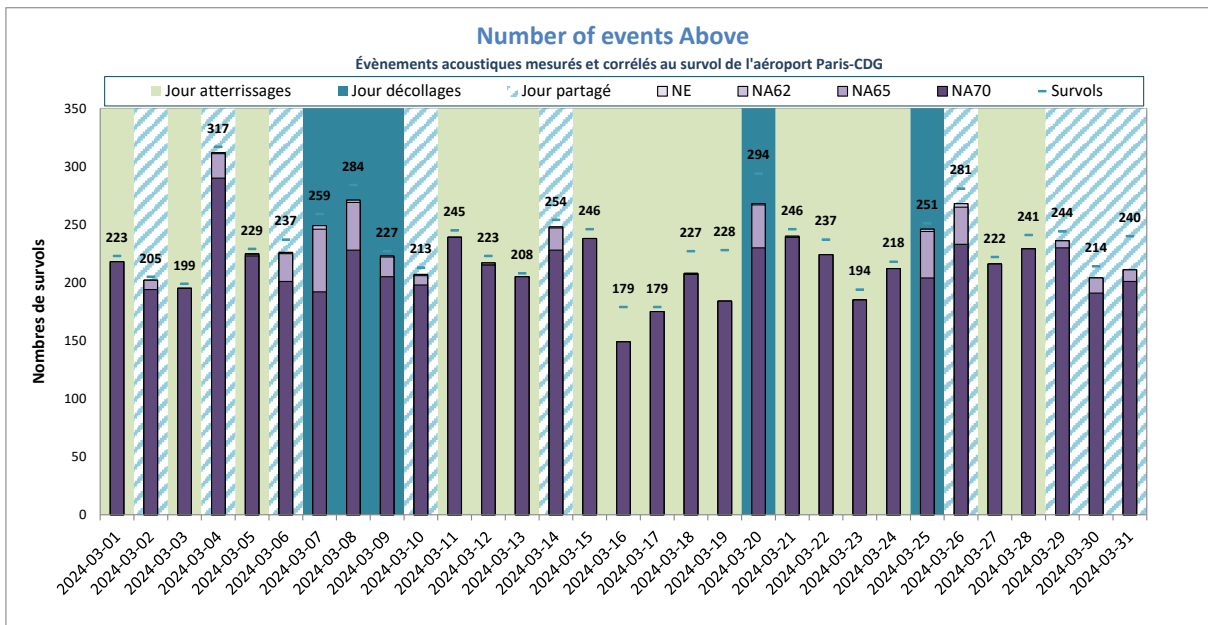
Atterrissages



NIVEAU D'EXPOSITION SONORE et NUMBER ABOVE - Villeneuve-sous-Dammartin E3 - Mars 2024



Activité (%) = taux de mesures valides



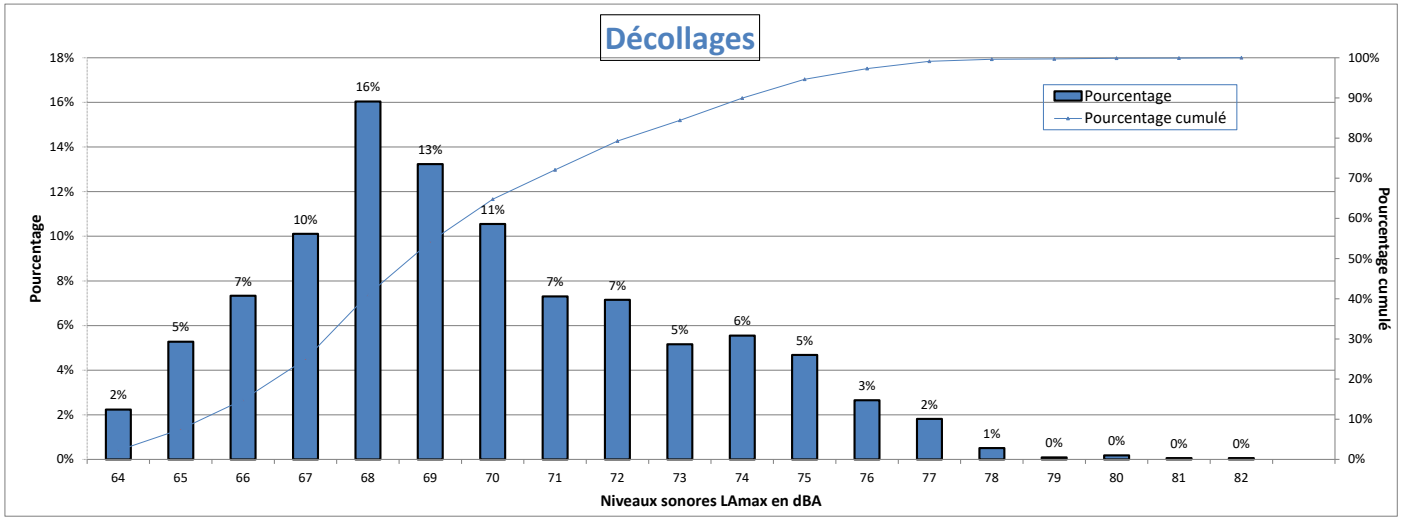
NE = Nombre d'évènements mesurés et corrélés

Villiers-le-Bel

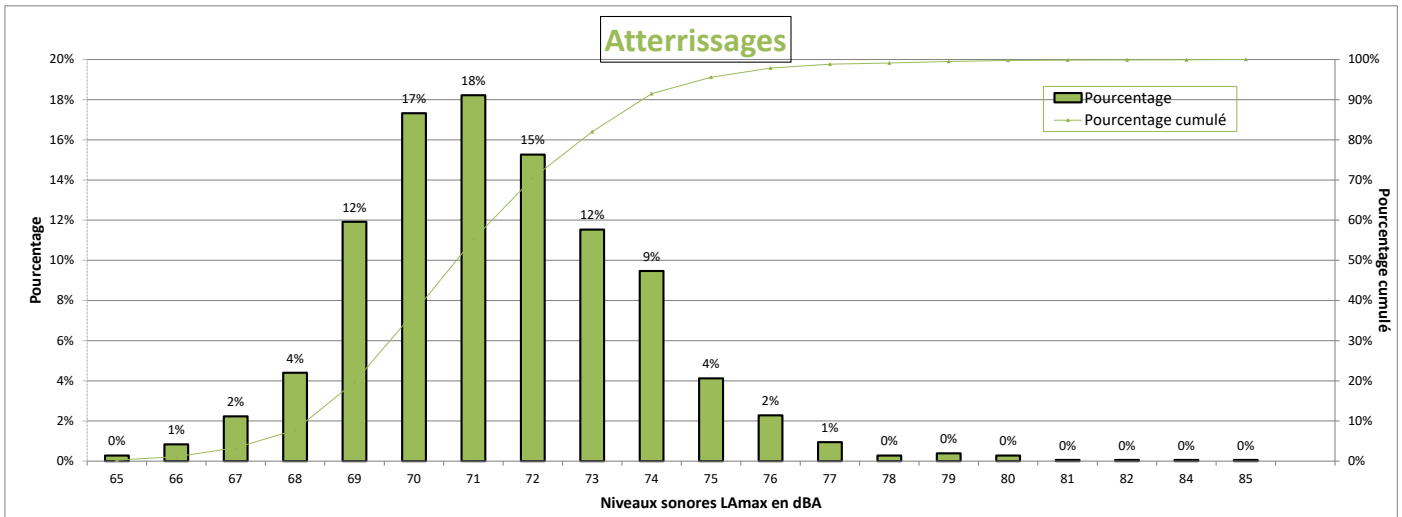


DISTRIBUTION STATISTIQUE - Villiers-le-Bel - Mars 2024

Distribution des niveaux sonores L_{max} corrélés aux survols de l'aéroport Paris - CDG



Nombre d'évènements mesurés : 3354
 Moyenne arithmétique : 69,7 dBA
 Moyenne énergétique : 71 dBA



Nombre d'évènements mesurés : 1795
 Moyenne arithmétique : 71,4 dBA
 Moyenne énergétique : 72,1 dBA

Répartition par type avion - Atterrissages - Mars 2024

Villiers-le-Bel

| Présentation des principaux types avions et de leur répartition dans la flotte, corrélés aux survols de l'aéroport Paris-CDG | | | | | |
|--|-----------------|------|--------------------|-----------|-------------|
| Avion | Type avion OACI | WTC* | LAmox moyen en dBA | Nombre ** | Répartition |
| AIRBUS A320 | A320 | M | 70,8 | 391 | 22% |
| BOEING 777-300 (ER) | B77W | H | 73,8 | 167 | 9% |
| BOMBARDIER BD-500 Cseries CS300 | BCS3 | M | 70 | 155 | 9% |
| BOEING 737-300 | B738 | M | 71 | 122 | 7% |
| AIRBUS A321 | A321 | M | 70,9 | 109 | 6% |
| AIRBUS A320neo | A20N | M | 70,2 | 85 | 5% |
| AIRBUS A319 | A319 | M | 70,2 | 84 | 5% |
| AIRBUS A350-900 | A359 | H | 71,5 | 63 | 4% |
| AIRBUS A330-300 | A333 | H | 74,2 | 57 | 3% |
| BOEING 777-200 | B772 | H | 73,3 | 57 | 3% |
| BOEING 787-9 Dreamliner | B789 | H | 71,8 | 55 | 3% |
| BOEING 777-200 (LR) | B77L | H | 73,1 | 52 | 3% |
| EMBRAER 190/195 | E190 | M | 69,7 | 50 | 3% |
| BOEING 767-300 | B763 | H | 72,5 | 47 | 3% |
| AIRBUS A321neo | A21N | M | 69,9 | 38 | 2% |
| AIRBUS A330-200 | A332 | H | 73,7 | 34 | 2% |
| BOEING 757-200 | B752 | M | 69,5 | 30 | 2% |
| BOEING 737-400 | B734 | M | 72,1 | 27 | 2% |
| AIRBUS A380-800 | A388 | H | 73,3 | 24 | 1% |

* Wake Turbulence Category (H = Heavy, M = Medium, L = Light)

** Nombre d'événements mesurés et corrélés aux survols

Répartition par type avion - Décollage - Mars 2024

Villiers-le-Bel

| Présentation des principaux types avions et de leur répartition dans la flotte, corrélés aux survols de l'aéroport Paris-CDG | | | | | |
|--|-----------------|------|--------------------|-----------|-------------|
| Avion | Type avion OACI | WTC* | LAmox moyen en dBA | Nombre ** | Répartition |
| AIRBUS A320 | A320 | M | 68,4 | 747 | 22% |
| BOEING 737-800 | B738 | M | 69 | 309 | 9% |
| BOEING 777-300 (ER) | B77W | H | 73,7 | 284 | 8% |
| AIRBUS A319 | A319 | M | 67,9 | 217 | 6% |
| AIRBUS A321 | A321 | M | 70,6 | 185 | 6% |
| BOMBARDIER BD-500 Cseries CS300 | BCS3 | M | 65,9 | 171 | 5% |
| EMBRAER 190/195 | E190 | M | 68,3 | 160 | 5% |
| AIRBUS A350-900 | A359 | H | 70 | 115 | 3% |
| BOEING 737-400 | B734 | M | 70,3 | 111 | 3% |
| BOEING 777-200 | B772 | H | 74,4 | 106 | 3% |
| BOEING 787-9 Dreamliner | B789 | H | 69,9 | 101 | 3% |
| AIRBUS A321neo | A21N | M | 68,4 | 99 | 3% |
| AIRBUS A330-300 | A333 | H | 74,6 | 98 | 3% |
| BOEING 777-200 (LR) | B77L | H | 72 | 92 | 3% |
| AIRBUS A320neo | A20N | M | 66,7 | 82 | 2% |
| BOEING 767-300 | B763 | H | 71,4 | 75 | 2% |
| BOEING 757-200 | B752 | M | 66,6 | 54 | 2% |
| AIRBUS A380-800 | A388 | H | 75,4 | 46 | 1% |
| AIRBUS A330-200 | A332 | H | 73,5 | 44 | 1% |
| EMBRAER 170/175 | E170 | M | 67,3 | 41 | 1% |
| A330-900neo | A339 | H | 70,7 | 34 | 1% |
| BOEING 737 MAX 8 | B38M | M | 66,7 | 28 | 1% |
| BOEING 787-800 | B788 | H | 69 | 26 | 1% |

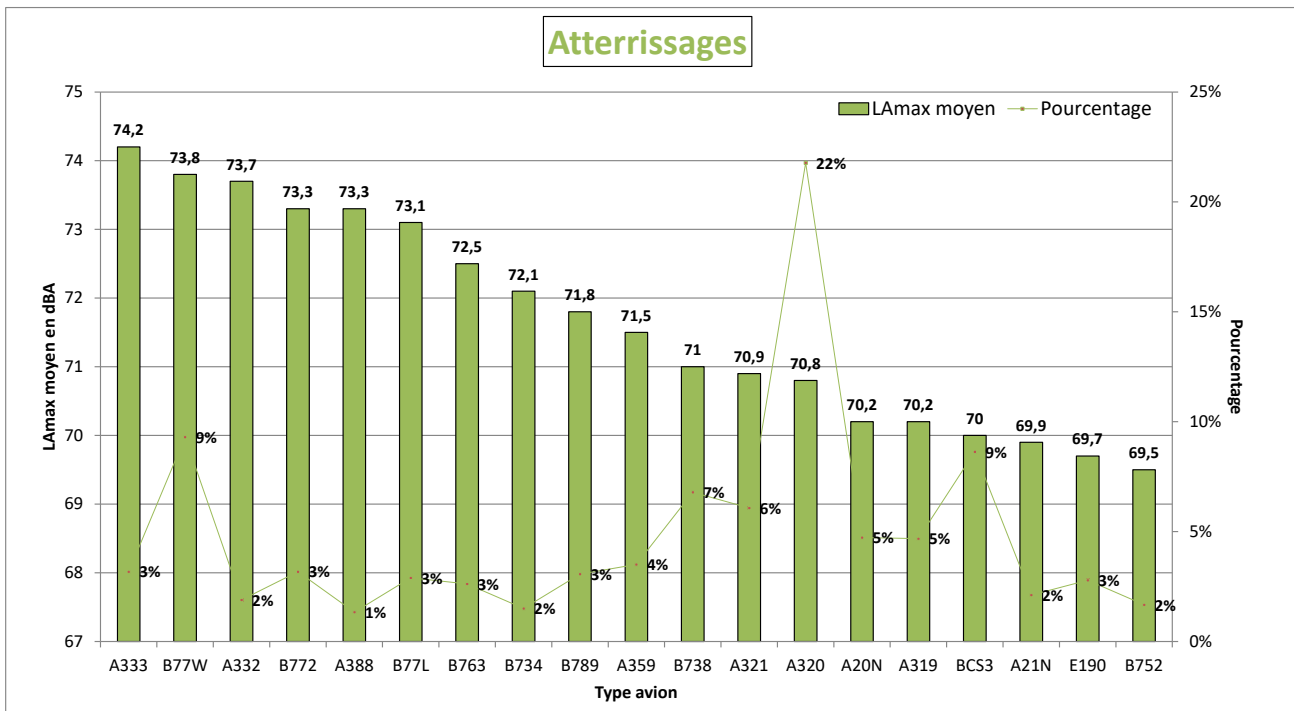
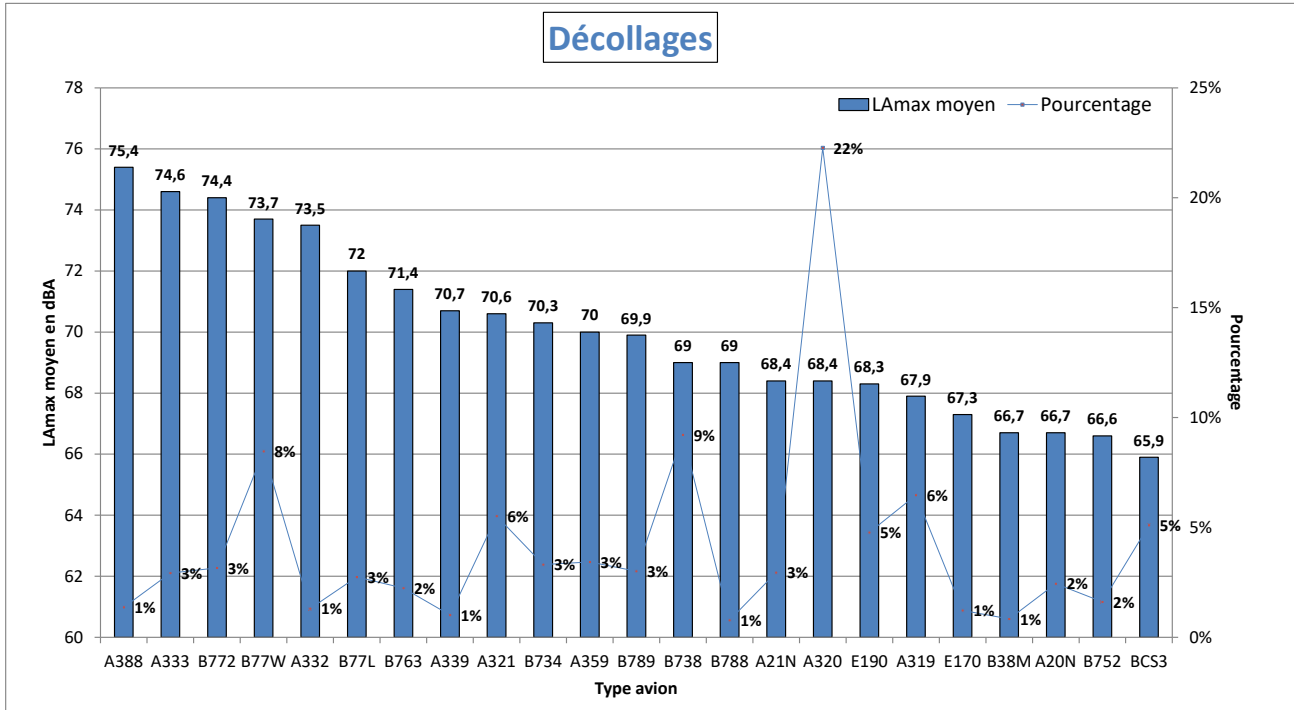
* Wake Turbulence Category (H = Heavy, M = Medium, L = Light)

** Nombre d'événements mesurés et corrélés aux survols

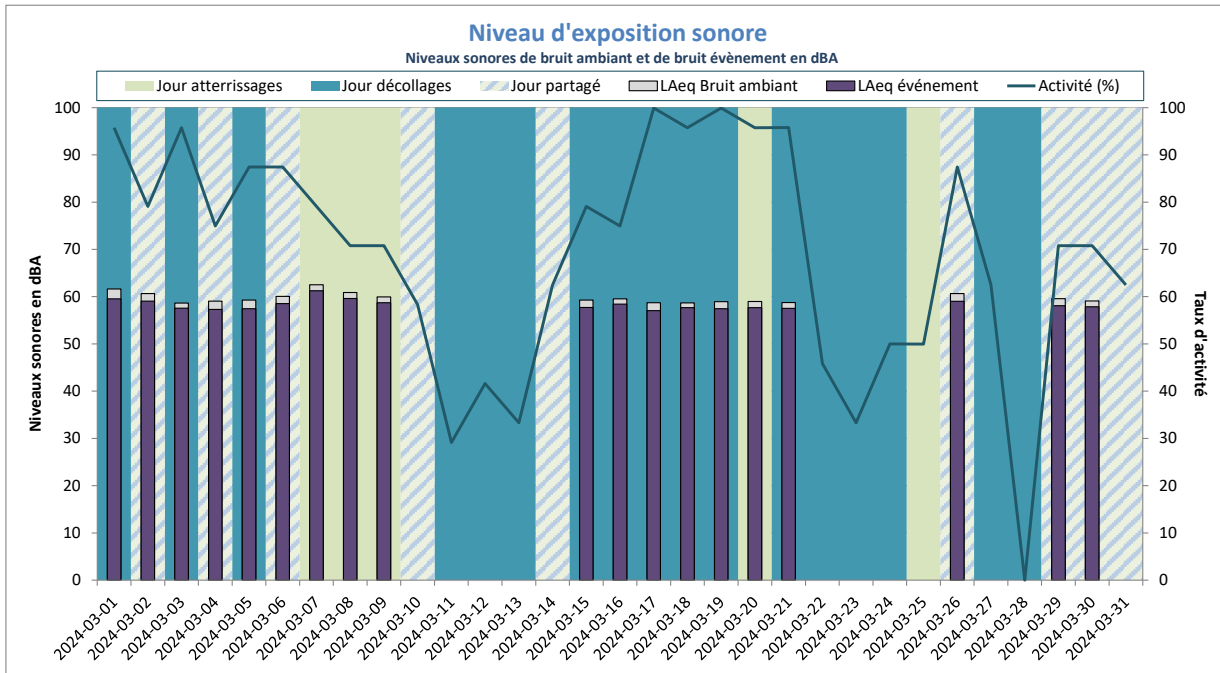
Répartition par type avion - Mars 2024

Villiers-le-Bel

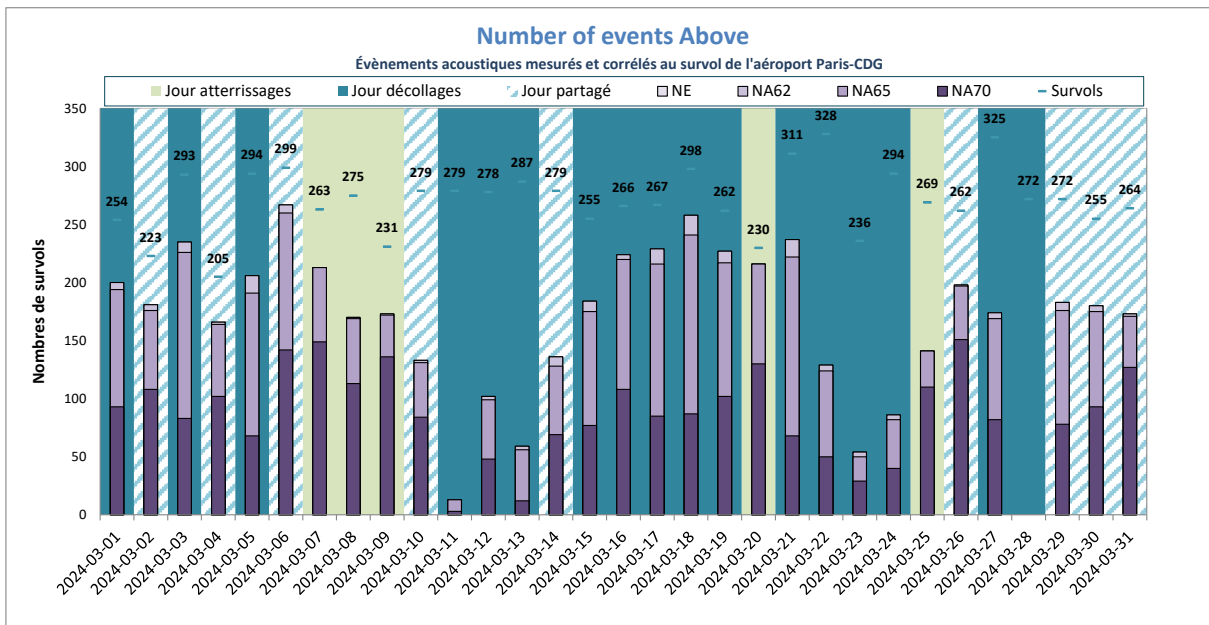
Niveaux sonores LAmax moyens par type avion corrélés aux survols de l'aéroport de CDG
(20 mouvements mesurés au minimum par catégorie)



NIVEAU D'EXPOSITION SONORE et NUMBER ABOVE - Villiers-le-Bel - Mars 2024



Activité (%) = taux de mesures valides



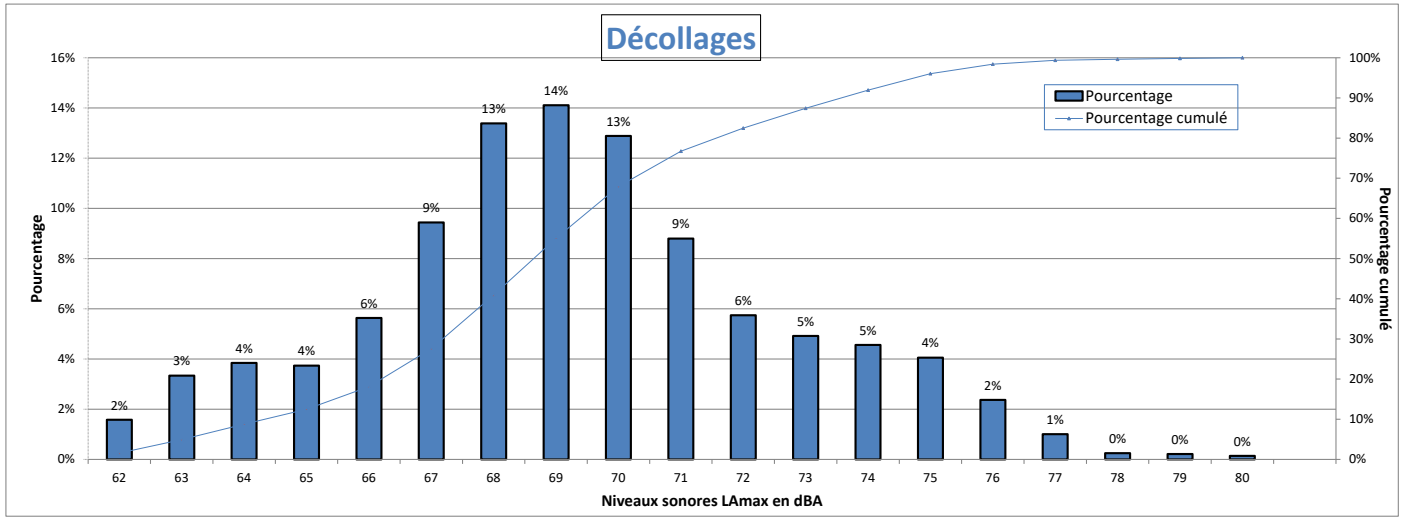
NE = Nombre d'événements mesurés et corrélés

Vinantes

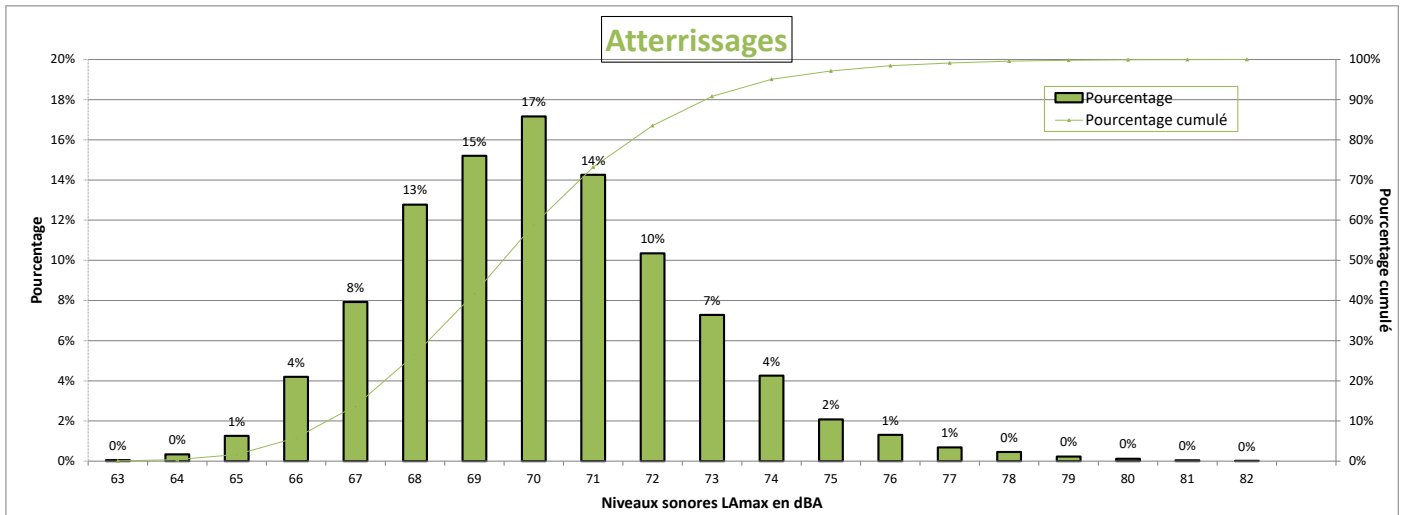


DISTRIBUTION STATISTIQUE - Vinantes - Mars 2024

Distribution des niveaux sonores LMax corrélés aux survols de l'aéroport Paris - CDG



Nombre d'évènements mesurés : 2786
 Moyenne arithmétique : 69,3 dBA
 Moyenne énergétique : 70,6 dBA



Nombre d'évènements mesurés : 7405
 Moyenne arithmétique : 70,1 dBA
 Moyenne énergétique : 70,9 dBA

Répartition par type avion - Atterrissages - Mars 2024

Vinantes

| Présentation des principaux types avions et de leur répartition dans la flotte, corrélés aux survols de l'aéroport Paris-CDG | | | | | |
|--|-----------------|------|-------------------|-----------|-------------|
| Avion | Type avion OACI | WTC* | LAmx moyen en dBA | Nombre ** | Répartition |
| AIRBUS A320 | A320 | M | 69,3 | 1554 | 21% |
| EMBRAER 190/195 | E190 | M | 69,6 | 886 | 12% |
| BOMBARDIER BD-500 Cseries CS300 | BCS3 | M | 69,1 | 823 | 11% |
| AIRBUS A321 | A321 | M | 69,8 | 587 | 8% |
| BOEING 777-300 (ER) | B77W | H | 72,7 | 488 | 7% |
| AIRBUS A319 | A319 | M | 68,9 | 469 | 6% |
| AIRBUS A350-900 | A359 | H | 71,2 | 396 | 5% |
| BOEING 737-800 | B738 | M | 70,5 | 356 | 5% |
| EMBRAER 170/175 | E170 | M | 68,2 | 333 | 4% |
| AIRBUS A330-200 | A332 | H | 74,6 | 183 | 2% |
| BOEING 787-9 Dreamliner | B789 | H | 70,6 | 183 | 2% |
| BOEING 777-200 | B772 | H | 71,8 | 181 | 2% |
| AIRBUS A320neo | A20N | M | 68,7 | 149 | 2% |
| AIRBUS A321neo | A21N | M | 69,2 | 141 | 2% |
| AIRBUS A330-300 | A333 | H | 73,5 | 117 | 2% |
| BOEING 777-200 (LR) | B77L | H | 72,9 | 104 | 1% |
| BOEING 787-800 | B788 | H | 70,8 | 56 | 1% |
| A330-900neo | A339 | H | 72,4 | 52 | 1% |
| BOEING 737-400 | B734 | M | 71,8 | 52 | 1% |
| BOEING 767-300 | B763 | H | 71,6 | 49 | 1% |
| BOEING 757-200 | B752 | M | 69,3 | 48 | 1% |
| DE HAVILLAND DHC-8-400 | DH8D | M | 67,6 | 32 | 0% |
| BOEING 737-700 | B737 | M | 70,8 | 23 | 0% |
| BOEING 747-8 | B748 | H | 75,5 | 22 | 0% |

* Wake Turbulence Category (H = Heavy, M = Medium, L = Light)

** Nombre d'événements mesurés et corrélés aux survols

Répartition par type avion - Décollage - Mars 2024

Vinantes

| Présentation des principaux types avions et de leur répartition dans la flotte, corrélés aux survols de l'aéroport Paris-CDG | | | | | |
|--|-----------------|------|--------------------|-----------|-------------|
| Avion | Type avion OACI | WTC* | LAmox moyen en dBA | Nombre ** | Répartition |
| AIRBUS A320 | A320 | M | 68,7 | 610 | 22% |
| EMBRAER 190/195 | E190 | M | 68 | 353 | 13% |
| AIRBUS A321 | A321 | M | 71 | 238 | 9% |
| BOMBARDIER BD-500 Cseries CS300 | BCS3 | M | 63,9 | 236 | 8% |
| BOEING 777-300 (ER) | B77W | H | 74,2 | 201 | 7% |
| AIRBUS A350-900 | A359 | H | 69,1 | 155 | 6% |
| AIRBUS A319 | A319 | M | 68,7 | 141 | 5% |
| BOEING 737-800 | B738 | M | 69,9 | 132 | 5% |
| EMBRAER 170/175 | E170 | M | 66,5 | 131 | 5% |
| AIRBUS A330-200 | A332 | H | 74,5 | 102 | 4% |
| BOEING 777-200 | B772 | H | 73,3 | 68 | 2% |
| BOEING 787-9 Dreamliner | B789 | H | 70,7 | 62 | 2% |
| AIRBUS A321neo | A21N | M | 67,6 | 54 | 2% |
| AIRBUS A320neo | A20N | M | 65,3 | 43 | 2% |
| AIRBUS A330-300 | A333 | H | 74,4 | 42 | 2% |
| BOEING 777-200 (LR) | B77L | H | 72,2 | 42 | 2% |
| BOEING 787-800 | B788 | H | 69,7 | 28 | 1% |
| A330-900neo | A339 | H | 70,9 | 24 | 1% |
| BOEING 767-300 | B763 | H | 67,1 | 22 | 1% |

* Wake Turbulence Category (H = Heavy, M = Medium, L = Light)

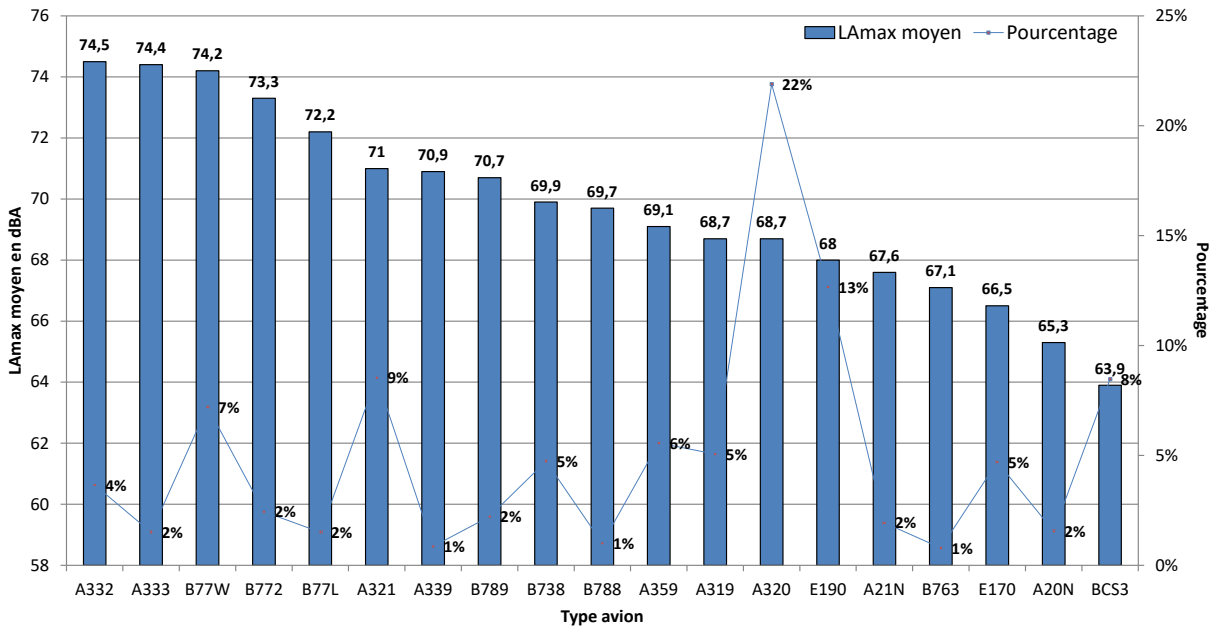
** Nombre d'événements mesurés et corrélés aux survols

Répartition par type avion - Mars 2024

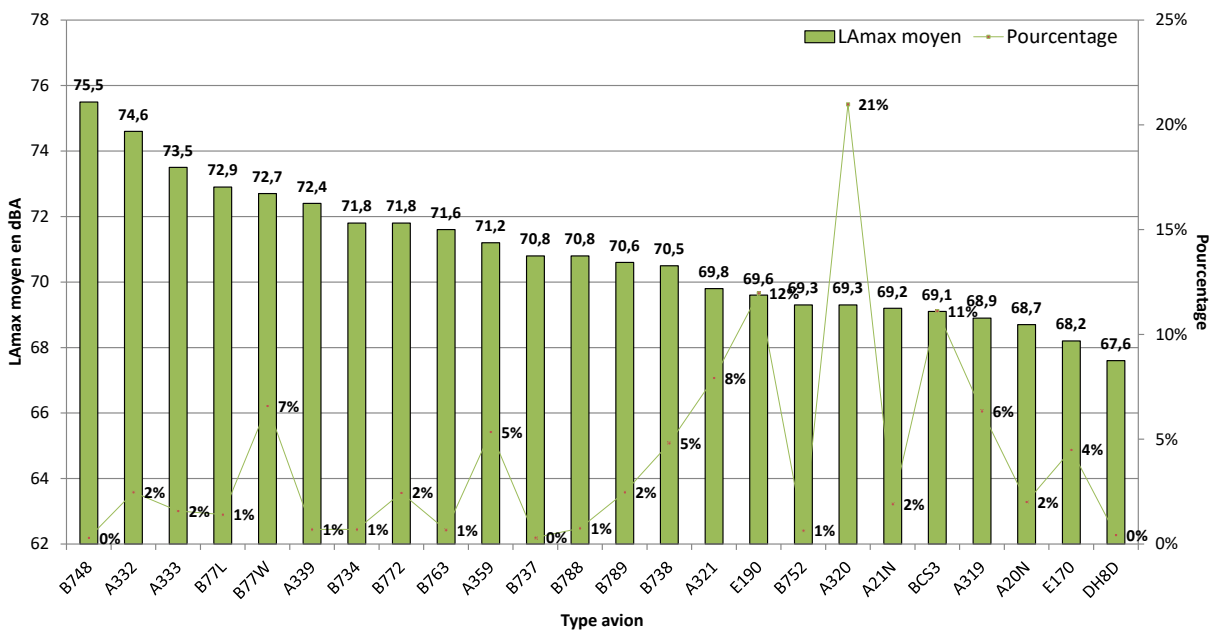
Vinantes

Niveaux sonores LAmax moyens par type avion corrélés aux survols de l'aéroport de CDG
(20 mouvements mesurés au minimum par catégorie)

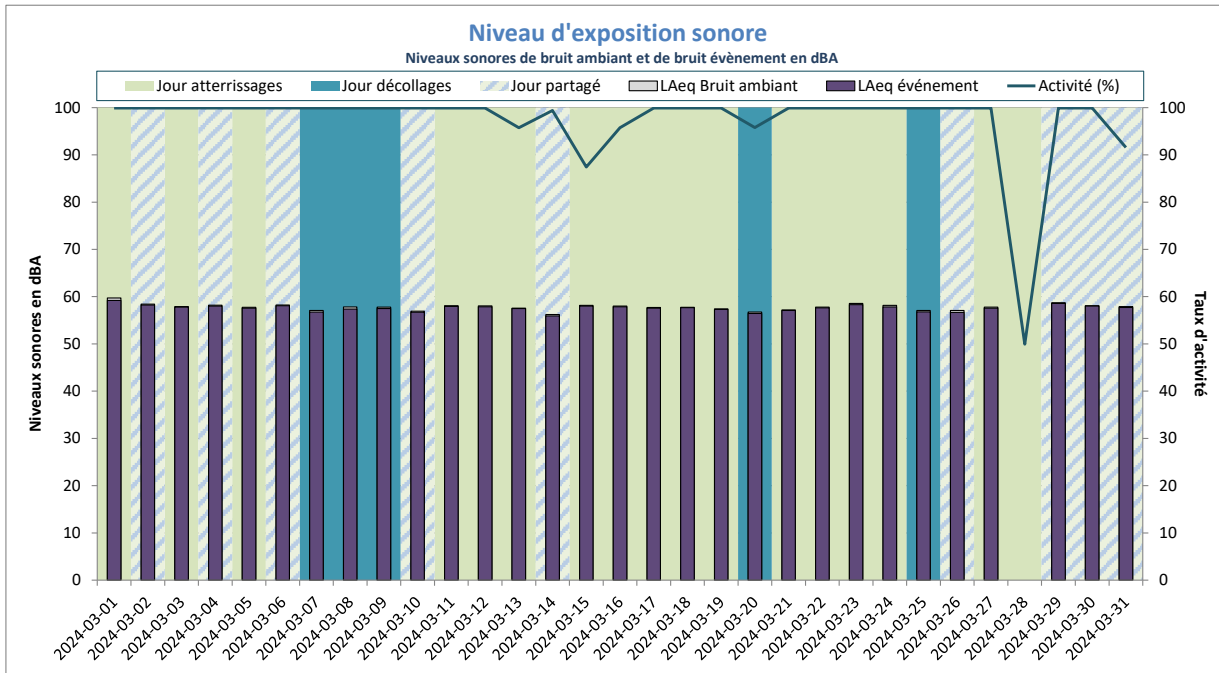
Décollages



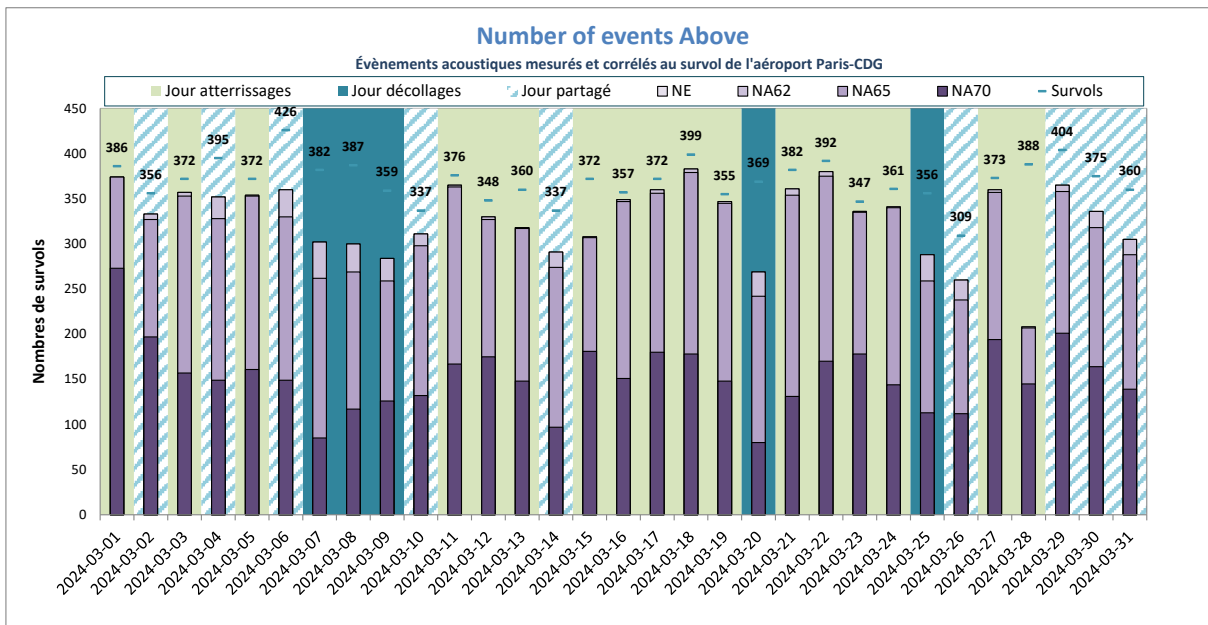
Atterrissages



NIVEAU D'EXPOSITION SONORE et NUMBER ABOVE - Vinantes - Mars 2024



Activité (%) = taux de mesures valides



NE = Nombre d'événements mesurés et corrélés

ANNEXES

Définitions

Les résultats sont exprimés en niveau de pression acoustique continu équivalent, pondéré A.

- **L_{Aeq,T}**. « C'est la valeur du niveau de pression acoustique pondéré A d'un son continu stable qui, au cours d'une période spécifiée T, a la même pression acoustique moyenne quadratique qu'un son considéré dont le niveau varie en fonction du temps. » (définition AFNOR). Le L_{Aeq,T} est donc le niveau sonore équivalent mesuré en dBA pendant une période donnée, la valeur élémentaire dans le système de mesure étant la seconde (L_{Aeq,1seconde}).
- **L_{Aeq} bruit ambiant** : « On appelle bruit ambiant sur un site, le bruit total existant dans une situation donnée pendant un intervalle de temps donné. Il est composé de l'ensemble des bruits émis par toutes les sources, proches et éloignées. » (définition AFNOR). Le L_{Aeq} bruit ambiant correspond donc au niveau sonore équivalent mesuré pendant une période donnée, tous bruits confondus, bruit résiduel inclus les aéronefs, les bruits routiers, les bruits de voisinage, etc...
- **L_{Aeq} évènement** : niveau sonore équivalent mesuré pendant une période donnée en ne considérant que les évènements sonores qui respectent certains critères de détection. Il est calculé en cumulant l'énergie des évènements sonores détectés pendant la période de temps considérée puis en la répartissant sur la durée de cette période. Cet indicateur peut être interprété comme étant la contribution sonore des avions s'ils étaient la seule source de bruit. Les paramètres de détection sont définis pour détecter les évènements d'origine aéronautique. Mais d'autres types d'évènements peuvent parfois être comptabilisés par ce type de détection (trafic routier et ferroviaire, bruit de travaux divers, etc...).
- **L_{day}, L_{evening}, L_{night}** (ou L_{jour}, L_{soir} et L_{nuit}) : niveaux sonores équivalents en dBA mesurés pendant les périodes de jour (6h à 18h), de soirée (18h à 22h) et de nuit (22h à 6h) en ne considérant que les évènements sonores qui respectent certains critères de détection. Comme le niveau sonore L_{Aeq} évènements, chacun de ces trois indicateurs est calculé en cumulant l'énergie des évènements sonores détectés pendant la période de temps considérée puis en la répartissant sur la durée de cette période.
- **L_{den}** : niveau sonore équivalent mesuré en dBA et pondéré pour les périodes de soirée et de nuit. Comme le niveau sonore L_{Aeq} évènements, il est calculé en cumulant l'énergie des évènements sonores détectés pendant la période de temps considérée puis en la répartissant sur la durée de cette période, en appliquant une pondération de +5dBA pour la période de soirée (18h00 à 22h00) et de +10dBA pour la période de nuit (22h00 à 6h00). Cela signifie qu'un survol d'avion en soirée vaut 3,16 survols de jour, et un survol d'avion de nuit vaut dix survols de jour. Le niveau sonore pondéré LDEN est utilisé au niveau européen pour tous les moyens de transport, et il est retenu pour la cartographie du bruit notamment pour l'élaboration des Plans d'Exposition au Bruit, et des Plans de Gêne Sonore.
- **L_{Amax}** ou L_{Aeq,1s,max} : niveau sonore en dB(A) de la seconde la plus bruyante mesurée lors d'un survol d'aéronef.
- **N_{Ax}** (Number of events Above) : nombre d'évènements sonores (survols) dont le L_{Amax} dépasse un certain seuil. Les indices NA62 et NA65 correspondent respectivement au nombre d'évènements sonores liés à un survol d'aéronef dont le L_{Amax} dépasse 62 dBA et 65 dBA.